



TUGAS AKHIR (RC18-4803)

**PERENCANAAN *SHORE PROTECTION* DAN TIPIKAL  
PONDASI PADA AREA PERLUASAN DI PROYEK  
PEMBANGUNAN PLTMG 50 MW PT. PERUSAHAAN  
LISTRIK NEGARA, SORONG**

CANDRA OKTO RIAN DWI PUTRA  
NRP. 031 1 1640000 033

Dosen Pembimbing I  
Prof. Dr. Ir. Herman Wahyudi

Dosen Pembimbing II  
Musta'in Arif, ST. MT

DEPARTEMEN TEKNIK SIPIL  
Fakultas Teknik Sipil, Perencanaan, dan Kebumian  
Institut Teknologi Sepuluh Nopember  
Surabaya 2020



TUGAS AKHIR (RC18-4803)

**PERENCANAAN *SHORE PROTECTION* DAN TIPIKAL  
PONDASI PADA AREA PERLUASAN DI PROYEK  
PEMBANGUNAN PLTMG 50 MW PT. PERUSAHAAN  
LISTRIK NEGARA, SORONG**

CANDRA OKTO RIAN DWI PUTRA  
NRP. 03111640000033

Dosen Pembimbing I  
Prof. Dr. Ir. Herman Wahyudi

Dosen Pembimbing II  
Musta'in Arif, ST. MT

DEPARTEMEN TEKNIK SIPIL  
Fakultas Teknik Sipil, Perencanaan, dan Kebumian  
Institut Teknologi Sepuluh Nopember  
Surabaya  
2020

“ Halaman ini sengaja dikosongkan “



FINAL PROJECT (RC18-4803)

**SHORE PROTECTION PLANNING AND FOUNDATION TYPE IN THE EXPANSION AREA OF THE SORONG 50 MW STATE ELECTRICITY COMPANY OF INDONESIA**

CANDRA OKTO RIAN DWI PUTRA  
NRP. 0311164000033

Academic Supervisor I  
Prof. Dr. Ir. Herman Wahyudi

Academic Supervisor II  
Musta'in Arif, ST. MT

CIVIL ENGINEERING DEPARTEMENT  
Faculty of Civil, Planning and Geo Engineering  
Sepuluh Nopember Institute of Technology  
2020

“ Halaman ini sengaja dikosongkan “

**PERENCANAAN SHORE PROTECTION DAN  
TIPIKAL PONDASI PADA AREA PERLUASAN DI  
PROYEK PEMBANGUNAN PLTMG 50 MW PT.  
PERUSAHAAN LISTRIK NEGARA, SORONG**

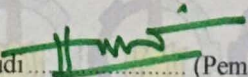
**TUGAS AKHIR**

Diajukan Untuk Memenuhi Salah Satu Syarat  
Memperoleh Gelar Sarjana Teknik  
pada

Program Studi S-1 Departemen Teknik Sipil  
Fakultas Teknik Sipil, Perencanaan, dan Kebumian  
Institut Teknologi Sepuluh Nopember

Oleh :  
**CANDRA OKTO RIAN DWI PUTRA**  
NRP. 03111640000033

Disetujui oleh Pembimbing Tugas Akhir :

1. Prof. Dr. Ir. Herman Wahyudi .....  (Pembimbing I)
2. Musta'in Arif, ST, MT .....  (Pembimbing II)



“ Halaman ini sengaja dikosongkan “

# **PERENCANAAN SHORE PROTECTION DAN TIPIKAL PONDASI PADA AREA PERLUASAN DI PROYEK PEMBANGUNAN PLTMG 50 MW PT. PERUSAHAAN LISTRIK NEGARA, SORONG**

Nama Mahasiswa : Candra Okto Rian Dwi Putra  
NRP : 03111640000033  
Departemen : Teknik Sipil – FTSPK – ITS  
Dosen Pembimbing : 1. Prof. Dr. Ir. Herman Wahyudi  
2. Musta'in Arif, ST. MT

## **Abstrak**

*Salah satu pengembangan yang dilakukan oleh PT. Perusahaan Listrik Negara (PLN) di Sorong adalah perluasan lahan PLTMG (Pembangkit Listrik Tenaga Mesin Gas) sebagai usaha peningkatan kapasitas listrik menjadi 50 MW. Perluasan lahan ini direncanakan seluas 4,6945 hm<sup>2</sup> dan direncanakan untuk pembangunan sebuah tangki tegak berisi light fuel oil (LFO) sebagai Sumber energi pembangkit listrik. Disamping itu, terdapat beberapa kondisi yang dapat menghambat perencanaan perluasan lahan seperti lapisan tanah eksisting didominasi oleh lanau kelempungan, daya dukung tanah di area perluasan cenderung rendah hingga kedalaman kritis 16 meter (NSPT < 15), dan lokasi area pematangan lahan berada di pesisir pantai.*

*Dengan adanya kondisi-kondisi tersebut maka pada tugas akhir ini dilakukan perencanaan shore protection dengan perbaikan tanah dan pondasi tipikal yang sesuai dengan beban tangki timbun. Dari hasil analisa gelombang air laut dan data tanah didapatkan tinggi puncak shore protection dengan struktur rubble mound setinggi 4,78 m dan diputuskan pembagian area perluasan sebanyak 3 zona untuk perencanaan. Metode perbaikan tanah yang direncanakan adalah metode preloading kombinasi PVD dengan pola segitiga dan segiempat; jarak antar PVD 0,8 m; dan panjang PVD hingga kedalaman lapisan compressible. Berdasarkan hasil perhitungan peningkatan daya dukung tanah dan analisa stabilitas lereng shore protection dengan program*

*bantu didapatkan  $SF > 1,5$  sehingga aman terhadap gelincir atau longsor.*

*Dilain hal, dari hasil perhitungan penurunan pondasi dangkal tangki timbun tidak direkomendasikan karena penurunan tangki sebesar 1,212 m melebihi batas izin maksimum tangki timbun oil and gas oleh API 653 yakni sebesar 2 inchi atau 50,8 mm. Oleh sebab itu maka diputuskan perencanaan pondasi dalam spunpile produk WIKA dengan kedalaman hingga 24 m tanpa perbaikan tanah di area pembangunan tangki timbun*

**Kata Kunci : PLTMG 50 MW, Preloading, Prefabricated Vertical Drain, Analisa Gelombang Air Laut, Shore Protection, Pondasi Dangkal, Pondasi Dalam**

# **SHORE PROTECTION PLANNING AND FOUNDATION TYPE IN THE EXPANSION AREA OF THE SORONG 50 MW STATE ELECTRICITY COMPANY OF INDONESIA**

Student Name : Candra Okto Rian Dwi Putra  
NRP : 03111640000033  
Department : Civil Engineering - FTSPK - ITS  
Advisor : 1. Prof. Dr. Ir. Herman Wahyudi  
              2. Musta'in Arif, ST. MT

## **Abstract**

*One of the developments that PT. Perusahaan Listrik Negara (PLN) in Sorong working on is expanding area of PLTNG (Pembangkit Listrik Tenaga Mesin Gas) as an effort to increase the electricity capacity to 50 MW. This area expansion are planned to be 4,6945 hm<sup>2</sup> and planned to build upright tank contain light fuel oil (LFO) as an energy source of power plants. Beside that, there are several conditions that can hampering the land expansion planning such as existing soil that dominated by silty clay, soil bearing capacity in the expansion area tends to be low until a depth of 16 meters (NSPT < 15), and the location of the land expansion area is on the coast.*

*Given these conditions, in this final project there will be planning of a shore protection with improving the soil and the typical foundation of storage tank. Based on the results of the sea water waves forecasting the data of soil that obtained the height of the planned peak shore protection with a rubble mound structure as high as 4,78 m and decided that area will be devided to 3 area expansion for the planning, the planned soil improvement method is a preloading method of PVD combination with a triangle and quadrilateral pattern; distance between PVD 0,8 m; and the length of the PVD to the depth of the compressible layer. Based on the calculation of the increase in the carrying capacity of the soil and stability analysis of the shore protection slope with an assist*

*program obtained SF > 1.5 making it safe against slipping or landslides.*

*On the other hand, from the calculation of the decrease in the shallow foundation of the storage tank is not recommended because the reduction in the tank by 1,212 m exceeds the maximum permit limit of the oil and gas storage tank by API 653 which is equal to 2 inches or 50.8 mm. Therefore, it was decided to plan the foundation in the spupile WIKA product with a depth of up to 24 m without soil improvement in the construction area of the storage tank.*

***Keywords: PLTMG 50 MW, Preloading, Prefabricated Vertical Drain, Sea Wave Analysis, Shore Protection, Shallow Foundation, Deep Foundation,***

## KATA PENGANTAR

Puji dan syukur ke hadirat Tuhan Yang Maha Esa karena atas berkat rahmat, kasih dan bimbingan-Nya penulis dapat menyelesaikan Tugas Akhir yang berjudul “Perencanaan *Shore Protection* dan Tipikal Pondasi pada Area Perluasan di Proyek Pembangunan PLTMG 50 MW PT. Perusahaan Listrik Negara, Sorong” ini dengan baik dan tepat waktu. Pada akhir kata, penulis mengucapkan terima kasih yang sebesar-besarnya kepada :

1. Orang tua dan saudara kandung saya yang telah memberikan semangat selama perkuliahan di ITS
2. Prof. Dr. Ir. Herman Wahyudi selaku Dosen Pembimbing I yang telah memberikan bimbingannya dalam proses penyusunan Tugas Akhir ini.
3. Musta'in Arif, ST. MT. Dosen Pembimbing II yang telah memberikan bimbingannya dalam proses penyusunan Tugas Akhir ini.
4. Anak Agung Ngurah Satria Damar Negara, S.T., M.T. PhD selaku Dosen konsultasi bidang hidroteknik yang telah memberikan bimbingannya dalam proses penyusunan Tugas Akhir ini.
5. Seluruh dosen pengajar di Departemen Teknik Sipil yang telah mengajar dan membimbing selama masa perkuliahan.
6. Dikky Prasetyo, Muarif, Wisnu Dito, Shalva Rania, Diaz Rachma, Avi, dan A58 yang telah memberikan bantuan dan motivasi selama proses penyusunan Tugas Akhir ini
7. Kakak – kakak alumni Mega S58 dan Belia S57 yang sudah membantu dalam proses penyusunan Tugas Akhir Ini
8. Rekan – rekan CECC HMS 2018/2019 yang selalu mendukung dalam penyusunan Tugas Akhir ini
9. Rekan – rekan S-59 serta semua pihak yang telah memberikan bantuan dalam proses penyusunan Tugas

### Akhir ini

Dalam penulisan Tugas Akhir ini, saya menyadari bahwa masih ada kekurangan. Maka kritik dan saran yang bersifat membangun sangat saya harapkan demi laporan ini.

Semoga Tugas Akhir ini dapat memberikan manfaat bagi pembaca, penulis dan semua pihak yang terkait.

Surabaya, 26 Juli 2020

Penulis

## **DAFTAR ISI**

Abstrak .....	vii
Abstract .....	ix
KATA PENGANTAR.....	xi
DAFTAR ISI.....	xiii
DAFTAR GAMBAR .....	xxi
DAFTAR TABEL.....	xxv
BAB I.....	1
PENDAHULUAN.....	1
1.1 Latar Belakang .....	1
1.2 Rumusan Masalah.....	4
1.3 Tujuan.....	4
1.4 Batasan Studi .....	4
1.5 Manfaat .....	5
1.6 Lokasi Studi .....	5
1.7 Lingkup Studi .....	6
BAB II.....	9
TINJAUAN PUSTAKA .....	9
2.1 Jenis Tanah dan Perilakunya .....	9
2.2 Analisa Parameter Tanah .....	9
2.21 Korelasi Parameter Tanah.....	9
2.2.1 Pengelompokan Tanah.....	14
2.3 Definisi Pantai.....	14
2.4 Analisa Gelombang Air Laut .....	16
2.4.1 Angin .....	16
2.4.2 Analisa Periode Ulang.....	20
2.4.3 Gelombang .....	20
2.5 Fluktuasi Muka Air Laut .....	20

2.5.1	Kenaikan muka air karena gelombang ( <i>Set Up Wave</i> ) .....	21
2.5.2	Kenaikan muka air karena angin ( <i>Wind Set Up</i> ) .....	21
2.5.3	Pemanasan Global ( <i>SLR</i> ).....	22
2.5.4	Pasang Surut Air Laut .....	23
2.5.5	Elevasi Muka Air Laut Rencana .....	23
2.5.6	Run-up Gelombang .....	24
2.6	Bangunan Pengaman Pantai ( <i>Shore Protection</i> ).....	25
2.6.1	<i>Revetment</i> dengan struktur <i>Rubble Mound</i> .....	26
2.6.2	Stabilitas Batu Lapis Pelindung ( <i>Armour Layer</i> ) .....	26
2.6.3	Dimensi Pemecah Gelombang Sisi Miring.....	28
2.6.5	Stabilitas Pelindung Kaki .....	30
2.6.6	Stabilitas <i>Shore Protection</i> .....	32
2.7	Pemampatan Tanah.....	32
2.8	Distribusi Tegangan .....	32
2.9	Besar dan Lama Waktu Pemampatan.....	36
2.9.1	Besar Pemampatan Total / <i>Settlement (St)</i> .....	36
2.9.2	Lama Waktu Pemampatan Konsolidasi (t) .....	39
2.10	Metode untuk Mempercepat Waktu Konsolidasi dengan Menggunakan <i>Prefabricated Vertical Drain</i> ( <i>PVD</i> ).....	41
2.10.1	<i>Prefabricated Vertical Drain</i> ( <i>PVD</i> ) .....	41
2.10.2	Menentukan Waktu Konsolidasi akibat <i>Vertical Drain</i> .....	41
2.10.3	Derajat Konsolidasi Rata – Rata (U) .....	46
2.11	Metode Perbaikan Tanah dengan Sistem Preloading	46
2.11.1	Penentuan Tinggi Timbunan Awal (H inisial) .....	46
2.11.2	Penentuan Tinggi Kritis (H <sub>cr</sub> ) .....	47
2.11.3	Peningkatan Daya Dukung Tanah akibat <i>Preloading</i> .....	47
2.12	Stabilitas Lereng .....	49
2.13	<i>Geotextile</i> .....	49

2.14	2.13.1 Jenis – jenis <i>Geotextile</i> .....	49
	2.13.2 Perencanaan <i>Geotextile</i> .....	50
2.14	Pondasi Dangkal .....	53
	2.14.1 Daya Dukung Pondasi Dangkal.....	54
	2.14.2 Daya Dukung Pondasi Diatas Dua Lapisan Tanah .....	55
	2.15.3 Penurunan Pondasi Dangkal.....	57
2.15	Pondasi Dalam .....	58
	2.15.1 Harga N Koreksi .....	58
	2.15.2 Daya Dukung Pondasi Dalam Berdasarkan Hasil Standar Penetration Test (SPT).....	58
	2.15.3 Repartisi Beban untuk Satu Tiang .....	60
	2.15.4 Daya Dukung Pondasi Dalam Kelompok.....	61
	2.15.5Penurunan Tiang dalam Group .....	62
	2.15.6 Kontrol Kekuatan Pondasi Dalam .....	65
BAB III	.....	71
METODOLOGI	.....	71
3.1	Flowchart .....	71
3.2	Uraian tahapan perencanaan .....	72
	3.2.1 Pengumpulan Data .....	72
	3.2.2 Studi Literatur .....	73
	3.2.3 Analisa Data.....	73
	3.2.4 Perencanaan <i>Shore Protection</i> .....	73
	3.2.5 Perencanaan Perbaikan Tanah .....	74
	3.2.6 Perencanaan Perkuatan Tanah .....	74
	3.2.7 Perencanaan Pondasi Tipikal.....	74
	3.2.8 Penggambaran Hasil Perencanaan.....	75
	3.2.9 Kesimpulan dan Saran.....	75
BAB IV	.....	77
ANALISA DATA TANAH	.....	77
4.1.	Analisis Data NSPT Tanah Dasar .....	77
4.2	Analisis Sebaran Data Tanah Dasar .....	79
4.3	Korelasi Parameter Tanah Dasar .....	82

4.3.1	Korelasi Berat Volume Tanah ( $\gamma$ ) .....	82
4.3.2	Korelasi <i>Undrained Shear Strength</i> ( $C_u$ ) .....	83
4.3.3	Korelasi Angka Pori ( $e_0$ ) dan Porositas (n) Tanah .....	83
4.3.4	Korelasi <i>Spesific Gravity</i> (Gs).....	84
4.3.5	Korelasi Koefisien Kompresi Tanah ( $C_c$ ).....	84
4.3.6	Korelasi Koefisien Mengembang Tanah ( $C_s$ )	85
4.3.7	Korelasi Koefisien <i>Compression Ratio</i> (CR)..	85
4.3.8	Korelasi Koefisien Pengaliran Tanah Vertikal ( $C_v$ ) .....	85
4.3.9	Korelasi Koefisien Pengaliran Tanah Horizontal ( $C_h$ ) .....	86
4.3.10	Korelasi Batas Cair Tanah ( $LL$ ) .....	86
4.3.11	Korelasi Batas Indeks Plastisitas Tanah ( $PI$ )	87
4.3.12	Korelasi Sudut Geser <i>Undrained</i> $\phi_u$ .....	87
4.3.13	Korelasi Angka Poisson $\mu$ .....	87
4.3.14	Korelasi Modulus Elastisitas $E_u$ .....	88
4.3.15	Korelasi <i>Water Content</i> (Wc) .....	88
4.3.16	Rekapitulasi Parameter Tanah .....	88
BAB V .....	91	
ANALISA GELOMBANG AIR LAUT .....	91	
5.1	Pengumpulan Data Oceanografi.....	91
5.2	Analisis Fetch Efektif.....	91
5.3	Peramalan Tinggi Gelombang dan Periode Gelombang Laut Dalam .....	93
5.4	Periode Ulang Gelombang dengan Program Bantu Minitab.....	94
5.5	Perhitungan Elevasi Muka Air Rencana.....	95
5.5.1	Tinggi <i>Wave Set Up</i> (Sw).....	95
5.5.2	Tinggi <i>Wind Set Up</i> ( $\Delta h$ ) .....	96
5.5.3	Tinggi Akibat Pemanasan Global (SLR).....	96
5.5.4	Total Elevasi Muka Air Rencana .....	97
5.6	Perhitungan Elevasi Puncak Rencana <i>Shore Protection</i> .....	97

5.6.1 Tinggi <i>Run Up</i> ( <i>Ru</i> ) .....	97
5.6.2 Total Elevasi Puncak <i>Shore Protection</i> .....	99
BAB VI.....	101
PERENCANAAN <i>SHORE</i> PROTECTION      DENGAN STRUKTUR <i>RUBBLE MOUND</i> .....	101
6.1    Jenis Batu <i>Shore Protection</i> dan Perencanaan <i>Layout</i> <i>Shore Protection</i> . .....	101
6.2    Stabilitas Batu Lapis Pelindung .....	102
6.2.1 Lapis Pelindung Pertama / <i>Primary Layer</i> ( <i>W<sub>1</sub></i> ). .....	102
6.2.2 Lapis Pelindung <i>Secondary Layer</i> ( <i>W<sub>2</sub></i> ) .....	103
6.2.3 Inti <i>Shore Protection</i> / <i>Core</i> ( <i>W<sub>core</sub></i> ).....	103
6.3    Perhitungan Dimensi <i>Revetment</i> .....	103
6.3.1 Dimensi Batu Pecah.....	103
6.3.2 Lebar Puncak <i>Revetment</i> .....	104
6.3.3 Tebal Lapis Pelindung .....	104
6.4    Stabilitas Pelindung Kaki ( <i>Toe Protection</i> ).....	105
6.4.1 Berat Butir dan Tebal Lapis <i>Toe Protection</i> .105	105
6.4.2 Dimensi <i>Toe Protection</i> dan.....	106
6.5    Geotextile Non Woven dan Rekapitulasi Dimensi Final <i>Revetment</i> .....	106
BAB VII.....	109
ANALISA <i>PRELOADING</i> DAN      PERENCANAAN <i>PREFABRICATED VERTICAL DRAIN</i> .....	109
7.1    Perhitungan Timbunan <i>Preloading</i> .....	109
7.2    Data Timbunan dan Beban Lainnya .....	109
7.2.1 Spesifikasi Tanah Timbunan.....	109
7.2.2 Beban Operasional .....	110
7.3    Besar Pemampatan Konsolidasi (Sc).....	110
7.3.1 Tegangan Overburden Efektif dan Tegangan Prakonsolidasi.....	111
7.3.2 Distribusi Tegangan Akibat Timbunan .....	112

7.3.3	Distribusi Tegangan Akibat Beban Operasional .....	112
7.3.4	Perhitungan Pemampatan (Sc) .....	113
7.4	Besar Pemampatan Segera (Si) .....	114
7.5	Total Pemampatan (St).....	116
7.6	Perhitungan Tinggi Rencana Timbunan .....	116
7.6.1	Perhitungan Tinggi Timbunan Awal ( $H_{inisial}$ ) dan Tinggi Timbunan Akhir ( $H_{final}$ ) .....	116
7.6.2	Penentuan Tinggi Awal ( $H_{inisial}$ ) dan St Rencana Timbunan.....	120
7.7	Perhitungan Tinggi Awal ( $H_{inisial}$ ) <i>Shore Protection</i> .....	121
7.7.1	Besar Settlement akibat Batu <i>Shore Protection</i> .. ....	122
7.7.2	Hinisial dan <i>Settlement</i> Rencana Batu <i>Shore Protection</i> .....	123
7.7	Perhitungan Waktu Pemampatan Natural.....	126
7.8	Perencanaan <i>Prefabricated Vertical Drain</i> (PWD).128	
7.8.1	Perhitungan Derajat Konsolidasi Vertikal ( $U_v$ ).. ..	128
7.8.2	Perhitungan Derajat Konsolidasi Horizontal ( $U_h$ ) ..	129
7.8.3	Perhitungan Derajat Konsolidasi Rata – Rata ( <b><math>U</math></b> ) ..	130
BAB VIII .....		135
ANALISA STABILITAS SLIDING TALUD SHORE PROTECTION .....		135
8.1	Penentuan Tinggi Kritis <i>Puncture / Poinconnement</i> 135	
8.1.1	Tinggi Kritis Timbunan .....	135
8.1.2	Tinggi Kritis <i>Shore Protection</i> .....	136
8.2	Penimbunan Bertahap .....	137
8.2.1	Perhitungan Tegangan di Tiap Lapisan Tanah untuk Derajat Konsolidasi ( $U = 100\%$ ).....	137
8.2.2	Perhitungan Tegangan di Tiap Lapisan Tanah untuk Derajat Konsolidasi ( $U < 100 \%$ ).....	138

8.3	Perhitungan Paramater Baru akibat Peningkatan Daya Dukung Tanah.....	138
8.4	Stabilitas <i>Puncture</i> pada Tinggi Timbunan dan Batu <i>Shore Protection</i> Kritis .....	143
8.5	Analisa Stabilitas Sliding ( <i>Slope Stability</i> ) dengan Program Bantu Geo 5.....	144
BAB IX .....		147
<b>PERENCANAAN PONDASI TIPIKAL TANGKI TIMBUN</b>		<b>147</b>
9.1	Layout Pembangunan Tangki Timbun .....	147
9.2	Analisa Pembebanan Tangki Timbun .....	147
9.2.1	Beban Mati.....	148
9.2.2	Beban Hidup .....	149
9.2.3	Beban Angin .....	149
9.2.4	Beban Gempa.....	149
9.2.5	Kombinasi Beban Tiang dalam Kelompok ..	150
9.3	Perhitungan Daya Dukung Pondasi Dangkal dengan Cu baru .....	151
9.4	Kontrol Settlement Pondasi Dangkal .....	154
9.5	Perencanaan Pondasi Dalam .....	156
9.5.1	Perhitungan Daya Dukung Tiang Tunggal...	157
9.5.2	Perencanaan Jumlah dan Kedalaman Tiang Pancang.....	162
9.6	Kontrol Penurunan Tiang Pancang dalam Group ...	167
9.6.1	Penurunan Konsolidasi Tiang dalam Group.	167
9.6.2	Penurunan Elastis Tiang dalam Group .....	169
9.6.3	Total Penurunan Tiang dalam Group .....	171
9.7	Kontrol Bahan Tiang Pancang .....	173
9.7.1	Kontrol <i>Axial Ultimate Spunpile</i> .....	174
9.7.2	Kontrol Momen <i>Crack Spunpile</i> .....	174
9.8	Kontrol Lateral Tiang Pancang .....	175
9.8.1	Kontrol Defleksi Lateral .....	175
9.8.2	Kontrol Kekuatan Tiang Terhadap Gaya Lateral .....	176
9.9	Pemilihan Tiang Pancang.....	176

9.10	Perencanaan Poer Pondasi Dalam .....	178
9.10.1	Kontrol Geser Ponds .....	179
9.10.2	Perencanaan Penulangan Poer .....	180
BAB X .....		187
KESIMPULAN DAN SARAN .....		187
10.1	Kesimpulan .....	187
10.2	Saran .....	188
DAFTAR PUSTAKA .....		189
LAMPIRAN .....		191
BIODATA PENULIS .....		231

## DAFTAR GAMBAR

<b>Gambar 1. 1</b> Lokasi kabupaten penghasil minyak dan gas.....	1
<b>Gambar 1. 2</b> Area perluasan lahan PLTMG 50 MW Sorong .....	2
<b>Gambar 1. 3</b> Lokasi PLTMG 50 MW berada di pesisir pantai ....	3
<b>Gambar 1. 4</b> Lokasi PLTMG 50 MW Sorong.....	5
<b>Gambar 2. 1</b> Hubungan koefisien konsolidasi ( $C_v$ ) dan batas cair (LL) (After US. Navy,1982).....	11
<b>Gambar 2. 2</b> Hubungan batas cair (LL) dan indeks plastisitas (PI) Cassagrande (Ameratunga et. al, 2016) .....	11
<b>Gambar 2. 3</b> Definisi dan Batasan Pantai.....	15
<b>Gambar 2. 4</b> Faktor koreksi akibat perbedaan temperatur.....	17
<b>Gambar 2. 5</b> Faktor koreksi kecepatan angin di laut dan darat..	17
<b>Gambar 2. 6</b> Fetch .....	19
<b>Gambar 2. 7</b> Formula peramalan tinggi gelombang laut dalam (H) dan periode gelombang laut dalam (T) .....	19
<b>Gambar 2. 8</b> Wave Set-Up dan Set-Down .....	21
<b>Gambar 2. 9</b> Muka air laut karena badai .....	22
<b>Gambar 2. 10</b> Perkirakan kenaikan muka air laut karena pemanasan global .....	23
<b>Gambar 2. 11</b> Penentuan elevasi muka air rencana tanpa Tsunami.....	24
<b>Gambar 2. 12</b> Grafik run up gelombang .....	25
<b>Gambar 2. 13</b> Rubble mound Shore Protection.....	26
<b>Gambar 2. 14</b> tampang tiga lapis yang disarankan dengan serangan gelombang pada satu sisi .....	29
<b>Gambar 2. 15</b> Angka stabilitas $N_s$ untuk pelindung kaki .....	30
<b>Gambar 2. 16</b> Fondasi (a) dan pelindung kaki (b) dari tumpukan batu .....	31
<b>Gambar 2. 17</b> Desain minimal pelindung kaki.....	31
<b>Gambar 2. 18</b> Kurva faktor pengaruh I untuk beban trapezium	33
<b>Gambar 2. 19</b> Visualisasi dan Notasi $\Delta p$ .....	34
<b>Gambar 2. 20</b> Kurva faktor pengaruh I untuk beban lingkaran .	35

<b>Gambar 2. 21</b> Visualisasi distribusi beban terbagi rata .....	36
<b>Gambar 2. 22</b> Material PVD .....	41
<b>Gambar 2. 23</b> Pola segi empat .....	43
<b>Gambar 2. 24</b> Pola segi tiga .....	43
<b>Gambar 2. 25</b> Diameter lingkaran ekivalen penagaruh PVD ....	44
<b>Gambar 2. 26</b> Kedudukan timbunan saat mengalami .....	46
<b>Gambar 2. 27</b> Harga tegangan berbeda – beda setiap kedalam tanah yang ditinjau .....	48
<b>Gambar 2. 28</b> Non woven .....	50
<b>Gambar 2. 29</b> Woven .....	50
<b>Gambar 2. 30</b> Sketsa pemasangan geotextile .....	52
<b>Gambar 2. 31</b> Pondasi dangkal D/B < 4.....	53
<b>Gambar 2. 32</b> Dasar teori untuk tipe dua lapis tanah.....	55
<b>Gambar 2. 33</b> Grafis Giroud daya dukung tanah pasir -lempung .....	56
<b>Gambar 2. 34</b> Penurunan segera tanah berlapis - lapis.....	57
<b>Gambar 2. 35</b> Konsolidasi tiang dalam group .....	64
<b>Gambar 2. 36</b> 3 Kondisi tiang pancang .....	66
<b>Gambar 2. 37</b> Koefisien variasi (f) untuk tiang pancang yang menerima beban lateral .....	68
<b>Gambar 2. 38</b> Koefisien-koefisien untuk tiang pancang yang menerima beban lateral pada kondisi I .....	68
<b>Gambar 2. 39</b> Koefisien-koefisien untuk tiang pancang yang menerima beban lateral pada kondisi II .....	69
<b>Gambar 3. 1</b> Diagram alir perencanaan tugas akhir .....	71
<b>Gambar 3. 2</b> Diagram alir perencanaan tugas akhir (lanjutan) ..	72
<b>Gambar 4. 1</b> Titik bor log pada area perencanaan perluasan lahan .....	77
<b>Gambar 4. 2</b> Grafik gabungan data NSPT .....	78
<b>Gambar 4. 3</b> Zonasi area perluasan lahan .....	81
<b>Gambar 4. 4</b> Grafik NSPT vs $\gamma_{sat}$ (J.E.Bowles,1984) .....	82
<b>Gambar 4. 5</b> Korelasi nilai LL dengan PI .....	86
<b>Gambar 4. 6</b> Korelasi nilai LL dengan PI .....	87

<b>Gambar 5. 1</b> Analisis panjang fetch (a) arah utara; (b) arah barat; (c) arah selatan; (d) arah barat daya; (e) arah barat laut.....	92
<b>Gambar 5. 2</b> Perkiraan terbaik kenaikan muka air akibat pemanasan global (Triatmodjo,2012).....	97
<b>Gambar 5. 3</b> Ploting nilai Ru/H .....	98
<b>Gambar 5. 4</b> Sketsa elevasi puncak <i>shore protection</i> .....	99
<b>Gambar 6. 1</b> Layout rencana pembangunan shore protection .	102
<b>Gambar 6. 2</b> Grafik hubungan $d_1/d_s$ dengan $Ns^3$ .....	105
<b>Gambar 7. 1</b> Grafik hubungan (a) Hinisial vs Hfinal; (b)Settlement vs Hfinal Zona 1 .....	118
<b>Gambar 7. 2</b> Grafik hubungan (a) Hinisial vs Hfinal; (b)Settlement vs Hfinal Zona 2 .....	119
<b>Gambar 7. 3</b> Grafik hubungan (a) Hinisial vs Hfinal; (b)Settlement vs Hfinal Zona 3 .....	120
<b>Gambar 7. 4</b> Grafik hubungan (a) H inisial dan H final; (b) Settlement dan Hfinal akibat beban batu <i>shore protection</i> zona 1 .....	123
<b>Gambar 7. 5</b> Grafik hubungan (a) H inisial dan H final; (b) Settlement dan Hfinal akibat beban batu <i>shore protection</i> zona 2 .....	124
<b>Gambar 7. 6</b> Grafik hubungan (a) H inisial dan H final; (b) Settlement dan Hfinal akibat beban batu <i>shore protection</i> zona 3 .....	125
<b>Gambar 7. 7</b> Grafik hubungan U rata – rata terhadap waktu dengan pola segitiga (a) zona 1; (b) zona 2; (c) zona 3.....	131
<b>Gambar 7. 8</b> Grafik hubungan U rata – rata terhadap waktu dengan pola segiempat (a) zona 1; (b) zona 2; (c) zona 3 .....	133
<b>Gambar 8. 1</b> Skema pentahapan pemasangan batu <i>shore protection</i> dan timbunan.....	137
<b>Gambar 8. 2</b> Analisa SF <i>Sliding</i> lereng <i>shore protection</i> zona 1 .....	146

<b>Gambar 8. 3</b> Analisa SF <i>Sliding</i> lereng <i>shore protection</i> zona 2 .....	146
<b>Gambar 8. 4</b> Analisa SF <i>Sliding</i> lereng <i>shore protection</i> zona 3 .....	146
<b>Gambar 9. 1</b> Layout Pembangunan Tangki Timbun LFO .....	147
<b>Gambar 9. 2</b> Sketsa pembebahan tangki timbun LFO .....	148
<b>Gambar 9. 3</b> Grafik spektral percepatan daerah sorong .....	149
<b>Gambar 9. 4</b> Geometri perhitungan daya dukung pondasi dangkal .....	152
<b>Gambar 9. 5</b> Metode grafis untuk mencari nilai $N_c^*$ .....	153
<b>Gambar 9. 6</b> Geometri perhitungan penurunan segera tanah berlapis .....	155
<b>Gambar 9. 7</b> Grafik daya dukung tiang tunggal izin dengan metode luciano decourt (koreksi MAT) zona 3 .....	161
<b>Gambar 9. 8</b> Ploting nilai $qu$ untuk mencari nilai $f$ .....	163
<b>Gambar 9. 9</b> Geometri perhitungan penurunan konsolidasi group .....	168
<b>Gambar 9. 10</b> Ploting grafik koefisien momen ( $F_m$ ) .....	174
<b>Gambar 9. 11</b> Ploting nilai $L/T$ mencari koefisien defleksi ( $F_\delta$ ) .....	175
<b>Gambar 9. 12</b> Permodelan poer pondasi dengan SAP 2000 ....	180

## DAFTAR TABEL

<b>Tabel 2. 1</b> N-SPT dan Korelasinya (J. E. Bowles, 1984) .....	10
<b>Tabel 2. 2</b> Korelasi Parameter Tanah (Biarez & Favre, 1976) ....	10
<b>Tabel 2. 3</b> Korelasi Empiris untuk Cc (Ameratunga et. al, 2016) .....	12
<b>Tabel 2. 4</b> Korelasi Empiris untuk Compression Ratio (Djoenaidi, 1985) .....	13
<b>Tabel 2. 5</b> Harga – Harga Angka Poisson .....	13
<b>Tabel 2. 6</b> Nilai tipikal Eu untuk tanah lempung (U.S Army (1994) dan Bowles (1986)).....	14
<b>Tabel 2. 7</b> Parameter Gelombang Laut Dalam, Transisi dan Dangkal .....	20
<b>Tabel 2. 8</b> Koefisien Stabilitas KD untuk Berbagai Jenis Butiran .....	27
<b>Tabel 2. 9</b> Tabel Koefisien Lapis .....	29
<b>Tabel 2. 10</b> Tabel Nilai Koefisien Nc .....	47
<b>Tabel 2. 11</b> Kapasitas Daya Dukung berbagai Jenis Pondasi .....	54
<b>Tabel 2. 12</b> Nilai Nc, Nq, dan Ny dari Caquot & Kerisel .....	55
<b>Tabel 2. 13</b> Nilai $C_N$ terhadap $\sigma'v$ ( SEED, dkk) .....	58
<b>Tabel 2. 14</b> Koefisien Dasar Decourt $\alpha$ (1996).....	60
<b>Tabel 2. 15</b> Koefisien Dasar Decourt $\beta$ (1996).....	60
<b>Tabel 4. 1</b> Cek Kovarian BH 1 dan BH 2 .....	80
<b>Tabel 4. 2</b> Cek Kovarian BH 2 dan BH 3 .....	80
<b>Tabel 4. 3</b> Cek Kovarian BH 1, BH2, dan BH3 .....	81
<b>Tabel 4. 4</b> Rekapitulasi Korelasi Parameter Tanah Zona 1 .....	89
<b>Tabel 4. 5</b> Rekapitulasi Korelasi Parameter Tanah Zona 2 .....	89
<b>Tabel 4. 6</b> Rekapitulasi Korelasi Parameter Tanah Zona 3 .....	90
<b>Tabel 5. 1</b> Data Pasang Surut Air Laut di Sorong .....	91
<b>Tabel 5. 2</b> Rekapitulasi Hmo dan Tp maksimum tiap tahun .....	94
<b>Tabel 5. 3</b> Periode Ulang Tinggi dan Periode Gelombang .....	95
<b>Tabel 6. 1</b> Berat Jenis Berbagai Batuan .....	101
<b>Tabel 6. 2</b> Rekapitulasi perhitungan dimensi batu pecah .....	107

<b>Tabel 7. 1</b> Beban Operasional Perancangan.....	110
<b>Tabel 7. 2</b> Perhitungan Si Zona 3 untuk Tinggi Timbunan 3m	115
<b>Tabel 7. 3</b> Perhitungan H inisial dan H final untuk Zona 1 .....	117
<b>Tabel 7. 4</b> Perhitungan H inisial dan H final untuk Zona 2 .....	117
<b>Tabel 7. 5</b> Perhitungan H inisial dan H final untuk Zona 3 .....	117
<b>Tabel 7. 6</b> Hasil Perhitungan Hinisial dan St rencana .....	121
<b>Tabel 7. 7</b> Rekapitulasi Perhitungan Besar Stotal, Hinitial dan Hfinal Zona 1 akibat Beban Batu Shore Protection .....	122
<b>Tabel 7. 8</b> Rekapitulasi Perhitungan Besar Stotal, Hinitial dan Hfinal Zona 2 akibat Beban Batu Shore Protection .....	122
<b>Tabel 7. 9</b> Rekapitulasi Perhitungan Besar Stotal, Hinitial dan Hfinal Zona 3 akibat Beban Batu Shore Protection .....	122
<b>Tabel 7. 10</b> Rekapitulasi Perhitungan Besar Stotal, Hinitial dan Hfinal Zona 3 akibat Beban Batu <i>Shore Protection</i> .....	126
<b>Tabel 7. 11</b> Nilai Cv Per Lapisan untuk Semua Zona .....	126
<b>Tabel 7. 12</b> Rekapitulasi perhitungann Waktu Konsolidasi Natural untuk Semua Zona.....	127
<b>Tabel 7. 13</b> Rekapitulasi Jarak Pemasangan PVD .....	133
<b>Tabel 8. 1</b> Rekapitulasi Hasil Perhitungan Parameter Baru akibat Beban Timbunan Zona 1 .....	141
<b>Tabel 8. 2</b> Rekapitulasi Hasil Perhitungan Parameter Baru akibat Beban Batu Shore Protection Zona 1.....	141
<b>Tabel 8. 3</b> Rekapitulasi Hasil Perhitungan Parameter Baru akibat Beban Timbunan Zona 2 .....	142
<b>Tabel 8. 4</b> Rekapitulasi Hasil Perhitungan Parameter Baru akibat Beban Batu Shore Protection Zona 2.....	142
<b>Tabel 8. 5</b> Rekapitulasi Hasil Perhitungan Parameter Baru akibat Beban Timbunan Zona 3 .....	143
<b>Tabel 8. 6</b> Rekapitulasi Hasil Perhitungan Parameter Baru akibat Beban Batu Shore Protection Zona 3.....	143
<b>Tabel 8. 7</b> Peningkatan Nilai SF puncture pada Timbunan .....	144
<b>Tabel 8. 8</b> Peningkatan Nilai SF pada Batu Shore Protection ..	144

<b>Tabel 9. 1</b> Parameter Tanah Baru Zona 3 .....	151
<b>Tabel 9. 2</b> Jumlah Tiang Pancang untuk Jarak antar Tiang 2,5 D .....	162
<b>Tabel 9. 3</b> Jumlah Tiang Pancang untuk Jarak antar Tiang 3D	162
<b>Tabel 9. 4</b> Kombinasi Beban Tiang Tidak Terfaktor untuk Diamater Tiang 0,6 dan Variasi Jarak antar Tiang 3D.....	164
<b>Tabel 9. 5</b> Rekapitulasi Pmax dan Pmin untuk Diamater Tiang 0,6 dan Variasi Jarak antar Tiang 3D .....	165
<b>Tabel 9. 6</b> Rekapitulasi Kedalaman Tiang Pancang .....	167
<b>Tabel 9. 7</b> Rekapitulasi Hasil Perhitungan Penurunan Elastis Tiang dalam Group kondisi <i>floating</i> .....	171
<b>Tabel 9. 8</b> Rekapitulasi Perhitungan <i>Settlement</i> Tiang Group Kondisi <i>Floating</i> variasi 2,5 D .....	172
<b>Tabel 9. 9</b> Rekapitulasi Perhitungan <i>Settlement</i> Tiang Group Kondisi <i>Floating</i> variasi 3 D .....	172
<b>Tabel 9. 10</b> Rekapitulasi Perhitungan <i>Settlement</i> Tiang Group hingga kedalaman End Bearing .....	173
<b>Tabel 9. 11</b> Kapasitas Kuat Bahan Tiang Diameter 60 cm .....	173
<b>Tabel 9. 12</b> Kontrol Kuat Bahan ( $S = 2,5 D$ ) .....	177
<b>Tabel 9. 13</b> Kontrol Kuat Bahan ( $S = 3D$ ) .....	177
<b>Tabel 9. 14</b> Kontrol Lateral Tiang ( $S = 2,5D$ ).....	178
<b>Tabel 9. 15</b> Kontrol Lateral Tiang ( $S = 3 D$ ).....	178

“ Halaman ini sengaja dikosongkan “

## BAB I

### PENDAHULUAN

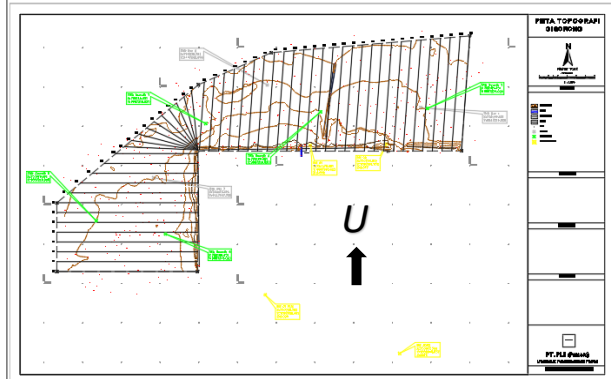
#### 1.1 Latar Belakang

Potensi Sumber daya energi berupa minyak bumi, gas bumi, panas bumi, batu bara, tenaga air, tenaga matahari (solar) di Papua yang tersedia cukup besar tetapi belum dapat dimanfaatkan secara optimal. Minyak bumi dan gas bumi (Migas) pada saat ini masih menjadi Sumber daya andalan utama sebagai energi untuk kebutuhan dalam negeri maupun sebagai komoditas eksport. Ada beberapa kabupaten yang termasuk daerah penghasil migas diantaranya Teluk Bintuni, Kabupaten Sorong, dan Kepulauan Raja Ampat. Adapun lokasi daerah penghasil migas dapat ditunjukkan pada (**Gambar 1.1**). Oleh Sebab itu PT Perusahaan Listrik Negara (PLN) telah membangun sejumlah pembangkit listrik tenaga minyak gas (PLTMG) berskala 10-50 megawatt (MW) di beberapa kota di Papua.



**Gambar 1. 1** Lokasi kabupaten penghasil minyak dan gas  
(Sumber : Google Earth)

PLTMG dengan kapasitas 50 MW telah dibangun di kota Sorong, Papua Barat merupakan upaya pemanfaatan Sumber daya migas untuk memenuhi kebutuhan listrik di wilayah tersebut. PLTMG 50 MW Sorong sudah beroperasi sejak tahun 2018 dan saat ini direncanakan untuk dilakukan pengembangan agar tercapai PLTMG dengan kapasitas seperti yang diharapkan. Salah satu pengembangan yang dilakukan oleh PT. Perusahaan Listrik Negara (PLN) di Sorong adalah perluasan lahan PLTMG untuk peningkatkan kapasitas pembangkit menjadi 50 MW. Perluasan lahan ini direncanakan ke arah barat laut dari PLTMG 50 MW Sorong yang sudah dibangun dengan luas lahan perluasan yang direncanakan sebesar 4,6945 hm<sup>2</sup> seperti ditunjukkan pada (**Gambar 1.2**) dan perluasan lahan ini direncanakan untuk pembangunan tangki tegak berisi minyak.



**Gambar 1. 2** Area perluasan lahan PLTMG 50 MW Sorong  
 (Sumber : Dokumen PT. PLN,2019)

Untuk itu, dilakukan investigasi kondisi lapangan pada area perluasan lahan. Hasilnya disimpulkan bahwa kondisi lapisan tanah eksisting didominasi oleh lanau kelempungan dengan daya dukung tanah cenderung rendah hingga kedalaman kritis 16 meter sesuai ditunjukkan oleh data bor log pada **Lampiran 1.2**. Tanah dikategorikan lunak apabila nilai SPT kurang dari 15 sesuai dengan tabel NSPT dan korelasinya dapat dilihat pada **Tabel 2.1**. Selain

itu lokasi yang berada di pesisir pantai **Gambar 1.3** dapat menyebabkan tergerusnya tanah timbunan akibat abrasi.



**Gambar 1.3** Lokasi PLTNG 50 MW berada di pesisir pantai  
(*Sumber : Google Earth*)

Kondisi tersebut di atas tentunya menjadi permasalahan dalam pengembangan lahan PLTNG. Adapun kondisi ideal yang diharapkan diantaranya beban tangki timbun yang berisi *light fuel oil* (LFO) harus didukung oleh tanah dibawahnya dan tidak boleh terjadi *settlement* berlebihan pada tangki. Pemampatan harus cepat selesai sebelum waktu yang telah ditentukan dan tidak boleh terjadi abrasi yang berlebihan pada area pesisir pantai.

Dengan adanya kondisi yang diharapkan maka perlu suatu usaha agar kondisi tersebut dapat dicapai. Adapun usaha – usaha yang dapat dilakukan diantaranya perbaikan tanah dengan cara peningkatan daya dukung tanah dan perkuatan tanah; alternatif perencanaan pondasi dangkal atau dalam untuk beban tangki timbun dan *shore protection* yang kuat menahan abrasi di sepanjang pesisir pantai

## 1.2 Rumusan Masalah

Adapun permasalahan yang muncul dalam studi ini, antara lain :

1. Berapa tinggi final puncak *Shore Protection* agar tidak terjadi *overtopping* ?
2. Berapa tinggi rencana timbunan dan *shore protection* agar tercapai tinggi final ?
3. Bagaimana cara mempercepat pemampatan akibat beban timbunan dan batu *shore protection* ?
4. Berapa dimensi *shore protection* dengan struktur *rubble mound* di pesisir pantai ?
5. Bagaimana stabilitas lereng dengan *shore protection* terhadap *slope stability* ?
6. Bagaimana tipikal pondasi yang sesuai dengan kondisi tanah dan beban tangki timbun di atasnya?

## 1.3 Tujuan

Adapun tujuan yang ingin dicapai dari tugas akhir ini adalah diperoleh detail perencanaan *Shore Protection* yang stabil di sepanjang pesisir lahan perluasan dan desain pondasi tipikal yang sesuai untuk beban tangki timbun beserta isinya.

## 1.4 Batasan Studi

Pembatasan studi diperlukan agar pembahasan Perencanaan *Shore Protection* dan Tipikal Pondasi pada Area Perluasan di Proyek Pembangunan PLTNG 50 MW PT. Perusahaan Listrik Negara, Sorong tidak meluas. Adapun Batasan studi dalam Tugas Akhir ini adalah :

1. Daerah studi adalah area perluasan lahan PTLNG 50 MW sesuai dengan peta perluasan lahan dapat dilihat pada **Lampiran 1.4**
2. Data yang digunakan adalah data sekunder.
3. Tidak menganalisa difraksi dan refraksi akibat pulau – pulau kecil
4. Tidak melakukan studi perubahan pola arus dan sedimentasi

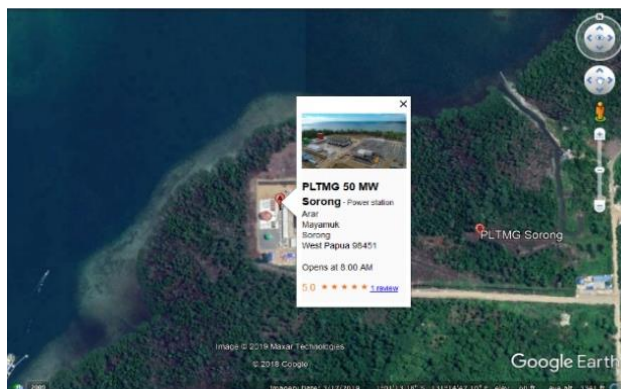
5. Analisis stabilitas hanya pada lereng dengan *shore protection*
6. Analisis penurunan tangki timbun berdasarkan penurunan seragam
7. Tidak menghitung biaya perencanaan dan menganalisis *scheduling* serta metode pelaksanaan proyek

## 1.5 Manfaat

Manfaat dari tugas akhir ini adalah sebagai bahan masukan dan referensi untuk perencanaan perencanaan *shore protection* yang stabil dan perencanaan pondasi yang sesuai untuk beban tangki timbun diatasnya.

## 1.6 Lokasi Studi

Secara geografis pekerjaan pematangan lahan PLTMG 50 MW terletak di sekitar  $1^{\circ}01'13.18''$  LS dan  $131^{\circ}14'47.10''$  BT di Desa Arar, Kecamatan Mayamuk, Kabupaten Sorong, Provinsi Papua Barat **Gambar 1.4**.



**Gambar 1.4** Lokasi PLTMG 50 MW Sorong  
(Sumber : *Google Earth*)

## 1.7 Lingkup Studi

### a. Pengumpulan Data

Pengumpulan data diperoleh dari data sekunder. Adapun data-data yang diperlukan, yaitu:

1. Data tanah berupa data boring log dan SPT
2. Data *oceanografi* diantaranya :

- Data angin satelit 2009 – 2019
- Data parameter pasang surut air laut

3. Peta topografi
4. Data dimensi dan beban tangki timbun

### b. Studi Literatur

Berikut ini adalah studi literatur yang digunakan untuk acuan dalam penyelesaian tugas akhir sebagai berikut :

1. Teori tentang korelasi parameter tanah
2. Teori analisa gelombang air laut
3. Teori tentang perencanaan *shore protection*
4. Teori perbaikan tanah
5. Teori tentang perencanaan pondasi dangkal
6. Teori tentang perencanaan pondasi dalam

### c. Analisa Data

1. Analisa data tanah dilakukan untuk mengetahui data tanah bersifat homogen atau heterogen sehingga dapat diputuskan data tersebut dapat digabung atau tidak. Setelah itu dilakukan korelasi parameter data tanah sebagai acuan perencanaan disebabkan Sumber data hanya terbatas dari data NSPT saja.
2. Analisa gelombang air laut dilakukan untuk mengetahui tinggi elevasi puncak rencana *shore protection*

### d. Perencanaan *Shore Protection* dengan struktur *Rubble Mound*

Dalam perencanaan *Shore Protection* ada beberapa tahapan dilakukan diantaranya :

1. Perhitungan batu lapis pelindung

2. Perhitungan dimensi *revetment*
- e. Perencanaan dan Analisa Stabilitas Timbunan
- Setelah didapatkan tinggi timbunan rencana dilakukan perencanaan perbaikan tanah diantaranya sebagai berikut :
1. Perhitungan besarnya pemampatan akibat beban timbunan dan beban operasional
  2. Menghitung lama dan besar pemampatan
  3. Perencanaan kebutuhan, pola, dan kedalaman PVD
  4. Mencari nilai parameter tanah baru akibat beban bertahap timbunan dan *shore protection*
  5. Kontrol timbunan dan *shore protection* terhadap keruntuhan / *puncture*
  6. Kontrol stabilitas lereng (*slope stability*) timbunan dengan *shore protection* tanpa perkuatan
  7. Perencanaan *geotextile* sebagai perkuatan tanah apabila lereng timbunan tidak stabil
- f. Perencanaan Pondasi Dangkal Tangki Timbun
- Dalam perencanaan pondasi dangkal perlu diperhatikan kontrol sebagai berikut :
1. Kontrol daya dukung tanah
  2. Kontrol terhadap *Settlement*
- g. Perencanaan Pondasi Dalam Tangki Timbun
- Dalam perencanaan pondasi dalam perlu diperhatikan kontrol sebagai berikut :
1. Kontrol beban axial (*axial load*)
  2. Kontrol beban horizontal (*lateral load*)
  3. Kontrol defleksi dan beban momen
  4. *Settlement* tiang pancang dalam group
- h. Kesimpulan dan Saran

“ Halaman ini sengaja dikosongkan “

## **BAB II**

### **TINJAUAN PUSTAKA**

#### **2.1 Jenis Tanah dan Perilakunya**

Pengertian Tanah menurut Ramman adalah bahan batuan yang sudah dirombak menjadi partikel-partikel kecil yang telah berubah secara kimiawi bersama-sama dengan sisa-sisa tumbuhan dan hewan yang hidup di dalam dan diatasnya. (Ramman (Jermana, 1917)). Berdasarkan ukurannya, tanah terdiri dari berbagai ukuran butiran, mulai dari butiran yang paling kecil (halus) hingga butiran yang besar (kasar). Dalam ilmu teknik sipil, tanah perlu diklasifikasikan berdasarkan jenis dan karakteristiknya dengan tujuan untuk mengelompokkan tanah yang berbeda- beda namun mempunyai sifat yang serupa ke dalam grup maupun sub group.

Berdasarkan sifat lekatannya, tanah dapat dibagi menjadi 2 jenis, antara lain:

1. Tanah non kohesif,

Tanah non kohesif adalah tanah yang tidak mempunyai lekatan antar butirannya ( $c = 0$ ). Umumnya tanah non kohesi tidak mengandung lempung contohnya yaitu pasir.

2. Tanah kohesif,

Tanah kohesif adalah tanah yang mempunyai lekatan antar butirannya ( $c > 0$ ).

#### **2.2 Analisa Parameter Tanah**

##### **2.21 Korelasi Parameter Tanah**

Parameter tanah dapat dikorelasi apabila parameter tanah tidak didapatkan pada hasil laboratorium. Tabel hubungan parameter tanah dan rumus empiris digunakan untuk korelasi parameter tanah. Adapun tabel, grafik dan rumus empiris dapat dilihat pada **Tabel 2.1** sampai dengan **Tabel 2.6**

**Tabel 2. 1** N-SPT dan Korelasinya (J. E. Bowles, 1984)

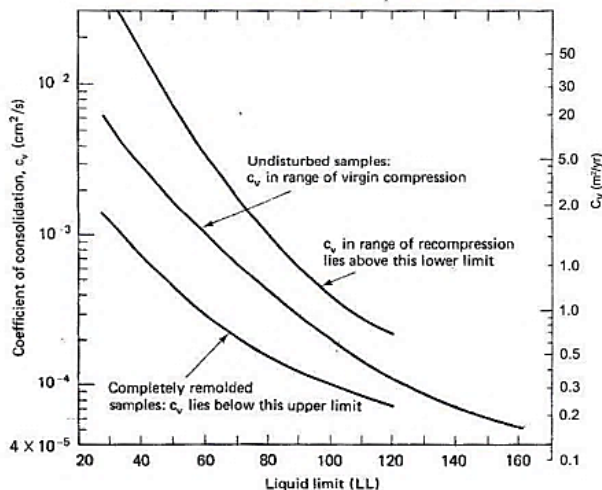
Cohesionless Soil					
N ( blows )	0-3	4-10	11-30	31-50	>50
$\gamma$ (kN/m <sup>3</sup> )	-	12-16	14-18	16-20	18-23
$\phi^{(o)}$	-	25-32	28-36	30-40	>40
State	Very Loose	Loose	Medium	Dense	Very Dense
Dr (%)	0-15	15-35	35-65	65-85	85-100
Cohesive Soil					
N ( blows )	<4	4-6	6-15	16-25	>25
$\gamma$ (kN/m <sup>3</sup> )	14-18	16-18	16-18	16-20	>20
qu (kPa)	<25	20-50	30-60	40-200	>200
Consistency	Very Soft	Soft	Medium	Stiff	Hard

Sumber : Wahyudi, 1999

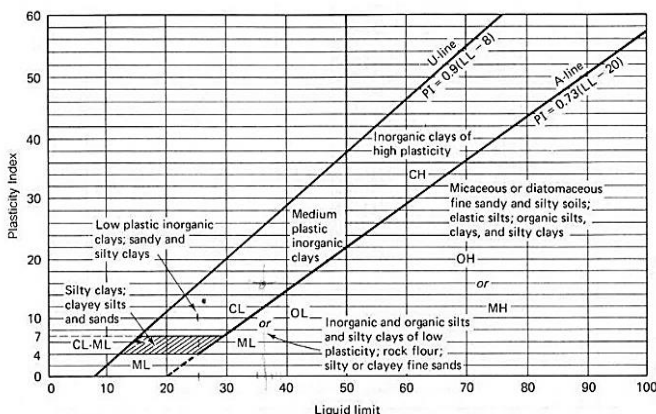
**Tabel 2. 2** Korelasi Parameter Tanah (Biarez & Favre, 1976)

SIFAT TANAH	$\gamma_d$ g/cm <sup>3</sup>	lb.cb.ft	e	n	Wsat %	$\gamma sat$ g/cm <sup>3</sup>	Cv cm <sup>2</sup> /s	ft <sup>2</sup> /year
silt clay	0,5	31,25	4,4	0,8	163	1,31	$10^{-5}$	
	0,6	37,5	3,5	0,78	129,6	1,38		
	0,7	43,75	2,86	0,74	105,8	1,44	$1 \times 10^{-4}$	3,4
	0,8	50	2,38	0,7	88	1,5	$2 \times 10^{-4}$	6,8
	0,9	56,25	2	0,67	74,1	1,57	$3 \times 10^{-4}$	10,1
							$4 \times 10^{-4}$	11,1
	1	62,5	1,7	0,63	63	1,63	$5 \times 10^{-4}$	16,9
	1,1	58,85	1,45	0,59	53,9	1,69	$6 \times 10^{-4}$	20,3
	1,2	75	1,25	0,56	46,3	1,76	$7 \times 10^{-4}$	23,6
	1,3	81,25	1,08	0,52	39,9	1,82	$8 \times 10^{-4}$	27
Gravel, Sand	1,4	87,5	0,93	0,48	34,4	1,88	$9 \times 10^{-4}$	30,4
	1,5	93,75	0,8	0,44	29,6	1,94	$10^{-3}$	338
	1,6	100	0,69	0,41	25,5	2,04		
	1,7	106,25	0,59	0,37	21,8	2,07		
	1,8	112,5	0,5	0,33	18,5	2,13	$10^{-2}$	338
	1,9	118,75	0,42	0,3	15,6	2,2		
							$10^{-1}$	338
	2	125	0,35	0,26	13	2,26		
	2,1	131,25	0,29	0,22	10,6	2,32		
	2,2	137,5	0,23	0,19	8,4	2,39		
Gravel	2,3	143,75	0,17	0,15	6,4	2,45		
	2,4	150	0,13	0,11	4,63	2,51		
	2,5	156,25	0,08	0,074	2,96	2,57		
	2,6	162,5	0,038	0,037	1,42	2,64		
	2,7	168,75	0	0	0	2,7		

Sumber : Haq, 2017



**Gambar 2. 1** Hubungan koefisien konsolidasi ( $C_v$ ) dan batas cair (LL) (After US. Navy,1982)



**Gambar 2. 2** Hubungan batas cair (LL) dan indeks plastisitas (PI) Cassagrande (Ameratunga et. al, 2016)

**Tabel 2. 3 Korelasi Empiris untuk Cc (Ameratunga et. al, 2016)**

Korelasi	Keterangan	Referensi
$Cc = 0,009 (LL - 10)$	Undisturbed clay of sensitivity less than 4. Reliability $\pm 30\%$	Terzaghi and Peck (1948)
$Cc = 0,007 (LL - 10)$	Remoulded clay	Skempton (1944)
$Cc = 0,0046 (LL - 9)$	Sao Paulo, Brazil clays	Cozzolino (1961)
$Cc = 0,0186 (LL - 30)$	Soft silty Brazilian clays	Cozzolino (1961)
$Cc = 0,01(LL - 13)$	All clays	USACE (1990)
$Cc = 0,008(LL - 8,2)$	Indiana Soils	Lo and Lovell (1982)
$Cc = 0,21 + 0,009 LL$	Weathered & soft Bangkok clays	Balasubramanian and Brenner (1981)
$Cc = 0,3 (e_0 + 0,27)$	Inorganic Silty clay	Hough (1957)
$Cc = 1,15 (e_0 + 0,35)$	All clays	Azzouz et al. (1976)
$Cc = 0,75 (e_0 + 0,5)$	Soil of very low plasticity	Azzouz et al. (1976)
$Cc = 0,4 (e_0 + 0,25)$	Clays from Greece & part of US	Azzouz et al. (1976)
$Cc = 0,141G_S^{1,2} \left( \frac{1+e_0}{G_S} \right)^{2,382}$	90 samples; Bowles(1988) suggest e0 be less than 0,8	Rendon - Herrero (1980)
$Cc = 0,256 + 0,43(e_0 + 0,84)$	Brazilian clays	Cozzolino (1961)
$Cc = 0,54 (e_0 - 0,35)$	All clays	Noshida (1956)
$Cc = 0,22 + 0,29 e_0$	Weathered & soft Bangkok clays	Balasubramanian and Brenner (1981)
$Cc = 0,575e_0 + 0,241$	French clays	Balasubramanian and Brenner (1981)
$Cc = 0,5363(e_0 + 0,411)$	Indiana Soils	Goldberg et al. (1979)
$Cc = 0,496e_0 - 0,195$	Indiana Soils	Lo and Lovell (1982)
$Cc = 0,4 (e_0 - 0,25)$	Clays from Greece & part of US	Azzouz et al. (1976)
$Cc = 0,01 W_n$	Chicago clays	Azzouz et al. (1976)
$Cc = 0,01 W_n$	Canada clays	Koppula (1981)
$Cc = 0,0115 W_n$	Organic soils, peat	USACE (1990) and Azzouz et al. (1976)
$Cc = 0,012 W_n$	All clays	USACE (1990)
$Cc = 0,01 (W_n - 5)$	Clays from Greece & parts of US	Azzouz et al. (1976)
$Cc = 0,0126 W_n - 0,162$	Indiana Soils	Lo and Lovell (1982)
$Cc = 0,008 W_n - 0,2$	Weathered soft Bangkok clays	Balasubramanian and Brenner (1981)
$Cc = 0,0147 W_n - 0,213$	French clays	Balasubramanian and Brenner (1981)
$Cc = (1 + e_0)[0,1 + 0,006(W_n - 25)]$	Varved clays	USACE (1990)

Sumber : kumpulan korelasi parameter  
geoteknik dan fondasi, 2019

**Tabel 2. 4** Korelasi Empiris untuk Compression Ratio (Djoenaidi, 1985)

Jenis Tanah	Korelasi	Referensi
Marine clays of southeast Asia	CR = 0.0043 $w_n$	Azzouz et al. (1976)
	CR = 0.0045 LL	Balasubramanian and Brenner (1981)
Bangkok clays	CR = 0.00463LL - 0.013	Balasubramanian and Brenner (1981)
	CR = 0.0039 $w_n$ + 0.013	Balasubramanian and Brenner (1981)
French clays	CR = 0.0039 $w_n$ + 0.013	Balasubramanian and Brenner (1981)
Indiana clays	CR = 0.0249 + 0.003 $w_n$	Lo and Lovell (1982)
	CR = 0.0294 + 0.00238 LL	
	CR = 0.0125 + 0.0152 $e_0$	
Indiana clays	CR = 0.2037 ( $e_0$ - 0.2465)	Goldberg et al. (1979)
Clays from Greece & part of US	CR = 0.002 (LL + 9)	Azzouz et al. (1976)
	CR = 0.14 ( $e_0$ - 0.007)	
	CR = 0.003 ( $w_n$ + 7)	
	CR = 0.126 ( $e_0$ + 0.003LL-0.06)	
Chicago clays	CR = 0.208 $e_0$ + 0.0083	Azzouz et al. (1976)
Inorganic & organic clays and silty soils	CR = 0.156 $e_0$ + 0.0107	Elnaggar and Krizek (1970)

Sumber : kumpulan korelasi parameter geoteknik dan fondasi, 2019

**Tabel 2. 5** Harga – Harga Angka Poisson

Jenis Tanah	Angka Poisson
Pasir lepas	0,2 - 0,4
Pasir agak padat	0,25 - 0,4
Pasir padat	0,3 - 0,45
Pasir berlanau	0,2 - 0,4
Lempung lembek	0,15 - 0,25
Lempung agak kaku	0,2 - 0,5

Sumber : Braja M, 1988

**Tabel 2. 6** Nilai tipikal  $E_u$  untuk tanah lempung (U.S Army (1994) dan Bowles (1986))

Clay	$E_u$ (MPa)
Lempung sangat lunak	0.5-5
Lempung lunak	5-20
Lempung sedang	20-50
Lempung kaku; lempung berlanau	50-100
Lempung berpasir	25-200
Lempung serpihan	100-200

Sumber : kumpulan korelasi parameter geoteknik dan fondasi,  
2019

### 2.2.1 Pengelompokan Tanah

Pendekatan statistik yang digunakan adalah dengan pengambilan keputusan berdasarkan koefisien varian ( $K_v$ ) dari suatu distribusi nilai parameter tanah.

Beberapa persamaan statistik untuk banyak data kurang dari 100 sebagai berikut (ITS, 1998) :

Rata-rata (Mean),

$$\bar{X} = \frac{\sum_{n=1}^n X}{n} \quad (2.1)$$

Standar Deviasi,

$$STD = \sqrt{\frac{\sum(x-U)^2}{n-1}} \quad (2.2)$$

Koefisien Varian,

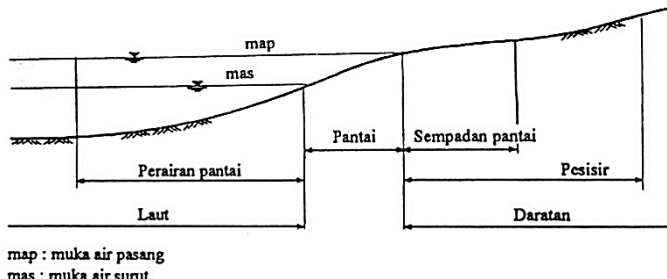
$$K_v = \frac{STD}{U} \times 100\% \quad (2.3)$$

Dimana distribusi sebaran suatu nilai dapat diterima jika harga koefisien varian ( $CV$ ) dari sebaran tersebut bernilai lebih kecil atau sama dengan 20%. Apabila nilai koefisien varian ( $CV$ ) lebih besar dari pada 20%, maka perlu dilakukan pembagian *layer* tanah sampai nilai  $CV$  tersebut kurang dari atau sama dengan 20%.

### 2.3 Definisi Pantai

Pantai adalah perbatasan antara lautan dengan daratan. Terdapat dua pemahaman tentang pantai yang sering rancu, yakni

pesisir (*coast*) dan pantai (*shore*). Pemahaman tentang beberapa definisi tentang pantai dapat dilihat pada **Gambar 2.3**



**Gambar 2. 3 Definisi dan Batasan Pantai**

Sumber: Triatmodjo, 2012

Keterangan :

1. Pesisir adalah daerah darat di tepi laut yang masih mendapat pengaruh laut seperti pasang surut, angin laut dan perembesan air laut.
2. Pantai adalah daerah di tepi perairan yang dipengaruhi oleh air pasang tertinggi dan air surut terendah.
3. Daerah daratan adalah daerah yang terletak di atas dan di bawah permukaan daratan dimulai dari batas garis pasang tertinggi.
4. Daerah lautan adalah daerah yang terletak di atas dan di bawah permukaan laut di mulai dari sisi laut pada garis surut terendah.
5. Garis pantai adalah garis batas pertemuan antara daratan dan air laut, di mana posisinya tidak tetap dan dapat berpindah sesuai dengan pasang surut air laut dan erosi pantai yang terjadi.
6. Sempadan pantai adalah kawasan tertentu sepanjang pantai yang mempunyai manfaat penting untuk mempertahankan kelestarian fungsi pantai.

## 2.4 Analisa Gelombang Air Laut

### 2.4.1 Angin

Angin merupakan salah satu faktor yang harus diperhatikan dalam perencanaan bangunan pantai. Hal ini dikarenakan angin dapat menyebabkan arus dan gelombang yang menimbulkan efek tekanan pada bangunan pantai.

#### 1. Efek elevasi

Untuk pengukuran angin yang tidak pada elevasi 10 m maka harus dikonversikan pada elevasi berikut. Berikut formula yang diperoleh digunakan untuk memudahkan perhitungan konversi sebagai berikut :

$$U_{(10)} = U_{(y)} \left( \frac{10}{y} \right)^{\frac{1}{7}} \quad (2.4)$$

dimana :

$U(10)$  = kecepatan angin pada ketinggian 10 m di atas permukaan laut.

$U(y)$  = kecepatan angin pada ketinggian  $y$  di atas permukaan laut.

Apabila angin diukur didarat maka data kecepatan angin tersebut harus dikonversikan seolah – olah angin diukur oleh air laut. Berikut perumusan CERC, 1984 yang digunakan untuk konversi :

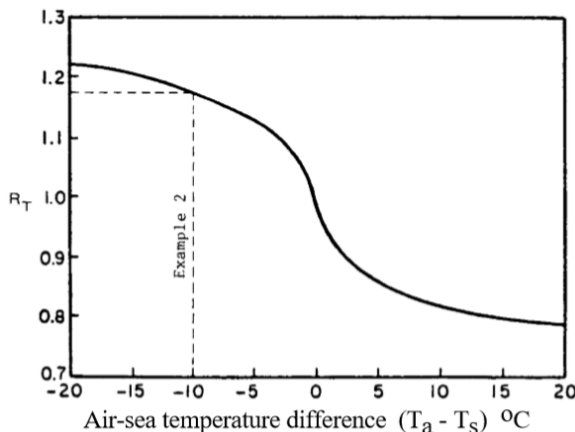
$$U = R_T \cdot R_L \cdot U_{(10)L} \quad (2.5)$$

dimana :

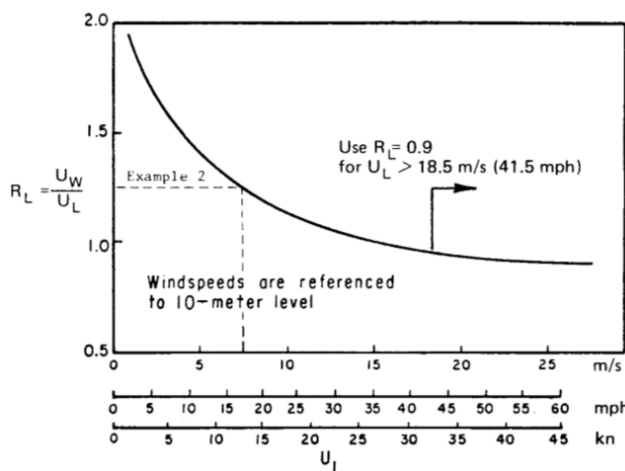
$R_T$  = faktor koreksi terhadap perbedaan temperatur antara udara dan air **Gambar 2.4**

$R_L$  = faktor koreksi terhadap kecepatan angin di darat **Gambar 2.5**

$U(10)L$  = kecepatan angin pada ketinggian 10 m di atas tanah (Land)



**Gambar 2. 4** Faktor koreksi akibat perbedaan temperatur  
Sumber: CERC, 1984



**Gambar 2. 5** Faktor koreksi kecepatan angin di laut dan darat  
Sumber: CERC, 1984

2. Koreksi stabilitas

Apabila terjadi perbedaan antara temperatur udara dan air laut maka harus dikoreksi dengan faktor koreksi RT. Adapun formula yang diberikan sebagai berikut :

$$U = R_T \cdot U_{(10)} \quad (2.6)$$

3. Koefisien drag

Dalam peramalan gelombang yang diperlukan kecepatan angin yang telah disesuaikan (Adjusted windspeed, UA) :

$$U_A = 0,71 \cdot U^{1,23} \quad (2.7)$$

4. Fetch

Pada pembangkitan gelombang air laut perhitungan fetch dipengaruhi oleh daratan yang mengelilingi lautan. Fetch rata – rata efektif dapat diberikan dalam persamaan sebagai berikut (Triadmodjo,2012) :

$$F_{eff} = \frac{\sum (X_i \cdot \cos \alpha_i)}{\sum (\cos \alpha_i)} \quad (2.8)$$

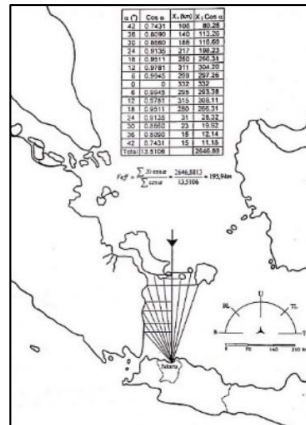
dimana :

$F_{eff}$  = fetch rata – rata efektif

$X_i$  = Panjang segmen fetch yang diukur dari titik observasi gelombang ke ujung akhir fetch.

$\cos \alpha_i$  = deviasi pada kedua sisi arah angin dengan menggunakan pertambahan  $6^\circ$  sampai sudut  $42^\circ$  pada kedua sisi dari arah mata angin.

Adapun contoh penggambaran fetch dapat dilihat pada **Gambar 2.6**

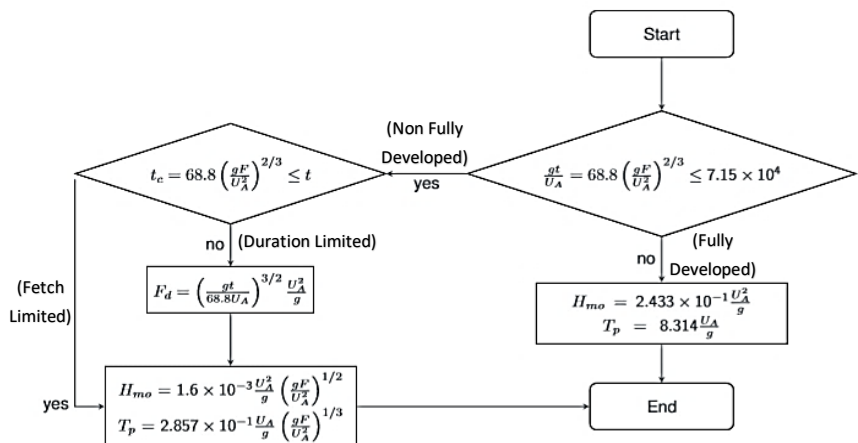


Gambar 2. 6 Fetch

Sumber: Triadmodjo, 2012

5. Peramalan gelombang laut dalam

Dalam peramalan gelombang laut dalam menggunakan alur Flowchart yang ditampilkan pada Gambar 2.7



Gambar 2. 7 Formula peramalan tinggi gelombang laut dalam (H) dan periode gelombang laut dalam (T)

Sumber : CERC, 1984

### 2.4.2 Analisa Periode Ulang

Analisa periode ulang merupakan analisa prediksi gelombang ekstrim yang terjadi pada periode ulang tertentu. Untuk analisa prediksi gelombang priode ulang bisa digunakan program bantu aplikasi Minitab atau sejenisnya.

### 2.4.3 Gelombang

Gelombang air laut dikategorikan menjadi beberapa macam berdasarkan pembangkitnya. Gelombang tersebut adalah gaya yang dibangkitkan oleh tiupan angin diperukaan laut, gelombang pasang surut dibangkitkan oleh gaya tarik benda benda langit terutama matahari dan bulan terhadap bumi dan sebagainya. (Triatmodjo, 2012)

Perbandingan antara kedalaman air dan panjang gelombang ( $d/L$ ) didapatkan klasifikasi gelombang terhadap kedalaman relatif. Gelombang dikategorikan dalam 3 gelombang air laut sebagai acuan dapat dilihat pada **Tabel 2.7**

**Tabel 2.7** Parameter Gelombang Laut Dalam, Transisi dan Dangkal

Parameter	Laut Dalam	Laut Transisi	Laut Dangkal
Kedalaman Relatif ( $d/Lo$ )	$> \frac{1}{25} - \frac{1}{2}$	$\frac{1}{25} - \frac{1}{2}$	$< \frac{1}{25} - \frac{1}{2}$
Cepat Rambat ( $C$ )	$1,56 T$	$\frac{gT}{2\pi} \tan kd$	$\sqrt{gd}$
Panjang Gelombang ( $L$ )	$1,56 T^2$	$\frac{gT}{2\pi} \tan kd$	$\sqrt{gd} T$

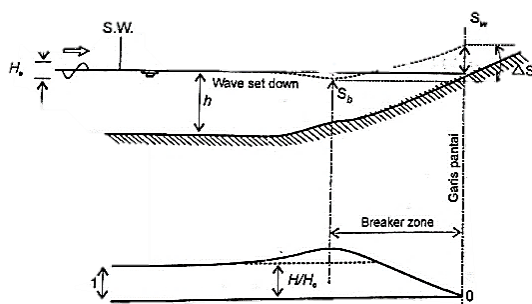
Sumber: CERC, 1984

### 2.5 Fluktuasi Muka Air Laut

Beberapa proses alam yang terjadi dalam waktu yang bersamaan membentuk variasi muka air laut dengan periode panjang. Proses alam tersebut meliputi tsunami, gelombang badai, kenaikan muka air karena gelombang, kenaikan muka air karena perubahan suhu global, dan pasang surut.

### 2.5.1 Kenaikan muka air karena gelombang (*Set Up Wave*)

Gelombang yang datang dari laut menuju pantai menyebabkan fluktuasi muka air di daerah pantai terhadap muka air diam. Pada waktu gelombang pecah akan terjadi penurunan elevasi muka air rerata terhadap elevasi muka air diam di sekitar lokasi gelombang pecah. Kemudian dari titik di mana gelombang pecah permukaan air rerata miring ke atas ke arah pantai. Turunnya muka air tersebut dikenal dengan wave set-down, sedang naiknya muka air disebut wave set-up; seperti **Gambar 2.8**



**Gambar 2.8** Wave Set-Up dan Set-Down

Sumber : Triatmodjo, 2012

### 2.5.2 Kenaikan muka air karena angin (*Wind Set Up*)

Angin dengan kecepatan besar (badai) yang terjadi di atas permukaan laut bisa membangkitkan fluktuasi muka air laut yang besar di sepanjang pantai jika badai tersebut cukup kuat dan daerah pantai dangkal dan luas. Penentuan elevasi muka air rencana selama terjadinya badai adalah sangat kompleks yang melibatkan interaksi antara angin dan air, perbedaan tekanan atmosfer dan beberapa parameter lainnya.

Kenaikan elevasi muka air karena badai dapat dihitung dengan persamaan berikut :

$$\Delta h = \frac{F_i}{2} \quad (2.9)$$

$$\Delta h = Fc \cdot \frac{V^2}{2gd} \quad (2.10)$$

dimana :

$\Delta h$  = kenaikan elevasi muka air karena badai (m)

$F$  = panjang Fetch (m)

$I$  = kemiringan muka air

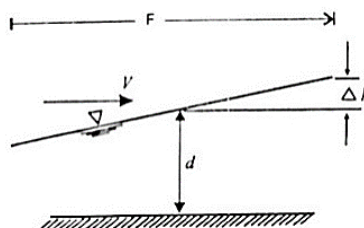
$c$  = konstanta ( $3,5 \times 10^{-6}$ )

$V$  = kecepatan angin (m/dt)

$d$  = kedalaman air (m)

$g$  = percepatan gravitasi (m/d<sup>2</sup>)

Berikut ilustrasi fluktuasi air laut akibat badai dapat dilihat pada **Gambar 2.9**

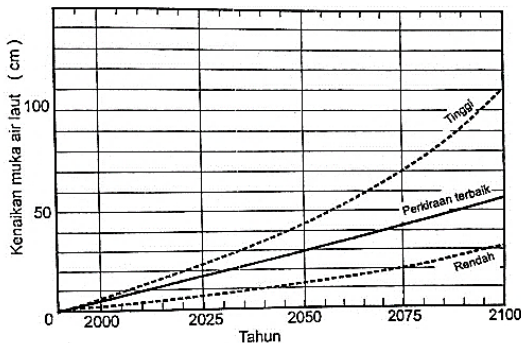


**Gambar 2.9** Muka air laut karena badai

Sumber: Triatmodjo, 2012

### 2.5.3 Pemanasan Global (SLR)

Peningkatan konsentrasi gas-gas rumah kaca di atmosfer menyebabkan kenaikan suhu bumi sehingga mengakibatkan kenaikan muka air laut. Di dalam perencanaan bangunan pantai, kenaikan muka air karena pemanasan global harus diperhitungkan. Berdasarkan perkiraan **Gambar 2.10** memberikan perkiraan besarnya kenaikan muka air laut dari tahun 1990 sampai 2100, yang disertai perkiraan batas atas dan bawah.



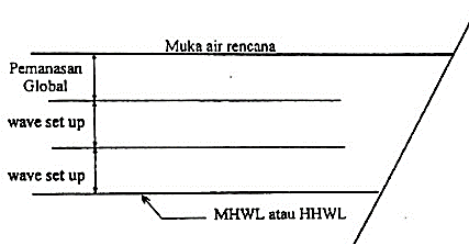
**Gambar 2. 10** Perkirakan kenaikan muka air laut karena pemanasan global  
Sumber: Triatmodjo, 2012

#### 2.5.4 Pasang Surut Air Laut

Pasang surut adalah fluktuasi muka air laut karena adanya gaya tarik benda-benda di langit, terutama matahari dan bulan terhadap massa air laut di bumi. Meskipun massa bulan jauh lebih kecil dari massa matahari, tetapi karena jaraknya terhadap bumi jauh lebih dekat, maka pengaruh gaya Tarik bulan terhadap bumi lebih besar daripada pengaruh gaya tarik matahari. Gaya tarik bulan yang mempengaruhi pasang surut adalah 2,2 kali lebih besar daripada gaya tarik matahari (Triatmodjo, 2012)

#### 2.5.5 Elevasi Muka Air Laut Rencana

Elevasi muka air laut rencana merupakan parameter yang sangat penting dalam perencanaan bangunan pantai. Elevasi tersebut merupakan penjumlahan dari beberapa parameter yaitu pasang surut, tsunami, wave set-up, wind set-up, dan kenaikan muka air karena perubahan suhu global **Gambar 2.11** menunjukkan contoh penentuan elevasi muka air rencana



**Gambar 2. 11** Penentuan elevasi muka air rencana tanpa Tsunami

Sumber: Triatmodjo, 2012

## 2.5.6 Run-up Gelombang

Run up gelombang terbentuk ketika gelombang menghantam bangunan pantai. Tinggi run-up tergantung pada bentuk dan kekasaran bangunan, kemiringan dasar laut, kedalaman air pada kaki bangunan, dan karakteristik gelombang.

Berikut cara penentuan tinggi *run up* adalah sebagai berikut dengan nilai  $Ir$  di plot pada grafik **Gambar 2.12** :

$$Ir = \frac{\tan \theta}{\left(\frac{H}{L_0}\right)^{0,5}} \quad (2.11)$$

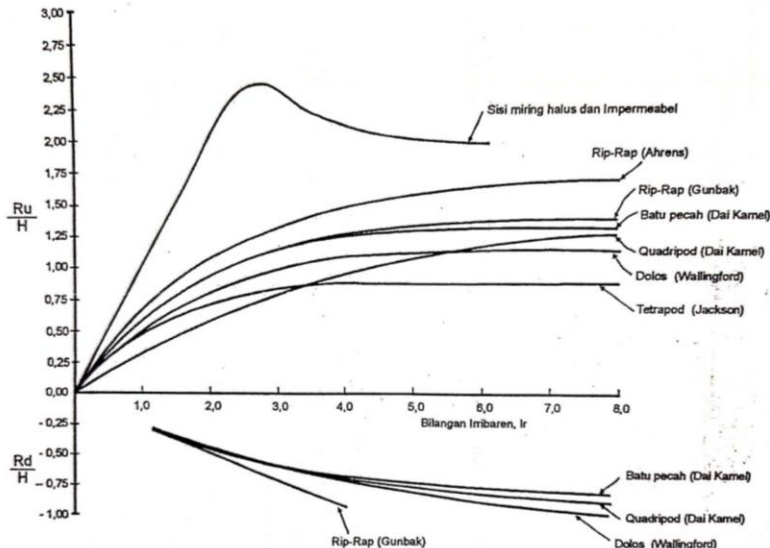
dimana :

$Ir$  = bilangan Irribaren

$\theta$  = sudut kemiringan sisi pemecah gelombang

$H$  = tinggi gelombang di lokasi bangunan

$L_0$  = panjang gelombang di laut dalam



**Gambar 2. 12 Grafik run up gelombang**  
Sumber: Triatmodjo, 2012

## 2.6 Bangunan Pengaman Pantai (*Shore Protection*)

Bangunan pengaman pantai memiliki fungsi sebagai proteksi agar material timbunan tidak terjadi penggerusan secara berlebihan oleh gelombang air laut. Adapun beberapa cara yang dapat dilakukan untuk melindungi pantai diantaranya:

1. Perkuatan pada pantai agar dapat menahan hantaman gelombang air laut
2. Perubahan laju transport sedimen di sepanjang pantai
3. Pengurangan energi gelombang air laut hingga ke pantai
4. Reklamasi dengan cara yakni penambahan sedimen di pantai

### 2.6.1 Revetment dengan struktur *Rubble Mound*

*Revetment* adalah bangunan pengaman pantai yang didesain miring dan diaplikasikan di sepanjang garis pantai untuk menahan abrasi air laut. Adapun struktur *rubble mound breakwater* merupakan salah satu dari beberapa struktur *breakwater* yang identik dengan batuan pecah sebagai lapis pelindung / *armour layer* dan inti / *core* dibagian tengah. Berikut contoh foto *revetment* dengan *rubble mound* dapat dilihat **Gambar 2.13**



**Gambar 2. 13** *Rubble mound Shore Protection*

Sumber: CERC, 1984

### 2.6.2 Stabilitas Batu Lapis Pelindung (*Armour Layer*)

Armour layer adalah lapisan batuan pelindung yang memiliki fungsi sebagai peredam hantaman air laut. Dalam perhitungan armour layer dapat menggunakan perumusan oleh Hudson sebagai berikut:

$$W = \frac{\gamma_r.H}{K_D (S_r - 1)^3 \cdot \cot \theta} \quad (2.12)$$

$$S_r = \frac{\gamma_r}{\gamma_a} \quad (2.13)$$

dimana:

W = berat armour (ton)

$\gamma_r$  = berat jenis armour

$\gamma_a$  = berat jenis air laut (=1,025 ton/m<sup>3</sup>)

H = tinggi gelombang rencana (m)

$\theta$  = sudut kemiringan tangul

$K_D$  = koefisien stabilitas tergantung pada bentuk batu pelindung (batu alam atau buatan), kekasaran permukaan batu, ketajaman sisi-sisinya, ikatan antara butir, dan keadaan pecahnya gelombang, yang diberikan dalam **Tabel 2.8**

**Tabel 2.8** Koefisien Stabilitas  $KD$  untuk Berbagai Jenis Butiran

Lapis Lindung	n	Penempatan	Lengan Bangunan		Ujung (kepala) bangunan		Kemiringan	
			$K_D$		$K_D$			
			Gelomb. Pecah	Gelomb. Tidak Pecah	Gelomb. Pecah	Gelomb. Tidak Pecah		
Batu pecah								
Bulat halus	2	Acak	1,2	2,4	1,1	1,9	1,5 - 3,0	
Bulat halus	>3	Acak	1,6	3,2	1,4	2,3	* <sup>2</sup>	
Bersudut kasar	1	Acak	* <sup>1</sup>	2,9	* <sup>1</sup>	2,3	* <sup>2</sup>	
Bersudut kasar	2	Acak	2,0	4,0	1,9	3,2	1,5	
Bersudut kasar	>3	Acak	2,2	4,5	2,1	4,2	* <sup>2</sup>	
Bersudut kasar	2	Khusus * <sup>3</sup>	5,8	7,0	5,3	6,4	* <sup>2</sup>	
Paralelepipedum	2	Khusus	7,0-20,0	8,5-24,0	-	-		
Tetrapod dan Quadripod	2	Acak	7,0	8,0	5,0	6,0	1,5	
Tribar	2	Acak	9,0	10,0	4,5	5,5	2,0	
Dolos	2	Acak	15,8	31,8	3,5	4,0	3,0	
Kubus dimodifikasi	2	Acak	6,5	7,5	-	5,0	* <sup>2</sup>	
Hexapod	2	Acak	8,0	9,5	5,0	7,0	* <sup>2</sup>	
Tribar	1	Seragam	12,0	15,0	7,5	9,5	* <sup>2</sup>	
Batu pecah ( $K_{RR}$ ) (graded angular)	-	Acak	2,2	2,5	-	-		

Sumber: Triatmodjo, 2012

Catatan :

N : jumlah susunan butir batu dalam lapis pelindung

\*<sup>1</sup> : penggunaan n=1 tidak disarankan untuk kondisi gelombang pecah

\*<sup>2</sup> : Sampai ada ketentuan lebih lanjut tentang nilai  $K_D$ , penggunaan  $K_D$  dibatas pada kemiringan 1:1,5 sampai 1:3

\*<sup>3</sup> : Batu ditempatkan dengan sumbu panjangnya tegak lurus dengan permukaan bangunan

### 2.6.3 Dimensi Pemecah Gelombang Sisi Miring

#### 1. Elevasi Puncak Gelombang

Elevasi puncak gelombang batu tergantung pada limpahan (*overtopping*) yang diijinkan. Air laut yang melimpah dapat merusak bangunan yang ada di atas lahan timbunan. Elevasi puncak pemecah dapat dihitung berdasarkan *run – up* gelombang. Berikut perumusan yang dapat digunakan dalam penentuan elevasi puncak :

$$\begin{aligned} Elv. puncak &= EMA + Run Up \\ &\quad + \text{tinggi kebebasan (Freeboard)} \end{aligned} \tag{2.14}$$

dimana :

EMA = Elevasi muka air rencana

Run up = tinggi limpasan air pada bangunan

Tinggi kebebasan = diasumsikan 1 m

#### 2. Lebar Puncak Tanggul (B)

Lebar puncak tanggul (B) dalam perumusan Hudson adalah sebagai berikut :

$$B = n \cdot K_{\Delta} \left( \frac{W}{\gamma_r} \right)^{\left(\frac{1}{3}\right)} \tag{2.15}$$

dimana:

$n$  = Jumlah armour unit pada puncak tanggul,

$K_{\Delta}$  = Koefisien lapis dapat dilihat pada **Tabel 2.9**

$W$  = Berat batu

$\gamma_r$  = Berat Jenis Batuan

#### 3. Tebal Lapisan

Tebal masing-masing lapisan dapat dihitung dengan menggunakan perumusan Hudson di bawah ini:

$$t = n \cdot K_{\Delta} \left( \frac{W}{\gamma_r} \right)^{\left(\frac{1}{3}\right)} \quad (2.16)$$

Untuk lebih aman maka perlu diperhatikan adalah tebal masing – masing lapisan minimum 2 kali diameter batu.

**Tabel 2. 9** Tabel Koefisien Lapis

Batu Pelindung	n	Penempatan	Koef . Lapis (K $\Delta$ )	Porositas P (%)
Batu alam (halus)	2	random (acak)	1,02	38
Batu alam (kasar)	2	random (acak)	1,15	37
Batu alam (kasar)	>3	random (acak)	1,1	40
Kubus	2	random (acak)	1,1	47
Tetrapod	2	random (acak)	1,04	50
Quadripod	2	random (acak)	0,95	49
Hexapod	2	random (acak)	1,15	47
Tribar	2	random (acak)	1,02	54
Dolos	2	random (acak)	1	63
Tribar	1	seragan	1,13	47
Batu Alam		random acak		37

Sumber: Triatmodjo, 2012

Sebagai contoh referensi diambil contoh desain dimensi untuk tampang tiga lapis yang disarankan dengan serangan gelombang pada satu sisi seperti yang ditunjukkan pada **Gambar 2.14**



**Gambar 2. 14** tampang tiga lapis yang disarankan dengan serangan gelombang pada satu sisi

Sumber: Triatmodjo, 2012

## 2.6.5 Stabilitas Pelindung Kaki

Berat butir batu untuk pondasi dan pelindung kaki bangunan digunakan rumus sebagai berikut :

$$W = \frac{\gamma_r \cdot H^3}{N_s^3 (Sr - 1)^3} \quad (2.17)$$

dimana :

$W$  = berat rerata butir batu (ton)

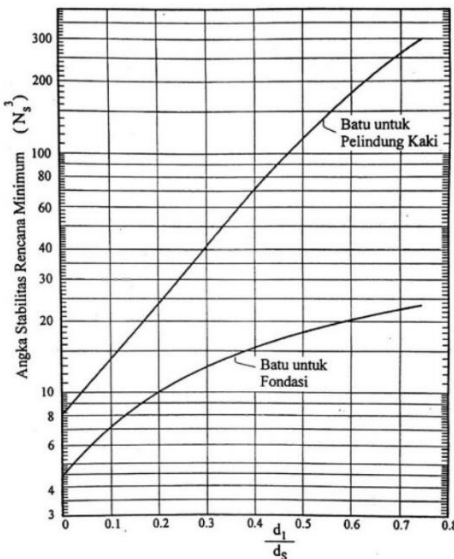
$\gamma_r$  = berat jenis batu (ton/m<sup>3</sup>)

$H$  = tinggi gelombang rencana (m)

$\gamma_a$  = berat jenis air laut (1,025 ~ 1,03 ton/m<sup>3</sup>)

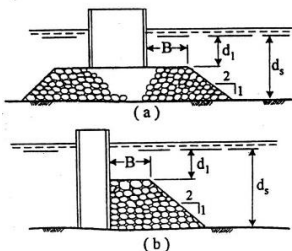
$Sr$  = perbandingan antara berat jenis batu dan berat jenis air laut =  $\gamma_r / \gamma_a$

$N_s$  = angka stabilitas rencana untuk fondasi dan pelindung kaki bangunan seperti **Gambar 2.15**



Catatan :  $d_1$  dan  $d_s$  lihat Gambar 2.16

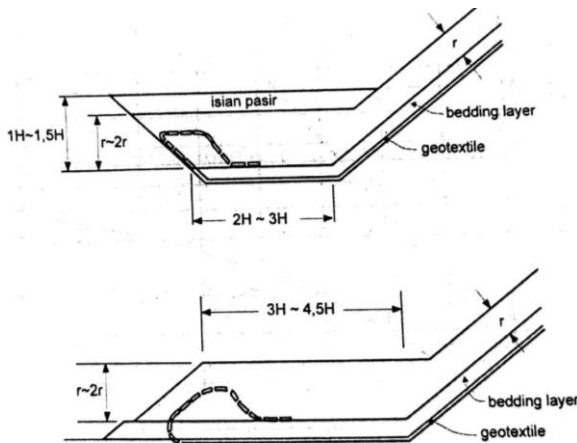
**Gambar 2. 15** Angka stabilitas  $N_s$  untuk pelindung kaki  
Sumber : Triadmodjo, 2012



**Gambar 2. 16** Fondasi (a) dan pelindung kaki (b) dari tumpukan batu

Sumber : Triadmodjo, 2012

Pelindung kaki berfungsi sebagai pelindung bagian bawah terhadap gerusan akibat gelombang air laut dan ditempatkan di depan bangunan. Adapun desain dimensi minimal *shore protection* yang harus disesuaikan seperti pada **Gambar 2.17**



**Gambar 2. 17** Desain minimal pelindung kaki

Sumber : Triadmodjo, 2012

### **2.6.6 Stabilitas *Shore Protection***

Stabilitas breakwater ditinjau berdasarkan sliding, settlement dan daya dukung tanah. Sliding ditentukan berdasarkan jenis batuan armour, perhitungan settlement untuk mengetahui penurunan tanah akibat dari beban diatas tanah, dan daya dukung tanah untuk mengetahui kemampuan tanah dasar supaya mampu menahan beban diatas tanah dasar.

Stabilitas terhadap Sliding, Settlement, dan daya dukung tanah dapat digunakan program bantu Geo 5 atau program sejenis lainnya.

### **2.7 Pemampatan Tanah**

Tanah dasar jika diberi beban diatasnya maka akan terjadi pemampatan (settlement). Hal ini terjadi oleh deformasi pertikel tanah, perpindahan partikel tanah, dan keluarnya air di dalam pori. Pemampatan dibagi menjadi beberapa kelompok terhadap pembebanan yakni :

1. Pemampatan segera/ *immediate settlement*,  
Merupakan pemampatan akibat perubahan elastis dari tanah kering, basah, dan jenuh air, tanpa adanya perubahan kadar air. Perhitungan immediate settlement ini umumnya didasarkan pada teori elastisitas.
2. Pemampatan konsolidasi/ *consolidation settlement*.  
Merupakan pemampatan yang disebabkan oleh keluarnya air dari pori-pori di dalam tanah. Penurunan konsolidasi dibagi lagi menjadi dua bagian, yaitu: konsolidasi primer dan konsolidasi sekunder.

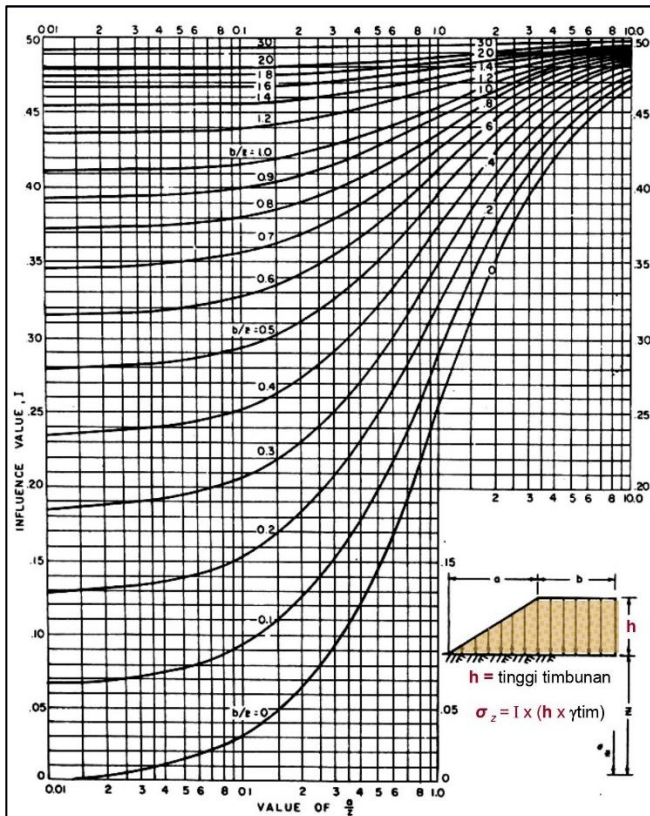
### **2.8 Distribusi Tegangan**

Beban yang ada di muka tanah akan didistribusikan kedalam lapisan tanah, besarnya distribusi tegangan dipengaruhi oleh beberapa hal sebagai berikut :

1. Besar beban persatuan luas yang diberikan di muka tanah
2. Kedalam lapisan tanah yang ditentukan besar penambahan bebannya

3. Bentuk dan luas area yang dibebani
4. Pengaruh – pengaruh lainnya

Berikut distribusi tegangan *embankment* atau timbunan dengan bentuk beban trapezium dapat dilihat pada **Gambar 2.18** dan untuk distribusi dengan beban lainnya dapat dilihat pada buku manual NAVFAC DM 7 – 01. (NAVFAC DM- 7.01, 1986).



**Gambar 2.18** Kurva faktor pengaruh I untuk beban trapezium  
Sumber : NAVFAC DM -7.01, 1986

Besar penambahan beban ( $\Delta_p$ ), akibat beban tambahan (embankment) dapat dihitung dengan rumus sebagai berikut :

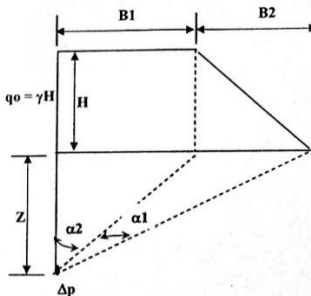
$$\Delta_p = \sigma_z = 2 \times I \times q \quad (2.18)$$

dimana :

$q$  = tegangan vertical efektif dimuka tanah berupa timbunan

$I$  = faktor pengaruh (*influence factor*) yang ditentukan dari kurva (dari NAVFAC DM-7.01)

Selain menggunakan grafik, menurut Braja M. Das (1986), dalam bukunya “*Principles of Foundation Engineering, Second Edition*” diagram tegangan tanah akibat timbunan dapat dilihat pada **Gambar 2.19**



**Gambar 2. 19** Visualisasi dan Notasi  $\Delta p$   
Sumber : Mochtar, 2012

Maka besarnya  $\Delta p$  adalah :

$$\Delta p = \frac{q_0}{\pi} \times \left( \left( \frac{B_1 + B_2}{B_2} \right) \times (\alpha_1 + \alpha_2) - \left( \frac{B_1}{B_2} \times \alpha_2 \right) \right) \quad (2.19)$$

dimana :

$q_0$  = beban timbunan ( $t/m^2$ ) ( $q_0 = \gamma_{timb} \times h_{timb}$ )

$\Delta p$  = besarnya tegangan akibat pengaruh beban timbunan yang ditinjau di tengah – tengah lapisan ( $t/m^2$ )

$\pi$  = 180

$$\alpha_1 = \tan^{-1}\left(\frac{B_1 + B_2}{B_2}\right) - \tan^{-1}\left(\frac{B_1}{z}\right) \text{ (radian)}$$

$$\alpha_1 = \tan^{-1}\left(\frac{B_1}{z}\right) \text{ (radian)}$$

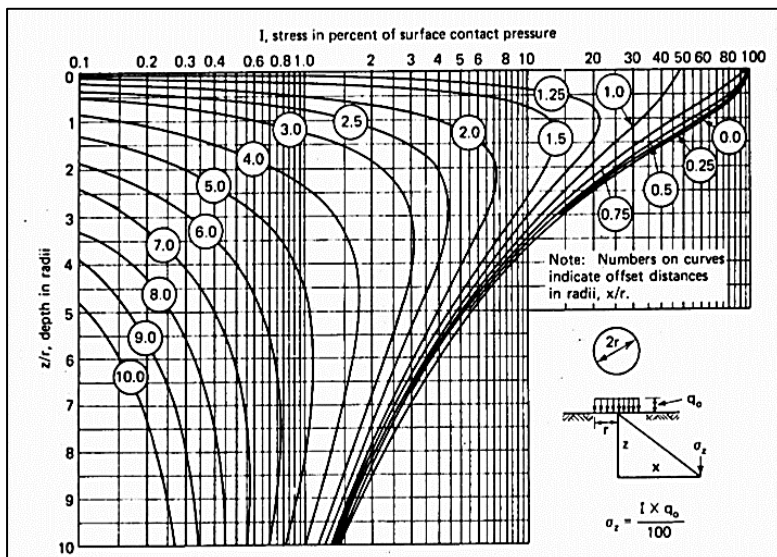
B1 =  $\frac{1}{2}$  lebar timbunan

B2 = panjang proyeksi horizontal kemiringan timbunan.

Nilai  $\Delta p$  yang diperoleh adalah untuk  $\frac{1}{2}$  bentuk timbunan sehingga untuk bentuk timbunan yang simetris, nilai I yang diperoleh harus dikali 2, dan berubah menjadi:

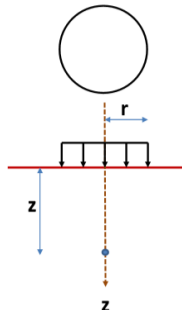
$$\Delta\sigma' = 2 \times q_o \quad (2.20)$$

Sedangkan untuk beban terbagi rata berbentuk lingkaran digunakan grafik (Foster dan Ahlvin, 1954) dalam diktat kuliah Distribusi Tegangan oleh Prof. Ir. Noor Endah Msc. Ph.D. seperti ditunjukkan pada **Gambar 2.20**



**Gambar 2. 20** Kurva faktor pengaruh I untuk beban lingkaran  
Sumber : NAVFAC DM-7.01, 1986

Dari grafik pada **Gambar 2.20** diperoleh rumus untuk mencari nilai faktor pengaruh ( $I$ ) untuk beban terbagi merata lingkaran adalah sebagai berikut :



**Gambar 2. 21** Visualisasi distribusi beban terbagi rata

$$I = \left( 1 - \frac{1}{\left( 1 + \left( \frac{r}{z} \right)^2 \right)^{\frac{3}{2}}} \right) \quad (2.21)$$

## 2.9 Besar dan Lama Waktu Pemampatan

### 2.9.1 Besar Pemampatan Total / Settlement ( $St$ )

Besarnya amplitudo / penurunan tanah total berdasarkan Das (1988) berdasarkan Besarnya amplitudo / penurunan tanah total adalah :

$$St = Sc + Ss + Si \quad (2.22)$$

dimana :

$St$  = total settlement

$Sc$  = Penurunan akibat konsolidasi primer (*consolidation primer settlement*)

$Ss$  = Penurunan akibat konsolidasi sekunder (*consolidation secondary settlement*)

$Si$  = Penurunan segera *immediate settlement*

Pada perhitungan perencanaan timbunan penurunan akibat konsolidasi sekunder tidak diperhitungkan. Adapun alasan tidak diperhitungkan penurunan akibat konsolidasi sekunder adalah sebagai berikut:

- Besarnya  $S_s$  sangat kecil jika dibandingkan dengan  $S_c$  maupun  $S_i$ .
  - Proses terjadinya konsolidasi sekunder berlangsung sangat lama.
1. Besar Pemampatan Segera / *Immediate settlement (Si)*, Penurunan segera (*immediate settlement*) pada tanah dapat dihitung dari persamaan yang diberikan oleh Biarez. Adapun bentuk persamaan tersebut adalah sebagai berikut :
 
$$S_i = q \cdot \Sigma i \cdot \left( \frac{h_i}{Ei'} \right) \quad (2.23)$$
 dimana :
    - $S_i$  = penurunan segera
    - $q$  = tegangan yang bekerja pada permukaan tanah ( $\text{kN/m}^2$ )
    - $h_i$  = tebal lapisan tanah  $i$  (m)
    - $Ei'$  = modulus oedometrik pada lapisan  $i$
 Adapun korelasi antara modulus young dengan modulus oedometrik sebagai berikut :
 
$$Ei' = E \cdot X \left[ 1 - \frac{2\mu^2}{1-\mu} \right] \quad (2.24)$$
 dimana :
    - $E$  = modulus elatisitas tanah (*Modulus Young*)  
**(Tabel 2.6)**
    - $\mu$  = Angka Poisson (**Tabel 2.5**)
  2. Besar Pemampatan Konsolidasi Primer / *Primary Consolidation (Sc)*  
Penurunan tanah akibat konsolidasi primer dapat dihitung dengan menggunakan persamaan sebagai berikut:

- Untuk tanah terkonsolidasi normal (NC-Soil),

$$Sc = \frac{Cc}{1 + e_0} Hilog \left( \frac{p'o + \Delta p}{p'o} \right) \quad (2.25)$$

- Untuk tanah terkonsolidasi berlebihan ( OC Soil ),

Tanah OC soil terbagi lagi menjadi 2 perumusan yakni :

Jika  $(Po' + \Delta p) \leq Pc'$

$$Sc = \frac{Cs}{1 + e_0} Hilog \left( \frac{p'o + \Delta p}{p'o} \right) \quad (2.26)$$

Jika  $(Po' + \Delta p) > Pc'$

$$Sc = \frac{Cs}{1 + e_0} Hilog \frac{P'c}{P'o} + \frac{Cc}{1 + e_0} Hilog \frac{p'o + \Delta p}{P'c} \quad (2.27)$$

dimana :

$Sc$  = Konsolidasi Primer

$Hi$  = Tebal lapisan tanah ke – i

$e_0$  = Angka pori awal dari lapisan tanah ke-i

$Cc$  = indeks pemampatan dari lapisan ke-i (*compression index*)

$Cs$  = indeks pemuaian dari lapisan ke-i (*swelling index*)

$P'o$  = tegangan efektif *overburden*

$P'c$  = tegangan prakonsolidasi efektif yang lebih besar dari  $P'o$

$\Delta p$  = penambahan tegangan vertical di titik yang ditinjau ( di tengah lapisan ke i ) akibat beban luar.

\*Catatan: Tanah lunak di Indonesia umumnya dianggap sebagai tanah agak over consolidated dengan harga  $P'c$  sebagai berikut :

$P'c = P'o + \Delta p$  (akibat fluktuasi terbesar muka air tanah)

Terdapat beberapa perumusan untuk menghitung nilai dari indeks pemampatan ( $C_c$ ) Adapun perumusan-perumusan tersebut dapat dilihat pada **Tabel 2.3**.

### 2.9.2 Lama Waktu Pemampatan Konsolidasi (t)

Pemampatan konsolidasi lapisan tanah yang terjadi diakibatkan oleh keluarnya air pori ke lapisan yang lebih *porous*, yaitu : ke atas atau ke bawah (*single drainage*) atau keatas dan kebawah (*double drainage*).

#### 1. Lama Pemampatan Konsolidasi

Berdasarkan Terzaghi lama konsolidasi dapat dihitung dengan perumusan sebagai berikut :

$$C_s = \left( \frac{1}{5} s \cdot d \frac{1}{10} \right) C_c \quad (2.28)$$

dimana :

$t$  = waktu konsolidasi

$T_v$  = faktor waktu (*time factor*)

$H_{dr}$  = Jarak terjauh air pori di lapisan tanah untuk mengalir keluar

$C_v$  = Koefisien konsolidasi akibat aliran air pori ke arah vertical

2. Parameter tanah yang dibutuhkan untuk menghitung lama waktu pemampatan konsolidasi
- Faktor Waktu ( $T_v$ ),

Proses konsolidasi tanah lempung yang tebal dapat berlangsung dalam waktu yang sangat lama. Perbandingan antara pemampatan tanah pada saat  $t$  dengan pemampatan total yang terjadi disebut derajat konsolidasi. Nilai derajat konsolidasi adalah antara 0% sampai 100%. Derajat konsolidasi dirumuskan dengan:

Untuk  $0 \% \leq U \leq 60 \% :$

$$T_v = \frac{\pi (U\%)^2}{4 \cdot 100} \quad (2.29)$$

Untuk  $U > 60\%$  :

$$Tv = 1,781 - 0,933 \cdot \log(100 - U\%) \quad (2.30)$$

- Panjang aliran drainase ( $H_{dr}$ ),  
 $H_{dr}$  merupakan ketebalan lapisan tanah lempung (*Compressible*).  $H_{dr}$  terbagi menjadi 2 kondisi yakni :  
 $H_{dr} (\frac{1}{2} H)$  = dikatakan  $\frac{1}{2} H$  apabila arah aliran disaat proses pemampatan dua arah aliran air yakni ke atas dan ke bawah (*double drainage*).  
 $H_{dr} (1 H)$  = dikatakan  $1 H$  apabila arah aliran disaat proses pemampatan terdapat satu arah aliran air yakni ke atas atau ke bawah. Kondisi seperti ini dapat terjadi apabila lapisan tanah di atas atau di bawah tanah yang termampatkan bersifat kedap air (*single drainage*)

- Koefisien konsolidasi vertikal ( $C_v$ )  
Menurut (ABSI, 1965), apabila kondisi tanah heterogen maka nilai  $C_v$  akan beragam sehingga perlu diperhitungkan pula  $C_v$  rata – rata dengan rumus :

$$Cv \text{ rata-rata} = \frac{(\sum i h_i)^2}{\left( \sum i \frac{h_i}{\sqrt{C_{vi}}} \right)^2} \quad (2.31)$$

dimana :

- |          |   |
|----------|---|
| $H$      | = Tebal total lapisan <i>compressible</i>         |
| $h_i$    | = Tebal lapisan compressible lapisan ke- <i>i</i> |
| $C_{vi}$ | = Harga $C_v$ lapisan ke- <i>i</i>                |

## 2.10 Metode untuk Mempercepat Waktu Konsolidasi dengan Menggunakan *Prefabricated Vertical Drain* (PVD)

### 2.10.1 *Prefabricated Vertical Drain* (PVD)

PVD (*prefabricated vertical drain*) merupakan salah satu produk geosintetik yang berfungsi sebagai pengalir air (*drainage*). PVD merupakan material komposit yang terdiri dari inti (*core*) dan penyaring (*filter*) seperti yang ditunjukkan pada **Gambar 2.22**. PVD dibutuhkan untuk mempercepat waktu konsolidasi / pemampatan di tanah lempung yang lama.



**Gambar 2. 22** Material PVD  
Sumber : Kuswanda, 2016

### 2.10.2 Menentukan Waktu Konsolidasi akibat *Vertical Drain*

Hansbo (1979), penentuan waktu konsolidasi akibat *vertical drain* dengan menggunakan perumusan sebagai berikut :

$$t = \left( \frac{D^2}{8 \cdot Ch} \right) \cdot (F(n) + F_s + F_r) \cdot \ln \left( \frac{1}{1 - U_h} \right) \quad (2.32)$$

dimana :

t = waktu yang diperlukan untuk mencapai UH

D = Diameter ekivalen dari lingkaran tanah yang merupakan daerah pengaruh vertical drain

untuk pola segitiga, D = s x 1,05

untuk pola segiempat, D = s x 1,13

Ch = koefisien konsolidasi tanah akibat aliran air pori arah radial

$$Ch = \left( \frac{kh}{kv} \right) \times Cv \quad (2.33)$$

kh / kv = perbandingan antara koefisien permeabilitas arah horizontal dan vertikal, untuk tanah lempung yang jenuh air, harga (kh/kv) berkisar antara 2 sampai 5

Fr = faktor hambatan akibat gangguan pada PVD sendiri

$$Fr = \pi \cdot z \cdot (L - z) \cdot \left( \frac{kh}{qw} \right) \quad (2.34)$$

dimana :

Z = kedalaman titik yang ditinjau pada PVD terhadap permukaan tanah

L = Panjang aliran

Kh = koefisien permeabilitas arah horizontal dalam tanah yang tidak terganggu

Qw = *discharge capacity* dari drain ( tergantung dari jenis PVD nya )

Fs = faktor hambatan tanah yang terganggu (*disturbed*)

$$Fs = \left( \frac{kh}{ks} - 1 \right) \cdot \ln \left( \frac{ds}{dw} \right) \quad (2.35)$$

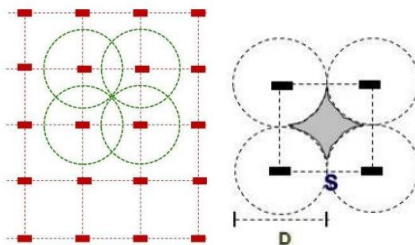
dimana :

ks = kedalaman titik yang ditinjau pada PVD terhadap permukaan tanah

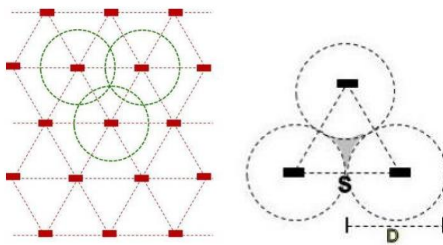
ds = Panjang aliran

dw = koefisien permeabilitas arah horizontal dalam tanah yang tidak terganggu

Terdapat 2 pola pemasangan PVD yakni pola pemasangan segi empat dan segi tiga. Adapun pola tersebut dapat dilihat pada **Gambar 2.23** dan **Gambar 2.24** dibawah ini.



**Gambar 2. 23** Pola segi empat  
Sumber : Kuswanda, 2016



**Gambar 2. 24** Pola segi tiga  
Sumber : Kuswanda, 2016

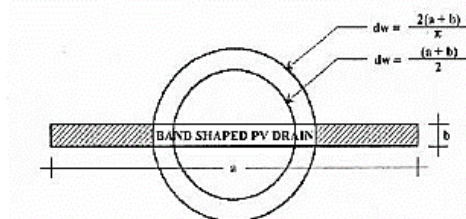
Fungsi  $F(n)$  merupakan fungsi hambatan yang dipengaruhi oleh jarak antar titik pusat PVD. Oleh Hansbo (1979) harga  $F(n)$  didefinisikan sebagai berikut :

$$F(n) = \left( \frac{n^2}{n^2 - 1^2} \right) \left[ \ln(n) + \left( \frac{3n^2 - 1}{4n^2} \right) \right] \quad (2.36)$$

dimana :

$$n = D / dw$$

$dw$  = diameter ekivalen dari vertical drain dapat dilihat pada **Gambar 2.25**



**Gambar 2. 25** Diameter lingkaran ekivalen penagaruh PVD  
Sumber: Mochtar, 2012

Pada umumnya  $n > 20$  sehingga dapat dianggap  $1/n = 0$  dan  $\left(\frac{n^2}{(n^2-1)}\right) \approx 1$ ;

Jadi :

$$F(n) = \ln(n) - \frac{3}{4} \quad (2.37)$$

atau

$$F(n) = \ln\left(\frac{D}{d_w}\right) - \frac{3}{4} \quad (2.38)$$

Adanya faktor  $F_s$  dan  $F_r$  menyebabkan perlambatan kecapatan konsolidasi. Dari hasil penyelidikan faktor yang terpenting adalah  $F(n)$ . Dari data lapangan didapatkan harga  $F_s / F(n)$  dapat berkisar 1 - 3. Untuk memudahkan perencanaan maka dapat diasumsikan  $F_s = F(n)$ , sedangkan nilai  $F_r$  umumnya kecil sehingga nilai  $F_r$  dapat dianggap nol.

Dengan mengsubstitusikan asumsi – asumsi diatas maka perumusan watu yang diperlukan untuk mencapai nilai  $U_h$  adalah sebagai berikut :

$$t = \left(\frac{D^2}{8.C_h}\right) \cdot (2 \times F(n)) \cdot \ln\left(\frac{1}{1-U_h}\right) \quad (2.39)$$

Nilai  $U_h$  pada lapisan tanah yang dipasang PVD dapat dicari dengan memasukkan harga ( $t$ ) tertentu. Selain konsolidasi akibat aliran air pori arah horizontal, juga terjadi konsolidasi akibat aliran air pori arah vertikal  $U_v$ . Nilai  $T_v$  dapat dicari dengan rumus sebagai berikut:

$$Tv = \left( \frac{t \times Cv}{Hd^2} \right) \quad (2.40)$$

dimana :

Tv = faktor waktu

t = waktu yang dipilih

Cv = harga Cv tanah pada lapisan tanah setebal panjang PVD

Hd = panjang PVD

Sedangkan nilai Uv dan Uh didapatkan pada perumusan dibawah ini :

- Uv dapat dicari dengan persamaan sebagai berikut :  
Untuk Uv antara 0 s/d 60%

$$Uv = 2 \sqrt{\frac{Tv}{\pi}} \times 100 \% \quad (2.41)$$

Untuk  $Uv > 60\%$

$$Uv = (100 - 10^a)\% \quad (2.42)$$

dimana:

Uv = derajat konsolidasi arah vertikal

Tv = faktor waktu

$$a = \frac{1.781 - Tv}{0.933}$$

- Uh dicari menggunakan persamaan:

$$Uh = \left[ 1 - \left( \frac{1}{e^{\left( \frac{tx8xCh}{D^2xF(n)} \right)}} \right) \right] \quad (2.43)$$

dimana:

Uh = derajat konsolidasi arah horizontal

e = bilangan natural

t = waktu konsolidasi

Ch = koefisien konsolidasi arah horizontal

D = diameter ekivalen dari lingkaran tanah pengaruh PVD

$F(n)$  = faktor hambatan disebabkan karena jarak antar PVD

### 2.10.3 Derajat Konsolidasi Rata – Rata (U)

Derajat konsolidasi rata – rata U dicari menggunakan persamaan *Carillo, 1942*:

$$U = [1 - (1 - Uh) \cdot (1 - Uv)] \times 100 \% \quad (2.44)$$

dimana:

$U$  = derajat konsolidasi total

$Uv$  = derajat konsolidasi arah vertikal

$Uh$  = derajat konsolidasi arah horizontal

## 2.11 Metode Perbaikan Tanah dengan Sistem Preloading

### 2.11.1 Penentuan Tinggi Timbunan Awal (H inisial)

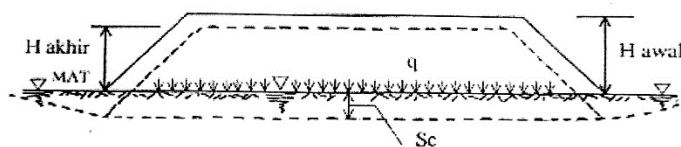
Berdasarkan (Mochtar, 2000), dalam hal penentuan tinggi timbunan awal tidak sama antara tinggi saat awal perencanaan dengan tinggi timbunan rencana. Penentuan tinggi timbunan rencana dapat dihitung dengan rumus dibawah ini dan dapat dilihat penjelasan gambar pada **Gambar 2.29** :

$$q_{final} = (H_{in} - Sc)\gamma_{timbunan} + Sc \cdot \gamma'_{timbunan} \quad (2.45)$$

$$q_{final} = q = (H_{inisial} \times \gamma_{timb}) - (Sc \times \gamma_{timb}) + (Sc \times \gamma'_{timb}) \quad (2.46)$$

$$H_{inisial} = \frac{q + (Sc \times \gamma_{timb}) - (Sc \times \gamma'_{timb})}{\gamma_{timb}} \quad (2.47)$$

$$H_{akhir} = H_{inisial} - Sc \quad (2.48)$$



**Gambar 2. 26** Kedudukan timbunan saat mengalami  
Sumber : Mochtar, 2012

Karena pada timbunan pematangan lahan, terdapat pengaruh permukaan air laut setinggi (H WL) maka perumusan dapat didefinisikan sebagai (Mochtar, 2000):

$$q_{final} = (H_{inisial} - H_w - S_c)\gamma_{timb} + H_w \times \gamma'_{timb} + S_c \times \gamma'_{timb} \quad (2.49)$$

$$H_{inisial} = \frac{q + (S_c \times H_w) - (\gamma_{timb} \times \gamma'_{timb})}{\gamma_{timb}} \quad (2.50)$$

### 2.11.2 Penentuan Tinggi Kritis (Hcr)

Tinggi kritis digunakan sebagai beban awal preloading. Dalam kondisi muka air berada di muka tanah, Tinggi timbunan kritis beban dapat diperhitungkan dengan rumus sebagai berikut :

$$Hcr = \frac{Cu \times Nc}{\gamma_{timb} \times SF} \quad (2.51)$$

dimana :

Cu = kohesi tanah dasar ( $t/m^2$ )

$\gamma_{timb}$  = berat volume tanah timbunan ( $t/m^2$ )

Hcr = Tinggi timbunan kritis (m)

Nc = Tergantung besar B/H (**Tabel 2.10**)

B = Lebar timbunan

H = Kedalaman tanah lunak

SF = 1

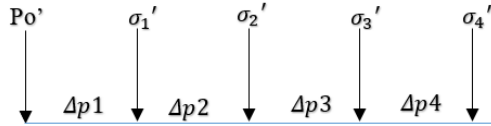
**Tabel 2. 10** Tabel Nilai Koefisien Nc  
(Mandel dan Salencon, 1974)

B/H	0-1,49	2	3	4	5	6	7	8	9	10
Nc	5,14	5,3	5,8	6,3	6,8	7,3	7,8	8,2	8,7	9,15

### 2.11.3 Peningkatan Daya Dukung Tanah akibat Preloading

Menurut (Mochtar, 2012) sebagai akibat terjadinya konsolidasi pada suatu lapisan, maka lapisan tanah yang bersangkutan menjadi lebih padat yang berarti kekuatan tanah juga meningkat sebagai akibat kenaikan harga Cu (*undrained shear*

*strength).* Apabila proses perletakan timbunan diletakkan secara bertahap, daya dukung tanah juga akan meningkat secara bertahap. Ilustrasi penambahan beban dapat dilihat pada **Gambar 2.27**



**Gambar 2. 27** Harga tegangan berbeda – beda setiap kedalaman tanah yang ditinjau

Nilai Cu baru dapat dihitung dengan tahapan sebagai berikut :

1. Tegangan tanah awal ( tegangan overburben ) =  $P_o'$
2. Penambahan stegangan beban ( $\Delta p_1$ ), akibat tahap penimbunan (1) dari 0 m –  $h_1$  m selama  $t_1$  dengan derajat konsolidasi ( $U_1$ ).

$$\Delta p_{1-U_1} = \left( \frac{\sigma'_1}{P'o'} \right)^{U_1} \cdot P'o' - P'o' \quad (2.52)$$

3. Penambahan tegangan beban (  $\Delta p_2$  ), akibat tahap penimbunan (2) dari  $h_1$  m –  $h_2$  m selama  $t_2$  dengan derajat konsolidasi ( $U_2$ ).

$$\Delta p_{2-U_2} = \left( \frac{\sigma'_2}{\sigma'_1} \right)^{U_2} \cdot \sigma_1' - \sigma_1' \quad (2.53)$$

4. Tegangan tanah yang baru dilapisan yang ditinjau adalah :

$$\sigma'_{baru} = P'o + \left[ \left( \frac{\sigma'_1}{P'o} \right)^{U_1} \cdot P'o - P'o \right] + \left[ \left( \frac{\sigma'_2}{\sigma'_1} \right)^{U_2} \cdot \sigma_1' - \sigma_1' \right] + \dots \quad (2.54)$$

5. Harga Cu baru dari tanah pada saat tercapainya  $H = h(\text{rencana})$ 
  - Untuk harga Plasticity Index, PI tanah < 120%

$$Cu \left( \frac{kg}{cm^2} \right) = 0,0737 + ( 0,1899 - 0,0016 PI ) \sigma'_{baru} \quad (2.55)$$

- Untuk harga Plasticity Index, PI tanah > 120%

$$c_u \left( \frac{kg}{cm^2} \right) = 0,0737 + ( 0,0454 - 0,00004 PI ) \sigma' \text{baru} \quad (2.56)$$

## 2.12 Stabilitas Lereng

Analisis talud timbunan bertujuan untuk penentuan nilai *safety factor* dan dapat dirumuskan sebagai berikut :

$$F = \frac{\tau_f}{\tau_m} \quad (2.57)$$

dimana :

$F$  = Faktor keamanan

$\tau_f$  = kekuatan geser rata – rata dari tanah

$\tau_m$  = kekuatan geser yang bekerja sepanjang bidang longsor

Terdapat 2 komponen kekuatan geser tanah, yakni kohesi dan sudut geser tanah. Sehingga dapat dituliskan sebagai berikut :

$$\tau_f = C_d + \sigma \tan \phi_d \quad (2.58)$$

dimana :

$C_d$  = kohesi

$\phi_d$  = sudut geser yang bekerja sepanjang bidang longsor

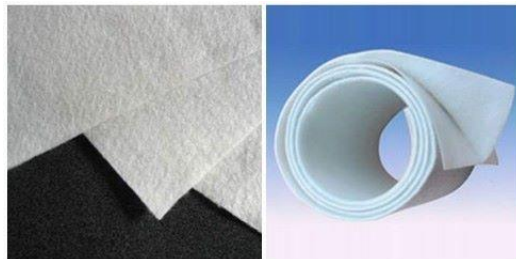
Selain dengan cara rumus diatas, untuk mengetahui stabilitas lereng dapat juga digunakan program aplikasi seperti xtsble, geo slope, geo 5, dan program bantu sejenisnya.

## 2.13 Geotextile

### 2.13.1 Jenis – jenis Geotextile

Geotextile (*Geotekstil / Filter Fabrics*) adalah salah satu bahan Geosynthetics (*Geosintetik*) yang tembus air, yang dapat digunakan sebagai separator, filter, proteksi, dan perkuatan. Bahan dasar pembuatannya adalah Polyesther atau Polypropilene. Secara umum terbagi menjadi dua jenis yakni *non woven* (kain dan tidak teranyam) dan *woven* (terpal / karung beras dan teranyam).

Berikut bahan geotextile dapat dilihat pada **Gambar 2.28** dan **Gambar 2.29**



**Gambar 2. 28 Non woven**

Sumber : <http://isparm.web.id/2011/01/23/geotextile/>  
diakses 13 Januari 2019



**Gambar 2. 29 Woven**

Sumber : <http://isparm.web.id/2011/01/23/geotextile/>  
diakses 13 Januari 2019

### 2.13.2 Perencanaan *Geotextile*

Tahapan perencanaan *geotextile* digunakan referensi perencanaan perkuatan slope dalam Modul Ajar Metode Perbaikan Tanah (Mochtar,2012) sebagai berikut :

1. Mencari nilai momen dorong

$$SF = \frac{MR_{min}}{Mdorong} \quad (2.59)$$

2. Mencari nilai momen rencana dengan angka keamanan rencanan  $SF_{rencana} = 1,5$

$$M_{Rencana} = M_{dorong} \times SF_{rencana} \quad (2.60)$$

3. Mencari nilai tambahan momen penahan ( $\Delta M_R$ )

$$\Delta M_R = M_{R\text{rencana}} \times M_{R\text{min}} \quad (2.61)$$

4. Mencari kekuatan *geotextile* yang diizinkan

$$T_{\text{allow}} = \frac{T}{FSid \times FScr \times FScd \times FSbd} \quad (2.62)$$

dimana :

$T_{\text{all}}$  = Kapasitas kekuatan *geotextile*

$FSid$  = Faktor keamanan akibat kerusakan pemasangan, diambil = 1,5

$FScr$  = Faktor keamanan akibat kerusakan rangkak, diambil = 3

$FScd$  = Faktor keamanan akibat kerusakan bahan – bahan kimia, diambil = 1,25

$FSbd$  = Faktor keamanan akibat kerusakan aktifitas biologi dalam tanah, diambil = 1,3

5. Menghitung panjang *geotextile* di belakang bidang longsor  
 $\sum Fx = 0$

$$T_{\text{allow}} \times FS = (\tau_1 + \tau_2) \times Le \times E$$

$$Le = \frac{T_{\text{all}} \times FS}{(\tau_1 + \tau_2) \times E} \quad (2.63)$$

dimana :

$Le$  = Penjang *geotextile* di belakang bidang longsor

$\tau_1$  = tegangan geser antar tanah timbunan dengan *geotextile*

$$\tau_1 = Cu_1 + \sigma v \tan \varphi 1 \quad (2.64)$$

$\tau_2$  = tegangan geser antar tanah dasar dengan *geotextile*

$$\tau_2 = Cu_2 + \sigma v \tan \varphi 2 \quad (2.65)$$

$\sigma v$  =  $\gamma \text{timbunan} \times Hi$

$E$  = efisiensi  $\rightarrow$  diambil 0,8

$Hi$  = tinggi timbunan di atas *geotextile*

6. Menghitung kebutuhan jumlah *geotextile*

$$M_{\text{geotextile}} = T_{\text{allow}} \times T_i \quad (2.66)$$

$$T_i = Y_o - Y_z$$

$$\sum M = M_{\text{geo}(1)} + \dots + M_{\text{geo}(n)} > \Delta M_R \quad (2.67)$$

Dimana :

$T_i$  = Jarak vertikal antara *geotextile* dengan pusat bidang longsor

$Y_o$  = koordinat pusat kelongsoran pada arah vertikal

$Y_z$  = koordinat dasar timbunan pada arah vertikal

$\sum M$  = total momen akibat pemasangan *geotextile* (kNm)

7. Menghitung panjang *geotextile*

Panjang *geotextile* di depan bidang longsor dihitung dengan menggunakan program autocad, sedangkan panjang total *geotextile* pada setiap lapisan dihitung menggunakan persamaan berikut :

$$L_{\text{total}} = L_e + L_D + L_o + S_v \quad (2.68)$$

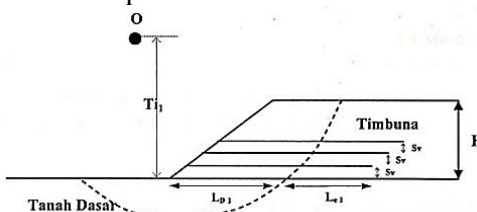
dimana :

$L_e$  = Panjang *geotextile* di belakang bidang longsor (m)

$L_D$  = Panjang *geotextile* didepan bidang longsor (m)

$L_o$  = Panjang lipatan *geotextile*

$S_v$  = Tebal lapisan timbunan per tahap (m) dapat dilihat pada **Gambar 2.30**

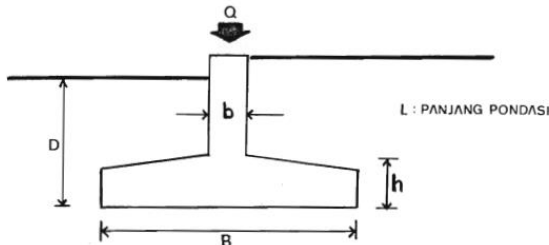


**Gambar 2. 30** Sketsa pemasangan *geotextile*

Sumber : Mochtar,2012

## 2.14 Pondasi Dangkal

Berdasarkan pada **Gambar 2.31** Pondasi dapat dikatakan dangkal apabila perbandingan  $D/B < 4$  atau  $5$



**Gambar 2. 31** Pondasi dangkal  $D/B < 4$

Sumber : Wahyudi, 1999

Dalam perencanaan pondasi dangkal tidak lepas dari metoda perhitungan yaitu :

- Perhatikan selalu kondisi *short & long terms*
- Perhitungan berdasarkan teori kekuatan batas (*rupture / runtuh*)
- Kontrol selalu terhadap penurunan (*settlement*), baik *immediate* ataupun *consolidation settlement*

Sedangkan prinsip dasar perhitungan *short dan long terms* dibedakan sebagai berikut :

- Perhitungan *long term* terhadap material cohesive lanau dan lempung (*silt & clay*) dan untuk semua kasus (*short dan long terms*) untuk material kerikil dan pasir *non cohesive* (*gravel & sand*). Karena kondisi tersebut, maka digunakan perhitungan ( $C'$  dan  $\phi'$ ). Perhitungan dilakukan dalam tegangan efektif ( $\sigma'$ ) dan diambil dibawah muka air tanah berat volume efektif ( $\gamma'$ ).
- Perhitungan *short term* terhadap material cohesive lanau dan lempung (*silt & clay*) jenuh air. Karena kondisi tersebut, maka digunakan perhitungan ( $C_u$  dan  $\phi_u$ ). Perhitungan dilakukan dalam tegangan total ( $\sigma$ ) dan diambil dibawah muka air tanah berat volume jenuh ( $\gamma_{sat}$ ).

### 2.14.1 Daya Dukung Pondasi Dangkal

Daya dukung tanah adalah besarnya tekanan atau kemampuan tanah untuk menerima beban dari luar sehingga menjadi stabil. Daya dukung batas (q<sub>ult</sub>, ultimate bearing capacity; m/A) suatu tanah yang berada di bawah beban pondasi akan tergantung kekuatan geser (shear strength). Daya dukung ijin (q<sub>a</sub>, allowable bearing capacity) bergantung kepada nilai SF (Safety Factor) yang dipilih. Nilai SF yang dipilih adalah 2 untuk C = 0 dan 3 untuk C ≠ 0 (Wahyudi, 1999). Oleh sebab itu maka nilai daya dukung dapat dirumuskan sebagai berikut :

$$q_a = \frac{q_{ult}}{SF} \quad (2.69)$$

dimana :

$q_a$  = daya dukung ijin ( $\text{kN}/\text{m}^2$ )

$q_{ult}$  = daya dukung batas (ultimate) ( $\text{kN}/\text{m}^2$ )

SF = 2 untuk C = 0 dan 3 untuk C ≠ 0

Sedangkan kapasitas daya dukung berbagai jenis pondasi (q<sub>ult</sub>) dapat digunakan perumusan yang diperkenalkan oleh Terzaghi (1943) dan dapat dilihat pada **Tabel 2.11**

**Tabel 2. 11 Kapasitas Daya Dukung berbagai Jenis Pondasi**

Jenis Pondasi	Kapasitas Daya Dukung (Terzaghi)
Lajur/menerus	$q_{ult} = c.N_c + q.N_q + 0,5.\gamma.B.N_\gamma$
Segi empat	$q_{ult} = 1,3 c.N_c + q.N_q + 0,4.\gamma.B.N_\gamma$
Lingkaran	$q_{ult} = 1,3 c.N_c + q.N_q + 0,3.\gamma.B.N_\gamma$

dimana :

q<sub>ult</sub> = Kapasitas daya dukung batas

c = Kohesi tanah

q =  $\gamma \times D$  ( berat jenis tanah x kedalaman )

B = Dimensi lebar atau diameter pondasi

$\phi$  = Sudut geser dalam

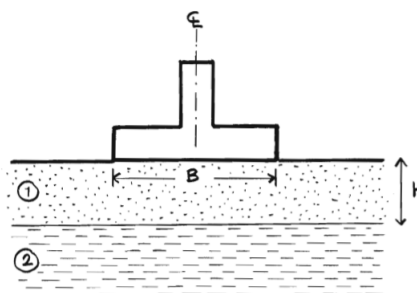
Untuk nilai  $N_c$ ,  $N_q$ ,  $N_\gamma$  dapat diperoleh dari tabel dibawah ini perhitungan yang disajikan pada **Tabel 2.12** dibawah ini.

**Tabel 2. 12** Nilai  $N_c$ ,  $N_q$ , dan  $N_\gamma$  dari Caquot & Kerisel

$\Phi$	$N_c$	$N_q$	$N_\gamma$	$\Phi$	$N_c$	$N_q$	$N_\gamma$	$\Phi$	$N_c$	$N_q$	$N_\gamma$
0	5,14	1	0	17	12,34	4,77	1,66	34	42,16	29,44	31,15
1	5,38	1,09	0	18	13,1	5,26	2	35	46,12	33,3	37,15
2	5,63	1,2	0,01	19	13,93	5,8	2,4	36	50,59	37,75	44,43
3	5,9	1,31	0,02	20	14,83	6,4	2,87	37	55,63	42,92	53,27
4	6,19	1,43	0,04	21	15,82	7,07	3,42	38	61,35	48,93	64,07
5	6,49	1,57	0,07	22	16,88	7,82	4,07	39	67,87	55,96	77,33
6	6,81	1,72	0,11	23	18,05	8,66	4,82	40	75,31	64,2	93,69
7	7,16	1,88	0,15	24	19,32	9,6	5,72	41	83,86	73,9	113,99
8	7,53	2,06	0,21	25	20,72	10,66	6,77	42	93,71	85,38	139,32
9	7,92	2,25	0,28	26	22,25	11,85	8	43	105,11	99,02	171,14
10	8,35	2,47	0,37	27	23,94	13,2	9,46	44	118,37	115,31	211,41
11	8,8	2,71	0,47	28	25,8	14,72	11,19	45	133,88	134,88	262,74
12	9,28	2,97	0,6	29	27,86	16,44	13,24	46	152,1	158,51	328,73
13	9,81	3,26	0,74	30	30,14	18,4	15,67	47	173,64	187,21	414,32
14	10,37	3,59	0,92	31	32,67	20,63	18,56	48	199,26	222,31	526,44
15	10,98	3,94	1,13	32	35,49	23,18	22,02	49	229,93	265,51	674,91
16	11,63	4,34	1,38	33	38,64	26,09	26,17	50	266,89	319,07	873,84

## 2.14.2 Daya Dukung Pondasi Diatas Dua Lapisan Tanah

Dalam buku daya dukung pondasi dangkal (Wahyudi, 1999) untuk lapisan tanah pasir / lempung dapat dihitung dengan perumusan (TCHENG) sebagai berikut :



**Gambar 2. 32** Dasar teori untuk tipe dua lapis tanah

Sumber : Wahyudi,1999

Pada **Gambar 2.32** dijelaskan bahwa pondasi dangkal berada diatas dua lapis tanah. Untuk tanah pasir (1) dan lempung (2) daya dukung pondasi dangkal digunakan rumus (TCHENG) sebagai berikut :

$$q_l = Cu \times Nc * \quad (2.70)$$

untuk :  $0 < H/B < 1,5$

$$q_l = 1/2 \cdot \gamma \cdot B \cdot N\gamma * + Cu \cdot Nc * \quad (2.71)$$

untuk :  $1,5 < H/B < 3,5$

$$q_l = 1/2 \cdot \gamma \cdot B \cdot N\gamma * \quad (2.72)$$

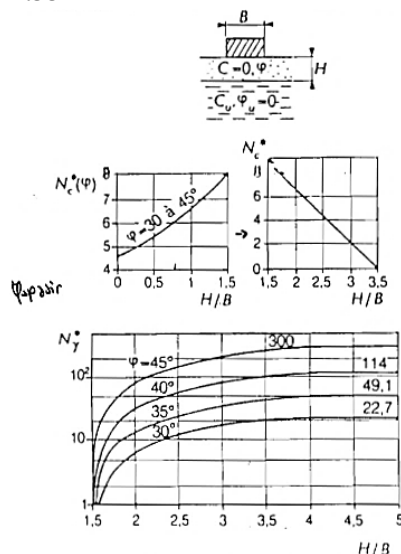
untuk :  $H/B > 3,5$

Apabila ada unsur kedalaman pondasi (D), tinggal ditambahkan perumusan tersebut dengan :

$$\gamma 1 \times D \times Nq \quad (2.73)$$

$Cu$  = Kohesi lapisan lempung

$N\gamma *, Nc *$  = bergantung pada  $\Phi$  dan  $H/B$  pada grafik **Gambar 2.33**



**Gambar 2. 33** Grafis Giroud daya dukung tanah pasir -lempung  
Sumber : Wahyudi, 1999

### 2.14.3 Penurunan Pondasi Dangkal

Penurunan pondasi perlu diperhitungkan agar dapat dikontrol besar pemampatannya. Besar penurunan pondasi dapat dirumuskan sebagai berikut :

$$S_t = S_i + S_{cp} + S_{cs} + S_l \quad (2.74)$$

dimana :

$S_t$  = Total settlement

$S_i$  = Immediate settlement

$S_{cp}$  = Settlement konsolidasi primer

$S_{cs}$  = Settlement konsolidasi sekunder (sangat kecil dan berlangsung lama)

$S_l$  = Settlement pergerakan lateral tanah (terjadi pada tanah gambut)

Untuk tanah berlapis – lapis dapat dilihat pada **Gambar 2.34** penurunan segera ( $\Delta h$ ) dapat dihitung dengan rumus sebagai berikut :

$$\Delta h \text{ total} = \sigma \sum_{i=1}^H \frac{h_i}{E'i} \quad (2.75)$$

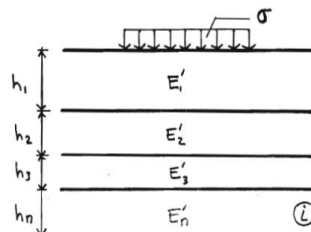
dimana :

$h_i$  = tebal tanah pada lapisan i

$E'i$  = modul oedometrik pada lapisan i

$\sigma$  = tegangan akibat beban

$E'i = \frac{E}{\left(1 - \frac{2v^2}{1-v}\right)}$ , E adalah modulus young



**Gambar 2. 34** Penurunan segera tanah berlapis - lapis

Sumber : Giroud dalam Wahyudi,1999

## 2.15 Pondasi Dalam

Penyaluran beban bangunan ke tanah keras pada kondisi tanah dengan daya dukung rendah digunakan pondasi dalam. Pondasi dalam umumnya dipasang pada kedalaman lebih dari 3 m di bawah elevasi permukaan tanah.

### 2.15.1 Harga N Koreksi

Nilai N apabila terdapat dibawah muka air maka air tanah harus dikoreksi menjadi N' berdasarkan rumusan oleh (Terzaghi & Peck) sebagai berikut :

$$N' = 15 + 0,5 (N - 15) \quad (2.76)$$

dimana :

N = Nilai NSPT di lapangan

Untuk jenis tanah lempung, lanau, dan pasir kasar bilai  $N \leq 15$  tidak ada koreksi

Disisi lain, Seed dkk menyajikan faktor koreksi  $C_N$  untuk koreksi harga N lapangan, dimana  $N_1 = C_N \times N$

Bersarnya koefisien koreks  $C_N$  tergantung pada nilai tegangan vertikal tanah ( $\sigma'v$ ), dengan  $N_1$  = harga N koreksi dapat dilihat pada **Tabel 2.13**

**Tabel 2. 13** Nilai  $C_N$  terhadap  $\sigma'v$  ( SEED, dkk)

$\sigma'v$	30	50	100	150	200	250	300	350	400	450	500
$C_N$	1,6	1,22	0,95	0,78	0,65	0,57	0,5	0,45	0,42	0,4	0,39

Kedua koreksi ini tidak boleh digabung ambil yang paling kritis pada proyek.

### 2.15.2 Daya Dukung Pondasi Dalam Berdasarkan Hasil Standar Penetration Test (SPT)

Ada 2 metode yang digunakan dalam perhitungan daya dukung tiang diantaranya :

1. Metode Meyerhof,

Daya dukung dengan metode ini untuk pasir. Adapun rumusan yang diberikan sebagai berikut :

$$\text{Pult} = \text{Cn. Ajung} + \sum C_{li} \cdot \text{Asi} \quad (2.77)$$

dimana :

$C_{li}$  = hambatan geser selimut tiang segmen i

$\text{Asi}$  = luas selimut tinag pada segmen I =  $O_i \times h_i$

$O_i$  = Keliling tiang

$C_n$  =  $40 \cdot \tilde{N}$

$\tilde{N}$  = harga rata – rata Nkoreksi ( 4D dibawah ujung s/d 8D diatas ujung tiang)

$C_{li}$  =  $f_{si}$  =  $N/2 \text{ t/m}^2$  (tanah lempung / lanau )  
=  $N/5 \text{ t/m}^2$  ( tanah pasir )

Pijin = Pult / SF, SF = 3

2. Metode Luciano Decourt (1982),

Metode Luciano Decourt digunakan untuk semua jenis tanah. Berikut perhitungan daya dukung tanah dengan metode ini :

$$Q_L = Q_p + Q_s \quad (2.78)$$

$$Q_p = q_p \cdot A_p = \alpha \cdot (N_p \cdot K) \cdot A_p \quad (2.79)$$

dimana :

$N_p$  = Harga rata – rata SPT disekitar 4B diatas hingga 4B dibawah dasar tiang pondasi ( $B$  = diameter pondasi)

$K$  = Koefisien karakteristik tanah,

$12 \text{ t/m}^2 = 117,7 \text{ kPa}$ , untuk lempung murni

$20 \text{ t/m}^2 = 196 \text{ kPa}$ , untuk lanau berlempung

$25 \text{ t/m}^2 = 245 \text{ kPa}$ , untuk lanau berpasir

$12 \text{ t/m}^2 = 392 \text{ kPa}$ , untuk pasir

$A_p$  = Luas penampang dasar tiang

$q_p$  = Tegangan diujung tiang

$\alpha$  = koefisien dasar pada **Tabel 2.14**

$$Q_s = q_s \cdot A_s = \beta \left( \frac{N_s}{3} + 1 \right) \cdot A_s \quad (2.80)$$

dimana :

$q_s$  = Tegangan akibat lekatan lateral dalam ( $t/m^2$ )

$N_s$  = Harga rata – rata sepanjang tiang yang tertanam, dengan batasan  $3 \leq N \leq 50$ , khusu untuk aspek *frcition*

$A_s$  = Keliling x panjang tiang yang terbenam (luas selimut tiang)

$\beta$  = koefisien dasar pada **Tabel 2.15**

**Tabel 2. 14 Koefisien Dasar Decourt  $\alpha$  (1996)**

Soil / Pile	Driven pile	Bored pile	Bored pile (bentonite)	Continuous hollow auger	Root pile	Injected pile (high pressure)
Clay	1.0	0.85	0.85	0.30	0.85	1.0
Intermediate Soils	1.0	0.60	0.60	0.30	0.60	1.0
Sands	1.0	0.50	0.50	0.30	0.50	1.0

**Tabel 2. 15 Koefisien Dasar Decourt  $\beta$  (1996)**

Soil / Pile	Driven pile	Bored pile	Bored pile (bentonite)	Continuous hollow auger	Root pile	Injected pile (high pressure)
Clay	1.0	0.80	0.90	1.0	1.5	3.0
Intermediate Soils	1.0	0.65	0.75	1.0	1.5	3.0
Sands	1.0	0.50	0.60	1.0	1.5	3.0

### 2.15.3 Repartisi Beban untuk Satu Tiang

Perhitungan besar gaya yang bekerja pada tiap 1 tiang dalam kelompok dapat ditunjukkan pada formula dibawah ini :

$$P_{max} = \sum \frac{V}{n} + \frac{Mx \cdot Y_{max}}{nx \cdot \Sigma y^2} + \frac{My \cdot X_{max}}{ny \cdot \Sigma x^2} \quad (2.81)$$

$$P_{min} = \sum \frac{V}{n} - \frac{Mx \cdot Y_{max}}{nx \cdot \Sigma y^2} - \frac{My \cdot X_{max}}{ny \cdot \Sigma x^2} \quad (2.82)$$

dimana :

$P_{\max}$	= Beban penyebab tiang tertekan
$P_{\min}$	= Beban penyebab tiang tertarik
$n_x$	= Banyak tiang dalam satu baris sumbu x
$n_y$	= Banyak tiang dalam satu baris sumbu y
$\Sigma y^2$	= Jumlah kuadrat absis tiang pancang
$\Sigma x^2$	= Jumlah kuadrat ordinat tiang pancang
$V$	= Total beban vertikal struktur
$n$	= jumlah tiang

## 2.15.4 Daya Dukung Pondasi Dalam Kelompok

Disaat sebuah tiang merupakan bagian dari group, daya dukung pondasi mengalami modifikasi, hal ini disebabkan oleh pengaruh dari group tiang tersebut. Terdapat 2 fenomena yang menyebabkan modifikasi daya dukung sebagai berikut :

- Pengaruh group disaat pelaksanaan pemancangan pondasi dalam
- Pengaruh group akibat beban sebuah beban yang bekerja Untuk kasus daya dukung group pondasi harus dikoreksi terlebih dahulu dengan koefisien efisiensi ( $C_e$ ). Berikut formula daya dukung group sebagai berikut :

$$Ql(\text{group}) = Ql(1 \text{ tiang})x n x C_e \quad (2.83)$$

dimana :

$n$  = jumlah tiang dalam group

$C_e$  = koefisien efisiensi

Diberikan beberapa perumusan untuk perhitungan  $C_e$  diantaranya :

1. Converse – Labaire,

$$C_e = 1 - \frac{\text{arc tan} \left( \frac{\phi}{S} \right)}{90^\circ} \cdot \left( 2 - \frac{1}{m} - \frac{1}{n} \right) \quad (2.84)$$

dimana :

$\emptyset$	= Diameter sebuah tiang pondasi
$S$	= Jarak As ke antar tiang dalam group
$m$	= Jumlah baris tiang dalam group
$n$	= Jumlah kolom tiang dalam group

## 2. Los Angeles,

$$Ce = 1 - \frac{D}{\pi \cdot S} \left( \frac{(m(n-1) + n(m-1) + (m-1)(n-1)\sqrt{2})}{(mxn)} \right) \quad (2.85)$$

dimana :

$D$	= Diameter sebuah tiang pondasi
$S$	= Jarak As ke antar tiang dalam group
$m$	= Jumlah baris tiang dalam group
$n$	= Jumlah kolom tiang dalam group

Dari hasil kedua koefisien koreksi dipilih nilai paling kecil untuk mencari nilai terkritis

## 2.15.5 Penurunan Tiang dalam Group

Dalam buku *Principle of Foundation Engineering* edisi ke 6 oleh Braja M. Das dijelaskan bahwa penurunan pondasi tiang terdapat 2 jenis yakni :

### 1. Penurunan Elastis Tiang

Total penurunan elastis (penurunan segera) dinyatakan dengan beban  $Q_w$  (beban yang ditahan disepanjang tiang dengan kondisi beban berkerja).

$$Se_{(g)} = Se_{(1)} + Se_{(2)} + Se_{(3)} \quad (2.86)$$

dimana :

$Se(g)$	= total penurunan elastis
$Se(1)$	= penurunan elastis tiang
$Se(2)$	= Penurunan elastis yang disebabkan beban di ujung tiang (daya dukung ujung)
$Se(3)$	= Penurunan elastis yang disebabkan beban di sepanjang selimut tiang (daya dukung selimut)

$$Se_{(1)} = \frac{(Qwp + \xi Qws) \times L}{Ap \cdot Ep} \quad (2.87)$$

dimana :

$Qwp$  = Beban yang ditahan di ujung tiang dengan kondisi beban yang bekerja ( $QW$ )

$Qws$  = Beban yang ditahan di sepanjang tiang (*friction*) dengan kondisi beban yang bekerja, ( $QW$ )

$Ap$  = Luas penampang

$Ep$  = Modulus elastisitas tiang

$\xi$  = nilai variasi magnitude sebesar 0,5 – 0,67 tergantung dari distribusi unit satuan daya dukung selimut sepanjang tiang.

$$Se_{(2)} = \frac{(qwp \times D)}{Es} \times (1 - \mu s^2) \times Iwp \quad (2.88)$$

$$qwp = \frac{Qwp}{Ap} \quad (2.89)$$

dimana :

$qwp$  = unit satuan kapasitas daya dukung ujung

$D$  = Lebar atau diameter tiang

$Ap$  = Luas penampang

$\mu s$  = Rasio angka poisson

$Iwp$  = Faktor pengaruh sekitar 0,85

$Es$  = modulus elastisitas tanah

$$Se_{(3)} = \left( \frac{Qws}{p \cdot L} \right) \times \left( \frac{D}{Es} \right) \times (1 - \mu s^2) \times Iws \quad (2.90)$$

dimana :

$Iws$  = faktor pengaruh

$$I_{ws} = 2 + 0,35 \times \sqrt{\frac{L}{D}} \quad (2.91)$$

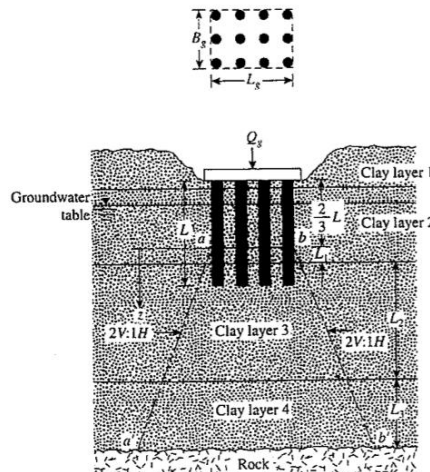
dimana :

L = kedalaman tiang

D = Lebar atau diameter tiang

## 2. Penurunan Konsolidasi Tiang

Penurunan konsolidasi tiang dalam grup di tanah lempung dapat dihitung menggunakan metode 2:1 distribusi tegangan. Adapun urutan perhitungan konsolidasi tiang dalam group sebagai berikut (lihat **Gambar 2.35**):



**Gambar 2. 35** Konsolidasi tiang dalam group

Sumber : M.Das, 2007

Perhitungan konsolidasi kelompok tiang dihitung berdasarkan penelitian Terzaghi dan Peck yang menganggap tanah bagian 2/3 panjang tiang tidak mudah mampat dan penyebaran beban pondasi dianggap berawal dari 2/3 panjang tiang kearah bawah.

Untuk perhitungan distribusi tegangan diberikan rumus sebagai berikut :

$$\Delta\sigma = \frac{Qg}{(Bg + z)(Lg + Z)} \quad (2.92)$$

dimana :

$\Delta\sigma$  = tambahan tegangan vertikal ditengah-tengah lapisan yang ditinjau

$Lg$  = panjang tiang

$Bg$  = lebar tiang kelompok

$z$  = jarak dari  $z = 0$  ke tengah lapisan tanah

Perhitungan penurunan konsolidasi disesuaikan dengan perumusan yang dijelaskan pada sub bab 2.9

### 2.15.6 Kontrol Kekuatan Pondasi Dalam

Kontrol harus dilakukan agar tiang pondasi mampu menahan beban - beban yang terjadi. Beban yang dimaksud adalah beban axial dan lateral yang mana dapat ditahan oleh kapasitas kekuatan pondasi dalam yakni *allowable compression* dan *moment crack*. Berikut penjelasan kontrol yang menurut NAFVAC DM-7.02 (1997) untuk pondasi dalam sebagai berikut :

1. Kontrol kuat bahan pondasi dalam.

Kontrol kuat bahan pondasi dalam didasarkan oleh kapasitas momen crack dan kapasitas axial load. Untuk mengetahui momen dan gaya normal yang terjadi akibat beban luar yang terjadi dapat dicari dapat dengan menggunakan aplikasi bantu SAP 2000 atau program sejenisnya yang dapat menganalisa struktur. Berikut formula yang dapat digunakan untuk kontrol bahan adalah :

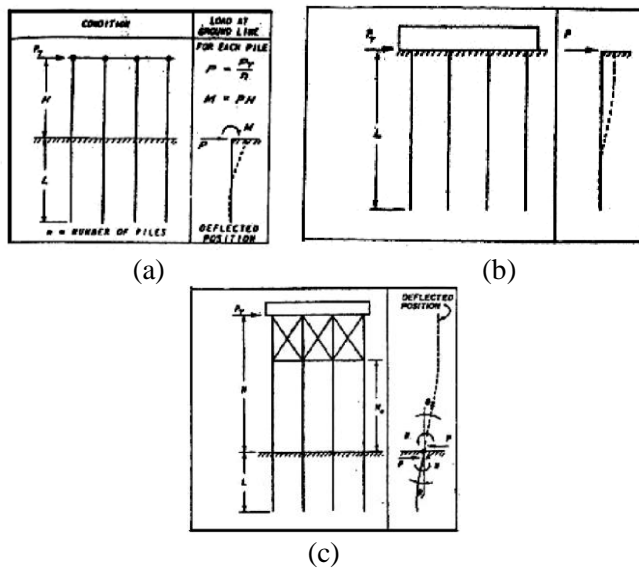
$$M_{pondasi\ tiang} < M_{crack} \quad (2.93)$$

$$P_{ultimate} < P_{allowable} \quad (2.94)$$

2. Kontrol lateral pondasi dalam,

Selain pondasi mampu menahan beban axial dan momen, pondasi juga harus mampu menahan beban lateral. Untuk kontrol lateral pondasi dalam, NAFVAC DM-7.02 (1986) digunakan sebagai referensi dalam perhitungan kontrol. Menurut NAFVAC DM-7.02, gaya lateral yang bekerja pada pondasi tiang pancang dibedakan atas tiga kondisi, yakni:

1. Tiang pancang yang poernya fleksibel atau tiang pancang yang terjepit diujungnya **Gambar 2.36 (a)**
2. Tiang pancang dengan poer kaku menempel diatas permukaan tanah **Gambar 2.36 (b).**
3. Tiang pancang dengan poer kaku terletak pada suatu ketinggian **Gambar 2.36 (c)**



**Gambar 2. 36** 3 Kondisi tiang pancang

Menurut (Wahyudi,1999) dalam buku “Daya Dukung Pondasi Dangkal” poer dikatakan kaku apabila  $h > \frac{B-b}{4} + 0,05$ ;  $h_{min} = 0,15\text{ m}$  (lihat **Gambar 2.31**)

Prosedur perhitungan untuk kondisi 1 dan 2 adalah sebagai berikut :

a. Kondisi I,

- Perhitungan faktor kekakuan relative (*relative stiffness faktor*)

$$T = \left(\frac{EI}{f}\right)^{\frac{1}{5}} \quad (2.95)$$

dimana :

T = Faktor kekakuan relatif

E = Modulus elastisitas tiang pancang.

I = Momen inersia penampang tiang pancang.

f = Koefisien variasi (dicari pada **Gambar 2.37**)

- Penentuan koefisien defleksi ( $F\theta$ ), koefisien momen ( $FM$ ) dan koefisien geser ( $FV$ ) berdasarkan **Gambar 2.38**
- Perhitungan defleksi, momen dan gaya geser pada kedalaman yang ditinjau rumus terdapat pada **Gambar 2.38**

b. Kondisi II,

- Langkah sama dengan langkah pertama pada kondisi I
- Penentuan koefisien defleksi ( $F\theta$ ) dan koefisien momen ( $FM$ ) berdasarkan **Gambar 2.39**
- Menghitung defleksi dan besarnya momen berdasarkan rumus yang terdapat pada **Gambar 2.39**
- Gaya geser maksimum dianggap terjadi pada ujung atas tiang pancang, yang besarnya untuk 1 tiang pancang adalah :

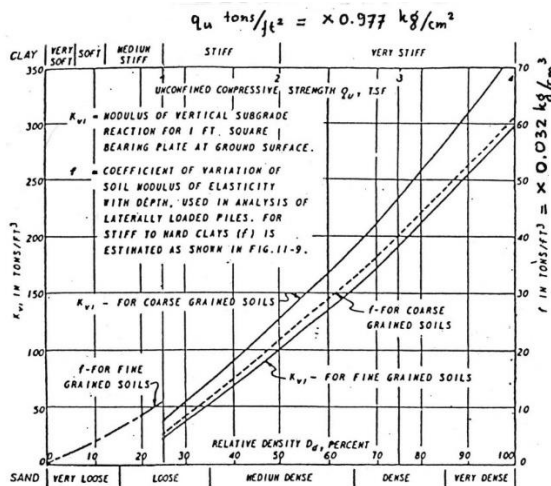
$$P = \frac{PT}{n} \quad (2.105)$$

dimana :

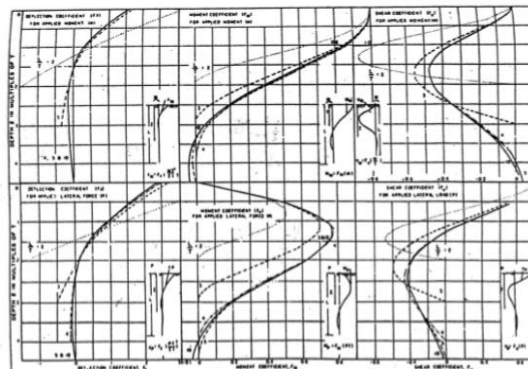
P = Besar gaya geser 1 tiang pancang.

PT = Besar gaya geser total yang bekerja.

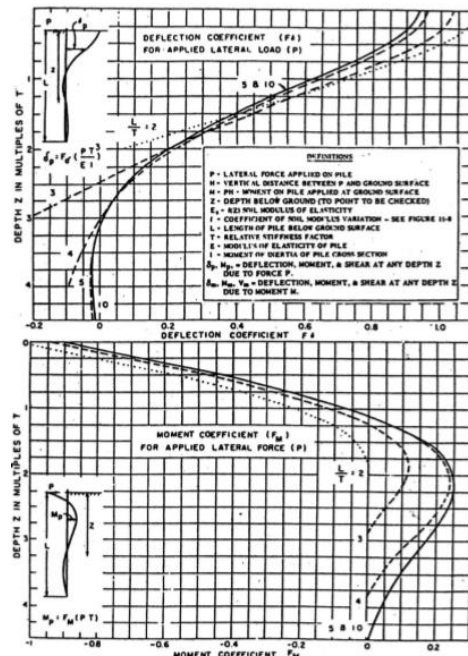
n = Jumlah tiang pancang



**Gambar 2. 37** Koefisien variasi ( $f$ ) untuk tiang pancang yang menerima beban lateral



**Gambar 2. 38** Koefisien-koefisien untuk tiang pancang yang menerima beban lateral pada kondisi I.



**Gambar 2. 39** Koefisien-koefisien untuk tiang pancang yang menerima beban lateral pada kondisi II

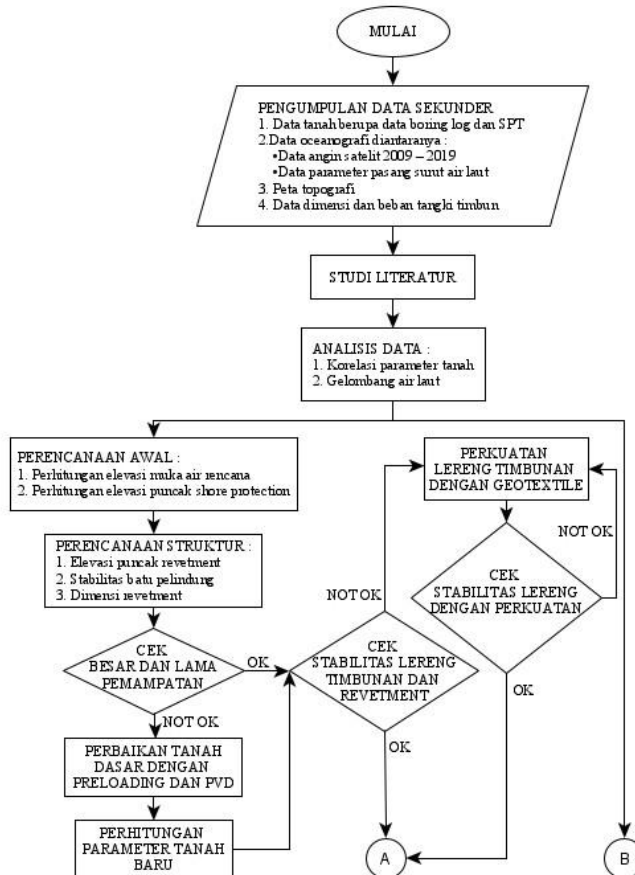
“ Halaman ini sengaja dikosongkan “

## BAB III

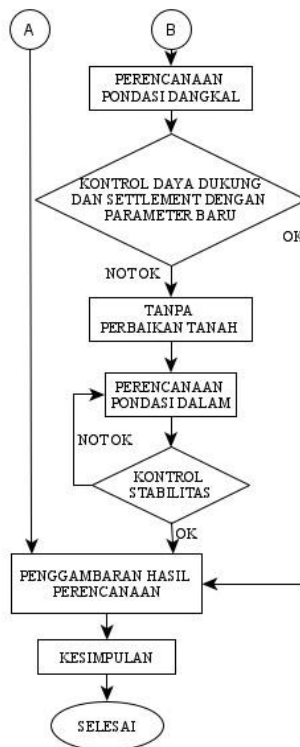
## METODOLOGI

### 3.1 Flowchart

Langkah – langkah perencanaan dalam tugas akhir ini ditunjukkan pada diagram alir **Gambar 3.1** :



**Gambar 3. 1** Diagram alir perencanaan tugas akhir



**Gambar 3. 2** Diagram alir perencanaan tugas akhir (lanjutan)

### 3.2 Uraian tahapan perencanaan

#### 3.2.1 Pengumpulan Data

Pengumpulan data diperoleh dari data sekunder. Adapun data-data yang diperlukan, yaitu:

- Data tanah berupa data boring log dan SPT
- Data Oceanografi berupa data angin, dan elevasi muka air pasang surut air laut
- Peta topografi area perluasan lahan
- Data beban tangki timbun berbentuk silinder tegak

### **3.2.2 Studi Literatur**

Dalam menganalisis dan menyelesaikan permasalahan tersebut perlu adanya tahapan studi literatur untuk mendukung pemahaman melalui bahan studi yang ada sehingga permasalahan dapat diselesaikan dengan tepat. Adapun bahan studi yang akan dipakai dalam perencanaan *Shore Protection* dan tipikal pondasi adalah sebagai berikut:

- a. Analisis data tanah dan gelombang air laut
- b. Metode perkuatan timbunan dan perbaikan tanah
- c. Studi literatur tentang analisis stabilitas timbunan
- d. Studi literatur tentang perencanaan bangunan pantai (*revetment*) dengan struktur *Rubble Mound*
- e. Studi literatur tentang pondasi dangkal dan dalam

### **3.2.3 Analisa Data**

Analisis data dalam perencanaan tugas akhir ini terbagi menjadi dua lingkup data yakni :

- a. Analisa Data tanah

Analisis data tanah adalah mengetahui sifat dasar tanah eksisting dan mengolah data sehingga didapatkan parameter tanah sebagai dasar perencanaan

- b. Analisa Pembebatan di Atas Pondasi

- c. Analisa Gelombang Air Laut

Adapun analisis gelombang air laut dalam perencanaan tugas akhir ini diantaranya :

- Analisis fetch efektif
- Peramalan tinggi gelombang dan periode gelombang dari olah data angin harian
- Penentuan tinggi gelombang rencana periode ulang 50 tahun

### **3.2.4 Perencanaan *Shore Protection***

Perencanaan *Shore Protection* dengan struktur *Rubble Mound* terbagi menjadi 4 tahap penting diantaranya :

- a. Perhitungan tinggi puncak *Shore Protection*

- b. Perhitungan stabilitas batu pelindung
- c. Perhitungan dimensi *revetment*
- d. Kontrol stabilitas *Shore Protection* diantaranya sliding, settlement, dan daya dukung tanah

### **3.2.5 Perencanaan Perbaikan Tanah**

Dengan kondisi tanah eksisting dengan daya dukung rendah dan untuk mencapai elevasi final maka dibutuhkan metode perbaikan tanah. Adapun langkah – langkah dalam perencanaan perbaikan tanah untuk tugas akhir ini adalah sebagai berikut :

- a. Perhitungan besar dan lama pemampatan oleh beban timbunan
- b. Kontrol terhadap waktu pemampatan secara natural
- c. Perencanaaan PVD dan PHD untuk percepatan pemampatan tanah lunak
- d. Perhitungan nilai Cu baru untuk perencanaan pondasi dangkal tangki timbun
- e. Kontrol stabilitas lereng timbunan terhadap geser, guling, dan *overall stability*

### **3.2.6 Perencanaan Perkuatan Tanah**

Perkuatan tanah dibutuhkan apabila kontrol stabilitas tidak memenuhi. Dalam tugas akhir ini perkuatan tanah terfokus pada stabilitas lereng timbunan dan stabilitas *shore protection*. Adapun alternatif perencanaan perkuatan tanah yang digunakan adalah *geotextile*.

### **3.2.7 Perencanaan Pondasi Tipikal**

- a. Perencanaan Pondasi Dangkal Tangki Timbun  
Dalam perencanaan pondasi dangkal perlu diperhatikan kontrol sebagai berikut :
  1. Kontrol daya dukung tanah
  2. *Settlement*
- b. Perencanaan Pondasi Dalam Tangki Timbun

Dalam perencanaan pondasi dalam perlu diperhatikan kontrol sebagai berikut :

3. Kontrol beban axial (*axial load*)
4. Kontrol beban horizontal (*lateral load*)
5. Kontrol defleksi dan beban momen
6. *Settlement*

### **3.2.8 Penggambaran Hasil Perencanaan**

Dalam tahap ini dilakukan penggambaran hasil perencanaan / *shop drawing* apabila semua desain sudah memenuhi kontrol stabilitas.

### **3.2.9 Kesimpulan dan Saran**

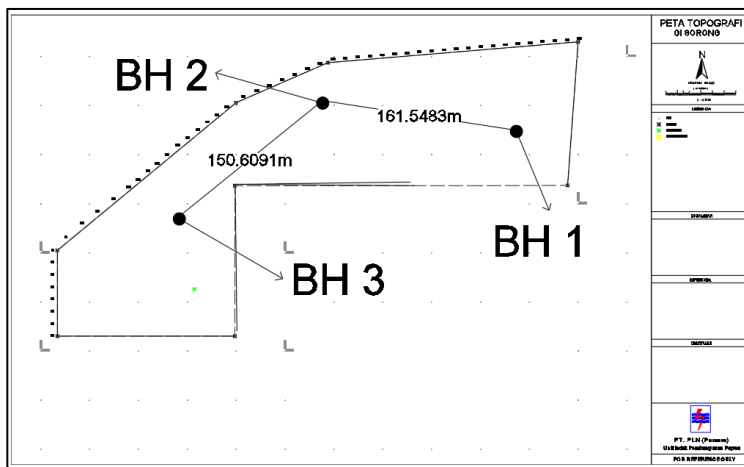
“ Halaman ini sengaja dikosongkan “

## BAB IV

### ANALISA DATA TANAH

#### 4.1. Analisis Data NSPT Tanah Dasar

Data tanah yang tersedia pada proyek perluasan lahan dan perencanaan *Shore Protection* adalah 3 data Bor Log dapat dilihat pada **Lampiran 1.2** dengan lokasi titik borlog dapat dilihat pada **Gambar 4.1**. Dalam perencanaan perbaikan tanah dasar maupun perencanaan bangunan diatas tanah dasar perlu diketahui diputuskan penggunaan data yang tepat sehingga tidak terjadi salah perencanaan maupun perencanaan yang belebihan atau boros. Dari hasil ketiga sebaran data NSPT dapat disajikan dalam bentuk grafik gabungan N-SPT dapat dilihat pada **Gambar 4.2**

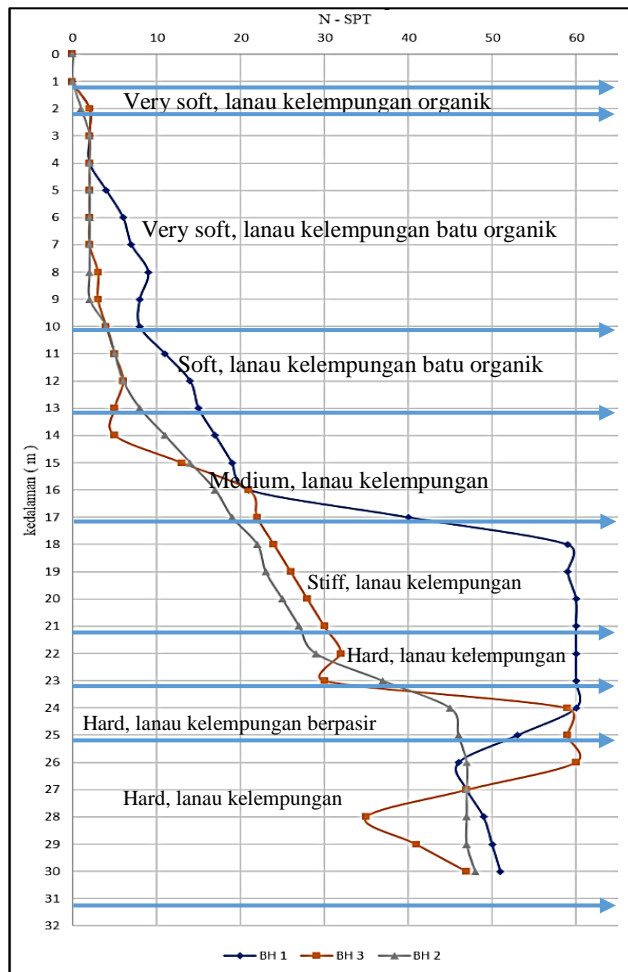


**Gambar 4. 1** Titik bor log pada area perencanaan perluasan lahan

Sumber : Dokumen PT. PLN,2019

Berdasarkan **Gambar 4.1** diketahui bahwa lokasi berada di 3 tempat yang berbeda dengan jarak antar lokasi bor lebih dari 150 m. Berdasarkan kondisi tersebut maka perlu diketahui 3 data

tersebut dikatakan homogen atau heterogen sehingga perlu dicek terhadap kovarian.



**Gambar 4. 2** Grafik gabungan data NSPT  
 Sumber: Data bor log site regasifikasi sorong  
 (surveyor indonesia,2019)

Dari hasil visualisasi data dengan cara grafis didapatkan informasi bahwa tanah dasar didominansi oleh tanah bersifat lanau kelempungan dengan NSPT kurang dari 15 hingga kedalaman kritis lebih dari 16 meter.

## 4.2 Analisis Sebaran Data Tanah Dasar

Analisis sebaran data tanah pada tugas akhir ini digunakan keputusan statistik koefisien variasi ( $K_v$ ) untuk mengetahui persebaran data tanah. Nilai koefisien variasi ( $K_v$ ) apabila kurang 20% maka data tersebut dapat disimpulkan homogen, sebaliknya kovarian lebih dari atau sama dengan 20% maka data tersebut heterogen atau tidak dapat digabung atau dirata - rata.

Dalam perhitungan nilai ( $K_v$ ) data NSPT perlu dikelompokkan terlebih dahulu kedalam konsistensi tanah berdasarkan tabel NPT dan korelasinya menurut (J.E. Bowles, 1984) untuk diketahui keseragaman sebaran data. Berikut contoh cek nilai ( $K_v$ ) BH-1 dengan BH-2 dalam satu konsistensi tanah sebagai berikut :

- Konsistensi Tanah = Very Soft
- N SPT BH 1 = 0,0,2,2,2
- N SPT BH 2 = 0,0,1,2,2,2,2,2,2,2
- $n (BH 1 + BH 2)$  = 11 ("0" tidak masuk rata-rata)
- $\bar{x} (mean)$  =  $20 / 11 = 1,9$
  
- $S (n < 100)$  =  $\sqrt{\frac{\sum_{i=1}^n (Xi - \bar{x})^2}{n-1}}$   
 $= \sqrt{\frac{(1-1,9)^2 + 10(2-1,9)^2}{11-1}}$   
 $= 0,301511345$
- maka,  $K_v$  (kovarian) =  $\frac{S}{\bar{x}} = \frac{0,301511345}{1,9}$   
 $= 15,79 \% (\text{homogen})$

Hasil perhitungan cek kovarian untuk data tanah lainnya dapat dilihat pada **Tabel 4.1, 4.2, dan 4.3**

**Tabel 4. 1 Cek Kovarian BH 1 dan BH 2**

KEDALAMAN m	bor log 1 N SPT	KONSISTENSI bor log 2 N SPT	KONSISTENSI bor log 2 N SPT	MEAN	STANDAR DEVIASI	KOEFISIEN VARIASI	KONTROL	KONSISTENSI
0	0	VERY SOFT SOFT	0	1.90909091	0,301511345	15,79345138	OKE	VERY SOFT
1	0		0					
2	2		1					
3	2		2					
4	2		2					
5	4		2					
6	6		2					
7	7		2					
8	9		2					
9	8		2					
10	8	MEDIUM	4	5	1	20	NOT OKE	SOFT
11	11		5					
12	14		6					
13	15		8					
14	17		11					
15	19		14					
16	21		17					
17	40		19					
18	59		22					
19	59		23					
20	60	STIFF	25	20,375	2,875388173	14,11233459	OKE	STIFF
21	60		27					
22	60		29					
23	60		37					
24	60		45					
25	53		46					
26	46		47					
27	47		47					
28	49		47					
29	50		47					
30	51	HARD	48	48,9166667	9,301316721	19,01461681	OKE	HARD

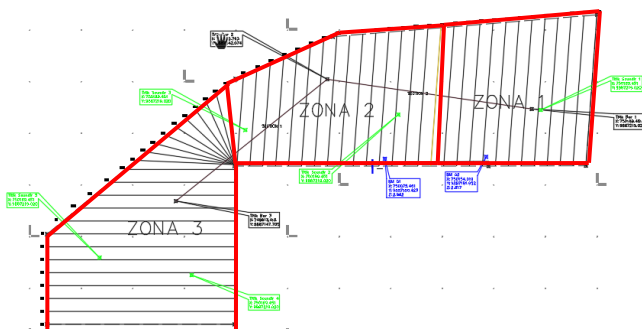
**Tabel 4. 2 Cek Kovarian BH 2 dan BH 3**

KEDALAMAN m	bor log 2 N SPT	KONSISTENSI bor log 3 N SPT	KONSISTENSI	MEAN	STANDAR DEVIASI	KOEFISIEN VARIASI	KONTROL	KONSISTENSI
0	0	VERY SOFT	0	2,0625	0,442530602	21,45602917	NOT OKE	VERY SOFT
1	0		0					
2	1		2					
3	2		2					
4	2		2					
5	2		2					
6	2		2					
7	2		2					
8	2		3					
9	2		3					
10	4	SOFT	4	5	0,755928946	15,11857892	OKE	SOFT
11	5		5					
12	6		6					
13	8		5					
14	11		5					
15	14		13					
16	17		21					
17	19		22					
18	22		24					
19	23	STIFF	26	11,5	2,615202806	12,09342338	OKE	STIFF
20	25		28					
21	27		30					
22	29		32					
23	37		30					
24	45		59					
25	46		59					
26	47		60					
27	47		47					
28	47		35					
29	47	HARD	41	41,5455	10,72925361	25,82533693	NOT OKE	HARD
30	48		47					

**Tabel 4. 3 Cek Kovarian BH 1, BH2, dan BH3**

KEDALAMAN m	bor log 1		bor log 2		bor log 3		KONSISTENSI	MEAN	STANDAR DEVIASI	KOEFISIEN VARIASI	KONTROL	KONSISTENSI
	N SPT	ONSISTENSI	N SPT	KONSISTENSI	N SPT							
0	0	VERY SOFT	0	VERY SOFT	0	VERY SOFT	VERY SOFT	2,05263158	0,40465132	19,71378221	OKE	VERY SOFT
1	0		0		0							
2	2		1		2							
3	2		2		2							
4	2		2		2							
5	4		2		2							
6	6		2		2							
7	7		2		2							
8	9		2		2							
9	8		2		3							
10	8	MEDIUM	4	SOFT	4	SOFT	MEDIUM	10,7272727	2,90141032	27,04704531	NOT OKE	MEDIUM
11	11		5		5							
12	14		6		6							
13	15		8		5							
14	17		11		5							
15	19		14		13							
16	21	STIFF	17	STIFF	21	STIFF	HARD	20,9090909	2,66287609	12,73549436	OKE	STIFF
17	40		19		22							
18	59		22		24							
19	59		25		26							
20	60		25		28							
21	60		27		30							
22	60		29		32							
23	60		37		30							
24	60		45		59							
25	53		46		59							
26	46	HARD	47	HARD	60	HARD	HARD	45,7575758	11,0892483	24,23478112	NOT OKE	HARD
27	47		47		47							
28	49		47		35							
29	50		47		41							
30	51		48		47							

Dari hasil analisis kovarian diatas dapat disimpulkan bahwa dari 3 data bor log tersebut bersifat heterogen sehingga data tersebut tidak dapat digabung. Dengan kondisi ini maka perlu dibuat zonasi agar perencanaan lebih efisien. Adapun daerah pembagian zonasi dapat diilustrasikan pada **Gambar 4.3**.

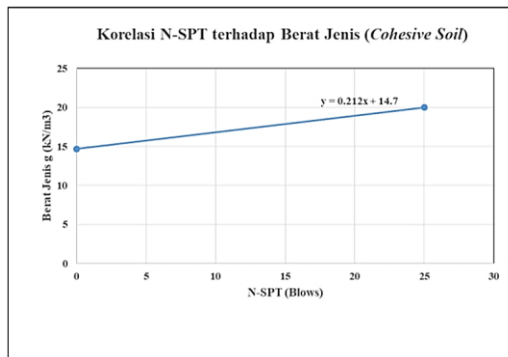
**Gambar 4. 3 Zonasi area perluasan lahan**

Sumber: layout perluasan lahan, Dokumen PT. PLN,2019

### 4.3 Korelasi Parameter Tanah Dasar

#### 4.3.1 Korelasi Berat Volume Tanah ( $\gamma$ )

Penentuan nilai berat volume tanah jenuh ( $\gamma_{sat}$ ) digunakan tabel NSPT dan korelasinya menurut Bowles (1984) yang ditunjukkan pada **Tabel 2.1**. Dari korelasi tersebut didapatkan hasil Formula grafik regresi linier seperti **Gambar 4.4** dengan batas maksimal  $\gamma_{sat}$  adalah sebesar 20 kN/m<sup>3</sup>.



**Gambar 4. 4** Grafik NSPT vs  $\gamma_{sat}$  (J.E.Bowles,1984)

Dari formula pada grafik dapat dihitung nilai ( $\gamma_{sat}$ ) pada zona 1 di kedalaman 10 meter sebagai berikut :

$$\gamma_{sat} = 0,212 \times \text{NSPT} + 14,7$$

$$\gamma_{sat} = 0,212 \times 10 + 14,7$$

$$\text{maka, } \gamma_{sat} = 16,82 \text{ kN/m}^3$$

Sedangkan korelasi parameter berat volume tanah kering ( $\gamma_d$ ) digunakan rumus empiris sebagai berikut :

$$\gamma_d = \frac{G_s \cdot \gamma_w}{1 + e}$$

$$\gamma_d = \frac{2,69 \cdot 10}{1 + 1,48}$$

$$\text{maka, } \gamma_d = 10,85 \text{ kN/m}^3$$

dimana nilai  $e_o$  dan  $G_s$  dapat dicari pada pembahasan pada sub bab 4.3.4 dan 4.3.5

### 4.3.2 Korelasi *Undrained Shear Strength (Cu)*

Untuk mendapatkan nilai *Undrained Shear Strength (Cu)* digunakan korelasi interpolasi linier menurut tabel bowless seperti yang ditunjukkan pada **Tabel 2.1**.

Contoh korelasi nilai *undrained shear strength (Cu)* pada zona 1 di kedalaman 10 meter sebagai berikut :

- Batas atas:

$$N = 6$$

$$q_u = 30 \text{ kN/m}^2$$

$$C_u = q_u/2 = 15 \text{ kN/m}^2$$

- Batas bawah:

$$N = 16$$

$$q_u = 40 \text{ kN/m}^2$$

$$C_u = q_u/2 = 20 \text{ kN/m}^2$$

Maka nilai Cu untuk NSPT = 10

$$C_u = ((10-6) \times (20-15)/(16-6)) + 15$$

$$C_u = 17 \text{ kN/m}^2$$

Sedangkan untuk nilai C' sebesar 2/3 dari nilai Cu, maka :

$$C_u = 17 \text{ kN/m}^2$$

$$C' = 11,33 \text{ kN/m}^2$$

### 4.3.3 Korelasi Angka Pori ( $e_0$ ) dan Porositas (n) Tanah

Korelasi angka pori tanah berdasarkan pada berat volume tanah jenuh ( $\gamma_{sat}$ ) dan dikorelasi terhadap tabel korelasi parameter tanah oleh Biarez dan Favre seperti pada **Tabel 2.2**. Untuk mencari nilai angka pori ( $e_0$ ) digunakan metode interpolasi linier dengan batas bawah adalah sebesar 0,93

Contoh korelasi nilai angka pori tanah ( $e_0$ ) pada zona 1 di kedalaman 10 meter :

- Batas atas:

$$\gamma_{sat} = 16,13 \text{ kN/m}^3$$

$$e_0 = 1,7$$

- Batas bawah:

$$\gamma_{sat} = 16,9 \text{ kN/m}^3$$

$$e_0 = 1,45$$

Maka nilai  $e_0$  untuk  $\gamma_{sat} = 16,82 \text{ kN/m}^3$

$$e_0 = ((16,82-16,3) \times (1,45-1,7)) / (16,9-16,3) + 1,7$$

$$e_0 = 1,48$$

Sedangkan untuk mencari nilai porositas ( $n$ ) digunakan rumus empiris sebagai berikut :

$$n = \frac{e}{1+e}$$

$$n = \frac{1,48}{1+1,48}$$

$$n = 0,6$$

#### 4.3.4 Korelasi Spesific Gravity (Gs)

Nilai *specific gravity* dicari dengan rumus empiris sebagai berikut:

$$\gamma_{sat} = \frac{(Gs + e)\gamma_w}{1+e}$$

Contoh korelasi koefisien *Spesific Gravity* (Gs) pada zona 1 di kedalaman 10 meter :

$$Gs = \frac{\gamma_{sat}(1+e)}{\gamma_w} - e$$

$$Gs = \frac{16,82(1+1,48)}{10} - 1,48$$

$$\text{maka, } Gs = 2,69$$

#### 4.3.5 Korelasi Koefisien Kompresi Tanah (Cc)

Nilai koefisien kompresi tanah (Cc) didapatkan dengan persamaan menurut (Hough,1957) pada **Tabel 2.3** yakni untuk tanah *inorganic cohesive soil*

Contoh korelasi nilai koefisien kompresi tanah (Cc) pada zona 1 di kedalaman 10 meter :

$$e_0 = 1,48$$

$$\text{maka, } Cc = 0,3 (1,48 - 0,27) = 0,36$$

### 4.3.6 Korelasi Koefisien Mengembang Tanah (*Cs*)

Untuk nilai koefisien mengembang tanah (*Cs*) didapatkan dengan asumsi sebesar (1/5) terhadap nilai *Cc*.

Contoh korelasi nilai koefisien memgembang tanah (*Cs*) pada zona 1 di kedalaman 10 meter :

$$Cc = 0,36$$

$$\text{maka, } Cs = 0,36 \times (1/5) = 0,07$$

### 4.3.7 Korelasi Koefisien *Compression Ratio* (*CR*)

Nilai koefisien *Compressin Ration* (*CR*) digunakan rumus Elnaggar dan Krizek (1970) pada **Tabel 2.4** dengan jenis tanah *Inorganic & organic clays and silty soils*.

Contoh korelasi nilai koefisien *Compression Ratio* (*CR*) pada zona 1 di kedalaman 10 meter :

$$e_0 = 0,95$$

$$CR = 0,156 \times e_0 + 0,0107$$

$$CR = 0,156 \times 1,48 + 0,0107$$

$$\text{maka, } CR = 0,24$$

### 4.3.8 Korelasi Koefisien Pengaliran Tanah Vertikal (*Cv*)

Koefisien pengaliran tanah vertikal (*Cv*) dikorelasi dengan menggunakan tabel korelasi interpolasi parameter tanah oleh Biarez dan Favre seperti pada **Tabel 2.2**

Contoh korelasi nilai koefisien pengaliran tanah vertikal (*Cv*) pada zona 1 di kedalaman 10 meter sebagai berikut :

- Batas atas:

$$\gamma_{sat} = 16,3 \text{ kN/m}^3$$

$$Cv = 0,0005 \text{ cm}^2/\text{s}$$

- Batas bawah:

$$\gamma_{sat} = 16,9 \text{ kN/m}^3$$

$$Cv = 0,0006 \text{ cm}^2/\text{s}$$

Maka nilai Cv untuk  $\gamma_{sat} = 16,82 \text{ kN/m}^3$

$$Cv = ((16,82 - 16,3) \times (0,0006 - 0,0005)) / (16,9 - 16,3) + 0,0005$$

$$Cv = 0,00059$$

### 4.3.9 Korelasi Koefisien Pengaliran Tanah Horizontal ( $Ch$ )

Nilai koefisien pengaliran tanah horizontal ( $Ch$ ) umumnya untuk tanah lempung jenuh air berkisar 2-5. Untuk nilai  $kh/kv$  digunakan sebesar 3 untuk jenis tanah *Varved clays and other deposits containing embedded and more or less continuos permeable layers* oleh sebab itu nilai  $Ch = 3 \times Cv$ .

Contoh korelasi nilai koefisien pengaliran tanah horizontal ( $Ch$ ) pada zona 1 di kedalaman 10 meter :

$$Cv = 0,00059 \text{ cm}^2/\text{s}$$

$$Ch = 3 \times Cv$$

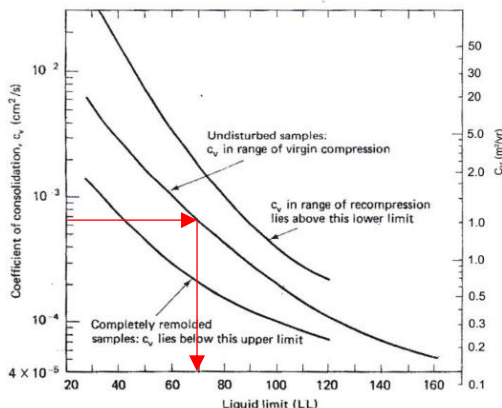
$$Ch = 3 \times 0,00059$$

$$\text{maka, } Ch = 0,018 \text{ cm}^2/\text{s}$$

### 4.3.10 Korelasi Batas Cair Tanah (LL)

Korelasi batas cair tanah didapatkan dengan menggunakan grafik hubungan nilai  $Cv$  dengan LL seperti yang ditunjukkan pada **Gambar 2.1**.

Contoh korelasi nilai koefisien pengaliran tanah horizontal ( $Ch$ ) pada zona 1 di kedalaman 10 meter dengan grafik **Gambar 4.5** yang diambil dari After US. Navy sebagai berikut :



**Gambar 4. 5** Korelasi nilai LL dengan PI

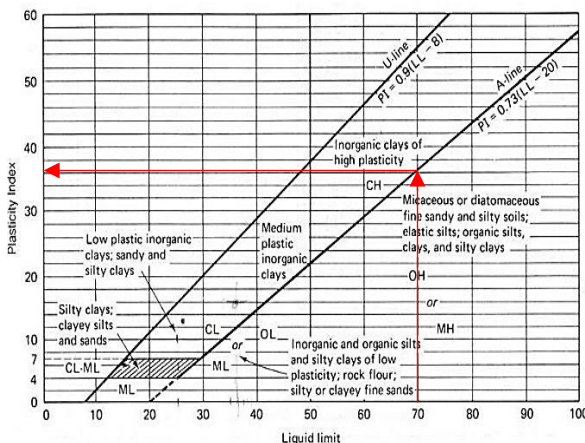
$$Cv = 0,00059 \text{ cm}^2/\text{s}$$

maka, LL = 70 %

### 4.3.11 Korelasi Batas Indeks Plastisitas Tanah (PI)

Korelasi batas cair tanah didapatkan dengan menggunakan grafik hubungan nilai LL dengan PI dari ASTM, Cassagrande seperti yang ditunjukkan pada **Gambar 2.2**

Contoh korelasi nilai batas indeks plastisitas tanah (PI) pada zona 1 di kedalaman 10 meter dengan grafik **Gambar 4.6** sebagai berikut :



**Gambar 4. 6** Korelasi nilai LL dengan PI

$$LL = 70 \%$$

$$\text{maka, } PI = 36,5 \%$$

### 4.3.12 Korelasi Sudut Geser Undrained ( $\phi_u$ )

Penentuan nilai sudut geser *undrained* ( $\phi_u$ ) untuk tanah lempung adalah bernilai 0 dengan asumsi kondisi short term.

### 4.3.13 Korelasi Angka Poisson ( $\mu$ )

Penentuan angka *poisson ratio* digunakan tabel harga – harga angka poisson ratio seperti ditunjukkan pada **Tabel 2.5**.

Untuk tanah lempung lembek memiliki angka poisson berkisar 0,15 – 0,25 dan lempung agak kaku 0,2 – 0,5.

#### **4.3.14 Korelasi Modulus Elastisitas (Eu)**

Korelasi modulus elastisitas digunakan tabel nilai tipikal Eu untuk tanah lempung (U.S Army (1994) dan Bowles (1986)) pada **Tabel 2.6**.

#### **4.3.15 Korelasi Water Content (Wc)**

Korelasi parameter tanah *water content* digunakan tabel Biarez dan Favre **Tabel 2.2** terhadap parameter berat jenis jenuh. Berikut contoh perhitungan interpolasi liner pada zona 1 di kedalaman 10 meter sebagai berikut :

- Batas atas:

$$\gamma_{sat} = 16,3 \text{ kN/m}^3$$

$$W_c = 63 \%$$

- Batas bawah:

$$\gamma_{sat} = 16,9 \text{ kN/m}^3$$

$$W_c = 53,9 \%$$

Maka nilai wc untuk  $\gamma_{sat} = 16,82 \text{ kN/m}^3$

$$W_c = ((16,82-16,3) \times (53,9-63)/(16,9-16,3))+63$$

$$W_c = 55,11 \%$$

#### **4.3.16 Rekapitulasi Parameter Tanah**

Rekapitulasi sasis korelasi pada sub bab 4.2.2 hingga sub bab 4.2.16 dapat disajikan ke dalam bentuk tabel rekapitulasi parameter tiap zonasi dapat dilihat pada **Tabel 4.4** hingga **Tabel 4.6**

**Tabel 4.4 Rekapitulasi Korelasi Parameter Tanah Zona 1**

BOR LOG 1																			
DEPTH m	KONSISTENSI	N	$\gamma_{sat}$	$\gamma_d$	Gs	eo	n	Cc	Cr	Cs	Cv	Ch	Cu	C'	Wc	Eu	$\Phi_u$	LL	PI
	SPT kN/m <sup>3</sup>	SPT kN/m <sup>3</sup>														MPa	(%)	(%)	(%)
0-5	VERY SOFT	1	14.91	7.81	2.69	2.45	0.71	0.65	0.39	0.13	0.00172	0.0052	5.00	3.33	90.61	0.15	3.00	0.00	68.00
5-7	SOFT	5	15.76	9.13	2.71	1.97	0.66	0.51	0.32	0.10	0.00033	0.0010	12.50	8.33	72.91	0.20	5.00	0.00	64.00
7-14	MEDIUM	10	16.82	10.85	2.69	1.48	0.60	0.36	0.24	0.07	0.00059	0.0018	17.00	11.33	55.11	0.25	20.00	0.00	70.00
14-17	STIFF	19	18.73	13.90	2.69	0.94	0.48	0.20	0.16	0.04	0.00089	0.0027	46.67	31.11	35.06	0.30	50.00	0.00	52.00
17-30	HARD	54	20.00	15.18	2.93	0.93	0.48	0.20	0.16	0.04	0.00090	0.0027	100.00	66.67	34.40	0.40	100.00	0.00	50.00

**Tabel 4.5 Rekapitulasi Korelasi Parameter Tanah Zona 2**

BOR LOG 2																			
DEPTH m	KONSISTENSI	N	$\gamma_{sat}$	$\gamma_d$	Gs	eo	n	Cc	Cr	Cs	Cv	Ch	Cu	C'	Wc	Eu	$\Phi_u$	LL	PI
	SPT kN/m <sup>3</sup>	SPT kN/m <sup>3</sup>														MPa	(%)	(%)	(%)
0-10	VERY SOFT	2	15.12	8.14	2.70	2.31	0.70	0.61	0.37	0.12	0.00022	0.0007	6.00	4.00	85.54	0.15	4.00	0.00	67.00
10-13	SOFT	5	15.76	9.13	2.71	1.97	0.66	0.51	0.32	0.10	0.00033	0.0010	12.50	8.33	72.91	0.20	5.00	0.00	64.00
13-16	MEDIUM	11	17.03	11.18	2.70	1.41	0.59	0.34	0.23	0.07	0.00062	0.0019	17.75	11.83	52.47	0.25	20.00	0.00	59.00
16-21	STIFF	22	19.36	14.55	2.81	0.93	0.48	0.20	0.16	0.04	0.00090	0.0027	73.33	48.89	34.40	0.30	50.00	0.00	51.00
21-30	HARD	42	20.00	15.18	2.93	0.93	0.48	0.20	0.16	0.04	0.00090	0.0027	100.00	66.67	34.40	0.40	100.00	0.00	50.00

**Tabel 4.6 Rekapitulasi Korelasi Parameter Tanah Zona 3**

DEPTH m	KONSISTENSI	BOR LOG 3																		
		N KN/m <sup>3</sup>	$\gamma_{sat}$ KN/m <sup>3</sup>	$\gamma_d$ KN/m <sup>3</sup>	G <sub>s</sub>	e <sub>o</sub>	n	C <sub>c</sub>	C <sub>r</sub>	C <sub>s</sub>	C <sub>v</sub> cm <sup>2</sup> /s	C <sub>h</sub> cm <sup>2</sup> /s	C <sub>u</sub> kPa	C' kPa	W <sub>c</sub> %	$\mu$	E <sub>u</sub> MPa	LL (%)	PI (%)	
0-10	VERY SOFT	2	15.12	8.14	2.70	2.31	0.70	0.61	0.37	0.12	0.00022	0.0007	6.00	4.00	85.54	0.15	4.00	0.00	67.00	34.31
10-15	SOFT	5	15.76	9.13	2.71	1.97	0.66	0.51	0.32	0.10	0.00033	0.0010	12.50	8.33	72.91	0.20	5.00	0.00	64.00	32.12
15-16	MEDIUM	13	17.46	11.82	2.71	1.29	0.56	0.31	0.21	0.06	0.00068	0.0020	18.50	12.33	47.86	0.25	20.00	0.00	58.00	27.74
16-19	STIFF	23	19.58	4.76	2.85	0.93	0.48	0.20	0.16	0.04	0.00090	0.0027	82.22	54.81	34.40	0.30	50.00	0.00	51.00	22.63
19-30	HARD	42	20.00	15.18	2.93	0.93	0.48	0.20	0.16	0.04	0.00090	0.0027	100.00	66.67	34.40	0.40	100.00	0.00	50.00	21.90

## BAB V

### ANALISA GELOMBANG AIR LAUT

#### 5.1 Pengumpulan Data Oceanografi

Dalam analisis gelombang air laut diperlukan beberapa data *oceanografi* berupa dapat berupa data angin untuk peramalan tinggi dan periode gelombang air laut dalam serta data pasang surut air laut sebagai dasar perhitungan elevasi muka air rencana. Data angin dalam perencanaan ini adalah data angin harian sekunder yang diperoleh dari data satelit pada website [www.climate.copernicus.eu](http://www.climate.copernicus.eu) tahun 2009 hingga 2019. Dari hasil rekapitulasi data angin kemudian diolah dan dapat disajikan kedalam *windrose* dengan bantuan aplikasi WR PLOT seperti disajikan pada **Lampiran 5.1**.

Data pasang surut air laut merupakan data hasil analisa pasang surut air laut di Sorong yang diperoleh dari *analysis wave final report PLTMG 50 MW Sorong* dapat ditunjukkan pada **Tabel 5.1**

**Tabel 5.1** Data Pasang Surut Air Laut di Sorong

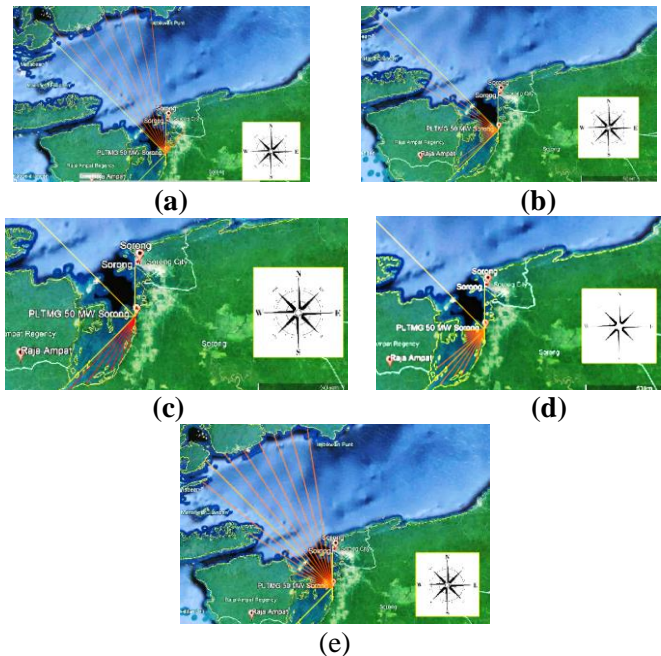
No	Parameter Pasang Surut	Simbol	Elevasi (m)
1	<i>Highest Astronomical Tide</i>	HAT	1,33
2	<i>Higher High Water Level</i>	HHWL	1,21
3	<i>Mean High Water Level</i>	MHWL	0,79
4	<i>Mean Sea Level</i>	MSL	0
5	<i>Mean Low Water Level</i>	MLWL	-0,79
6	<i>Chart Datum Line</i>	CDL	-1,02
7	<i>Lowest Low Water Level</i>	LLWL	-1,21
8	<i>Lowest Astronomical Tide</i>	LAT	-1,33

Sumber: *Wave analysis final report PLTMG 50 MW Sorong, 2019*

#### 5.2 Analisis Fetch Efektif

Analisis fetch dilakukan untuk peramalan tinggi dan periode gelombang air laut dalam. Arah datangnya gelombang dari hasil

visualisasi peta didapatkan 5 arah mata angin yang disumsikan gelombang datang menuju tepi pantai seperti pada **Gambar 5.1**



**Gambar 5. 1** Analisis panjang fetch (a) arah utara; (b) arah barat; (c) arah selatan; (d) arah barat daya; (e) arah barat laut

Contoh analisis perhitungan fetch efektif arah utara dapat dihitung sebagai berikut :

$$F_{eff} = \frac{\sum \cos \alpha}{\sum X \cdot \cos \alpha} = \frac{13,51}{563,79} = 41,72817085 \text{ km}$$

Hasil analisis perhitungan fetch efektif untuk semua arah dapat dilihat pada **Lampiran 5.2** dan hasil perhitungan fetch efektif didapatkan nilai fetch efektif 5 arah mata angin sebagai berikut :

Fetch efektif arah utara (N)	: 41,7281708 km
Fetch efektif arah barat (W)	: 21,5755635 km
Fetch efektif arah selatan (S)	: 9,0175066 km
Fetch efektif arah barat daya (SW)	: 14,3664381 km
Fetch efektif arah barat laut (NW)	: 55,8671849 km

### 5.3 Peramalan Tinggi Gelombang dan Periode Gelombang Laut Dalam

Dalam peramalan tinggi gelombang dan periode gelombang laut dalam mengikuti aturan flowchart dalam buku *shore protection manual / CERC* tahun 1984 dan dapat dilihat pada **Gambar 2.7**

Adapun contoh perhitungan peramalan gelombang dapat di selesaikan sebagai berikut :

$$\begin{aligned}
 \text{Time} &= 2009-01-01 (06:00) \\
 \text{U10} &= 1,99 \text{ m/s} \\
 \text{Direction} &= 218,25^\circ \rightarrow \text{SW (Barat Daya)} \\
 \text{Feff ( barat daya )} &= 14366,44 \text{ m} \\
 \text{UA} &= 0,71 \times Uw^{1,23} \\
 \text{Uw} &= Rl \times U10 = 1,99 \times 1,71 = 3,40 \text{ m/s} \\
 \text{UA} &= 0,71 \times 3,4^{1,23} \\
 &= 3,20 \text{ m/s} \\
 \text{gt/Ua} &= 68,8 \times \left( \frac{gF}{Ua^2} \right)^{\frac{2}{3}} \\
 &= 68,8 \times \left( \frac{9,81 \cdot 14366,44}{3,2^2} \right)^{\frac{2}{3}} \\
 &= 39591,03 \text{ s}
 \end{aligned}$$

Kontrol :

$$\text{gt/Ua} \leq 71500$$

$$39591,03 \leq 71500 \rightarrow \text{Non Fully Developed}$$

Kontrol :

$$tc = 68,8 \times \left( \frac{9,81 \cdot 14366,44}{3,2^2} \right)^{\frac{2}{3}} \times \frac{3,2}{9,81} \leq 6 \times 3600$$

$$tc = 12895,27406 \text{ s} \leq 21600 \text{ s} \rightarrow \text{Fetch Limited}$$

$$\begin{aligned}
 \text{Hmo} &= 0,0016 \times \left(\frac{Ua^2}{g}\right) \times \left(\frac{gF}{Ua^2}\right)^{0,5} \\
 &= 0,0016 \times \left(\frac{3,2^2}{9,81}\right) \times \left(\frac{9,81 \times 14366,438}{3,2^2}\right)^{0,5} \\
 &= 0,2 \text{ m} \\
 \text{Tp} &= 0,2857 \times \left(\frac{Ua}{g}\right) \times \left(\frac{gF}{Ua^2}\right)^{1/3} \\
 &= 0,2857 \times \left(\frac{3,2}{9,81}\right) \times \left(\frac{9,81 \times 14366,438}{3,2^2}\right)^{1/3} \\
 &= 2,23 \text{ s}
 \end{aligned}$$

Tabel perhitungan tinggi dan periode gelombang laut dalam dari tahun 2009 dapat dilihat pada tabel peramalan tinggi dan periode gelombang laut dalam pada **Lampiran 5.3**

#### 5.4 Periode Ulang Gelombang dengan Program Bantu Minitab

Dari hasil perhitungan peramalan gelombang didapatkan nilai tinggi gelombang maksimum dapat dilihat pada **Tabel 5.2**. Sedangkan hasil perhitungan tinggi gelombang periode ulang 50 tahun dengan program bantu *Minitab*.

**Tabel 5. 2** Rekapitulasi Hmo dan Tp maksimum tiap tahun

TAHUN	MAXIMUM Hmo (m)	MAXIMUM Tp (s)
2009	0,720725678	5,503992672
2010	0,786190619	5,572925472
2011	0,609621262	5,382886225
2012	0,607030271	5,648111041
2013	0,501994055	5,260132755
2014	0,585575877	5,355947489
2015	0,638884148	5,415310778
2016	0,481408605	5,250327805
2017	0,473787516	5,397611412
2018	0,624301961	5,668273493
2019	0,634443916	5,410415784

Dari tinggi dan periode maksimum tiap tahun pada **Tabel 5.2** dilakukan analisis gelombang periode ulang (*return period*) dengan program bantu *minitab*. Hasil analisis tinggi dan periode gelombang untuk periode ulang dapat dilihat pada **Tabel 5.3**

**Tabel 5.3** Periode Ulang Tinggi dan Periode Gelombang

No	Periode Ulang ( tahun )	Persentasi	Ho (m)	To (s)
1	1,25	20%	0,524	5,3234
2	2	50%	0,599	5,2218
3	5	80%	0,685	5,5489
4	10	90%	0,734	5,6346
5	20	95%	0,778	5,7168
6	25	96%	0,791	5,7429
7	50	98%	0,829	5,8232
8	100	99%	0,867	5,9092

## 5.5 Perhitungan Elevasi Muka Air Rencana

Dari hasil perhitungan tinggi gelombang signifikan 50 tahun didapatkan tinggi sebesar 0,829 m dan periode gelombang 5,823 s. Data – data tersebut digunakan untuk perhitungan elevasi muka air laut rencana.

Parameter – parameter yang menjadi perhitungan elevasi muka air laut rencana dalam perencanaan ini diantaranya tinggi *wave set up* ( $Sw$ ), tinggi *wind set up* ( $\Delta h$ ), dan tinggi akibat pemanasan global (SLR).

### 5.5.1 Tinggi Wave Set Up (Sw)

Perhitungan tinggi *wave set up* dapat digunakan dengan perumusan sebagai berikut :

$$Sw = 0,19 \left[ 1 - 2,82 \cdot \sqrt{\frac{H}{gT^2}} \right] \cdot H$$

$$Sw = 0,19 \left[ 1 - 2,82 \cdot \sqrt{\frac{0,829}{g \times 5,823^2}} \right] \cdot 0,829$$

maka,  $Sw = 0,851 \text{ m}$

### 5.5.2 Tinggi Wind Set Up ( $\Delta h$ )

Perhitungan tinggi *wind set up* dapat digunakan dengan perumusan sebagai berikut :

$$\Delta h = F \cdot c \cdot \frac{V^2}{2 \cdot g \cdot d}$$

diketahui:

$$F = 41728,17 \text{ m (Fetch dominan arah utara)}$$

$$C = 3,5 \times 10^{-6}$$

$$V = 16,49 \text{ m/s (kecepatan angin maksimum)}$$

$$g = 9,81 \text{ m/s}^2$$

$$T_0 = 5,82 \text{ s}$$

$$L_o = 1,56 \times T_0^2$$

$$= 1,56 \times 5,82^2$$

$$= 52,899 \text{ m}$$

Parameter laut dalam  $\rightarrow d/L_o > 1/25 \text{ s.d } 1/2$

maka:

$$d = L_o \times 1/2$$

$$= 52,9 \times 1/2$$

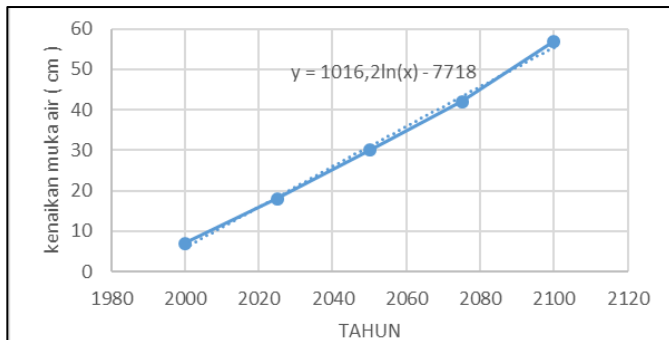
$$= 26,45 \text{ m}$$

$$\text{maka, } \Delta h = 41728,17 \times 3,5 \times 10^{-6} \frac{16,49^2}{2,981 \cdot 26,45} = 0,144 \text{ m}$$

### 5.5.3 Tinggi Akibat Pemanasan Global (SLR)

Di dalam perencanaan bangunan pantai, kenaikan muka air karena pemanasan global perlu diperhitungkan. Berdasarkan **Gambar 2.11** didapatkan grafik informasi perkiraan besarnya kenaikan muka air laut dari tahun 1990 sampai 2100, yang disertai perkiraan batas atas dan bawah.

Dari grafik perkiraan terbaik dapat dibuat grafik hubungan yang kemudian dicari formula hubungan dapat dilihat pada **Gambar 5.2**



**Gambar 5.2** Perkiraan terbaik kenaikan muka air akibat pemanasan global (Triatmodjo,2012)

Direncanakan *shore protection* dengan umur rencana 50 tahun, maka perkiraan terbaik di tahun 2070 :

$$\text{SLR} = 1016,2 \times \ln(2070) - 7718 = 0,41 \text{ m}$$

#### 5.5.4 Total Elevasi Muka Air Rencana

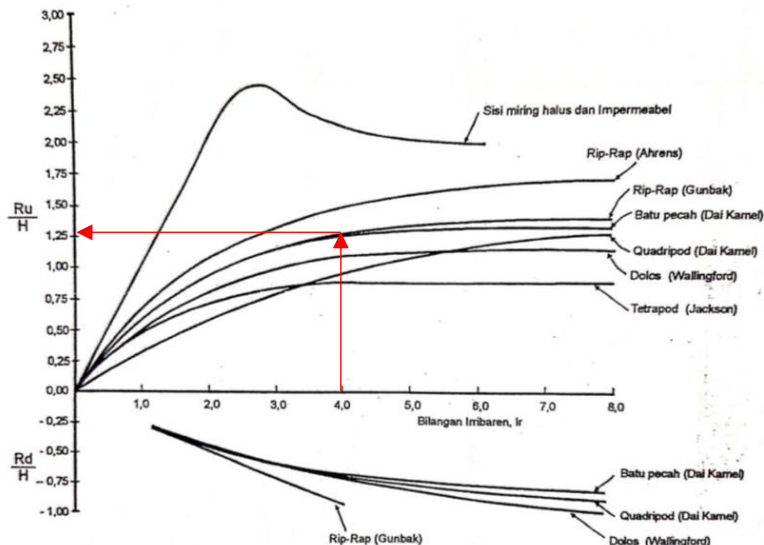
Total elevasi muka air dapat dihitung sebagai berikut :

$$\begin{aligned}\text{EMA} &= \text{HAT} + \text{SW} + \Delta h + \text{SLR} \\ &= 1,33 + 0,851 + 0,144 + 0,41 \\ &= 2,735 \text{ m}\end{aligned}$$

#### 5.6 Perhitungan Elevasi Puncak Rencana *Shore Protection*

##### 5.6.1 Tinggi *Run Up* (*Ru*)

Untuk menghitung elevasi puncak rencana adalah sebagai berikut :



**Gambar 5. 3 Ploting nilai  $R_u/H$**

Run Up ( batu pecah )

Rencana kemiringan revetment = 1 : 2

$$\begin{aligned} Lo &= 1,56 \times To^2 \\ &= 1,56 \times 5,82^2 \\ &= 52,899 \text{ m} \end{aligned}$$

$$Ir = \frac{tg\theta}{\left(\frac{H}{Lo}\right)^{0,5}} = \frac{0,5}{\left(\frac{0,829}{52,899}\right)^{0,5}} = 3,99$$

Bilangan irribaren diplot pada grafik **Gambar 5.3** (batu pecah) sehingga didapatkan nilai :

$$\frac{R_u}{H} = 1,26$$

$$R_u = 1,26 \times 0,829 = 1,045 \text{ m}$$

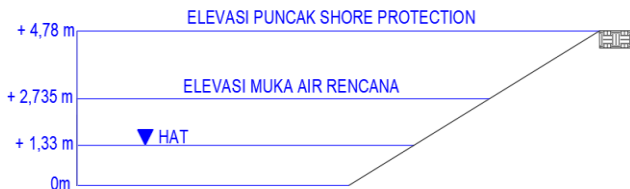
### 5.6.2 Total Elevasi Puncak *Shore Protection*

Total elevasi ini selain digunakan sebagai acuan elevasi puncak *shore protection* juga digunakan sebagai data elevasi minimum rencana timbunan.

Total elevasi puncak *revetment* dihitung sebagai berikut :

$$\begin{aligned} H_{\text{puncak}} &= \text{EMA} + \text{Ru} + \text{Freeboard} \\ &= 2,735 + 1,045 + 1 \\ &= 4,78 \text{ m} \end{aligned}$$

Sketsa hasil perhitungan elevasi muka air dapat dilihat pada **Gambar 5.4**



**Gambar 5.4** Sketsa elevasi puncak *shore protection*

“ Halaman ini sengaja dikosongkan “

## BAB VI

# PERENCANAAN *SHORE PROTECTION* DENGAN STRUKTUR *RUBBLE MOUND*

### 6.1 Jenis Batu *Shore Protection* dan Perencanaan *Layout Shore Protection*.

Jenis bangunan pelindung pantai dalam perencanaan ini adalah bangunan pantai *revetment* (sisi miring) dengan struktur *rubble mound* (batu pecah) sebagai pelindung / armor.

Pemilihan jenis struktur *rubble mound* selain efektif dalam meredam gelombang air laut, material yang digunakan juga mudah ditemukan dan harga relatif murah jika dibandingkan jenis struktur lainnya seperti *revetment* beton. Selain itu dari aspek pelaksanaan *rubble mound* juga lebih mudah dibandingkan dengan jenis struktur beton.

Batu pecahan merupakan material struktur *rubble mound* yang digunakan sebagai susunan lapis pelindung. Berat jenis berbagai jenis batuan dapat dilihat pada **Tabel 6.1**

**Tabel 6. 1** Berat Jenis Berbagai Batuan

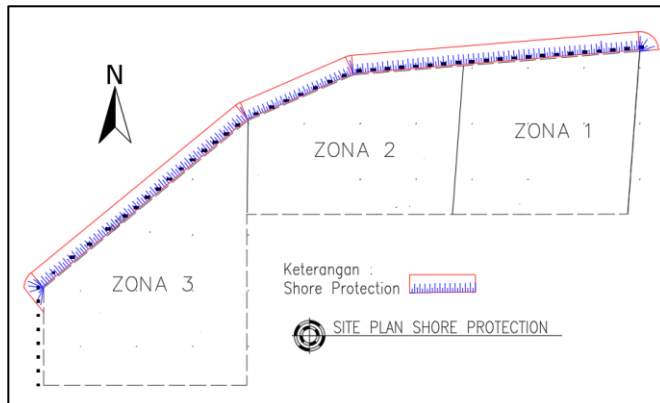
NO	Jenis Batuan	Berat jenis
		kg/m <sup>3</sup>
1	Granit	2650 - 3000
2	Basalt	2700
3	Limestone	2300 - 2750
4	Beton	2300 - 3000

Sumber : Yuwono 1992, V-6

Pada perencanaan *shore protection* dipilih batu pelindung jenis *limestone* dengan berat jenis = 2400 kg/m<sup>3</sup>.

Sedangkan layout perencanaan pembangunan direncanakan berada di sepanjang tepi pantai area perluasan lahan yang berguna sebagai pelindung timbunan agar tidak tergerus ombak air laut.

Berikut layout pembangunan *shore protection* dapat dilihat pada **Gambar 6.1**



**Gambar 6. 1** Layout rencana pembangunan *shore protection*

## 6.2 Stabilitas Batu Lapis Pelindung

Perhitungan berat lapis pelindung berdasarkan rumus yang diberikan oleh Hudson dalam buku *Perencanaan Bengunan Pantai* oleh (Triatmodjo, 2012). Dalam perencanaan *revetment* ini mengacu pada standar desain 3 lapis pelindung yang disarankan dengan serangan gelombang satu sisi dapat dilihat pada **Gambar 2.14**. Tiga lapis pelindung yang dimaksud adalah lapis pelindung pertama, lapis pelindung kedua, dan inti.

### 6.2.1 Lapis Pelindung Pertama / Primary Layer ( $W_1$ )

Lapis pelindung pertama atau *primary layer* merupakan lapis pelindung terluar yang langsung bersinggungan dengan gelombang air laut. Adapun perhitungan berat lapis primer dengan batu pecahan sebagai berikut :

desain dimensi :

$$n \text{ (banyak lapis)} = 2 \text{ (minimum)}$$

$$\text{kemiringan} = 1:2$$

$$\theta = 26,57^\circ$$

$$\begin{aligned}
 Kd &= 2 \text{ (berdasarkan Tabel 2.8 untuk gelombang tidak pecah 2 lapis)} \\
 \gamma a &= 1,025 \frac{t}{m^3} \\
 \gamma r &= 2,4 \frac{t}{m^3} \text{ (baru limestone)} \\
 Sr &= \frac{\gamma r}{\gamma a} = \frac{2,4}{1,025} = 2,3415
 \end{aligned}$$

Dengan parameter desain diatas didapatkan berat pelindung primer adalah:

$$W_1 = \frac{\gamma r \cdot H^3}{Kd \cdot (Sr-1)^3 \cdot \cot \theta}$$

$$W_1 = \frac{2,4 \cdot 0,829^3}{4 \cdot (2,585-1)^3 \cdot \cot 26,57} = 0,1416 \text{ ton} \approx 150 \text{ kg}$$

### 6.2.2 Lapis Pelindung Secondary Layer ( $W_2$ )

Berdasarkan tampang tiga lapis yang disarankan untuk pemecah gelombang dengan serangan pada satu sisi ditentukan berat lapis pelindung kedua adalah  $W_1/10$ . Sehingga berat lapis pelindung ke dua beratnya menjadi :

$$W_2 = W_1 / 10 = 0,0142 \text{ ton} \approx 15 \text{ kg}$$

### 6.2.3 Inti Shore Protection / Core ( $W_{core}$ )

Berdasarkan tampang tiga lapis yang disarankan untuk pemecah gelombang dengan serangan pada satu sisi ditentukan berat inti adalah  $W_1/200$ . Sehingga berat lapis pelindung ke dua beratnya menjadi :

$$W_{core} = W_1 / 200 = 0,0007 \text{ ton} \approx 1 \text{ kg}$$

## 6.3 Perhitungan Dimensi Revetment

### 6.3.1 Dimensi Batu Pecah

Dimensi batu pecah yang dimaksud adalah komponen diameter batuan yang dibutuhkan untuk tiap – tiap lapisan. Adapun perhitungan dimensi batu pecah sebagai berikut :

Rumus dasar yang digunakan adalah  $D = \left(\frac{W}{\gamma r}\right)^{\frac{1}{3}}$ , maka :

$$D_1 = \left(\frac{W_1}{\gamma r}\right)^{\frac{1}{3}} = \left(\frac{0,1416}{2,4}\right)^{\frac{1}{3}} = 0,389 \text{ m} \approx 0,4 \text{ m}$$

$$D_2 = \left(\frac{W_2}{\gamma r}\right)^{\frac{1}{3}} = \left(\frac{0,0142}{2,4}\right)^{\frac{1}{3}} = 0,181 \text{ m} \approx 0,2 \text{ m}$$

$$D_{\text{core}} = \left(\frac{W_{\text{core}}}{\gamma r}\right)^{\frac{1}{3}} = \left(\frac{0,0007}{2,4}\right)^{\frac{1}{3}} = 0,095 \text{ m} \approx 0,1 \text{ m}$$

### 6.3.2 Lebar Puncak *Revetment*

Perhitungan lebar puncak *revetment* minimal sebanyak 3 lapis batuan dan dapat dihitung sebagai berikut :

$$B = n \cdot k\Delta \cdot \left(\frac{W_1}{\gamma r}\right)^{\frac{1}{3}}$$

Dengan nilai  $k\Delta = 1,1$  (berdasarkan **Tabel 2.9**,  $n > 3$  dan penempatan random acak), maka :

$$B = 3 \times 1,1 \times \left(\frac{0,1416}{2,4}\right)^{\frac{1}{3}}$$

$B = 0,0649 \text{ m}$  (minimal)  $\approx 2 \text{ m}$  (untuk keamanan dan maintenance)

### 6.3.3 Tebal Lapis Pelindung

Tebal lapis pelindung minimal ditetapkan 2 banyak lapis dan digunakan rumus sebagai berikut :

$$T = n \cdot k\Delta \cdot \left(\frac{W}{\gamma r}\right)^{\frac{1}{3}}$$

Dengan nilai  $k\Delta = 1,15$  (berdasarkan **Tabel 2.9**,  $n = 2$  dan penempatan random acak), maka :

$$T_1 = 2 \times 1,15 \times \left(\frac{0,1416}{2,4}\right)^{\frac{1}{3}} = 0,8951 \text{ m} \approx 1 \text{ m}$$

$$T_2 = 2 \times 1,15 \times \left(\frac{0,0142}{2,4}\right)^{\frac{1}{3}} = 0,4156 \text{ m} \approx 0,5 \text{ m}$$

## 6.4 Stabilitas Pelindung Kaki (*Toe Protection*)

### 6.4.1 Berat Butir dan Tebal Lapis *Toe Protection*

*Toe protection* memiliki fungsi sebagai pelindung *shore protection* dibagian dasar agar tidak terjadi abrasi tanah dibagian bawah *shore protection*. Adapun perhitungan untuk mengetahui berat batu *toe protection* sebagai berikut:

$$W = \frac{\gamma r H^3}{N_s^3 (Sr-1)^3}$$

Dari data yang diketahui sebagai berikut:

$$r (\text{tebal lapis rata - rata}) = (1 + 0,5) / 2 = 0,75 \text{ m}$$

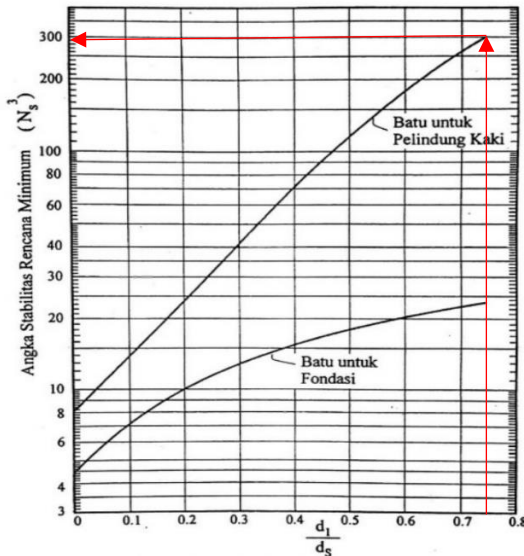
$$2r = 2 \times 0,75 = 1,5 \text{ m}$$

$$d_s (\text{tinggi total}) = 4,78 \text{ m}$$

$$d_1 = d_s - r = 4,78 - 0,75 = 3,03 \text{ m}$$

$$d_1/d_s = 3,03 / 4,78 = 0,75$$

Maka untuk mencari nilai  $N_s^3$  digunakan grafik hubungan  $d_1/d_s$  dengan  $N_s^3$  seperti pada **Gambar 6.2**



**Gambar 6. 2** Grafik hubungan  $d_1/d_s$  dengan  $N_s^3$

Dari hasil ploting pada grafik ditunjukkan pada **Gambar 7.2** maka nilai  $N_s^3$  dapat dihitung sebagai berikut:

$$N_s^3 = 299$$

$$\text{maka, } W_{toe} = \frac{\gamma r \cdot H^3}{N_s^3 (Sr-1)^3}$$

$$W_{toe} = \frac{2,4 \times 0,829^3}{299(2,3415-1)^3}$$

$$W_{toe} = 0,0198 \text{ ton} \approx 20 \text{ kg}$$

diameter batu pecah dapat dihitung sebagai berikut :

$$D_{toe} = \left(\frac{W}{\gamma r}\right)^{\frac{1}{3}}$$

$$D_{toe} = \left(\frac{0,0198}{2,4}\right)^{\frac{1}{3}}$$

$$D_{toe} = 0,0924 \text{ m} \approx 10 \text{ cm}$$

#### 6.4.2 Dimensi *Toe Protection* dan

Berdasarkan buku “Perencanaan Bangunan Pantai” oleh Bambang Triatmodjo desain minimum *toe protection* dapat ditunjukkan pada **Gambar 2.17** dan perhitungan dimensi sebagai berikut :

$$B = 3 \times H = 3 \times 0,829 = 1,86 \text{ m} \approx 2 \text{ m}$$

$$H = r = 0,75 \text{ m} \approx 1 \text{ m}$$

#### 6.5 Geotextile Non Woven dan Rekapitulasi Dimensi Final *Revetment*

Pada perencanaan *shore protection* diaplikasikan *geotextile non woven* diantara batu *shore protection* dengan timbunan maupun tanah dasar. Geotextile jenis ini digunakan sebagai separasi antara batu pelindung dengan tanah timbunan namun air dapat masuk kedalam tanah tanpa membawa material tanah timbunan. Spesifikasi *Geotextile* yang digunakan adalah produk *TenCate Polyfelt Filtration Geotextiles (F80)* dengan kapasitas tarik sebesar 35 kN/m (*NonWoven*). Adapun brosur geotextile non woven pada perencanaan ini dapat dilihat pada **Lampiran 7.5**

Dengan pemilihan jenis geotextile tersebut dan dari hasil perhitungan sub bab 6.3 hingga 6.4 kemudian dapat disajikan dalam bentuk tabel rekapitulasi dimensi *revetment* dapat dilihat pada **Tabel 6.2**. Sedangkan gambar rencana tampak potongan dimensi *revetment* dapat dilihat pada **Gambar 6.3**

**Tabel 6. 2** Rekapitulasi perhitungan dimensi batu pecah

KETERANGAN	BERAT BATUAN (W)	DIAMETER BATUAN (D)	TEBAL BATUAN (t)
	kg	m	m
PRIMARY LAYER	150	0,4	1,0
SECONDARY LAYER	15	0,2	0,5
CORE	1	0,1	-
TOE PROTECTION	20	0,1	1,0

“ Halaman ini sengaja dikosongkan “

## **BAB VII**

### **ANALISA PRELOADING DAN PERENCANAAN PREFABRICATED VERTICAL DRAIN**

#### **7.1 Perhitungan Timbunan *Preloading***

Dalam upaya peningkatan daya dukung tanah dasar pada pada area perluasan lahan dan tercapainya elevasi final timbunan yakni setinggi 4,78 m sesuai dengan tinggi puncak *shore protection* maka diperlukan analisa perhitungan sehingga didapatkan tinggi inisial timbunan.

Tinggi inisial ditentukan dengan simulasi perhitungan pemampatan tanah timbunan diasumsikan berbentuk trapezium dan memiliki kemiringan sebesar 1:2 kemudian dicoba diperhitungakan pemampatan untuk variasi tinggi timbunan yang diambil 3 m, 4m, 6 m, 8m, dan 10 m untuk masing – masing zona.

Tinggi inisial timbunan diperhitungkan berdasarkan tinggi final puncak bangunan *Shore Protection* yakni pada elevasi +4,78 m dengan fluktuasi muka air laut sesuai dengan tinggi pasang air laut (HHWL) yakni +1,21 m. Adapun beban – beban rencana yang diberikan untuk perhitungan tinggi inisial timbunan terdiri dari tinggi timbunan rencana dan beban akibat operasional.

#### **7.2 Data Timbunan dan Beban Lainnya**

##### **7.2.1 Spesifikasi Tanah Timbunan**

Data spesifikasi timbunan digunakan sifat fisik tanah timbunan sirtu sebagai berikut:

$$\begin{aligned} C &= 0 \text{ t/m}^2 \\ \gamma_{\text{timb}} &= 1,8 \text{ t/m}^3 \\ \phi &= 30^\circ \\ v &= 0,4 \\ E &= 200 \text{ MPa} \end{aligned}$$

## 7.2.2 Beban Operasional

Beban operasional yang diperhitungkan adalah beban distribusi merata dengan acuan pada **Tabel 7.1**. Pada kondisi ini dipilih beban tambatan curah cair sebagai fungsi operasional untuk beban alat dan instalasi pipa sebesar  $2 \text{ t/m}^2$ .

**Tabel 7. 1** Beban Operasional Perancangan

Beban Tambatan	Beban Operasional	
	Beban Merata	Beban Peralatan
General Cargo	1-3 ton/m <sup>2</sup>	*) Mobile Crane
		*) Fork Lift
		*) Truck
Peti Kemas	3-4 ton/m <sup>2</sup>	*) Gantry Crane
		*) Trailer
		*) Straddle Carrier
Curah Cair	1-2 ton/m <sup>2</sup>	*) Instalasi Pipa
		*) Mobile Crane
Curah Kering	1-2 ton/m <sup>2</sup>	*) Conveyor
		*) Mobile Crane
Penumpang	1-2 ton/m <sup>2</sup>	*) Penumpang
		*) Kendaraan
Ferry Ro-Ro	1-2.5 ton/m <sup>2</sup>	*) Penumpang
		*) Kendaraan

Sumber : Sari, 2017

## 7.3 Besar Pemampatan Konsolidasi (Sc)

Pemampatan konsolidasi yang terjadi adalah *overconsolidated* karena nilai  $OCR > 1$  dan besar  $(\sigma_o' + \Delta\sigma) > \sigma_c'$  maka digunakan persamaan 2.42. Tebal lapisan ditentukan sebesar 1 meter per lapisan agar didapatkan besar pemampatan yang lebih akurat. Berikut contoh perhitungan pemampatan tanah dasar akibat beban timbunan setebal 3 m lapisan ke 16 pada zona 3:

Tebal lapisan (h)	= 1 m
z (depth)	= 15,5 m
Cc	= 0,31
Cs	= 0,06
e <sub>0</sub>	= 1,29
$\gamma_w$	= 1 t/m <sup>3</sup>
$\gamma_{SAT}$ lapisan ke-16	= 1,75 t/m <sup>3</sup>
$\gamma_{SAT}$ lapisan ke-15	= 1,58 t/m <sup>3</sup>
$\sigma'_0$ lap 15	= 7,72 t/m <sup>2</sup>

### 7.3.1 Tegangan Overburden Efektif dan Tegangan Prakonsolidasi

Perhitungan besar tegangan *overburden efektif* pada perencanaan ini ditinjau setiap 1 meter dimana setiap lapisannya tegangan overburden diperhitungakan pada tengah lapisan. Perhitungan tegangan overburden diakumulasikan selaras dengan bertambahnya kedalaman yang ditinjau.

Adapun perhitungan besar tegangan overburden efektif yang berada di tengah lapisan ke – 16 pada zona 3 sebagai berikut:

$$\sigma'_0 (\text{lap 16}) = \sigma'_0 (\text{lap 15}) + \frac{\gamma'(\text{lap 15})}{2} \cdot h + \frac{\gamma'(\text{lap 16})}{2} \cdot h$$

$$\sigma'_0 (\text{lap 16}) = 7,72 + \frac{0,58}{2} \times 1 + \frac{0,75}{2} \times 1$$

$$\text{maka, } \sigma'_0 (\text{lap 16}) = 8,38 \text{ t/m}^2$$

Sedangkan nilai tegangan prakonsolidasi didapatkan dengan mengakumulasikan tinggi fluktuasi muka air laut yakni + 1,21 m dengan tegangan overburden. Berikut contoh perhitungan tegangan prakonsolidasi:

$$\sigma'_c (\text{lap 16}) = \sigma'_0 (\text{lap 16}) + h (\text{fluktuasi air laut}) \times \gamma_w$$

$$\sigma'_c (\text{lap 16}) = 8,38 + 1,21 \times 1$$

$$\text{maka, } \sigma'_c (\text{lap 16}) = 8,38 + 1,21 \times 1 \\ = 9,59 \text{ t/m}^2$$

### 7.3.2 Distribusi Tegangan Akibat Timbunan

Perhitungan distribusi tegangan akibat *embankment* / timbunan dapat dicari menggunakan rumus distribusi tegangan berbentuk beban trapezium sebagai berikut :

Data geometri untuk beban timbunan dengan tinggi  $h = 3\text{m}$  pada zona 3 adalah sebagai berikut :

$$q_0 = 1,8 \times h = 1,8 \times 3 = 5,4 \text{ t/m}^2$$

$$z = 15,5 \text{ m}$$

$$L = 51 \text{ m}$$

$$B_1 = 19,67 \text{ m}$$

$$B_2 = 6 \text{ m}$$

$$\alpha_1 = 7,11^\circ$$

$$\alpha_2 = 51,77^\circ$$

$$\Delta p (\text{lap 16}) = \frac{q_0}{\pi} \times \left[ \frac{B_1 + B_2}{B_2} \times (\alpha_1 + \alpha_2) - \frac{B_1}{B_2} \times \alpha_2 \right]$$

$$\Delta p (\text{lap 16}) = \frac{5,4}{\pi} \times \left[ \frac{19,67 + 6}{6} \times (7,11 + 51,77) - \frac{19,67}{6} \times 51,77 \right]$$

$$\Delta p (\text{lap 16}) = 2,466 \text{ t/m}^2$$

$\Delta p (\text{lap 16})$  adalah untuk setengah timbunan, maka total

$$\Delta p (\text{lap 16}) = 2 \times 2,466 = 4,93 \text{ t/m}^2$$

### 7.3.3 Distribusi Tegangan Akibat Beban Operasional

Perhitungan distribusi tegangan akibat beban operasional sebesar  $2 \text{ t/m}^2$  dapat dicari menggunakan distribusi beban trapezium dengan nilai  $B_2$  didekati menjadi 0. Berikut contoh perhitungan distribusi tegangan akibat beban terbagi merata pada zona 3 akibat tinggi timbunan 3 m pada kedalam 16 m sebagai berikut :

$$q_0 = 2 \text{ t/m}^2$$

$$z = 15,5 + 3 = 18,5 \text{ m}$$

$$\begin{aligned}
 L &= 51 \text{ m} \\
 B1 &= 19,67 \text{ m} \\
 B2 &= 0,00001 \text{ m} \\
 \alpha 1 &= 0^\circ \\
 \alpha 2 &= 79,91^\circ
 \end{aligned}$$

$$\Delta p (\text{lap 16}) = \frac{q_o}{\pi} x \left[ \frac{B1 + B2}{B2} x (\alpha 1 + \alpha 2) - \frac{B1}{B2} X \alpha 2 \right]$$

$$\begin{aligned}
 \Delta p (\text{lap 16}) &= \frac{2}{\pi} x \left[ \frac{19,67 + 0,00001}{0,00001} x (0 + 79,91) \right. \\
 &\quad \left. - \frac{19,67}{0,00001} X 51,77 \right]
 \end{aligned}$$

$$\Delta p (\text{lap 16}) = 0,83727 \text{ t/m}^2$$

$\Delta p (\text{lap 16})$  adalah untuk setengah beban operasional, maka total

$$\Delta p (\text{lap 16}) = 2 x 0,83727 = 1,67 \text{ t/m}^2$$

### 7.3.4 Perhitungan Pemampatan (Sc)

Tanah dasar di area timbunan didominasi oleh tanah lempung kelanauan dengan jenis *overconsolidated soil* yakni OCR  $> 1$  dan analisa besar pemampatan adalah pada lapisan *compressible*. Dalam hal ini untuk zona 3 memiliki lapisan *compressible* hingga kedalaman 16 m.

Perhitungan besar pemampatan untuk timbunan setinggi 3 m pada lapisan ke 16 sebagai berikut :

- Sc akibat beban timbunan,

Cek terlebih dahulu rumus yang digunakan :

$$\sigma'_0 + \Delta p(\text{timb}) = 8,38 + 4,93 = 13,31 \text{ t/m}^2$$

$$\sigma'_c = 9,59 \text{ t/m}^2$$

Karena nilai  $\sigma'_0 + \Delta p(\text{timb}) > \sigma'_c$ , maka digunakan persamaan sebagai berikut :

$$Sc_{timb} = \frac{Cs}{1 + e_0} Hilog \frac{P'c}{P'o} + \frac{Cc}{1 + e_0} Hilog \frac{p'o + \Delta p}{p'c}$$

$$Sc_{timb} = \frac{0,06}{1 + 1,29} 1 \log \frac{9,59}{8,38} + \frac{0,31}{1 + 1,29} 1 \log \frac{13,31}{9,59}$$

$$Sc_{timb} = 0,020615 \text{ m}$$

$Sc_{timb}$  akumulatif dihitung dari elevasi 0 hingga kedalaman 16 m untuk beban timbunan 3 m adalah 0,932 m

- Sc akibat beban operasional,

Cek terlebih dahulu rumus yang digunakan :

$$\sigma'_0 + \Delta p(\text{oper}) = 8,38 + 1,67 = 10,05 \text{ t/m}^2$$

$$\sigma'_c = 9,59 \text{ t/m}^2$$

Karena nilai  $\sigma'_0 + \Delta p(\text{oper}) > \sigma'_c$ , maka digunakan persamaan sebagai berikut :

$$Sc_{oper} = \frac{Cs}{1 + e_0} H \log \frac{P'c}{P'o} + \frac{Cc}{1 + e_0} H \log \frac{p'o + \Delta p}{p'c}$$

$$Sc_{oper} = \frac{0,06}{1 + 1,29} 1 \log \frac{9,59}{8,38} + \frac{0,31}{1 + 1,29} 1 \log \frac{10,05}{9,59}$$

$$Sc_{oper} = 0,004315 \text{ m}$$

$Sc_{oper}$  = akumulatif dihitung dari elevasi 0 hingga kedalaman 16 m untuk beban timbunan 3 m adalah 0,3044 m

Tabel perhitungan pemampatan akibat beban timbunan di zona 1, 2, 3 untuk contoh beban variasi 3 m dapat dilihat pada **Lampiran 7.1**

## 7.4 Besar Pemampatan Segera (Si)

Perhitungan pemampatan segera (*immediate*) untuk zona 3 pada kedalaman 16 m dengan variasi timbunan 3 m adalah sebagai berikut :

Data tanah pada kedalaman 16 m :

$$q_{\text{total}} = q_{\text{timbunan}} + q_{\text{operasional}}$$

$$= 1,8 \times 3 + 2$$

$$= 7,40 \text{ t/m}^2$$

$$h = 3 \text{ m}$$

$$\begin{aligned}
 E &= 20 \text{ MPa} = 2039,432 \text{ t/m}^2 \\
 \mu &= 0,4 \\
 E' &= E' \times \left( \frac{1 - 2\mu^2}{1 - \mu} \right) \\
 E' &= \frac{E}{\left( \frac{1 - 2\mu^2}{1 - \mu} \right)} \\
 E' &= \frac{2039,432}{\left( \frac{1 - 2 \times 0,4^2}{1 - 0,4} \right)} \\
 E' &= 4370,212 \text{ t/m}^2
 \end{aligned}$$

**Tabel 7. 2** Perhitungan Si Zona 3 untuk Tinggi Timbunan 3m

Kedalaman			<b>h</b>	<b>E</b>	<b>E'</b>	<b>μ</b>	<b>Si</b>	<b>Si<sub>kum</sub></b>
<b>m</b>			<b>m</b>	<b>t/m<sup>2</sup></b>	<b>t/m<sup>2</sup></b>		<b>m</b>	<b>m</b>
0	-	1	1	407,886	430,688	0,15	0,017	0,017
1	-	2	1	407,886	430,688	0,15	0,017	0,034
2	-	3	1	407,886	430,688	0,15	0,017	0,052
3	-	4	1	407,886	430,688	0,15	0,017	0,069
4	-	5	1	407,886	430,688	0,15	0,017	0,086
5	-	6	1	407,886	430,688	0,15	0,017	0,103
6	-	7	1	407,886	430,688	0,15	0,017	0,120
7	-	8	1	407,886	430,688	0,15	0,017	0,137
8	-	9	1	407,886	430,688	0,15	0,017	0,155
9	-	10	1	407,886	430,688	0,15	0,017	0,172
10	-	11	1	509,858	566,509	0,20	0,013	0,185
11	-	12	1	509,858	566,509	0,20	0,013	0,198
12	-	13	1	509,858	566,509	0,20	0,013	0,211
13	-	14	1	509,858	566,509	0,20	0,013	0,224
14	-	15	1	509,858	566,509	0,20	0,013	0,237
15	-	16	1	2039,432	4370,212	0,40	0,002	0,239

Dengan bantuan **Tabel 7.2** maka nilai Si kum adalah:

$$Si = q \sum \left( \frac{h}{E'} \right) = 0,239 \text{ m}$$

Hasil perhitungan *immediate settlement* untuk contoh variasi timbunan 3 m pada semua zona dapat dilihat pada **Lampiran 7.2**.

## 7.5 Total Pemampatan (St)

Pemampatan total merupakan penjumlahan besar Sc akibat beban timbunan dan beban operasional. Untuk perhitungan total pemampatan untuk zona 3 pada kedalaman 16 m dengan variasi timbunan 3 m adalah sebagai berikut:

$$S_{total} = Sc_{timb} + Sc_{oper} + Si_{timb + oper}$$

$$S_{total} = 0,932 + 0,3044 + 0,239$$

maka,  $S_{total} = 1,475$  m

## 7.6 Perhitungan Tinggi Rencana Timbunan

### 7.6.1 Perhitungan Tinggi Timbunan Awal ( $H_{inisial}$ ) dan Tinggi Timbunan Akhir ( $H_{final}$ )

Tinggi inisial ( $H_{inisial}$ ) didapatkan dengan menggunakan persamaan 2.47 sebagai berikut :

$$H_{inisial} = \frac{q_{final} + (St \cdot (\gamma_{timb} + \gamma_w - \gamma_{sat-timb}))}{\gamma_{timb}}$$

Adapun perhitungan  $H_{inisial}$  untuk tinggi timbunan 3 m di zona 3 adalah sebagai berikut :

$$H_{inisial} = \frac{(1,8 \times 3) + (1,475 \times (1,8 + 1 - 1,8))}{1,8}$$

maka,  $H_{inisial} = 3,82$  m

$H_{bongkar}$  merupakan tinggi yang setara dengan beban operasional sebesar 2 t/m<sup>2</sup>. Perhitungan  $H_{bongkar}$  untuk tinggi timbunan 3 m di zona 3 adalah sebagai berikut :

$$H_{bongkar} = \frac{q_{operasional}}{\gamma_{timbunan}} = \frac{2}{1,8} = 1,111 \text{ m}$$

Sedangkan untuk perhitungan tinggi final adalah sebagai berikut :

$$H_{final} = H_{initial} - H_{bongkar} - St$$

$$H_{final} = 3,822 - 1,111 - 1,475$$

maka,  $H_{final} = 1,23$  m

Hasil perhitungan tinggi timbunan awal dan timbunan untuk tiap zonasi dapat disajikan dalam bentuk tabel dapat dilihat pada **Tabel 7.3** hingga **Tabel 7.5**

**Tabel 7. 3** Perhitungan H inisial dan H final untuk Zona 1

No.	H rencana (m)	q rencana ( t/m <sup>2</sup> )	Sc Timb (m)	Sc Oper (m)	Si (Timb + Oper) (m)	S total (m)	H bongkar (m)	H initial (m)	H Final (m)
1	3	5,4	0,838549	0,29593367	0,161836453	1,296318891	1,11111	3,72	1,31
2	4	7,2	1,033251	0,295495	0,201202077	1,529947819	1,11111	4,85	2,21
3	6	10,8	1,333527	0,2940654	0,279933324	1,907525368	1,11111	7,06	4,04
4	8	14,4	1,562839	0,29146132	0,358664571	2,212964798	1,11111	9,23	5,91
5	10	18	1,748712	0,28687527	0,437395819	2,472982826	1,11111	11,37	7,79

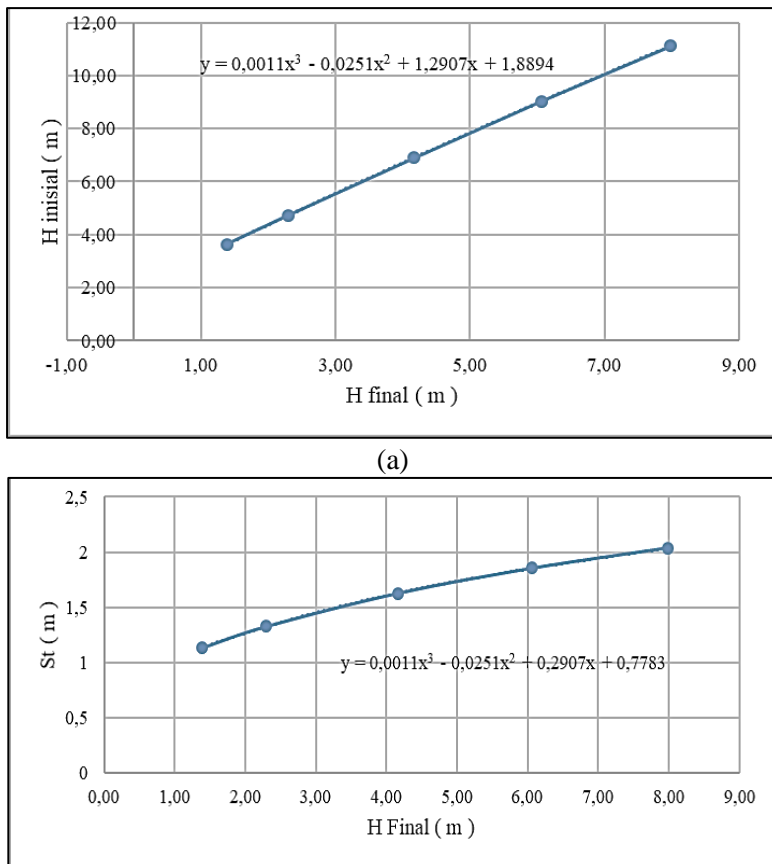
**Tabel 7. 4** Perhitungan H inisial dan H final untuk Zona 2

No.	H rencana (m)	q rencana ( t/m <sup>2</sup> )	Sc Timb (m)	Sc Oper (m)	Si (Timb + Oper) (m)	S total (m)	H bongkar (m)	H initial (m)	H Final (m)
1	3	5,4	0,930238	0,31409626	0,224196171	1,468530487	1,11111	3,82	1,24
2	4	7,2	1,153615	0,31021675	0,278730375	1,742562112	1,11111	4,97	2,11
3	6	10,8	1,500306	0,29665724	0,387798782	2,184761944	1,11111	7,21	3,92
4	8	14,4	1,765244	0,26964061	0,49686719	2,531751909	1,11111	9,41	5,76
5	10	18	1,977955	0,21841454	0,605935598	2,802304951	1,11111	11,56	7,64

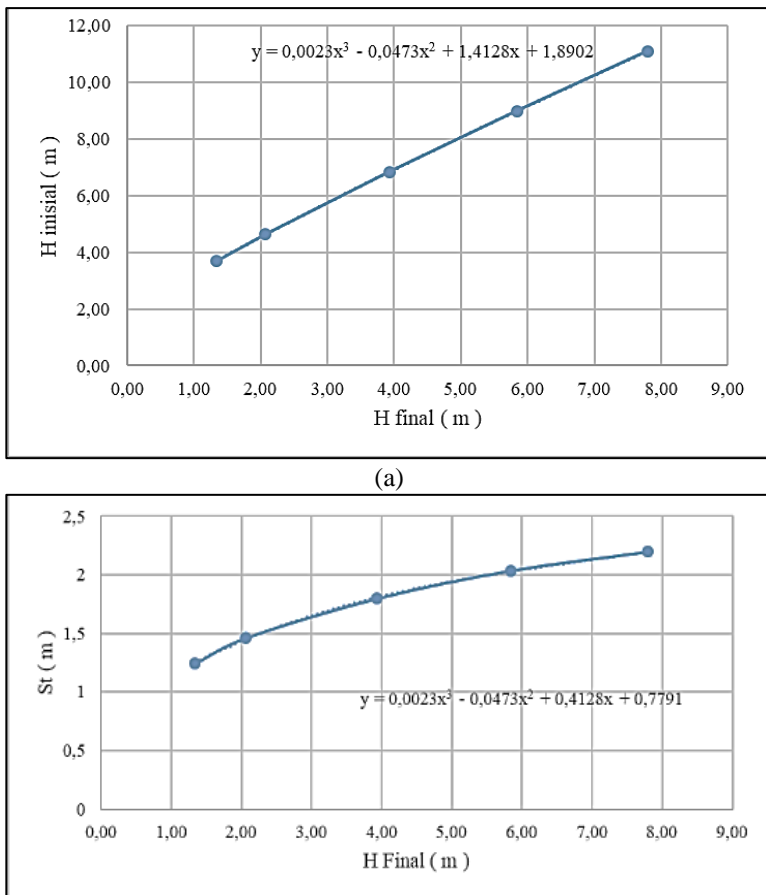
**Tabel 7. 5** Perhitungan H inisial dan H final untuk Zona 3

No.	H rencana (m)	q rencana ( t/m <sup>2</sup> )	Sc Timb (m)	Sc Oper (m)	Si (Timb + Oper) (m)	S total (m)	H bongkar (m)	H initial (m)	H Final (m)
1	3	5,4	0,932014	0,30444843	0,238823847	1,475285881	1,11111	3,82	1,23
2	4	7,2	1,155518	0,29347977	0,296916134	1,745913992	1,11111	4,97	2,11
3	6	10,8	1,499359	0,25297784	0,413100709	2,165437397	1,11111	7,20	3,93
4	8	14,4	1,754967	0,17554751	0,529285283	2,459800159	1,11111	9,37	5,80
5	10	18	1,94539	0,08631649	0,645469857	2,677175909	1,11111	11,49	7,70

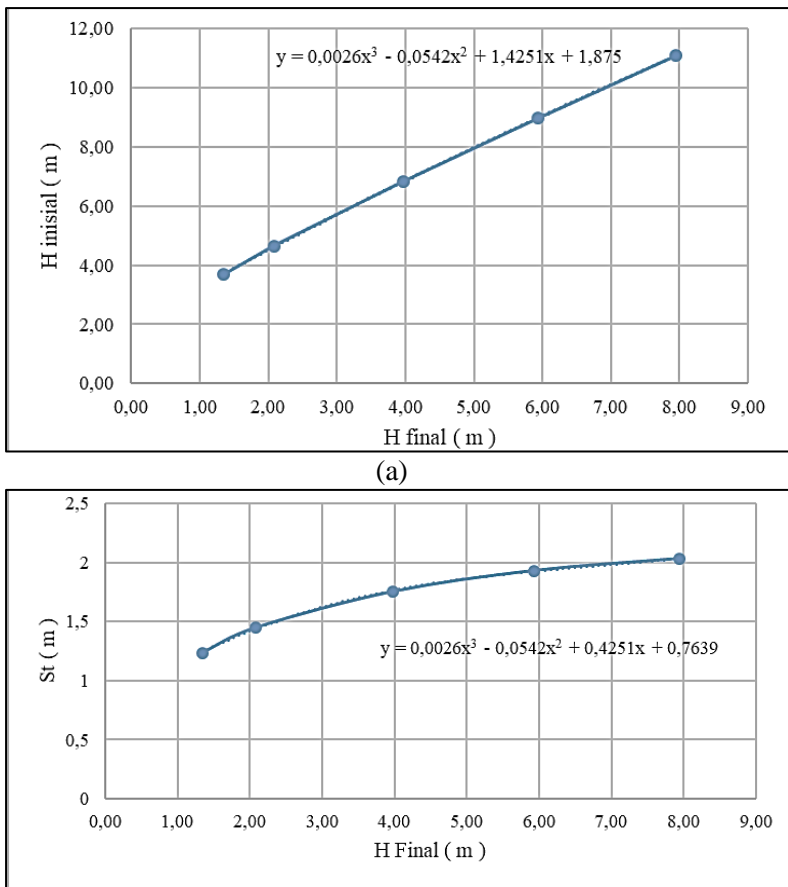
Dari hasil perhitungan yang telah disajikan pada **Tabel 7.3** hingga **Tabel 7.5** dapat diperoleh grafik hubungan Hfinal vs Hinisial dan Settlement vs Hfinal untuk 5 variasi timbunan seperti yang ditunjukkan pada **Gambar 7.1** hingga **Gambar 7.3**.



**Gambar 7. 1** Grafik hubungan (a) Hinisial vs Hfinal;  
 (b)Settlement vs Hfinal Zona 1



**Gambar 7. 2** Grafik hubungan (a) Hinisial vs Hfinal;  
 (b)Settlement vs Hfinal Zona 2



**Gambar 7. 3** Grafik hubungan (a) Hinisial vs Hfinal;  
 (b)Settlement vs Hfinal Zona 3

### 7.6.2 Penentuan Tinggi Awal ( $H_{\text{inisial}}$ ) dan St Rencana Timbunan

Penentuan tinggi timbunan awal untuk diketahui tinggi kebutuhan timbunan sehingga didapatkan tinggi final sesuai

perencanaan.  $H_{final}$  yang diharapkan adalah setinggi puncak rencana mercu revetment yakni pada elevasi + 4,78 m.

Perhitungan tinggi timbunan awal dan besar pemampatan rencana dapat menggunakan formula hasil regresi polinomial pangkat 3 grafik hubungan pada **Gambar 7.1** hingga **Gambar 7.3**. Adapun contoh perhitungan tinggi timbunan awal dan *settlement* rencana untuk zona 3 adalah sebagai berikut:

$$H_{final} = + 4,78 \text{ m}$$

$$\text{Elevasi dasar} = + 0 \text{ m}$$

- Rumus regresi hubungan  $H_{final}$  dan  $H_{inisial}$ :  

$$H_{inisial}=0,0026(H_{final})^3-0,0542(H_{final})^2+1,4251(H_{final})+ 1,875$$

$$H_{inisial}=0,0026(4,78)^3-0,0542(4,78)^2+1,4251(4,78) + 1,875$$
maka,  $H_{inisial} = 7,61 \text{ m}$
- Rumus regresi hubungan  $H_{final}$  dan Settlement:  

$$St=0,0026(H_{final})^3-0,0542(H_{final})^2+0,4251(H_{final})+ 0,7639$$

$$St=0,0026(4,78)^3-0,0542(4,78)^2+0,4251(4,78) + 0,7639$$
maka,  $St = 1,71 \text{ m}$

Contoh perhitungan diatas hanya untuk penentuan tinggi inisial dan settlement zona 3. Hasil perhitungan untuk zona lainnya dapat dilihat pada **Tabel 7.6**

**Tabel 7. 6** Hasil Perhitungan Hinisial dan St rencana

NO	ZONA	H final	H inisial	St	H bongkar
		m	m	m	m
1	1	4,78	7,605588	1,714488	1,11
2	2	4,78	7,81385	1,92275	1,11
3	3	4,78	7,7325546	1,8414546	1,11

## 7.7 Perhitungan Tinggi Awal ( $H_{inisial}$ ) *Shore Protection*

Perhitungan tinggi inisial SP diperlukan untuk mengetahui tinggi yang harus dicapai untuk mencapai tinggi final yakni 4,78 m dalam kondisi sudah settlement. Perhitungan besar pemampatan akibat beban batu *Shore Protection* digunakan prinsip yang sama dengan perhitungan besar pemampatan timbunan.

### 7.7.1 Besar Settlement akibat Batu *Shore Protection*

Dengan cara yang sama seperti yang dijelaskan pada sub bab 7.2 mencari besar nilai settlement pada timbunan di coba tinggi batu *Shore Protection* menjadi 2 m, 4 m, 6 m, dan 8 m. Hasil Perhitungan H final, Inisial dan *settlement total* dapat dilihat pada **Tabel 7.7** hingga **Tabel 7.9**.

**Tabel 7. 7** Rekapitulasi Perhitungan Besar Stotal, Hinitial dan Hfinal Zona 1 akibat Beban Batu *Shore Protection*

No.	H rencana (m)	q rencana (t/m <sup>2</sup> )	Si (m)	Sc (m)	S total (m)	H initial (m)	H Final (m)
1	2	4,8	0,105	0,447	0,552	2,230	1,678
2	4	9,6	0,210	0,961	1,170	4,488	3,317
3	6	14,4	0,315	1,328	1,643	6,685	5,042
4	8	19,2	0,420	1,608	2,028	8,845	6,817

**Tabel 7. 8** Rekapitulasi Perhitungan Besar Stotal, Hinitial dan Hfinal Zona 2 akibat Beban Batu *Shore Protection*

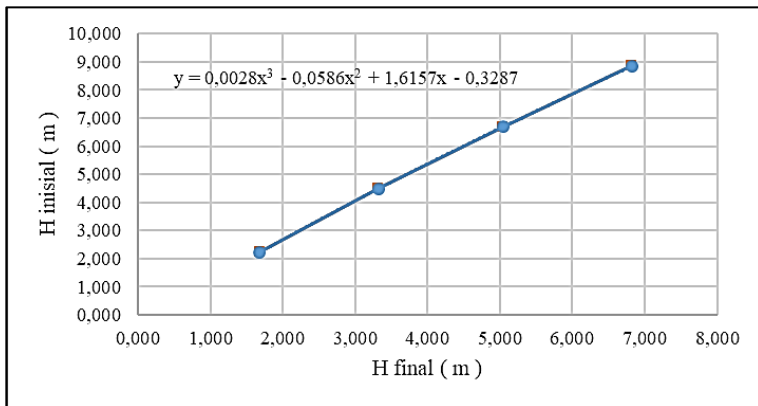
No.	H rencana (m)	q rencana (t/m <sup>2</sup> )	Si (m)	Sc (m)	S total (m)	H initial (m)	H Final (m)
1	2	4,8	0,145	0,451	0,597	2,249	1,652
2	4	9,6	0,291	1,029	1,320	4,550	3,230
3	6	14,4	0,436	1,459	1,896	6,790	4,894
4	8	19,2	0,582	1,793	2,375	8,990	6,615

**Tabel 7. 9** Rekapitulasi Perhitungan Besar Stotal, Hinitial dan Hfinal Zona 3 akibat Beban Batu *Shore Protection*

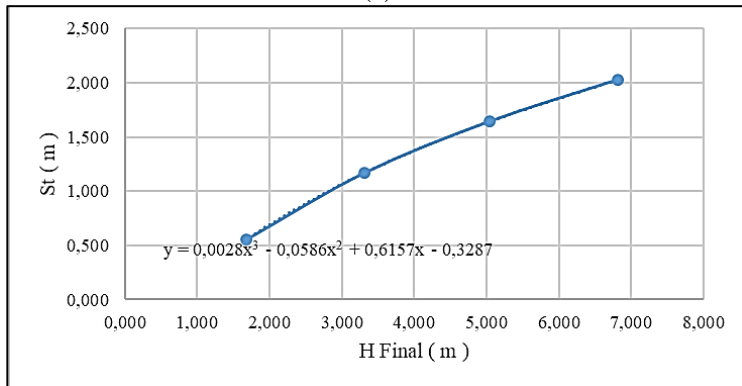
No.	H rencana (m)	q rencana (t/m <sup>2</sup> )	Si (m)	Sc (m)	S total (m)	H initial (m)	H Final (m)
1	2	4,8	0,155	0,452	0,607	2,253	1,646
2	4	9,6	0,310	1,036	1,346	4,561	3,215
3	6	14,4	0,465	1,473	1,938	6,807	4,870
4	8	19,2	0,620	1,813	2,433	9,014	6,581

### 7.7.2 Hinisial dan Settlement Rencana Batu Shore Protection

Dari hasil perhitungan pada sub bab 7.6.2 dapat didapatkan grafik hubungan Hfinal dengan Hinisial dan Hfinal dengan *settlement* untuk semua zona dapat dilihat pada **Gambar 7.4** hingga **Gambar 7.5**

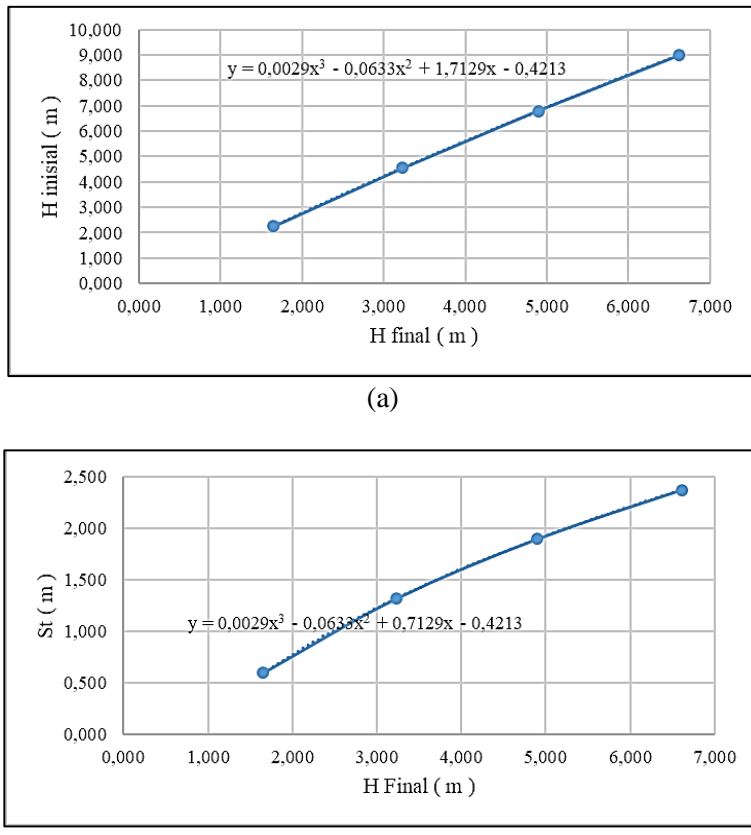


(a)

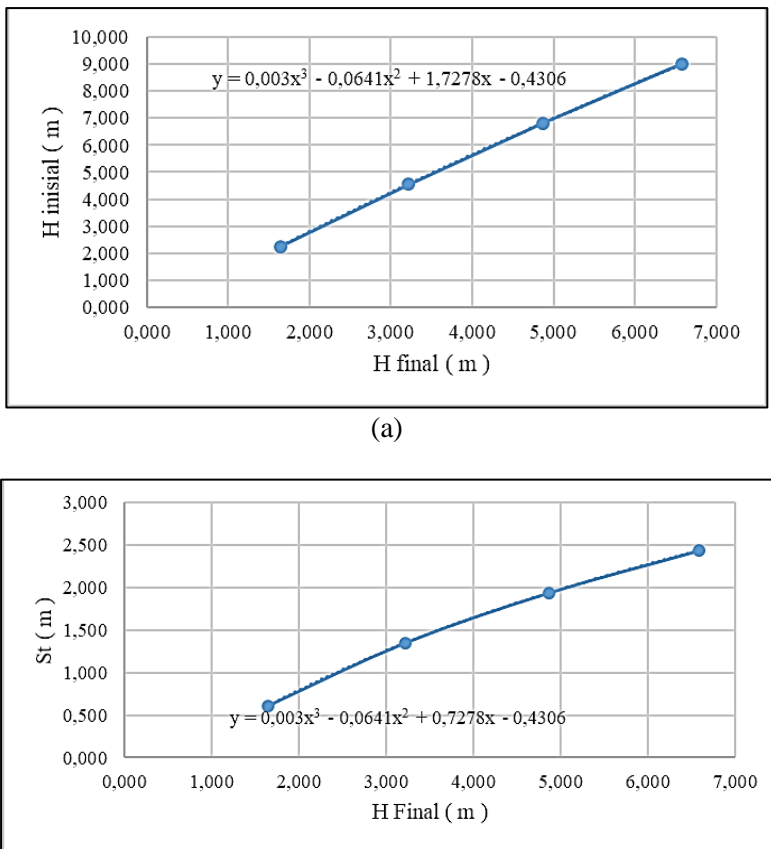


(b)

**Gambar 7.4** Grafik hubungan (a)  $H_{inisial}$  dan  $H_{final}$ ; (b) Settlement dan  $H_{final}$  akibat beban batu *shore protection* zona 1



**Gambar 7. 5** Grafik hubungan (a)  $H$  inisial dan  $H$  final; (b) Settlement dan  $H_{final}$  akibat beban batu *shore protection* zona 2



**Gambar 7.6** Grafik hubungan (a) H inisial dan H final; (b) Settlement dan Hfinal akibat beban batu *shore protection* zona 3

Dari hasil regresi polinomial grafik pangkat tiga didapatkan formula untuk mencari nilai Hinisial dan Settlement rencana untuk Hfinal = 4,78 m dapat dilihat pada **Tabel 7.10**

**Tabel 7. 10** Rekapitulasi Perhitungan Besar Stotal, Hinitial dan Hfinal Zona 3 akibat Beban Batu *Shore Protection*

No	Zona	Hfinal	Hinisial	St
		m	m	m
1	1	4,78	6,361233	1,58123275
2	2	4,78	6,636783	1,8567828
3	3	4,78	6,691348	1,91134762

## 7.7 Perhitungan Waktu Pemampatan Natural

Setelah diketahui Hinisial dan besar pemampatan yang terjadi akibat beban timbunan rencana maka tahap selanjutnya adalah mengetahui lamanya pemampatan tanah secara natural.

Hasil perhitungan waktu ini menjadi dasar perlu atau tidaknya pengaplikasian PVD sebagai metode untuk mempercepat waktu pemampatan. Dalam perhitungan waktu dibutuhkan data nilai Cv (Koefisien Pemampatan Vertikal) pada tiap lapisan tanah.

Berikut data Cv untuk semua zonasi dapat disajikan dalam tabel dapat dilihat pada **Tabel 7.11**

**Tabel 7. 11** Nilai Cv Per Lapisan untuk Semua Zona

Depth	Tebal lapisan	Cv Zona 1	Cv Zona 2	Cv Zona 3
m	m	cm <sup>2</sup> /s	cm <sup>2</sup> /s	cm <sup>2</sup> /s
0	1	1	0,001721	0,000218
1	2	1	0,001721	0,000218
2	3	1	0,001721	0,000218
3	4	1	0,001721	0,000218
4	5	1	0,000330	0,000218
5	6	1	0,000330	0,000218
6	7	1	0,000587	0,000218
7	8	1	0,000587	0,000218
8	9	1	0,000587	0,000218
9	10	1	0,000587	0,000330
10	11	1	0,000587	0,000330
11	12	1	0,000587	0,000330
12	13	1	0,000587	0,000619
13	14	1	0,000587	0,000619
14	15	1		0,000619
15	16	1		0,000619

Berikut contoh perhitungan waktu pemampatan untuk  $U = 90\%$  pada zona 1 adalah sebagai berikut :

$$Cv gab = \frac{(H_1 + H_2 + H_3)^2}{\left( \frac{H_1}{\sqrt{Cv_1}} + \frac{H_2}{\sqrt{Cv_2}} + \frac{H_3}{\sqrt{Cv_3}} \right)^2}$$

$$Cv gab = \frac{(4 + 2 + 8)^2}{\left( \frac{4}{\sqrt{0,00172}} + \frac{2}{\sqrt{0,00033}} + \frac{8}{\sqrt{0,000587}} \right)^2}$$

maka,  $Cv gab = 0,000398 \text{ cm}^2/\text{s}$

$Cv gab = 1,254 \text{ m}^2/\text{thn}$

$Tv 90\% = 1,781 - 0,933 \cdot \log(100 - U)$

$= 1,781 - 0,933 \cdot \log(100 - 90)$

$Tv 90\% = 0,848$

$Hdr = 14 \text{ m (single drainage)}$

$$t = \frac{Tv(90\%) \cdot Hdr^2}{Cv gab}$$

$$t = \frac{0,848 \cdot (14)^2}{0,848}$$

$$t = 132,49 \approx 133 \text{ tahun}$$

Adapun hasil perhitungan waktu konsolidasi natural untuk semua zona dapat dilihat pada **Tabel 7.12**

**Tabel 7. 12** Rekapitulasi perhitungan Waktu Konsolidasi Natural untuk Semua Zona

Zona	Cv Gab $\text{m}^2/\text{thn}$	Waktu Pemampatan tahun
1	1,254472	133
2	0,921709	236
3	0,872495	249

Dari hasil perhitungan lama waktu pemampatan diatas untuk  $U = 90\%$  adalah lebih dari 100 tahun (cukup lama), maka dibutuhkan aplikasi PVD yang untuk mempercepat waktu

pemampatan sehingga lahan dapat segera digunakan untuk keperluan regasifikasi dan pengembangan pembangkit listrik.

## 7.8 Perencanaan *Prefabricated Vertical Drain* (PWD)

Pemasangan *Prefabricated Vertical Drain* (PWD) digunakan untuk mempercepat waktu penurunan tanah. Perencanaan dilakukan dengan menggunakan PVD dengan pola pemasangan segitiga atau segiempat. Jarak pemasangan PVD dilakukan analisa untuk jarak 0,8 m; 1 m; 1,25 m; 1,5 m, dan 1,75 m yang kemudian dipilih yang paling sesuai.

Ditetapkan beberapa hal untuk perencanaan PVD adalah sebagai berikut :

- t (waktu tunggu) = 16 minggu
- Spesifikasi PVD yang digunakan :
 

Tipe PVD	= CeTeau-Drain CT-D822
a	= 100 mm
b	= 4 mm
- Panjang PVD direncanakan sedalam lapisan *compressible* ditambah dengan lapisan *sand drain* setebal 1 m sehingga :
 

Zona 1	= 14 + 1 = 15 m
Zona 2	= 16 + 1 = 17 m
Zona 3	= 16 + 1 = 17 m
- U average ditetapkan sebesar 90 %

### 7.8.1 Perhitungan Derajat Konsolidasi Vertikal (Uv)

Dalam perhitungan derajat konsolidasi vertikal dibutuhkan nilai  $T_v$  setiap minggu. Adapun contoh perhitungan nilai  $U_v$  untuk PVD segiempat dengan jarak 1 m pada zona 1 minggu ke-1 sebagai berikut :

$$\begin{aligned}
 C_{v \text{ gab}} &= 1,254 \text{ m}^2/\text{thn} \\
 &= 0,024058 \text{ m}^2/\text{minggu} \\
 t &= \text{minggu pertama} \\
 T_v &= \frac{t \cdot C_v}{H d r^2} \\
 T_v &= \frac{1 \times 0,024058}{14^2}
 \end{aligned}$$

$$\begin{aligned}
 T_v &= 0,000123 \\
 U_v &= \left( 2 \times \sqrt{\frac{T_v}{\pi}} \right) \times 100 \% \\
 U_v &= \left( 2 \times \sqrt{\frac{0,000123}{\pi}} \right) \times 100 \% \\
 U_v &= 1,250 \%
 \end{aligned}$$

### 7.8.2 Perhitungan Derajat Konsolidasi Horizontal ( $U_h$ )

Perhitungan  $U_h$  dibutuhkan beberapa parameter tanah diantaranya  $C_h$ ,  $F(n)$ , dan  $D$ . Berikut contoh perhitungan nilai  $U_h$  untuk PVD segiempat dengan jarak 1 m pada zona 1 minggu ke-1 sebagai berikut :

$$\begin{aligned}
 D &= 1,13 \times s \text{ (pola segiempat)} \\
 &= 1,13 \times 1000 = 1130 \text{ mm} \\
 a &= 100 \text{ mm} \\
 b &= 4 \text{ mm} \\
 D_w &= \frac{2(a+b)}{\pi} \\
 &= \frac{2(100+4)}{\pi} \\
 &= 66,20845633 \text{ mm} \\
 n &= \frac{D}{D_w} = \frac{1130}{66,20845633} = 17,067 \\
 F_n &= \left( \frac{n^2}{n^2 - 1^2} \right) \left[ \ln(n) + \left( \frac{3n^2 - 1}{4n^2} \right) \right] \\
 &= \left( \frac{17,067^2}{17,067^2 - 1^2} \right) \left[ \ln(17,067) + \left( \frac{3(17,067)^2 - 1}{4(17,067)^2} \right) \right] \\
 &= 2,094 \\
 C_h &= 3 \times C_v \\
 &= 3 \times 0,024058 \\
 &= 0,072175 \text{ m}^2/\text{minggu} \\
 U_h &= \left[ 1 - \left( \frac{1}{e^{\left( \frac{tx8xCh}{D^2x2xF(n)} \right)}} \right) \right] \\
 &= \left[ 1 - \left( \frac{1}{e^{\left( \frac{1x8x0,072175}{1,13^2x2x2,094} \right)}} \right) \right]
 \end{aligned}$$

maka,  $U_h = 10,237\%$

### 7.8.3 Perhitungan Derajat Konsolidasi Rata – Rata ( $\bar{U}$ )

Dalam perhitungan nilai derajat konsolidasi rata – rata digunakan rumus sebagai berikut :

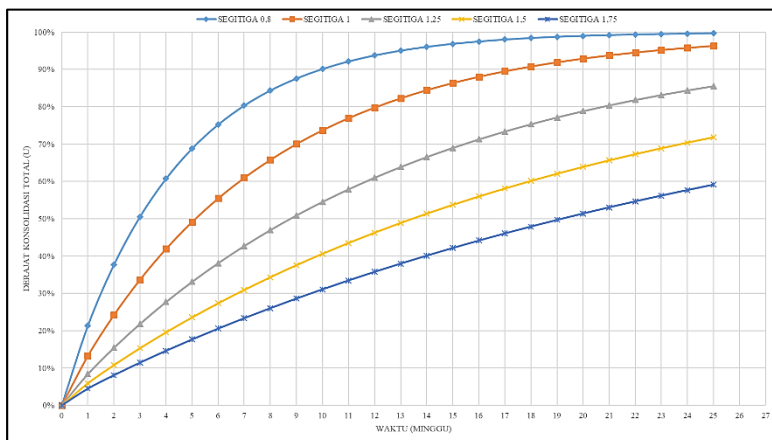
$$U = [1 - (1 - Uh). (1 - Uv)] \times 100 \%$$

Pada perhitungan sebelumnya telah didapatkan nilai Uh sebesar 10,237 % dan Uv sebesar 1,250 % sehingga didapatkan nilai U rata – rata sebagai berikut :

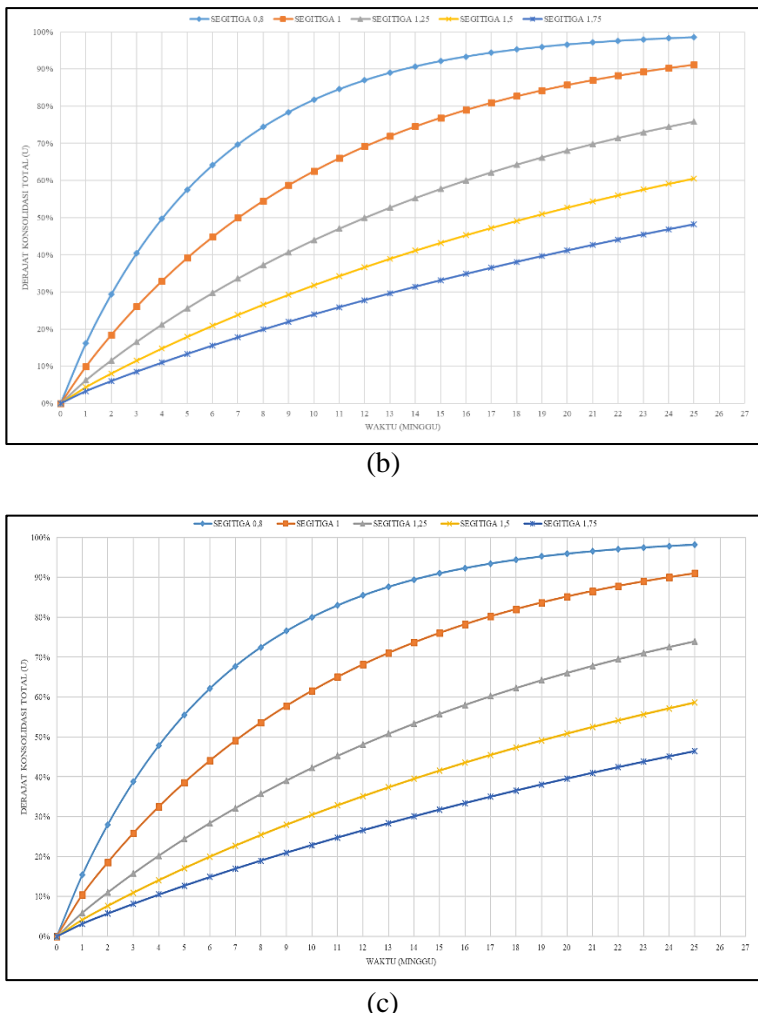
$$U = [1 - (1 - 10,237\%). (1 - 1,25\%)] \times 100 \%$$

maka,  $U = 11,359 \%$ .

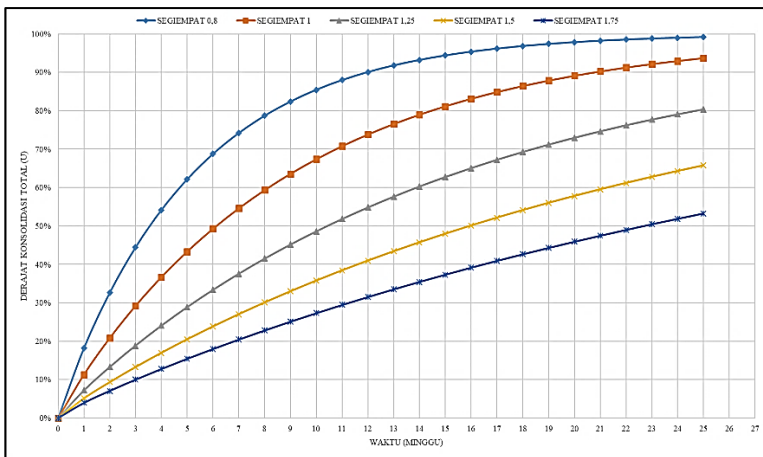
Perhitungan derajat konsolidasi tiap minggu untuk contoh jarak PVD 0,8 m pola segitiga semua zona dapat dilihat pada **Lampiran 7.3**. Setelah didapatkan nilai U untuk tiap – tiap variasi jarak PVD tiap zonasi, maka dapat disajikan grafik hubungan U terhadap waktu dapat dilihat pada **Gambar 7.7** dan **Gambar 7.8**



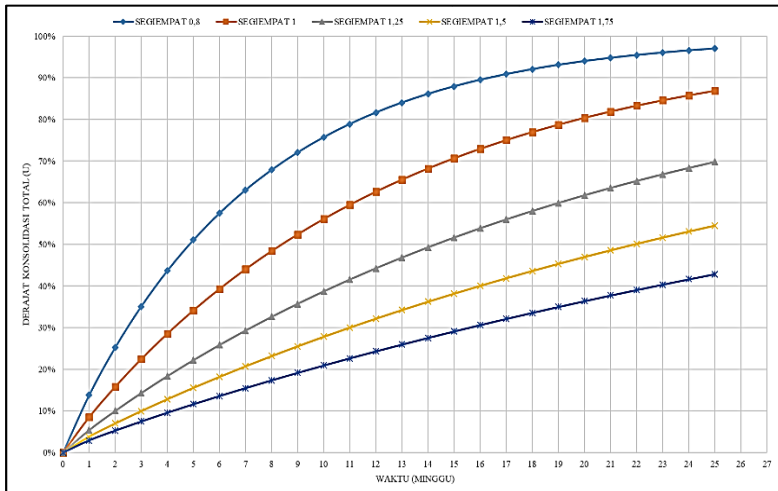
(a)



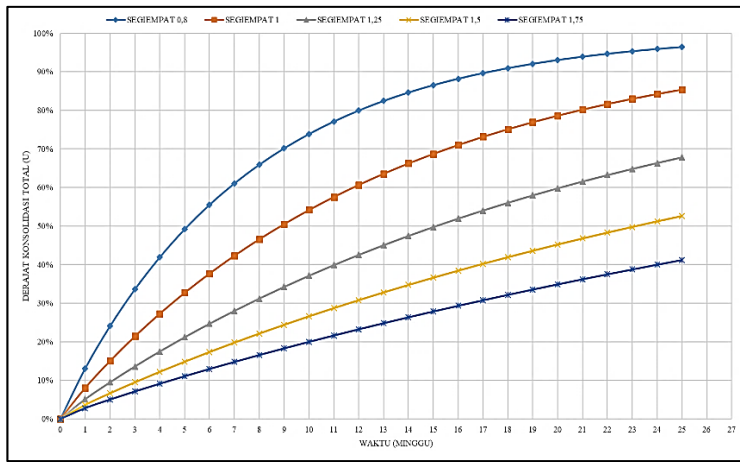
**Gambar 7.7** Grafik hubungan U rata – rata terhadap waktu dengan pola segitiga (a) zona 1; (b) zona 2; (c) zona 3



(a)



(b)



(c)

**Gambar 7. 8** Grafik hubungan U rata – rata terhadap waktu dengan pola segiempat (a) zona 1; (b) zona 2; (c) zona 3

Dari hasil dari grafik hubungan diatas dapat dipilih jarak pemasangan PVD paling efisien yang berarti tanah dapat mampat mencapai  $U > 90\%$  dalam kurun waktu kurang dari 16 minggu masa akhir pentahapan timbunan. Adapun hasil rekapitulasi pemilihan jarak dengan pola pada tiap zonasi dapat dilihat pada **Tabel 7.13**

**Tabel 7. 13** Rekapitulasi Jarak Pemasangan PVD

ZONA	PVD POLA SEGITIGA			
	S	Panjang	LUAS	JUMLAH TITIK
	(m)	(m)	(m <sup>2</sup> )	titik
1	0,8	15	18868,65	68089
2	0,8	17	13987,38	50475
3	0,8	17	14018,06	50586
ZONA	PVD POLA SEGIEMPAT			
	S	Kedalaman	LUAS	JUMLAH TITIK
	(m)	(m)	(m <sup>2</sup> )	titik
1	0,8	15	18868,65	58967
2	0,8	17	13987,38	43713
3	Tidak memenuhi waktu tunggu 16 minggu			

Dari hasil rekapitulasi diatas dapat diputuskan penggunaan PVD dengan jarak dan pola tiap zona sebagai berikut :

1. Zona 1 dipilih PVD pola segiempat dengan jarak 0,8 m. Pertimbanganya adalah kebutuhan PVD segiempat lebih sedikit daripada segitiga dan pemampatan hingga  $U=90\%$  masih dalam waktu tunggu yakni kurang dari 16 minggu.
2. Zona 2 dipilih PVD pola segiempat dengan jarak 0,8 m. Pertimbanganya kebutuhan PVD segiempat lebih sedikit daripada segitiga dan pemampatan hingga  $U=90\%$  masih dalam waktu tunggu yakni kurang dari 16 minggu.
3. Zona 3 dipilih PVD pola segitiga dengan jarak 0,8 m. Pertimbanganya adalah kebutuhan PVD pola segiempat untuk semua variasi jarak tidak memenuhi waktu tunggu yakni selama 16 minggu.

## BAB VIII

# ANALISA STABILITAS SLIDING TALUD *SHORE PROTECTION*

### 8.1 Penentuan Tinggi Kritis *Puncture / Poinconnement*

Penentuan tinggi kritis didasarkan pada stabilitas terhadap keruntuhan *puncture / poinconnement*. Dalam perhitungan tinggi kritis diasumsikan bahwa tanah dengan asumsi *short term* yakni tanah didominasi material kohesif dan jenuh air. Pada perilaku *short term* maka dalam perencanaan digunakan parameter tanah *undrained* yakni ( $C_u$ ;  $\phi_u = 0$ ;  $\gamma_{sat}$  (untuk tanah dibawah muka air tanah); dan  $\gamma h$  (untuk tanah di atas muka air tanah))

#### 8.1.1 Tinggi Kritis Timbunan

Diketahui data tanah dasar dan timbunan sebagai berikut :

$$h \quad \text{= tinggi timbunan}$$

$$\gamma_{timb} \quad \text{= } 18 \text{ kN/m}^3$$

$$N_c \quad \text{= } 5,14 \text{ (koefisien diambil paling kritis)}$$

$$C_u_{zona\ 1} \quad \text{= } 5 \text{ kN/m}^2$$

$$C_u_{zona\ 2} \quad \text{= } 6 \text{ kN/m}^2$$

$$C_u_{zona\ 3} \quad \text{= } 6 \text{ kN/m}^2$$

Dengan data tersebut dapat dicari tinggi kritis yakni  $SF = 1$  sebagai berikut :

**Zona 1 :**

$$SF \quad \text{=} \frac{C_u.N_c}{\gamma_{timb}.h}$$

$$1 \quad \text{=} \frac{5 \times 5,14}{18 \times h}$$

$$hcr \quad \text{=} 1,43 \text{ m}$$

**Zona 2 :**

$$SF \quad \text{=} \frac{C_u.N_c}{\gamma_{timb}.h}$$

$$1 \quad \text{=} \frac{6 \times 5,14}{18 \times h}$$

$$hcr \quad \text{=} 1,71 \text{ m}$$

**Zona 3 :**

$$\begin{aligned} SF &= \frac{Cu.Nc}{\gamma t imb.h} \\ 1 &= \frac{6 \times 5,14}{18 \times h} \\ hcr &= 1,71 \text{ m} \end{aligned}$$

**8.1.2 Tinggi Kritis Shore Protection**

Diketahui data tanah dasar dan timbunan sebagai berikut :

$h$  = tinggi timbunan

$\gamma t imb$  = 18 kN/m<sup>3</sup>

NC = 5,14 (koefisien diambil paling kritis)

$Cu_{zona\ 1}$  = 5 kN/m<sup>2</sup>

$Cu_{zona\ 2}$  = 6 kN/m<sup>2</sup>

$Cu_{zona\ 3}$  = 6 kN/m<sup>2</sup>

Dengan data tersebut dapat dicari tinggi kritis yakni SF = 1 sebagai berikut :

**Zona 1 :**

$$\begin{aligned} SF &= \frac{Cu.Nc}{\gamma s p.h} \\ 1 &= \frac{5 \times 5,14}{24 \times h} \\ hcr &= 1,071 \text{ m} \end{aligned}$$

**Zona 2 :**

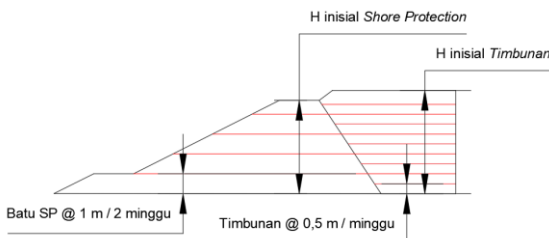
$$\begin{aligned} SF &= \frac{Cu.Nc}{\gamma s p.h} \\ 1 &= \frac{6 \times 5,14}{24 \times h} \\ hcr &= 1,285 \text{ m} \end{aligned}$$

**Zona 3 :**

$$\begin{aligned} SF &= \frac{Cu.Nc}{\gamma s p.h} \\ 1 &= \frac{6 \times 5,14}{24 \times h} \\ hcr &= 1,285 \text{ m} \end{aligned}$$

## 8.2 Penimbunan Bertahap

Penimbunan bertahap direncanakan untuk memudahkan pelaksanaan timbunan. Berdasarkan perhitungan tinggi kritis pentahapan tidak boleh lebih dari 1 m sehingga direncanakan kecepatan pentahapan timbunan adalah 0,5 m setiap minggu dan pentahapan batu *shore protection* 1 m setiap 2 minggu. Perencanaan kecepatan tersebut disesuaikan agar pentahapan timbunan dapat berjalan selaras dengan pentahapan batu *shore protection*. Pentahapan pemasangan batu *shore protection* dilakukan terlebih dahulu kemudian dilanjutkan dengan pentahapan timbunan begitu seterusnya hingga mencapai Hinisial. Adapun skema pentahapan beban batu *shore protection* dan timbunan dapat dilihat pada **Gambar 7.9**



**Gambar 8. 1** Skema pentahapan pemasangan batu *shore protection* dan timbunan

### 8.2.1 Perhitungan Tegangan di Tiap Lapisan Tanah untuk Derajat Konsolidasi ( $U = 100\%$ )

Untuk mendapatkan nilai perubahan tegangan akibat pentahapan timbunan perlu diketahui besar distribusi tegangan pasa tiap lapisan atau penambahan tegangan ( $\Delta p$ ). Penambahan tegangan didapatkan dengan tinggi timbunan yakni 0,5 m dan pertambahan tegangan terakumulasi secara kontinu pada tegangan tiap lapisan sedangkan untuk penambahan tegangan akibat batu *shore protection* setingga 1 m.

Perubahan tegangan untuk  $U=100\%$  dapat dihitung sebagai berikut :

$$\sigma_1' = P_o + \Delta P_1$$

$\sigma_2' = \sigma_1' + \Delta P_2$ , dan seterusnya hingga pentahapan selesai. dimana:

$P_o$  : Tegangan overburden efektif

$\Delta P_1$  : Distribusi tegangan akibat Penimbunan Tahap Pertama

$\Delta P_2$  : Distribusi tegangan akibat Penimbunan Tahap Kedua

Adapun tabel perhitungan perubahan tegangan untuk derajat konsolidasi  $U= 100\%$  contoh zona 3 akibat pentahapan timbunan dan batu *shore protection* dapat dilihat pada **Lampiran 8.1** dan **8.2**

### 8.2.2 Perhitungan Tegangan di Tiap Lapisan Tanah untuk Derajat Konsolidasi ( $U < 100\%$ )

Perhitungan tegangan di tiap lapisan tanah untuk  $U < 100\%$  digunakan untuk mencari nilai  $C_u$  baru akibat dari penambahan beban secara bertahap dan percepatan waktu pemampatan oleh PVD. Perubahan tegangan ini menggunakan persamaan 2.52 dimana nilai  $U$  adalah derajat konsolidasi rata – rata terhadap waktu pada lamanya masa timbunan. Adapun tabel perhitungan tegangan tiap lapisan untuk derajat konsolidasi ( $U < 100\%$ ) contoh zona 3 akibat beban timbunan dan batu *shore protection* dapat dilihat pada **Lampiran 8.3** dan **8.4**.

### 8.3 Perhitungan Parameter Baru akibat Peningkatan Daya Dukung Tanah

Perubahan nilai parameter tanah dapat terjadi apabila penimbunan bertahap dan percepatan dalam pemampatan. Terdapat 3 parameter tanah yang berubah akibat dari hal tersebut yakni nilai kohesi ( $C_u$ ), angka pori ( $e$ ), berat jenis saturated ( $\gamma_{sat}$ ) dan sudut geser undrain ( $\phi_u$ ). Perubahan parameter ini akan terjadi sedalam lapisan tanah yang dilalui oleh PVD. Adapun contoh perhitungan nilai parameter baru pada zona 3 akibat beban timbunan 16 tahap dan umur timbunan 16 minggu adalah sebagai berikut :

- Perubahan nilai Cu,

$$Z = 1 \text{ m}$$

$$C_u \text{ lama} = 0,06 \text{ kg/cm}^2$$

$$\sigma p' = 0,96956 \text{ kg / cm}^2$$

$$PI = 34,31 \%$$

Nilai PI < 120 % maka untuk mencari nilai  $C_u$  baru digunakan rumus sebagai berikut :

$$C_u = 0,0737 + (0,1899 - 0,0016 \times PI) \sigma p'$$

$$C_u = 0,0737 + (0,1899 - 0,0016 \times 34,31) 0,96956$$

$$C_u \text{ baru} = 0,2046 \text{ kg/cm}^2$$

Untuk nilai Cu transisi adalah rata – rata antara Cu baru dengan Cu lama sehingga Cu transisi dapat dihitung sebagai berikut:

$$\begin{aligned} Cu \text{ transisi} &= (0,06 + 0,2046) / 2 \\ &= 0,1329 \text{ kg/cm}^2 \end{aligned}$$

Setelah didapatkan  $C_u$  baru dan  $C_u$  transisi setiap 1 meter lapisan kemudian dirata – rata pada setiap konsistensi sehingga didapatkan nilai sebagai berikut :

$$C_u \text{ baru rata – rata} = 23,16 \text{ kN/m}^2$$

$$C_u \text{ transisi rata – rata} = 14,58 \text{ kN/m}^2$$

- Perubahan nilai angka pori ( $e$ ),

Perubahan nilai angka pori berdasarkan besarnya *settlement* tanah tiap 1 lapisan. Adapun contoh perhitungan angka pori baru pada lapisan dengan konsistensi *very soft* di zona 3 pada kedalaman 1 m sebagai berikut :

$$e_o = 2,31$$

$$\Delta h = St = 0,213965 \text{ m}$$

$$h = 1 \text{ m}$$

$$\Delta h/h = 0,214$$

$$\Delta e = (1 + e_o) \times (\Delta h/h)$$

$$\Delta e = (1 + 2,31) \times (0,214)$$

$$\Delta e = 0,7088$$

$$\text{maka, } e_{\text{baru}} = e_o - \Delta e$$

$$= 2,31 - 0,7088$$

$$= 1,6$$

Setelah didapatkan  $e_{\text{baru}}$  setiap 1 meter lapisan kemudian dirata – rata pada setiap konsistensi sehingga didapatkan nilai  $e_{\text{baru}}$  rata – rata = 1,86

- Perubahan nilai berat jenis jenis ( $\gamma_{\text{sat}}$ ),  
Perubahan nilai  $\gamma_{\text{sat}}$  dipengaruhi oleh nilai angka pori baru. Adapun contoh perhitungan  $\gamma_{\text{sat}}$  baru pada lapisan dengan konsistensi *very soft* (0 – 10) m di zona 3 sebagai berikut :

$$e_{\text{baru rata – rata}} = 1,86$$

$$\gamma_{\text{sat}} \text{ lama} = 1,51 \text{ t/m}^3$$

$$Gs = 2,7$$

$$Wc \text{ baru} = e_{\text{baru}} / Gs$$

$$= 1,86 / 2,7$$

$$= 69 \%$$

$$\gamma_{\text{sat}} \text{ baru} = [Gs(1+Wc_{\text{baru}}) / (1+e_{\text{baru rata – rata}})] \times \gamma_w$$

$$= [2,7(1+69) / (1+1,86)] \times 1$$

$$= 1,59 \text{ t/m}^3$$

- Perubahan nilai sudut geser undrain ( $\phi_u$ ),  
Seiring dengan bertambahnya nilai Cu maka besar parameter sudut geser tanah juga ikut bertambah. Adapun contoh perhitungan  $\phi_u$  baru pada lapisan tanah *very soft* zona 3 sebagai berikut:

$$Cu \text{ baru} = 23,16 \text{ kN/m}^2$$

$$qu \text{ baru} = 2 \times Cu$$

$$= 2 \times 23,16$$

$$= 46,32 \text{ kN/m}^2$$

Korelasi  $qu$  baru dengan nilai SPT menggunakan interpolasi linear pada tabel bowles **Tabel 2.1**, maka :

$$NSPT = 15$$

Untuk tanah lempung nilai  $\phi_u$  didekati dengan nilai NSPT sehingga:

$$\phi_u \text{ baru} = 14^\circ$$

Hasil perhitungan perubahan data parameter tanah untuk semua zona akibat beban timbunan dan batu *shore protection* dapat dilihat pada **Tabel 8.1** hingga **Tabel 8.6**

**Tabel 8.1** Rekapitulasi Hasil Perhitungan Parameter Baru akibat Beban Timbunan Zona 1

Kedalaman (m)	KONSISTENSI	Cu Lama kN/m <sup>2</sup>	Cu Baru kN/m <sup>2</sup>	Cu Transisi kN/m <sup>2</sup>	e <sub>0</sub>	e baru	e baru rata2	γ <sub>sat lama</sub> (t/m <sup>3</sup> )	γ <sub>sat baru</sub> rata2 (t/m <sup>3</sup> )	N	Φ <sub>u</sub>
0,0	VERY SOFT	5	22,47	13,73	2,45	1,29	1,55	1,49	1,66	16	15
1,0					2,45	1,49					
2,0					2,45	1,59					
3,0					2,45	1,66					
4,0					2,45	1,72					
5,0					1,97	1,49	1,50	1,58	1,68	16	15
6,0					1,97	1,52					
7,0	MEDIUM	17	30,46	23,73	1,48	1,23	1,27	1,68	1,84	17	16
8,0					1,48	1,25					
9,0					1,48	1,26					
10,0					1,48	1,28					
11,0					1,48	1,29					
12,0					1,48	1,30					
13,0					1,48	1,31					

**Tabel 8.2** Rekapitulasi Hasil Perhitungan Parameter Baru akibat Beban Batu Shore Protection Zona 1

Kedalaman (m)	KONSISTENSI	Cu Lama kN/m <sup>2</sup>	Cu Baru kN/m <sup>2</sup>	Cu Transisi kN/m <sup>2</sup>	e <sub>0</sub>	e baru	e baru rata2	γ <sub>sat lama</sub> (t/m <sup>3</sup> )	γ <sub>sat baru</sub> rata2 (t/m <sup>3</sup> )	N	Φ <sub>u</sub>
0,0	VERY SOFT	5	22,6256096	13,8128048	2,45	0,00	1,75	1,49	1,62	15	14
1,0					2,45	0,00					
2,0					2,45	1,69					
3,0					2,45	1,75					
4,0					2,45	1,81					
5,0					1,97	1,56	1,57	1,58	1,66	15	14
6,0					1,97	1,59					
7,0	MEDIUM	17	26,2296262	21,6148131	1,48	1,28	1,33	1,68	1,73	16	15
8,0					1,48	1,30					
9,0					1,48	1,32					
10,0					1,48	1,33					
11,0					1,48	1,34					
12,0					1,48	1,35					
13,0					1,48	1,36					

**Tabel 8. 3 Rekapitulasi Hasil Perhitungan Parameter Baru akibat Beban Timbunan Zona 2**

Kedalaman (m)	KONSISTENSI	Cu Lama kN/m <sup>2</sup>	Cu Baru kN/m <sup>2</sup>	Cu Transisi kN/m <sup>2</sup>	eo	e baru	e baru rata2	Ysat lama ( t/m <sup>3</sup> )	Ysat baru rata2 ( t/m <sup>3</sup> )	N	Φu
0,0	VERY SOFT	6,0	22,46	14,23	2,31	1,28	1,66	1,51	1,64	15	14
1,0					2,31	1,46					
2,0					2,31	1,56					
3,0					2,31	1,63					
4,0					2,31	1,68					
5,0					2,31	1,73					
6,0					2,31	1,76					
7,0					2,31	1,79					
8,0					2,31	1,82					
9,0					2,31	1,84					
10,0	SOFT	12,5	27,45	19,97	1,97	1,59	1,62	1,58	1,65	16	15
11,0					1,97	1,63					
12,0					1,97	1,65					
13,0	MEDIUM	17,8	30,94	24,34	1,41	1,25	1,25	1,70	1,75	17	16
14,0					1,41	1,26					
15,0					1,41	1,26					

**Tabel 8. 4 Rekapitulasi Hasil Perhitungan Parameter Baru akibat Beban Batu Shore Protection Zona 2**

Kedalaman (m)	KONSISTENSI	Cu Lama kN/m <sup>2</sup>	Cu Baru kN/m <sup>2</sup>	Cu Transisi kN/m <sup>2</sup>	eo	e baru	e baru rata2	Ysat lama ( t/m <sup>3</sup> )	Ysat baru rata2 ( t/m <sup>3</sup> )	N	Φu
0,0	VERY SOFT	6	21,38	13,69	2,31	1,44	1,74	1,51	1,62	15	14
1,0					2,31	1,57					
2,0					2,31	1,65					
3,0					2,31	1,71					
4,0					2,31	1,76					
5,0					2,31	1,80					
6,0					2,31	1,83					
7,0					2,31	1,86					
8,0					2,31	1,89					
9,0					2,31	1,92					
10,0	SOFT	12,5	23,67	18,08	2,31	1,96	1,62	1,58	1,65	15	14
11,0					1,97	1,70					
12,0					1,41	1,20					
13,0	MEDIUM	17,75	26,06	21,91	1,41	1,29	1,30	1,70	1,74	16	15
14,0					1,41	1,30					
15,0					1,41	1,31					

**Tabel 8. 5 Rekapitulasi Hasil Perhitungan Parameter Baru akibat Beban Timbunan Zona 3**

Kedalaman (m)	KONSISTENSI	Cu Lama kN/m <sup>2</sup>	Cu Baru kN/m <sup>2</sup>	Cu Transisi kN/m <sup>2</sup>	e o	e baru	e baru rata2	Ysat lama (t/m <sup>3</sup> )	Ysat baru rata2 (t/m <sup>3</sup> )	N	Φu	
0,0	VERY SOFT	6,00	23,16	14,58	2,31	1,60	1,86	1,51	1,59	15	14	
1,0					2,31	1,72						
2,0					2,31	1,79						
3,0					2,31	1,84						
4,0					2,31	1,87						
5,0					2,31	1,91						
6,0					2,31	1,94						
7,0					2,31	1,96						
8,0					2,31	1,98						
9,0					2,31	2,00						
10,0	SOFT	12,50	28,66	20,58	1,97	1,73	1,76	1,58	1,62	16	15	
11,0					1,97	1,75						
12,0					1,97	1,76						
13,0					1,97	1,77						
14,0					1,97	1,78						
15,0	16,0	MEDIUM	18,50	32,22	25,36	1,29	1,19	1,19	1,75	1,78	17	16

**Tabel 8. 6 Rekapitulasi Hasil Perhitungan Parameter Baru akibat Beban Batu Shore Protection Zona 3**

Kedalaman (m)	KONSISTENSI	Cu Lama kN/m <sup>2</sup>	Cu Baru kN/m <sup>2</sup>	Cu Transisi kN/m <sup>2</sup>	e o	e baru	e baru rata2	Ysat lama (t/m <sup>3</sup> )	Ysat baru rata2 (t/m <sup>3</sup> )	N	Φu	
0,0	VERY SOFT	6	22,142	14,071	2,31	0,00	1,80	1,51	1,61	15	14	
1,0					2,31	0,00						
2,0					2,31	1,65						
3,0					2,31	1,71						
4,0					2,31	1,76						
5,0					2,31	1,80						
6,0					2,31	1,83						
7,0					2,31	1,86						
8,0					2,31	1,89						
9,0					2,31	1,92						
10,0	SOFT	12,5	24,646	18,5728	1,97	1,68	1,71	1,58	1,63	15	14	
11,0					1,97	1,70						
12,0					1,97	1,71						
13,0					1,97	1,73						
14,0					1,97	1,74						
15,0	16,0	MEDIUM	18,5	27,057	22,7785	1,29	1,20	1,20	1,75	1,78	16	15

#### 8.4 Stabilitas *Puncture* pada Tinggi Timbunan dan Batu Shore Protection Kritis

Pada pembahasan sub bab 8.3 sudah dijelaskan cara perhitungan mencari nilai parameter tanah baru akibat timbunan

bertahap dan aplikasi PVD. Peningkatan nilai Cu perlu dicek terhadap stabilitas keruntuhan *puncture* sehingga dapat diputuskan apakah pentahapan dapat dilanjutkan atau harus menunggu waktu tertentu sehingga penimbunan dapat dilanjutkan.

Hasil perhitungan peningkatan nilai SF *puncture* akibat peningkatan Cu baru pada tinggi kritis timbunan dan batu *shore protection* dapat dilihat pada **Tabel 8.7** dan **Tabel 8.8**.

**Tabel 8.7** Peningkatan Nilai SF *puncture* pada Timbunan

Zona	Hcr (m)	t (minggu)	Cu lama (kN/m <sup>2</sup> )	Cu baru (kN/m <sup>2</sup> )	SF setelah meningkat
1	1	2	5,00	9,32	2,7
2	1,5	3	6,00	11,40	2,2
3	1,5	3	6,00	11,71	2,5

**Tabel 8.8** Peningkatan Nilai SF pada Batu *Shore Protection*

Zona	Hcr (m)	t (minggu)	Cu lama (kN/m <sup>2</sup> )	Cu baru (kN/m <sup>2</sup> )	SF
1	1	1	5,00	9,14	2,61
2	1	1	6,00	11,30	2,17
3	1	1	6,00	12,64	2,49

Dari hasil perhitungan pada **Tabel 8.7** dan **Tabel 8.8** didapatkan nilai SF > 1,5 sehingga pentahapan dapat dilanjutkan.

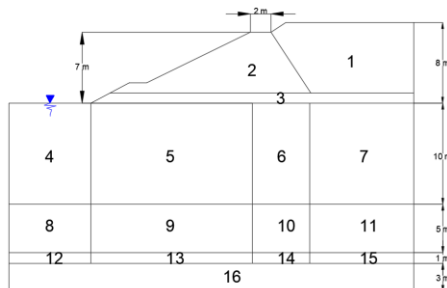
## 8.5 Analisa Stabilitas Sliding (*Slope Stability*) dengan Program Bantu Geo 5

Adanya perbaikan tanah dasar dengan penambahan beban *surcharge* dan PVD menyebabkan perubahan parameter tanah dasar seperti yang sudah dijelaskan pada sub bab 8.3. Perubahan parameter ini perlu dikontrol terhadap *sliding* atau *overall stability*. Pada perencanaan ini digunakan *software GEO 5 (slope stability)* dengan metode bishop untuk mengetahui besar *Safety Factor* pada lereng *Shore Protection*.

Adapun input data yang dimasukkan ke dalam program ini diantaranya:

1. Layer atau geometri timbunan, batu *shore protection*, dan lapisan tanah dasar yang disesuaikan dengan kondisi parameter tanah baru.
2. Parameter – parameter tanah dasar seperti C,  $\Phi$ , dan  $\gamma$  disesuaikan kondisi asumsi *longterm* atau *short term*.
3. Input tinggi muka air tanah / *pore pressure water*
4. Input *geotextile non woven* diantara batu *shore protection* dengan timbunan maupun tanah dasar.

Berikut contoh geometri permodelan dengan program bantu GEO 5 untuk zona 3 dapat dilihat pada **Gambar 8.2**.

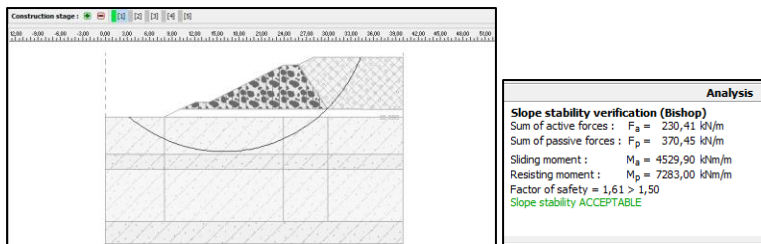


**Gambar 8. 2** Geometri lereng *shore protection* zona 3

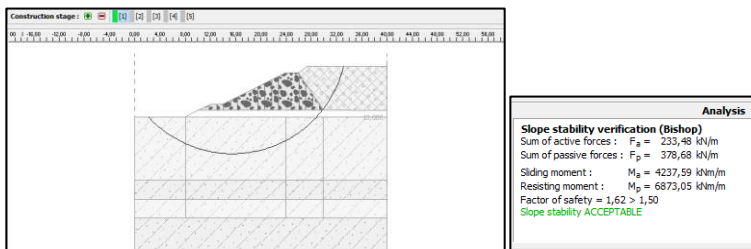
Berdasarkan geometri lereng *shore protection* zona 3 pada **Gambar 8.2** perubahan parameter data tanah terjadi pada lapisan dibawah timbunan dan batu *shore protection* yang ditanam oleh PVD. Perubahan lapisan tanah dasar terjadi pada lapisan bernomor 5, 6, 7, 9, 10, 11, 13, 14 dan 15. Dengan adanya aplikasi PVD maka dalam permodelan ini diasumsikan *longterm* sehingga parameter data tanah yang dininput adalah kondisi efektif.

Adapun data input parameter tanah dasar baru, material timbunan, material *Shore Protection*, dan *Geotextile Non Woven* setiap zona dapat dilihat pada **Lampiran 1.5**. Setelah data diinput langkah selanjutnya adalah dilakukan proses analisa dengan cara *optimization* sehingga didapatkan bidang longsor dengan SF

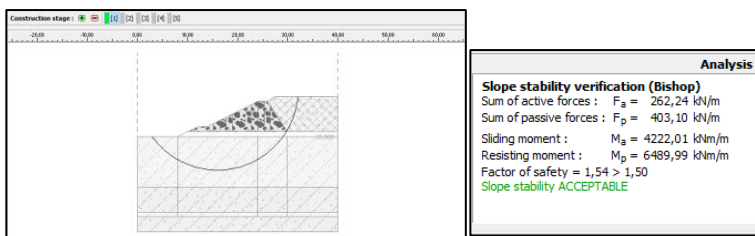
terkritis. Dari hasil analisa dengan GEO 5 didapatkan bidang longsor dengan SF terkritis untuk zona 1, 2, dan 3 dapat dilihat pada **Gambar 8.3** hingga **Gambar 8.5**



**Gambar 8.3** Analisa SF *Sliding* lereng *shore protection* zona 1



**Gambar 8.4** Analisa SF *Sliding* lereng *shore protection* zona 2



**Gambar 8.5** Analisa SF *Sliding* lereng *shore protection* zona 3

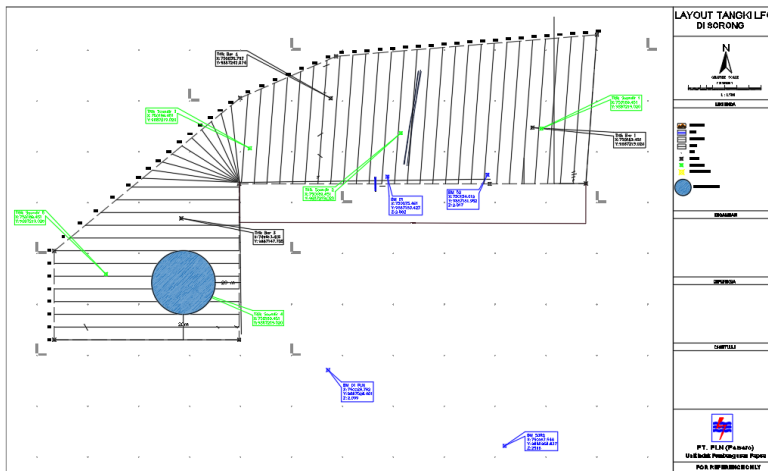
Berdasarkan SNI 8460 Pasal 7.5.5 Tahun 2017, SF rencana diambil 1,5. Dari hasil output analisa stabilitas lereng untuk semua zona dengan peningkatan nilai parameter tanah didapatkan SF > 1,5 sehingga lereng *shore protection* aman terhadap kelongsoran

## BAB IX

# PERENCANAAN PONDASI TIPIKAL TANGKI TIMBUN

### 9.1 Layout Pembangunan Tangki Timbun

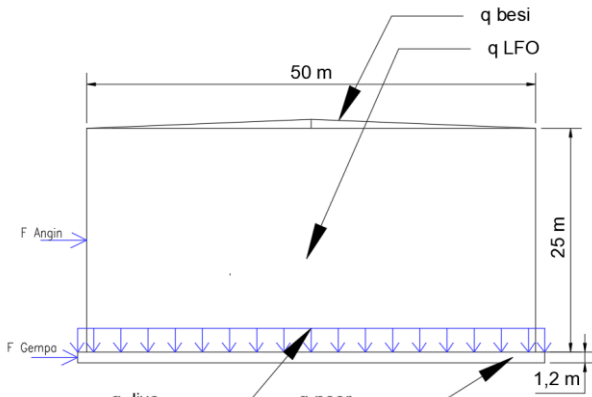
Pembangunan tangki timbun (*storage tank*) berisi LFO direncanakan di area zona 3 dapat dilihat pada **Gambar 9.1**. Dalam hal ini direncanakan pondasi tipikal yang paling sesuai untuk beban tangki timbun. Pondasi tipikal yang dimaksud adalah pondasi dangkal dengan perbaikan tanah atau podasi dalam tanpa perbaikan tanah. Dengan kondisi tersebut maka perlu diperhitungkan stabilitas pondasi agar tangki timbun aman dari kegagalan pondasi.



**Gambar 9. 1** Layout Pembangunan Tangki Timbun LFO  
(Sumber : Dokumen PT. PLN,2019)

### 9.2 Analisa Pembebanan Tangki Timbun

Untuk pemahaman lebih lanjut tentang analisa pembebanan tangki timbun dapat dilihat sketsa pembebanan tangki yang ditunjukkan pada **Gambar 9.2**



**Gambar 9.2** Sketsa pembebangan tangki timbun LFO

### 9.2.1 Beban Mati

Beban mati dalam hal ini adalah beban tangki beserta isi dan beban poer pondasi. Adapun data beban dan *preliminary design poer* sebagai berikut :

a. Dimensi Tangki Timbun,

- Diameter tangki = 50 m
- Tinggi tangki = 25 m
- Berat isi = 9940 ton  
\*Berdasarkan hitungan PLN berat cargo dan tanki
- $q_{LFO} = 9940 / (\pi \times 25^2) = 5,065 \text{ ton/m}^2$
- $q_{rangka\ besi} = 1 \text{ t/m}^2$
- $q_{(Tangki + FLO)} = 1 + 5,065 = 6,065 \text{ ton/m}^2$
- $W_{(Tangki + FLO)} = 6,065 \times (\pi \times 25^2) = 11902,56 \text{ ton}$

b. Dimensi Poer,

- $B_{poer} = 52 \text{ m}$
- $h_{poer} = 1,2 \text{ m}$
- $\gamma_{beton} = 2,4 \text{ t/m}^3$
- Berat Poer =  $52^2 \times 1,2 \times 2,4 = 7.787,52 \text{ ton}$

c. Beban Mati Total,

- $DL = 11902,56 + 7787,52 = 19690,0825 \text{ ton}$

## 9.2.2 Beban Hidup

Berdasarkan PPIUG 1987 pasal 2.1.2.2 berat untuk atap / bagianya dapat dicapai orang, termasuk kanopi sebesar  $100 \text{ kg/m}^2$ . Perhitungan beban untuk atap tangki sebagai berikut:

$$\text{LL} = 0,1 \text{ t/m}^2 \times (52 \times 52) = 270,4 \text{ ton}$$

## 9.2.3 Beban Angin

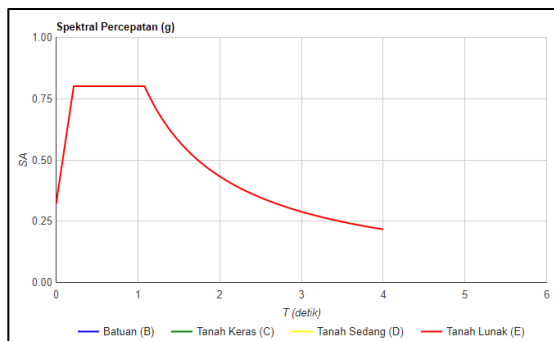
Berdasarkan PPIUG 1987 pasal 2.1.3.2 tekanan tiup minimum untuk bangunan di dekat laut adalah  $40 \text{ kg/m}^2$ . Perhitungan beban oleh angin sebagai berikut :

$$\begin{aligned} F_{\text{angin}} &= 40 \text{ kg/m}^2 \\ &= 0,04 \text{ ton/m}^2 \end{aligned}$$

$$\begin{aligned} H_{\text{tangki}} &= 25 \text{ m} \\ WL &= F_{\text{angin}} \times 0,5 \times \pi \times D \times h \\ &= 0,04 \times 0,5 \times \pi \times 50 \times 25 \\ &= 78,5 \text{ ton} \end{aligned}$$

## 9.2.4 Beban Gempa

Data – data spektral gempa didapatkan dari website [puskim.pu.go.id](http://puskim.pu.go.id) wilayah Sorong **Gambar 9.3** dan perhitungan gaya gempa berpedoman pada aturan SNI 1726:2012.



**Gambar 9. 3** Grafik spektral percepatan daerah sorong  
Sumber : <http://puskim.pu.go.id> diakses tanggal 15 April 2020

Adapun perhitungan gaya gempa sebagai berikut :

$$S_s = 1,335$$

$$S_1 = 0,541$$

SE = tanah lunak

$$F_a = 0,9$$

$$F_v = 2,4$$

$$S_{ds} = 2/3 \times S_s \times F_a = 0,801$$

$$S_{d1} = 2/3 \times S_1 \times F_v = 0,866$$

$$T_o = 0,2 \times S_{d1}/S_{ds} = 0,216 \text{ s}$$

$$T_s = S_{d1}/S_{ds} = 1,081 \text{ s}$$

Kategori desain seismic = C

$$R = 3$$

$$C_t = 0,0466 \text{ ( rangka beton pemikul momen ); } x = 0,9$$

$$T = C_t \times h_n^x$$

$$= 0,0466 \times 30^{0,9} = 0,9949$$

Kategori resiko = IV ( tangki penyimpanan bahan bakar )

$$I_e = 1,5$$

$$C_s = S_{ds} \times I_e / R = 0,801 \times 1,5 / 3 = 0,4005$$

$$W = D_L = 66260,02 \text{ ton}$$

$$\text{(syarat) } 0,044 \times I_e \times S_{ds} < C_s < S_{d1} \times I_e / (T \times R)$$

$$0,052866 < \mathbf{0,4005} < 0,4352$$

$$C_s = 0,4005$$

$$\text{Gaya Gempa (E)} = W \times C_s$$

$$= 17.727,58 \times 0,4005$$

$$= 7885,878 \text{ ton}$$

### 9.2.5 Kombinasi Beban Tiang dalam Kelompok

Berdasarkan SNI 2847:2013 pasal 15.2.2 disebutkan bahwa Luas dasar fondasi tapak atau jumlah dan penataan tiang fondasi (*piles*) harus ditentukan dari gaya dan momen tak terfaktor yang disalurkan oleh fondasi tapak ke tanah atau tiang fondasi dan tekanan tanah izin atau kapasitas tiang fondasi izin yang ditentukan melalui prinsip-prinsip mekanika tanah. Oleh sebab itu, kombinasi beban yang diterima oleh tiang atau pondasi tapak tidak berfaktor seperti kombinasi berikut :

$$\begin{aligned}
 U1 &= DL + LL + E \\
 U2 &= DL + LL + W \\
 U3 &= DL + E \\
 U4 &= DL + E
 \end{aligned}$$

### 9.3 Perhitungan Daya Dukung Pondasi Dangkal dengan Cu baru

Seperti yang sudah dijelaskan pada sub bab 9.1 bahwa tangki timbun akan dibangun pada zona 3, sehingga perhitungan daya dukung tanah untuk pondasi dangkal adalah dengan parameter baru. Parameter baru pada zona 3 akibat beban timbunan setinggi 8 m dapat dilihat pada **Tabel 9.1**

**Tabel 9.1** Parameter Tanah Baru Zona 3

Kedalaman (m)		KONSISTENSI	Cu Lama kN/m <sup>2</sup>	Cu Baru kN/m <sup>2</sup>	Cu Transisi kN/m <sup>2</sup>	e <sub>o</sub>	e baru	e baru rata2	Y <sub>sat lama</sub> (t/m <sup>3</sup> )	Y <sub>sat baru rata2</sub> (t/m <sup>3</sup> )
0,0	1,0	VERY SOFT	6,00	23,16	14,58	2,31	1,60	1,86	1,51	1,59
1,0	2,0					2,31	1,72			
2,0	3,0					2,31	1,79			
3,0	4,0					2,31	1,84			
4,0	5,0					2,31	1,87			
5,0	6,0					2,31	1,91			
6,0	7,0					2,31	1,94			
7,0	8,0					2,31	1,96			
8,0	9,0					2,31	1,98			
9,0	10,0					2,31	2,00			
10,0	11,0	SOFT	12,50	28,66	20,58	1,97	1,73	1,76	1,58	1,62
11,0	12,0					1,97	1,75			
12,0	13,0					1,97	1,76			
13,0	14,0					1,97	1,77			
14,0	15,0					1,97	1,78			
15,0	16,0	MEDIUM	18,50	32,22	25,36	1,29	1,19	1,19	1,75	1,78

Direncanakan pondasi dangkal berbentuk bujur sangkar dengan data perencanaan sebagai berikut :

#### Dimensi Pondasi Dangkal :

$$\begin{aligned}
 S &= 52 \text{ m} \\
 \text{Tebal Pondasi} &= 1,2 \text{ m} \\
 \gamma_{\text{beton}} &= 2,4 \text{ t/m}^3 \\
 q_{\text{pondasi}} &= 2,88 \text{ t/m}^2
 \end{aligned}$$

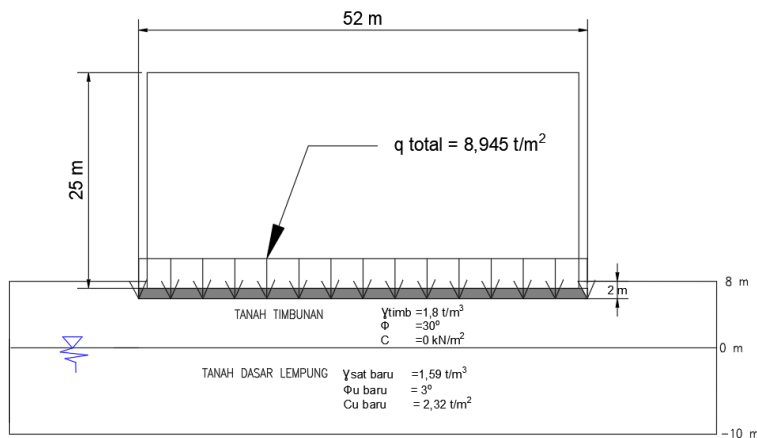
### Dimensi Tangki timbun :

Diameter tangki = 50 m

$q$  tangki + isi =  $6,065 \text{ t/m}^2$

$$\begin{aligned}\text{maka, } q \text{ total} &= q \text{ pondasi} + q \text{ tangki} + \text{isi} \\ &= 8,945 \text{ t/m}^2\end{aligned}$$

Dengan lapisan timbunan diatas tanah lempung maka perhitungan daya dukung tanah berdasarkan tanah berlapis. Adapun geometri perhitungan daya dukung pondasi dangkal dapat dilihat pada **Gambar 9.4**



**Gambar 9.4** Geometri perhitungan daya dukung pondasi dangkal

Berdasarkan kondisi tanah berlapis seperti yang dilihat pada **Gambar 9.4** maka digunakan perumusan tanah berlapis (Giroud) dalam buku Daya Dukung Pondasi Dangkal (Herman Wahyudi, 1999).

Perhitungan daya dukung pondasi dangkal diasumsikan kondisi *long term* karena aplikasi PVD sehingga parameter yang diperhitungkan adalah efektif dibawah muka air tanah.

#### Data timbunan :

Diketahui data parameter timbunan sirtu sebagai berikut :

$$\gamma \text{ timb} = 1,8 \text{ t/m}^3$$

$\phi$	= $30^\circ$
$C$	= $0 \text{ t/m}^2$
$H$	= 6 m (tinggi tanah pasir dihitung dari dasar pondasi hingga ke lempung)

#### Data tanah dasar :

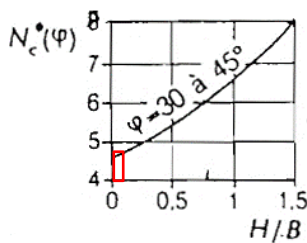
Tanah dasar adalah tanah lempung dengan kondisi dibawah muka air tanah dan kondisi *long term* sehingga nilai parameter tanah adalah efektif. Diketahui parameter tanah dasar sebagai berikut:

$\gamma$	= $1,59 \text{ t/m}^3$
$\gamma'$	= $0,59 \text{ t/m}^3$
$\phi_u$ baru	= $3^\circ$
$\phi'$	= $(2/3) 3 = 2^\circ$
$C_u$ baru	= $2,32 \text{ t/m}^2$
$C'$	= $(2/3) \times 2,32$ = $1,55 \text{ t/m}^2$

#### Daya Dukung Tanah :

Diketahui bahwa tanah timbunan adalah pasir batu dan tanah dasar lempung sehingga digunakan rumus Tcheng dengan kondisi long term.

$$\begin{aligned} H/B &= 6 / 52 = 0,115 \text{ (maka digunakan persamaan 2.70)} \\ \phi \text{ pasir} &= 30^\circ \end{aligned}$$



Gambar 9.5 Metode grafis untuk mencari nilai  $N_c^*$

Dari hasil ploting pada **Gambar 9.5** maka didapatkan nilai  $N_c = 4,8$ . Sedangkan faktor kedalaman dicari sebagai berikut:

$$\begin{aligned}
 D &= 2 \text{ m} \\
 \phi' &= 20^\circ \text{ (dibawah pondasi)} \\
 Nq &= \frac{1 + \sin \phi}{1 - \sin \phi} x e^{\pi t g \phi} \\
 &= \frac{1 + \sin 20}{1 - \sin 20} x e^{\pi t g 20} \\
 &= 6,4 \\
 ql &= C' x Nc^* + \gamma \text{ timb.} D.Nq \\
 ql &= 1,55 \times 4,8 + 1,8 \times 2 \times 6,4 \\
 &= 6,48 \text{ t/m}^2 + 23,04 \text{ t/m}^2 \\
 &= 30,48
 \end{aligned}$$

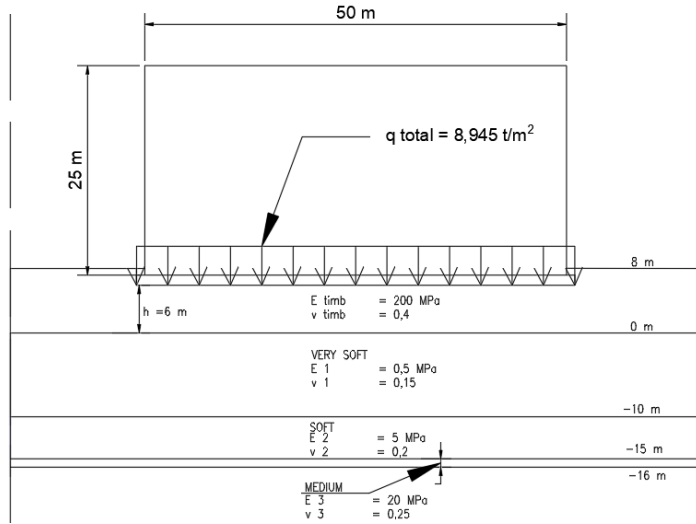
Dari hasil perhitungan daya dukung pondasi dangkal pada tanah lapis pasir – lempung didapatkan  $10,8 \text{ t/m}^2$ , maka dapat dicari  $SF = ql / qt = 30,48 / 8,945 = 3,4 > 3$  (SF daya dukung minimal untuk pondasi dangkal). Nilai SF lebih dari 3 sehingga daya dukung pondasi dangkal aman terhadap keruntuhan.

#### 9.4 Kontrol Settlement Pondasi Dangkal

Pondasi dangkal perlu di kontrol besar settlement yang terjadi akibat beban poer dan beban tangki timbun. Penurunan total adalah penurunan konsolidasi dan penurunan immediate. Adapun perhitungan settlement pondasi dangkal sebagai berikut :

a. Penurunan Segera (*Immediate*),

Untuk kondisi ini tanah berlapis besar penurunan segera dapat menggunakan konsep tanah berlapis berdasarkan buku Daya Dukung Pondasi Dangkal (Herman Wahyudi,1999). Adapun geometri perhitungan penurunan tanah berlapis dapat dilihat pada **Gambar 9.6**



**Gambar 9.6** Geometri perhitungan penurunan segera tanah berlapis

$$\Delta h_{\text{total}} = \sum_{i=1}^n \frac{h_i x \sigma}{E'_i}$$

$$= \sigma \sum_{i=1}^n \frac{h_i}{E'_i}$$

dimana :

$\sigma$  = tegangan akibat beban

$$E'_i \text{ (modul oedometrik lapisan } i) = \frac{E}{\left(1 - \frac{2v_i^2}{1-v_i}\right)}$$

Sehingga dapat dihitung sebagai berikut :

$$E'_{\text{timbunan}} = \frac{200}{\left(1 - \frac{2x 0,4^2}{1-0,4}\right)}$$

$$= 428,5714 \text{ MPa}$$

$$E'1 = 4,223 \text{ MPa}$$

$$E'2 = 5,556 \text{ MPa}$$

$$E'3 = 24 \text{ MPa}$$

$$\sigma = 8,945 \text{ t/m}^2$$

$$= 0,089128 \text{ MPa}$$

$$\Delta h \text{ total} = 0,089128 \times \left( \frac{6000}{428,5714} + \frac{10000}{4,223} + \frac{5000}{5,556} + \frac{1000}{24} \right)$$

$$= 296,2007 \text{ mm}$$

$$= 0,296 \text{ m}$$

- b. Penurunan Konsolidasi,

Settlement terhadap beban poer :

Beban poer dianggap sebagai beban terbagi merata sehingga perhitungan distribusi tegangan seperti contoh perhitungan akibat beban operasional pada sub bab 7.2. Adapun hasil perhitungan settlement dapat dilihat pada **Lampiran 9.1** dan didapatkan besar settlement poer = 0,527 m.

Settlement terhadap beban tangki timbun:

Beban tangki timbun dianggap sebagai beban silinder dengan distribusi tegangan dapat menggunakan formula 2.21. Adapun hasil perhitungan dapat dilihat pada **Lampiran 9.2** dan didapatkan besar settlement tangki timbun = 0,388 m

- c. Besar Settlement Total,

$$\begin{aligned} S_{\text{total}} &= S_i + S_c \text{ poer} + S_c \text{ tangki} \\ &= 0,296 + 0,527 + 0,388 \\ &= 1,212 \text{ m} \end{aligned}$$

$$S_t \text{ izin} = 5,08 \text{ cm}$$

\*Penurunan yang diijinkan oleh API 653. Batas penurunan maksimum yang diijinkan tidak boleh lebih dari 2 inci atau 50,8 mm

$S_{\text{total}} > S_t \text{ izin} \rightarrow (\text{NOT OK})$ , sehingga tidak direkomendasikan pondasi dangkal untuk perencanaan pondasi tangki timbun. Oleh sebab itu direncanakan pondasi dalam dengan tanpa perbaikan tanah di area pembangunan tangki timbun.

## 9.5 Perencanaan Pondasi Dalam

Pada perencanaan pondasi dalam digunakan material *Prestressed Concrete Piles Spun Pile* dengan  $f'_c$  52 MPa produk

WIKA Beton. Perencanaan pondasi dalam tangki dilakukan perhitungan untuk variasi diameter tiang yakni 30, 50, 60, dan 80 cm begitu juga variasi jarak antar tiang 2,5D dan 3D sehingga didapatkan kebutuhan pondasi dalam yang paling efisien dan aman. Tahapan – tahapan dalam perencanaan pondasi dalam dapat dijelaskan sebagai berikut :

### **9.5.1 Perhitungan Daya Dukung Tiang Tunggal**

Perhitungan daya dukung tiang tunggal pada perencanaan pondasi dalam digunakan metode Meyerhof (1963) dan Luciano Decourt (1996) kemudian dibandingkan untuk dicari daya dukung paling kritis.

#### **a. Metode Meyerhof (1963),**

Sebagai contoh perhitungan untuk diameter tiang 0,3 m kedalaman 20 m.

$$\text{NSPT} = 28 \text{ blow}$$

$$\text{Jenis tanah} = \text{Lempung}$$

$$\gamma_{\text{sat}} = 2 \text{ t/m}^3$$

#### **- Koreksi Muka Air Tanah (N1)**

$$\begin{aligned} N1 &= 15 + 0,5 (N - 15) \rightarrow \text{Terzaghi} \\ &= 15 + 0,5 (28 - 15) \\ &= 21,5 \end{aligned}$$

\*untuk jenis lempung, lanau, dan pasir kasar dan bila  $N \leq 15$ , tidak ada koreksi ( $N1 = N$ )

#### **- Koreksi Overburden (N2)**

$$Po = 12,86 \text{ t/m}^2 > 7,5 \text{ t/m}^2$$

Berdasarkan bazaraa (1967), maka :

$$\begin{aligned} N2 &= \frac{4 \cdot N1}{1 + 0,4 \cdot po} \\ &= \frac{4 \times 21,5}{3,25 + 0,1 \times (12,86)} \\ &= 18,96 \end{aligned}$$

\*ketentuan lainnya :

Harga N2 harus  $\leq 2N1$ . Apabila  $N2 > 2N1$  maka dibuat Npakai = 2N1

$$N2 = 18,96$$

$$\begin{aligned}2N1 &= 2 \times 21,5 \\&= 43\end{aligned}$$

$$N2 < 2N1, \text{ maka } N_{\text{pakai}} = N2 = 18,96$$

- N rata – rata

N rata – rata pada metode Meyerhof didefinisikan sebagai rata – rata NSPT setelah dikoreksi yakni  $4D = 4 \times 0,3 = 1,2$  m dibawah ujung dan  $8D = 8 \times 0,3 = 2,4$  m diatas ujung tiang. Dari hasil rata – rata didapatkan N rata – rata = 18,44

- Q ultimate tiang

$$\begin{aligned}C_n \text{ ujung} &= 40 \times N \text{ rata – rata} \\&= 40 \times 18,44 \\&= 737,78 \text{ t/m}^2\end{aligned}$$

$$\begin{aligned}A \text{ (luas tiang)} &= 0,25 \times \pi \times 0,3^2 \\&= 0,071 \text{ m}^2\end{aligned}$$

$$\begin{aligned}K &= \pi \times 0,3 \\&= 0,942 \text{ m}\end{aligned}$$

Sehingga nilai Q ultimate satu tiang dapat dicari sebagai berikut:

$$\begin{aligned}Q_p &= C_n \times A \\&= 737,78 \times 0,071 \\&= 52,15 \text{ ton}\end{aligned}$$

$$\begin{aligned}f_{si} &= N_2 / 2 \text{ (untuk tanah lempung)} \\&= 18,96 / 2 = 9,48\end{aligned}$$

$$\begin{aligned}A_{si} &= K \times \text{depth.increment} \\&= 0,942 \times 0,5 = 0,93 \text{ m}^2\end{aligned}$$

$$Q_s = \sum (f_{si} \cdot A_{si}) = 71,79 \text{ ton}$$

$$\begin{aligned}Q_{ult} &= Q_p + Q_s \\&= 52,15 + 71,79 = 123,94 \text{ ton}\end{aligned}$$

- Q ijin tiang

$$\begin{aligned}Q \text{ ijin tiang} &= Q_{ult} / 3 \\&= 123,94 / 3 = 41,31 \text{ ton}\end{aligned}$$

**b. Metode Luciano Decourt (1996),**

- Untuk koreksi N-SPT terhadap muka air tanah dan *overburden* tidak dapat digabung sehingga dipilih nilai yang paling kritis.

- Koreksi Muka Air Tanah (Terzaghi dan Peck)

$$\begin{aligned} N(\text{mat}) &= 15 + 0,5 (N - 15) \rightarrow \text{terzaghi} \\ &= 15 + 0,5 (28 - 15) \\ &= 21,5 \end{aligned}$$

\*untuk jenis lempung, lanau, dan pasir kasar dan bila  $N \leq 15$ , tidak ada koreksi ( $N_1 = N$ )

- Koreksi Overburden (SEED dkk),

Menurut SEED dkk disajikan tabel  $C_n$  (faktor koreksi) untuk mengoreksi harga  $N$  lapangan. Tabel faktor koreksi dapat dilihat pada **Tabel 2.13.**

$$\begin{aligned} P_o &= 12,86 \text{ t/m}^2 \\ C_n &= 0,88 \\ N(\text{over}) &= C_n \times N \\ &= 0,88 \times 28 \\ &= 24,66 \end{aligned}$$

- $N$  rata – rata ( $P$ ),

$N$  rata – rata untuk metode luciano decourt berdasarkan 4D ( $4 \times 0,3 = 1,2 \text{ m}$ ) dibawah dan diatas ujung tiang. Berikut hasil perhitungan  $N$  rata – rata ( $p$ )

$$N_{\text{rata-rata}} P (\text{mat}) = 21,4$$

$$N_{\text{rata-rata}} P (\text{over}) = 24,47$$

- $N$  rata – rata ( $S$ ),

Harga rata – rata disepanjang tiang terbenam dengan batasan  $3 \leq N \leq 50$ .

$$N_{\text{rata-rata}} S (\text{mat}) = 8,34$$

$$N_{\text{rata-rata}} S (\text{over}) = 6,99$$

- Daya dukung tanah maksimum ( $Q_L$ ),

$$Q_L = Q_p + Q_s$$

$$K = 20 \text{ t/m}^2 \text{ (lempung berlanau)}$$

$$Q_p (\text{mat}) = \alpha \cdot N_{\text{rata-rata}} (p) \times K \times A_p$$

$$\begin{aligned}
 &= 1 \times 21,4 \times 20 \times 0,071 \\
 &= 30,25 \text{ ton} \\
 Q_s (\text{mat}) &= \beta \times \left( \frac{\text{Nrata} - \text{rata (s)}}{3} + 1 \right) As \\
 &= 1 \times \left( \frac{8,34}{3} + 1 \right) \times (0,942 \times 5) \\
 &= 62,76 \text{ ton} \\
 Q_p (\text{over}) &= \alpha \times \text{Nrata} - \text{rata (p)} \times K \times A_p \\
 &= 1 \times 24,47 \times 20 \times 0,071 \\
 &= 34,59 \text{ ton} \\
 Q_s (\text{over}) &= \beta \times \left( \frac{\text{Nrata} - \text{rata (s)}}{3} + 1 \right) As \\
 &= 1 \times \left( \frac{6,99}{3} + 1 \right) \times (0,942 \times 5) \\
 &= 71,24 \text{ ton}
 \end{aligned}$$

- Q ultimate,

Maka daya dukung tanah maksimum :

$$QL (\text{mat}) = 30,25 + 62,76 = 93,01 \text{ ton}$$

$$QL (\text{over}) = 34,59 + 71,24 = 105,83 \text{ ton}$$

- Q ijin,

$$Q \text{ ijin} = QL / SF; \text{ dimana } SF = 3$$

$$Q \text{ ijin (mat)} = 93,01 / 3 = 31 \text{ ton}$$

$$Q \text{ ijin (over)} = 105,83 / 3 = 35,28 \text{ ton}$$

Dari hasil perhitungan daya dukung tanah untuk metode Meyerhof dan Luciano decourt didapatkan Qult untuk diameter tiang 0,3 m kedalaman 20 m sebagai berikut :

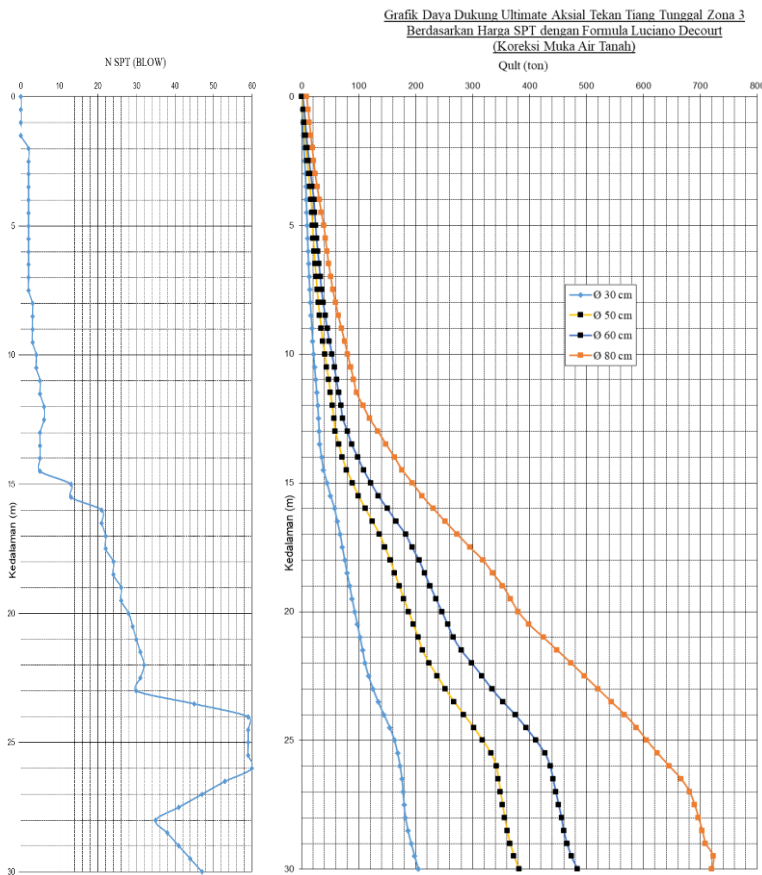
$$Qult (\text{MH}) = 123,94 \text{ ton}$$

$$Qult (\text{LD, mat}) = 93,01 \text{ ton} (\textbf{PALING KRITIS})$$

$$Qult (\text{LD, over}) = 105,83 \text{ ton}$$

Maka dalam perencanaan pondasi dalam digunakan daya dukung tanah dengan metode Luciano Decourt dengan koreksi muka air tanah. Berikut Grafik daya dukung ultimate tiang tunggal metode Luciano Decourt dengan koreksi muka air tanah dapat dilihat pada grafik **Gambar 9.7**

Sedangkan hasil perhitungan daya dukung satu tiang ijin dengan metode luciano decourt koreksi muka air tanah untuk zona 3 dapat dilihat pada **Lampiran 9.3**



**Gambar 9.7** Grafik daya dukung tiang tunggal izin dengan metode luciano decourt (koreksi MAT) zona 3

## 9.5.2 Perencanaan Jumlah dan Kedalaman Tiang Pancang

Jumlah tiang pancang didasarkan pada variasi jarak antar tiang dengan luas poer ( $52 \times 52$ ) m. Dalam perencanaan tiang pancang dicoba 8 variasi dengan jumlah tiang dapat dilihat pada **Tabel 9.2** dan **9.3**.

**Tabel 9. 2** Jumlah Tiang Pancang untuk Jarak antar Tiang 2,5 D

DIAMETER	BATAS 2,5 D			m	n	TOTAL
	Jarak antar tiang $b=l=2,5 \times D$	Jarak Tiang ke Tepi $2 \times D$	m			
m	m	m	titik	titik	titik	
0,8	2	1,6	25	25	625	
0,6	1,5	1,2	34	34	1156	
0,5	1,25	1	41	41	1681	
0,3	0,75	0,6	68	68	4624	

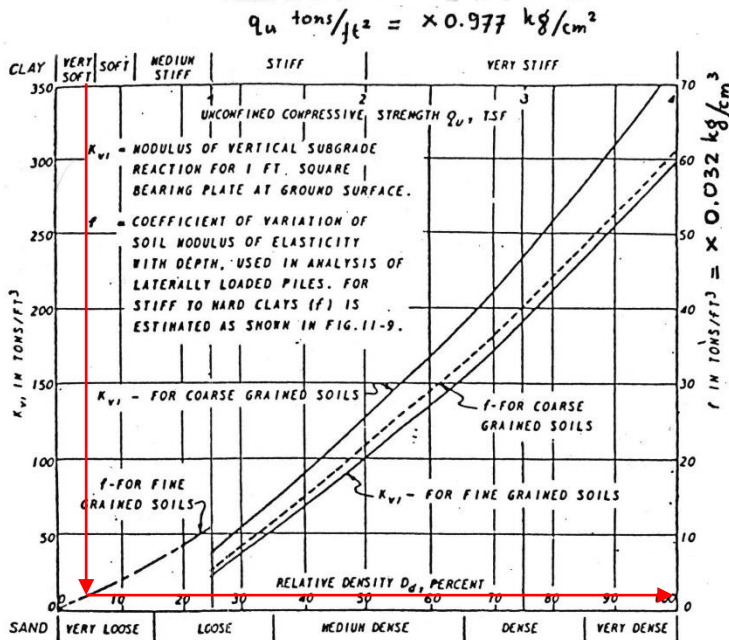
**Tabel 9. 3** Jumlah Tiang Pancang untuk Jarak antar Tiang 3D

DIAMETER	BATAS 3 D			m	n	TOTAL
	Jarak antar tiang $b=l=3 \times D$	Jarak Tiang ke Tepi $2 \times D$	m			
m	m	m	titik	titik	titik	
0,8	2,4	1,6	21	21	441	
0,6	1,8	1,2	28	28	784	
0,5	1,5	1	34	34	1156	
0,3	0,9	0,6	57	57	3249	

Dari jumlah titik dan konfigurasi diatas dapat dicari  $P_{max}$  dan  $P_{min}$  1 tiang kemudian dapat dicari kedalaman tiang pancang untuk setiap variasi.

Berikut contoh perhitungan untuk mencari panjang pondasi dalam diameter tiang pancang 0,6 m dengan jarak antar tiang 3D =  $3 \times 0,6 = 1,8$  m sebagai berikut :

- Mencari besar  $Z_f$  (letak titik jepit terhadap muka tanah),  
 $C_u$  tanah dasar  $= 0,06 \text{ kg/cm}^2$   
 $q_u = 2 \times C_u = 2 \times 0,06 = 0,12 \text{ kg/cm}^2$   
 $= 0,25 / 0,977 = 0,256 \text{ t/ft}^2$



Gambar 9. 8 Ploting nilai  $q_u$  untuk mencari nilai  $f$

Kemudian nilai  $q_u$  di ploting pada grafik **Gambar 9.8** sehingga didapat nilai :

$$\begin{aligned} f &= 2,5 \text{ t/ft}^2 \\ &= 2,5 \times 0,032 = 0,08 \text{ kg/cm}^3 \end{aligned}$$

$$\begin{aligned} E &= 4700 \times \sqrt{f' c} \\ &= 4700 \times \sqrt{52} \\ &= 33892,182 \text{ MPa} \\ &= 338921,82 \text{ kg/cm}^2 \\ &= 3389218,2 \text{ t/m}^2 \\ I &= \frac{\pi}{64} (\text{Dluar}^4 - \text{Ddalam}^4) \end{aligned}$$

$$\begin{aligned}
 &= \frac{\pi}{64} (60^4 - 50^4) \\
 &= 329461 \text{ cm}^4 \\
 &= 0,00329461 \text{ m}^4 \\
 T &= (E/I/f)^{1/5} \\
 &= (338921,82 \times 329461 / 0,08)^{1/5} \\
 &= 268,51 \text{ cm} \\
 &= 2,685 \text{ m} \\
 Zf &= 1,8 \times T \\
 &= 1,8 \times 2,685 \\
 &= 4,83 \text{ m} \approx 5 \text{ m}
 \end{aligned}$$

Panjang titik jepit tiang terhadap muka tanah untuk semua variasi dapat dilihat pada **Tabel 9.6**

- Mencari beban – beban kombinasi yang terjadi
- Sesuai dengan beban kombinasi tidak terfaktor didapatkan kombinasi beban dapat dilihat pada **Tabel 9.3**

**Tabel 9.4** Kombinasi Beban Tiang Tidak Terfaktor untuk Diameter Tiang 0,6 dan Variasi Jarak antar Tiang 3D

Kombinasi no.	Gaya (kN)			momen-x	momen-y
	Hx	Hy	V	(kN-m)	(kN-m)
1	785,4	785,4	199604,8	24504,4	24504,4
2x	78858,8	23657,6	199604,8	118288,2	394293,9
2y	23657,6	78858,8	199604,8	394293,9	118288,2
3	785,4	785,4	196900,8	24504,4	24504,4
4x	78858,8	23657,6	196900,8	118288,2	394293,9
4y	23657,6	78858,8	196900,8	394293,9	118288,2

Beban gempa arah X adalah kombinasi beban gempa sebesar 100 % (Hx) dan 30 % arah y (Hy), begitu sebaliknya untuk gempa arah Y. Sedangkan momen x dan momen y adalah gaya horizontal dikali dengan jarak jepit tiang dari permukaan tanah (Zf).

- Mencari Pmax dan Pmin 1 tiang

Mencari Pmax dan Pmin digunakan prinsip repartisi beban untuk 1 tiang. Sebagai contoh perhitungan untuk beban kombinasi 1 (DL + LL +WL) dapat dihitung sebagai berikut :

$$P_{max} = \sum \frac{V}{n} + \frac{M_x \cdot Y_{max}}{nx \cdot \Sigma y^2} + \frac{My \cdot X_{max}}{ny \cdot \Sigma x^2}$$

$$P_{max} = \frac{199604,8}{784} + \frac{24504,4 \times 24,3}{56 (2959,74)} + \frac{24504,4 \times 24,3}{56 (2959,74)}$$

$$P_{max} = 261,78 \text{ kN}$$

$$P_{max} = 26,18 \text{ ton (TEKAN)}$$

$$P_{min} = \sum \frac{V}{n} - \frac{M_x \cdot Y_{max}}{nx \cdot \Sigma y^2} - \frac{My \cdot X_{max}}{ny \cdot \Sigma x^2}$$

$$P_{min} = \frac{199604,8}{784} - \frac{24504,4 \times 24,3}{56 (2959,74)} - \frac{24504,4 \times 24,3}{56 (2959,74)}$$

$$P_{min} = 247,41 \text{ kN}$$

$$P_{min} = 24,74 \text{ ton (TEKAN)}$$

Hasil perhitungan semua kombinasi untuk diameter 0,6 dengan variasi jarak antar tiang 3D dapat dilihat pada **Tabel 9.5**

**Tabel 9.5** Rekapitulasi Pmax dan Pmin untuk Diamater Tiang 0,6 dan Variasi Jarak antar Tiang 3D

KOMBINASI	$\Sigma V/n$	$\Sigma My$	$\Sigma Mx$	Pmax		Pmin	
	(kN)	(kN.m)	(kN.m)	(kN)	(ton)	(kN)	(ton)
1	254,60	24504,42	24504,42	261,78	26,18	247,41	24,74
2x	254,60	394293,90	118288,17	329,75	32,97	179,45	17,94
2y	254,60	118288,17	394293,90	329,75	32,97	179,45	17,94
3	251,15	24504,42	24504,42	258,33	25,83	243,96	24,40
4x	251,15	394293,90	118288,17	326,30	32,63	176,00	17,60
4y	251,15	118288,17	394293,90	326,30	32,63	176,00	17,60

Dari hasil ke 5 kombinasi didapatkan nilai beban 1 tiang paling besar adalah sebagai berikut :

$$P_{max} = 32,97 \text{ ton (tekan)}$$

$$P_{\min} = 24,74 \text{ ton (tekan)}$$

- Penentuan kedalaman tiang pancang

Penentuan kedalaman tiang pancang berdasarkan pada daya dukung tunggal tiang **Gambar 9.7** yang paling aman terhadap tekan tiang. Setelah dicoba untuk beberapa kedalaman maka didapatkan panjang tiang adalah sebagai berikut :

$$P_{\max} 1 \text{ tiang} = 32,97 \text{ ton}$$

$$L (\text{kedalaman}) = 17 \text{ m}$$

$$Q_L = 182,445 \text{ ton}$$

$$P_{\text{izin tekan}} = (Q_L/SF) \times C_e; \text{ dengan } SF = 3$$

\* $C_e$  adalah efisiensi tiang dalam group dalam perencanaan dihitung dengan 2 rumus yakni Converse Labare dan Los Angeles. Adapun perhitungan efisiensi tiang dalam group sebagai berikut :

$$\begin{aligned} C_e (\text{CL}) &= 1 - \frac{\arctan(\frac{D}{S})}{90} \times \left(2 - \frac{1}{m} - \frac{1}{n}\right) \\ &= 1 - \frac{\arctan(\frac{0,6}{18})}{90} \times \left(2 - \frac{1}{28} - \frac{1}{28}\right) \\ &= 0,605 \text{ (terkritis)} \end{aligned}$$

$$\begin{aligned} C_e (\text{LA}) &= 1 - \frac{D}{\pi \cdot s} \times \left( \frac{m(n-1) + n(m-1) + (m-1)(n-1)\sqrt{2}}{mn} \right) \\ &= 1 - \frac{0,6}{\pi \times 1,8} \times \left( \frac{28(28-1) + 28(28-1) + (28-1)(28-1)\sqrt{2}}{28 \times 28} \right) \\ &= 0,755 \end{aligned}$$

Sehingga nilai Pizin tekan menjadi :

$$P_{\text{izin tekan}} = (182,445/3) \times 0,605$$

$$= 36,79 > 32,975 \text{ (Pmax)} \rightarrow \text{(OK)}$$

Adapun hasil penentuan kedalaman tiang pancang bedasarkan  $P_{\max}$  1 tiang pancang untuk semua variasi dan diameter dapat dilihat pada **Tabel 9.6**

**Tabel 9. 6 Rekapitulasi Kedalaman Tiang Pancang**

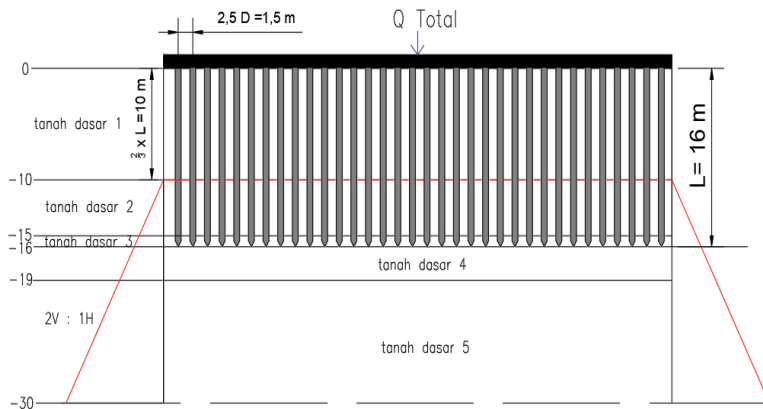
VARIASI 2,5 D				
Diameter	Letak Titik Jepit (Zf)	Kedalaman	Jarak Tepi	Jumlah Titik
m	m	m	m	buah
0,3	3	12	0,6	4624
0,5	5	15	1	1681
0,6	5	16	1,2	1156
0,8	6	17	1,6	625
VARIASI 3 D				
Diameter	Letak Titik Jepit (Zf)	Kedalaman	Jarak Tepi	Jumlah Titik
m	m	m	m	buah
0,3	3	15	0,6	3249
0,5	5	16	1	1156
0,6	5	17	1,2	784
0,8	6	21	1,6	441

## 9.6 Kontrol Penurunan Tiang Pancang dalam Group

Dari hasil penentuan tiang pancang berdasarkan daya dukung izin 1 tiang ( $P_{max}$ ) disimpulkan bahwa semua tiang mampu menahan beban 1 tiang pada kondisi *floating* atau ujung tiang tidak sampai *end bearing* ( $NSPT \geq 50$ ). Oleh sebab itu maka harus dikontrol terhadap penurunan tiang pancang dalam group. Dalam buku *Principles of Foundation Engineering 6'th Edition* (BM Das,2007) dijelaskan bahwa penurunan tiang pancang dalam group terdapat dua jenis yakni akibat konsolidasi tanah lunak dan elastisitas tiang pancang.

### 9.6.1 Penurunan Konsolidasi Tiang dalam Group

Sebagai contoh perhitungan diberikan geometri pondasi tiang dalam group untuk diameter 60 cm variasi jarak antar tiang 2,5 D dapat dilihat pada **Gambar 9.9**



**Gambar 9.9** Geometri perhitungan penurunan konsolidasi group

$$\begin{aligned}
 Q_{\text{total}} &= 19960,48 \text{ ton} \\
 H &= (2/3) \times L = (2/3) \times 16 = 10,67 \approx 10 \text{ m} \\
 Z &= 0,5 \text{ m} \text{ (dimulai kedalaman } 10 \text{ m)} \\
 B &= 52 \text{ m} \\
 e_o &= 1,76 \\
 C_c &= 0,51 \\
 C_s &= 0,1 \\
 \sigma'_o &= 5,41 \text{ t/m}^2 \\
 \Delta p &= \frac{Q_{\text{total}}}{(Bg+z)(Lg+z)} \\
 &= \frac{19960,48}{(52+0,5)(52+0,5)} \\
 &= 7,24 \text{ t/m}^2 \\
 H_{\text{fluk}} &= 1,21 \text{ t/m}^2 \\
 \sigma'_c &= 5,41 + 1,21 \\
 &= 6,62 \text{ t/m}^2 \\
 \Delta p + \sigma'_o &= 7,24 + 5,41 \\
 &= 12,65 \\
 \text{OCR} &= 6,62 / 5,41 = 1,22 \rightarrow \text{OC soil}
 \end{aligned}$$

Karena  $\Delta p + \sigma' o > \sigma' c$ , maka digunakan rumus Sc :

$$\begin{aligned} Sc_{(z=0,5)} &= \frac{Cs}{1+e_0} Hilog \frac{P'c}{P'o} + \frac{Cc}{1+e_0} Hilog \frac{p'o + \Delta p}{p'c} \\ &= \frac{0,1}{1+1,76} 1. \log \frac{6,6}{5,39} + \frac{0,51}{1+1,76} 1. \log \frac{5,39 + 7,24}{6,6} \\ &= 0,055 \text{ m} \\ &= 5,5 \text{ cm} \end{aligned}$$

Sc kum = 0,25578 m = 25,578 cm (hingga tanah medium)

Tabel hasil perhitungan konsolidasi *settlement* untuk kondisi tiang pancang *floating* contoh diameter 60 cm kondisi 2,5D dan 3D dapat dilihat pada **Lampiran 9.4.**

### 9.6.2 Penurunan Elastis Tiang dalam Group

Total penurunan elastis (penurunan segera) dinyatakan dengan beban  $Q_w$ . Dapat dirumuskan sebagai berikut :

$$Se_{(g)} = Se_{(1)} + Se_{(2)} + Se_{(3)}$$

dimana :

$$Se_{(1)} = \frac{(Qwp + \xi Qws)}{Ap \times Ep} \times L$$

$$Se_{(2)} = \frac{q_{wp} x D}{Es} \times (1 - \pi_s^2) \times I_{wp}$$

$$Se_{(3)} = \left( \frac{Qws}{p \cdot L} \right) \times \frac{D}{Es} \times (1 - \pi_s^2) \times I_{ws}$$

Sebagai contoh perhitungan untuk diameter 60 cm variasi jarak antar tiang 2,5 D dengan diketahui data sebagai berikut :

$$L = 16 \text{ m}$$

$$D = 0,6 \text{ m}$$

$$p = 1,88 \text{ m (keliling tiang pancang)}$$

$$Qwp = 80,74 \text{ ton}$$

$$Qws = 69,76 \text{ ton}$$

$$Ap = 0,28274 \text{ m}^2$$

$$Ep = 3389218 \text{ t/m}^2$$

$$\xi = 0,67 \text{ (asumsi tipe distribusi ketahanan gesekan segitiga)}$$

$$\begin{aligned}
 Es &= 5098,58 \text{ t/m}^2 \text{ (tanah dibawah ujung tiang)} \\
 \pi_s &= 0,3 \text{ (tanah dibawah ujung tiang)} \\
 I_{wp} &\approx 0,85 \\
 qwp &= Qwp / Ap \\
 &= 80,74 / 0,28274 \\
 &= 285,56 \text{ t/m}^2
 \end{aligned}$$

Maka dapat dihitung :

$$\begin{aligned}
 Se_{(1)} &= \frac{(Qwp + \xi Qws)}{Ap \times Ep} \times L \\
 &= \frac{(80,74 + 0,67 \times 69,76)}{0,28274 \times 3389218} \times 16 \\
 &= 0,0023 \text{ m} \\
 &= 2,13 \text{ mm} \\
 Se_{(2)} &= \frac{qWP \times D}{Es} \times (1 - \pi_s^2) \times I_{wp} \\
 &= \frac{285,56 \times 0,6}{5098,58} \times (1 - 0,3^2) \times 0,85 \\
 &= 0,02599 \text{ m} \\
 &= 25,99 \text{ mm} \\
 Se_{(3)} &= \left( \frac{Qws}{p \cdot L} \right) \times \frac{D}{Es} \times (1 - \pi_s^2) \times I_{ws} \\
 Iws &= 2 + 0,35 \sqrt{\frac{L}{D}} \\
 &= 2 + 0,35 \sqrt{\frac{16}{0,6}} \\
 &= 3,81 \\
 Se_{(3)} &= \left( \frac{69,76}{1,88 \times 16} \right) \times \frac{0,6}{5098,58} \times (1 - 0,3^2) \times 3,81 \\
 &= 0,000943 \text{ m} \\
 &= 0,943 \text{ mm} \\
 Se_{(g)} &= 2,13 + 25,99 + 0,943 \\
 &= 29,0644 \text{ mm} \\
 &= 2,906 \text{ cm}
 \end{aligned}$$

Adapun hasil rekapitulasi perhitungan penurunan elastis tiang dalam group untuk semua variasi diameter tiang dan jarak antar tiang dapat dilihat pada **Tabel 9.7**

**Tabel 9.7** Rekapitulasi Hasil Perhitungan Penurunan Elastis Tiang dalam Group kondisi *floating*

VARIASI 2,5 D					
Diameter Tiang	Kedalaman	Se(1)	Se(2)	Se(3)	Se(g)
m	m	m	m	m	m
0,8	17	0,002363	0,01814	0,000616	0,021119
0,6	16	0,002128	0,025993	0,000943	0,029064
0,5	15	0,001642	0,04005	0,001859	0,043551
0,3	12	0,001066	0,051854	0,004284	0,057204
VARIASI 3 D					
Diameter Tiang	Kedalaman	Se(1)	Se(2)	Se(3)	Se(g)
m	m	m	m	m	m
0,8	21	0,004462	0,026284	0,000891	0,031637
0,6	17	0,002752	0,032061	0,00107	0,035882
0,5	16	0,002223	0,02067	0,000822	0,023715
0,3	15	0,00218	0,02532	0,001274	0,028774

### 9.6.3 Total Penurunan Tiang dalam Group

Total penurunan tiang dalam group didapatkan dengan menjumlahkan penurunan tiang konsolidasi dan elastis sehingga total penurunan tiang dalam group sebagai berikut :

$$\begin{aligned} S_{\text{total}} &= Sc_{(g)} + Se_{(g)} \\ &= 25,578 + 2,906 \\ &= 28,485 \text{ cm} \end{aligned}$$

$$St_{\text{izin}} = 5,08 \text{ cm}$$

(Penurunan yang diijinkan oleh API 653 tidak boleh lebih dari 2 inci atau 50,8 mm).

$St_{\text{total}} > St_{\text{izin}} \rightarrow (\text{NOT OK})$ , sehingga dengan kondisi *floating* (ujung tiang tidak sampai tanah keras) terjadi penurunan yang melebihi batas izin. Berikut hasil perhitungan penurunan dalam grup untuk semua variasi dapat dilihat **Tabel 9.8** dan **9.9**

**Tabel 9. 8 Rekapitulasi Perhitungan Settlement Tiang Group  
Kondisi Floating variasi 2,5 D**

Variasi 2,5 D							
Diameter	Letak Titik Jepit (Zf)	Kedalaman	Jarak Tepi	Jumlah Titik	Sett Group	St Izin	Kontrol
m	m	m	m	buah	cm	cm	
0,8	6	17	1,6	625	33,6703793	5,08	NOT OK
0,6	5	16	1,2	1156	28,4846365	5,08	NOT OK
0,5	5	15	1	1681	35,9135437	5,08	NOT OK
0,3	3	12	0,6	4624	50,1465172	5,08	NOT OK

**Tabel 9. 9 Rekapitulasi Perhitungan Settlement Tiang Group  
Kondisi Floating variasi 3 D**

Variasi 3 D							
Diameter	Letak Titik Jepit (Zf)	Kedalaman	Jarak Tepi	Jumlah Titik	Sett Group	St Izin	Kontrol
m	m	m	m	buah	cm	cm	
0,8	6	21	1,6	441	14,7649202	5,08	NOT OK
0,6	5	17	1,2	784	29,166433	5,08	NOT OK
0,5	5	16	1	1156	33,929944	5,08	NOT OK
0,3	3	15	0,6	3249	34,4358558	5,08	NOT OK

Dari hasil perhitungan settlement tiang dalam group **Tabel 9.8** dan **9.9** tidak memenuhi syarat penurunan izin tangki yakni sebesar 5,08 cm. Untuk mengurangi hal tersebut maka kedalaman tiang harus diperpanjang hingga lapisan tanah *end bearing*. Pada tanah keras diasumsikan hanya terjadi penurunan segera (*elastic settlement*) sedangkan penurunan konsolidasi tidak terjadi.

Dengan cara yang sama didapatkan hasil penurunan segera dengan kedalaman tiang hingga 24 m dapat dilihat pada **Tabel 9.8**

**Tabel 9. 10 Rekapitulasi Perhitungan *Settlement Tiang Group* hingga kedalaman *End Bearing***

Variasi 2,5 D							
Diameter	Letak Titik Jepit (Zf)	Kedalaman	Jarak Tepi	Jumlah Titik	Elastic Sett	St Izin	Kontrol
m	m	m	m	buah	cm	cm	
0,3	3	24	0,6	4624	2,53009892	5,08	OK
0,5	5	24	1	1681	3,06105159	5,08	OK
0,6	5	24	1,2	1156	3,51314176	5,08	OK
0,8	6	24	1,6	625	4,34032964	5,08	OK
Variasi 3 D							
Diameter	Letak Titik Jepit (Zf)	Kedalaman	Jarak Tepi	Jumlah Titik	Elastic Sett	St Izin	Kontrol
m	m	m	m	buah	cm	cm	
0,3	3	24	0,6	3249	2,53009892	5,08	OK
0,5	5	24	1	1156	3,06105159	5,08	OK
0,6	5	24	1,2	784	3,51314176	5,08	OK
0,8	6	24	1,6	441	4,76732972	5,08	OK

Pada **Tabel 9.10** dapat disimpulkan bahwa penurunan tiang sudah memenuhi syarat maka direncanakan kedalaman tiang pancang untuk semua variasi adalah 24 m. Dengan kedalaman tersebut maka tiang harus dikontrol terhadap gaya lateral dan kuat bahan.

## 9.7 Kontrol Bahan Tiang Pancang

Kuat bahan *spun pile* akibat gaya dalam axial dan momen dapat dilihat dalam brosur spesifikasi *spun pile* pada **Lampiran 7.6**. Diambil contoh tiang pancang dengan diameter 0,6 cm memiliki 5 jenis kelas *spunpile* dapat dilihat pada **Tabel 9.11**

**Tabel 9. 11 Kapasitas Kuat Bahan Tiang Diameter 60 cm**

KELAS	Mcrack	Paxial (compress )	Paxial (tension)
	tm	t	t
A1	17	252,7	70,52
A2	19	249	77,68
A3	22	243	104,94
B	25	238,3	131,1
C	29	229,5	163,67

Sumber: brosur spesifikasi *spun pile* (wika beton)

### 9.7.1 Kontrol Axial Ultimate Spunpile

Pada kedalaman yang telah ditentukan yakni 24 m maka dapat dikontrol bahan axial sebagai berikut :

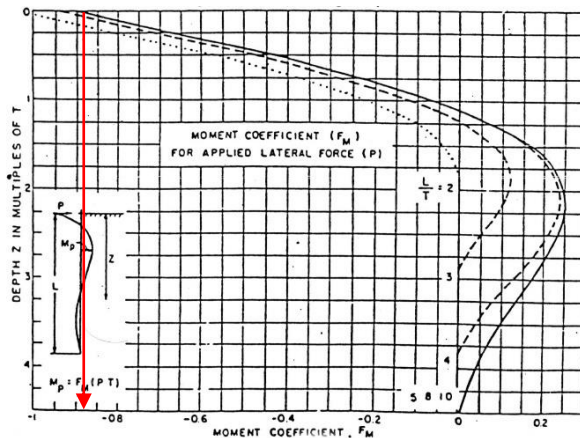
$$\begin{aligned} D &= 60 \text{ cm} \\ S &= 2,5 D \\ L &= 24 \text{ m} \\ P_u &= \text{Pizin tanah} \\ &= 124,93 \text{ ton} \end{aligned}$$

Pizin axial = (229,5 ; 238,3 ; 243 ; 249 ; 252,7) ton

$P_u < \text{Pizin axial} \rightarrow \mathbf{OK}$  untuk semua kelas

### 9.7.2 Kontrol Momen Crack Spunpile

Untuk kontrol bahan momen digunakan grafik hubungan Z dengan  $F_m$  (koefisien momen) seperti pada **Gambar 9.10**



**Gambar 9. 10** Ploting grafik koefisien momen ( $F_m$ )

Dalam mencari momen yang terjadi dapat dihitung sebagai berikut :

$$\begin{aligned} Z &= 0 \text{ (titik paling maksimum)} \\ L &= 24 \text{ m} \\ T &= 2,685 \text{ m} \end{aligned}$$

$$\begin{aligned}
 L/T &= 8,94 \\
 F_m &= -0,93 \rightarrow 0,93 \\
 P_h &= 7885,88 \text{ ton} \\
 n &= 1156 \\
 M_{pmax} &= (P_h/n) \times F_m \times T \\
 &= 6,822 \times 0,93 \times 2,685 \\
 &= 17,035 \text{ tm}
 \end{aligned}$$

$$M_{crack} = (17 ; 19 ; 22 ; 25 ; 29) \text{ ton}$$

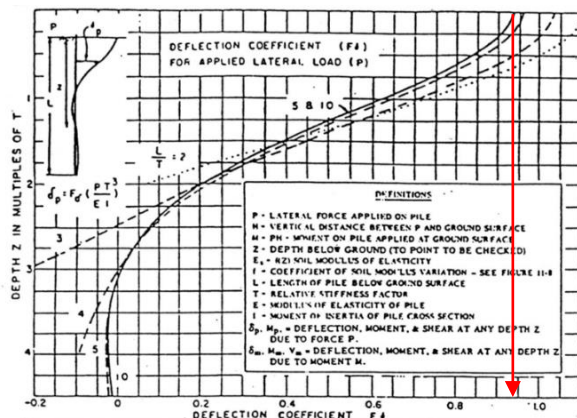
$M_{pmax} < M_{crack} \rightarrow \text{OK}$  untuk kelas A2, A3, B, dan C

## 9.8 Kontrol Lateral Tiang Pancang

### 9.8.1 Kontrol Defleksi Lateral

Mencari besarnya defleksi yang maksimum menggunakan metode yang disajikan oleh NAFVAC DM 7. Sebagai contoh perhitungan besarnya defleksi untuk diameter tiang 0,6 m untuk variasi jarak antar tiang 2,5D sebagai berikut :

Dicari koefisien defleksi menggunakan grafik koefisien untuk tiang pancang yang menerima beban lateral dapat dilihat pada **Gambar 9.11**



**Gambar 9.11** Ploting nilai L/T mencari koefisien defleksi ( $F\delta$ )

$$\begin{aligned}
 L/T &= 8,94 \\
 Z &= 0 \text{ (dicari paling maksimum)} \\
 F\delta &= 0,94 \\
 P &= Ph \text{ (maks) / n} \\
 &= 6,822 \text{ ton} \\
 \delta p &= F\delta \times \frac{P \cdot T^3}{E \cdot I} \\
 &= 0,94 \times \frac{6,822 \times 2,685^3}{3389218,2 \times 0,0032946} \\
 &= 1,11 < 1,2 \text{ cm} \rightarrow (\text{OK})
 \end{aligned}$$

\*Berdasarkan SNI 8460:2017 pasal 9.7.3.1 deformasi gaya lateral izin untuk gempa rencana maksimum 1,2 cm.

### 9.8.2 Kontrol Kekuatan Tiang Terhadap Gaya Lateral

Berdasarkan formula yang diberikan oleh (Tomlinson,1977) dalam buku Daya Dukung Pondasi Dalam (Herman Wahyudi,1999), kontrol kekuatan tiang terhadap gaya lateral dapat dihitung sebagai berikut :

$$\begin{aligned}
 Mu &= M_{crack} = 19 \text{ t/m}^2 \text{ (kelas A2)} \\
 Hu &= \frac{2 \times Mu}{(e+Zf)}, \text{ untuk } fixed \text{ headed pile} \\
 &= \frac{2 \times 19}{4,83} \\
 &= 7,86 \text{ ton}
 \end{aligned}$$

Kontrol :

$$\begin{aligned}
 Hu &> (Ph/n) \\
 7,6 &> 6,822 \text{ ton} \rightarrow (\text{OK})
 \end{aligned}$$

### 9.9 Pemilihan Tiang Pancang

Dari hasil perhitungan kontrol tiang pancang pada sub bab 9.7 dan 9.8 untuk semua variasi kedalaman tiang 24 m dapat disajikan dalam bentuk tabel kontrol seperti yang ditunjukkan pada **Tabel 9.12** dan **Tabel 9.15**.

**Tabel 9. 12 Kontrol Kuat Bahan (S = 2,5 D)**

Diameter	Mpm	P Compress	Kelas	Mcrack tm	Kontrol	All Compress t	Kontrol
0,3	2,51	48,08	A2	2,5	NOT OK	72,6	OK
			A3	3	OK	70,75	OK
			B	3,5	OK	67,5	OK
			C	4	OK	65,4	OK
0,5	10,24	94,87	A1	10,5	OK	185,3	OK
			A2	12,5	OK	181,7	OK
			A3	14	OK	178,2	OK
			B	15	OK	174,9	OK
			C	17	OK	169	OK
0,6	17,03	124,93	A1	17	NOT OK	252,7	OK
			A2	19	OK	249	OK
			A3	22	OK	243,2	OK
			B	25	OK	238,3	OK
			C	29	OK	229,5	OK
0,8	33,97	188,95	A1	40	OK	415	OK
			A2	46	OK	406,1	OK
			A3	51	OK	399,17	OK
			B	55	OK	388,61	OK
			C	65	OK	368,17	OK

**Tabel 9. 13 Kontrol Kuat Bahan (S = 3D)**

Diameter	Mpm	P Compress	Kelas	Mcrack tm	Kontrol	All Compress t	Kontrol
0,3	3,57	48,08	A2	2,5	NOT OK	72,6	OK
			A3	3	NOT OK	70,75	OK
			B	3,5	NOT OK	67,5	OK
			C	4	OK	65,4	OK
0,5	14,89	94,87	A1	10,5	NOT OK	185,3	OK
			A2	12,5	NOT OK	181,7	OK
			A3	14	NOT OK	178,2	OK
			B	15	OK	174,9	OK
			C	17	OK	169	OK
0,6	25,12	25,12	A1	17	NOT OK	252,7	OK
			A2	19	NOT OK	249	OK
			A3	22	NOT OK	243,2	OK
			B	25	NOT OK	238,3	OK
			C	29	OK	229,5	OK
0,8	51,23	188,95	A1	40	NOT OK	415	OK
			A2	46	NOT OK	406,1	OK
			A3	51	NOT OK	399,17	OK
			B	55	OK	388,61	OK
			C	65	OK	368,17	OK

**Tabel 9. 14 Kontrol Lateral Tiang (S = 2,5D)**

Diameter m	Defleksi cm	H max t	Defleksi izin cm	Kontrol	H izin t	Kontrol
					t	
0,3	0,80	1,71	1,2	OK	2,11	OK
0,4	1,00	4,69	1,2	OK	4,97	OK
0,5	1,11	6,82	1,2	OK	7,86	OK
0,6	1,16	12,62	1,2	OK	14,43	OK

**Tabel 9. 15 Kontrol Lateral Tiang (S = 3 D)**

Diameter m	Defleksi cm	H max t	Defleksi izin cm	Kontrol	H izin t	Kontrol
					t	
0,3	1,14	2,43	1,2	OK	2,81	OK
0,4	1,46	6,82	1,2	NOT OK	7,10	OK
0,5	1,64	10,06	1,2	NOT OK	12,00	OK
0,6	2,21	17,88	1,2	NOT OK	19,84	OK

Dari hasil rekapitulasi kontrol lateral dan bahan yang ditunjukkan pada **Tabel 9.10** hingga **9.13** dapat diputuskan variasi tiang yang dapat digunakan adalah tiang dengan jarak antar tiang 2,5D, diameter 0,8 m., dan kelas A1. Pemilihan kelas A1 adalah kelas tiang yang paling murah diabandingkan dengan jenis kelas tiang lainnya.

## 9.10 Perencanaan Poer Pondasi Dalam

Data – data perencanaan sebagai berikut :

$$\text{Dimensi poer} = 52 \times 52 \text{ m}$$

$$\text{Tebal Poer} = 1200 \text{ mm}$$

$$f_c = 50 \text{ Mpa}$$

$$f_u = 550 \text{ Mpa}$$

$$f_y = 410 \text{ Mpa}$$

$$D \text{ tulangan utama} = 25 \text{ mm}$$

$$\text{Tebal selimut} = 40$$

$$\text{Tinggi efektif} :$$

$$\text{Arah x (dx)} = h \text{ poer} - \text{cover} - D_{\text{tul}}/2$$

$$\begin{aligned}
 &= 1200 - 40 - 25/2 \\
 &= 1147,5 \text{ mm} \\
 \text{Arah y (dy)} &= h_{poer} - \text{cover} - D_{tul} - D_{tul}/2 \\
 &= 1200 - 40 - 25 - 25/2 \\
 &= 1122,5 \text{ mm}
 \end{aligned}$$

### 9.10.1 Kontrol Geser Ponds

Dalam perencanaan tebal poer, harus memenuhi persyaratan yakni kekuatan geser nominal harus lebih besar dari besar beban geser ponds yang terjadi. Adapun kuat geser dipilih yang terkecil dari:

$$\begin{aligned}
 \text{a) } V_c &= \left(1 + \frac{2}{\beta c}\right) x \frac{\sqrt{f'c} \cdot b_o \cdot d}{6} \\
 \text{b) } V_c &= \left(\frac{\alpha_0 \times d}{b_o} + 2\right) x \frac{\sqrt{f'c} \cdot b_o \cdot d}{6} \\
 \text{c) } V_c &= \frac{1}{3} x \sqrt{f'c} x b_o x d
 \end{aligned}$$

dimana :

$\beta c$  = Rasio dari sisi panjang terhadap sisi pendek kolom

$b_o$  = Keliling penampang kritis poer

$\alpha_0$  = 40 (kolom interior)

Dimana nilai tersebut dicari sebagai berikut :

$$\beta c = 52000 / 52000 = 1$$

$$b_o = \pi (D + d)$$

$$= \pi (52000)$$

$$= 163362,82 \text{ mm}$$

$$\begin{aligned}
 V_c &= \left(1 + \frac{2}{\beta c}\right) x \frac{\sqrt{f'c} \cdot b_o \cdot d}{6} \\
 &= \left(1 + \frac{2}{1}\right) x \frac{\sqrt{50} \times 163362,82 \times 1147,5}{6} \\
 &= 662.767.062,3 \text{ N}
 \end{aligned}$$

$$V_c = \left(\frac{\alpha_0 \times d}{b_o} + 2\right) x \frac{\sqrt{f'c} \cdot b_o \cdot d}{6}$$

$$\begin{aligned}
 &= \left( \frac{40 \times 1147,5}{163362,82} + 2 \right) \times \frac{\sqrt{50} \cdot 163362,82 \cdot 1147,5}{6} \\
 &= 503.917.193,1 \text{ N} \\
 Vc &= \frac{1}{3} \times \sqrt{f'c} \times b_o \times d \\
 &= \frac{1}{3} \times \sqrt{50} \times 163362,82 \times 1147,5 \\
 &= 441.844.708,2 \text{ N}
 \end{aligned}$$

maka  $V_c$  minimum yang dipakai adalah 441.844.708,2 N

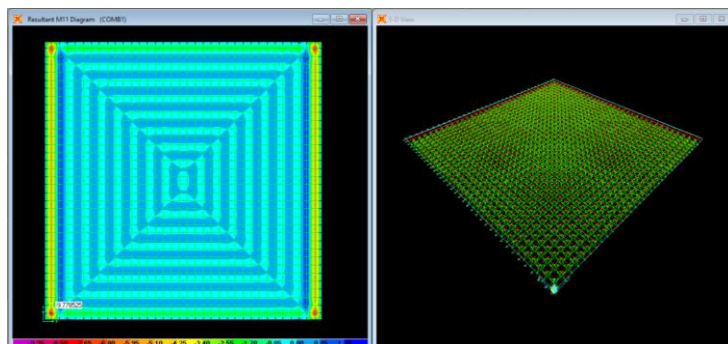
$$\begin{aligned}
 \phi Vc &= 0,75 \times 441844708,2 \text{ N} \\
 &= 331.383.531,1 \text{ N}
 \end{aligned}$$

$$\begin{aligned}
 \text{Pu tangki} &= 11903,5625 \text{ ton} \\
 &= 119.025.625 \text{ N}
 \end{aligned}$$

$\phi Vc > \text{Pu tangki}$  maka poer mampu menahan gaya geser akibat beban aksial kolom.

### 9.10.2 Perencanaan Penulangan Poer

Dalam perhitungan penulangan poer diperlukan beban momen ultimate dan geser ultimate yang terjadi pada poer. Untuk mendapatkan beban tersebut diperlukan permodelan struktur dalam hal ini digunakan SAP 2000. Adapun permodelan poer pondasi dapat dilihat pada **Gambar 9.12**



**Gambar 9. 12** Permodelan poer pondasi dengan SAP 2000

1) Penulangan Lentur Longitudinal Arah X

Momen ultimate akibat pembebanan dapat dianggap simetris karena bentuk poer yang bujur sangkar dan tangki timbun berbentuk silinder. Adapun perhitungan kebutuhan tulangan lentur sebagai berikut :

$$b = 1000 \text{ mm}$$

$$\text{Mu SAP} = 9,779 \text{ tm}$$

$$= 97790000 \text{ Nmm}$$

$$\beta i = 0,85 - \left( \frac{0,05 x (f'c - 30)}{7} \right)$$

$$= 0,7071 > 0,65 \rightarrow (\text{OK})$$

( SNI 2847:2013 pasal 10.2.7.3 )

Persyaratan rasio tulangan dan faktor momen pemikul maksimum sesuai SNI 2847:2013 pasal 9.3.2.1:

$$\rho_{bal} = \frac{0,85 x \beta i x f'c}{f_y} - \left( \frac{600}{600 + f_y} \right)$$

$$= \frac{0,85 x 0,7071 x 50}{410} - \left( \frac{600}{600 + 410} \right)$$

$$= 0,0435$$

$$\rho_{max} = 0,75 \times \rho_{bal}$$

$$= 0,75 \times 0,0435$$

$$= 0,0327$$

$$\rho_{min} = 1,4 \times f_y$$

$$= 1,4 \times 410$$

$$= 0,00341$$

$$m = \frac{f_y}{0,85 x f'c}$$

$$= \frac{410}{0,85 x 50}$$

$$= 9,647$$

Faktor reduksi lentur ( SNI 2847:2013 psl 9.3.3)

$$M_n = \text{Mu} / \Phi$$

$$= 97790000 / 0,9$$

$$= 108655555,6 \text{ Nmm}$$

$$R_n = M_n / b d^2$$

$$\begin{aligned}
 &= 108655555,6 / (1000 \times 1147,5^2) \\
 &= 0,082517592 \\
 p_{perlu} &= \frac{1}{m} x \left( 1 - 1 \sqrt{1 - \frac{2 \times m \times Rn}{fy}} \right) \\
 &= \frac{1}{9,647} x \left( 1 - 1 \sqrt{1 - \frac{2 \times 9,647 \times 0,0825}{410}} \right) \\
 &= 0,000201458 \\
 \text{Asmin} &= \frac{0,25 x \sqrt{f'c} x b x d}{fy} \\
 &= \frac{0,25 x \sqrt{50} x 1000 x 1147,5}{410} \\
 &= 4947,59 \text{ mm}^2 \\
 \text{As Perlu} &= p_{perlu} x b x d \\
 &= 0,000201458 x 1000 x 1147,5 \\
 &= 231,17 \text{ mm}^2
 \end{aligned}$$

Karena As perlu < As min, maka dipilih As min.

$$\begin{aligned}
 n \text{ tulangan} &= \frac{As \text{ min}}{0,25 x \pi x D^2} \\
 &= \frac{4947,59}{0,25 x \pi x 25^2} \\
 &= 10,079 \approx 11 \\
 S \text{ tulangan} &= \frac{b}{(jumlah tulangan - 1)} \\
 &= \frac{1000}{(11 - 1)} \\
 &= 100 \text{ mm} < 450 \text{ mm} < 3 \times \text{tebal pelat} \\
 &\quad (\text{SNI 2847 : 2013 pasal 7.6.5}) \\
 &= 100 \text{ mm} < 450 < 3 \times 1200 \\
 &= 100 < 450 < 3600 \text{ (OK)}
 \end{aligned}$$

\*Maka digunakan tulangan lentur arah X : D 25 – 100

- 2) Penulangan Lentur Longitudinal Arah y
- b = 1000 mm
- Mu SAP = 6,599 tm

$$\begin{aligned}
 \beta i &= 65990000 \text{ Nmm} \\
 &= 0,85 - \left( \frac{0,05 x (f'c - 30)}{7} \right) \\
 &= 0,7071 > 0,65 (\text{OK}) \text{ SNI 2847:2013} \\
 &\text{pasal 10.2.7.3}
 \end{aligned}$$

Persyaratan rasio tulangan dan faktor momen pemikul maksimum sesuai SNI 2847:2013 pasal 9.3.2.1:

$$\begin{aligned}
 \rho_{bal} &= \frac{0,85 x \beta i x f'c}{f_y} - \left( \frac{600}{600 + f_y} \right) \\
 &= \frac{0,85 x 0,7071 x 50}{410} - \left( \frac{600}{600 + 410} \right) \\
 &= 0,0435 \\
 \rho_{max} &= 0,75 \times \rho_{bal} \\
 &= 0,75 \times 0,0435 \\
 &= 0,0327 \\
 \rho_{min} &= 1,4 \times f_y \\
 &= 1,4 \times 410 \\
 &= 0,00341 \\
 m &= \frac{f_y}{0,85 x f'c} \\
 &= \frac{410}{0,85 x 50} \\
 &= 9,647
 \end{aligned}$$

Faktor reduksi lentur ( SNI 2847:2013 psl 9.3.3)

$$\begin{aligned}
 M_n &= M_u / \Phi \\
 &= 65990000 / 0,9 \\
 &= 73322222,22 \text{ Nmm}
 \end{aligned}$$

$$\begin{aligned}
 R_n &= M_n / b d^2 \\
 &= 73322222,22 / (1000 \times 1122,5^2) \\
 &= 0,058191951
 \end{aligned}$$

$$\begin{aligned}
 \rho_{perlu} &= \frac{1}{m} x \left( 1 - 1 \sqrt{1 - \frac{2 x m x R_n}{f_y}} \right) \\
 &= \frac{1}{9,647} x \left( 1 - 1 \sqrt{1 - \frac{2 x 9,647 x 0,05819}{410}} \right)
 \end{aligned}$$

$$= 0,000142029$$

$$\begin{aligned} \text{Asmin} &= \frac{0,25 \times \sqrt{f'c} \times b \times d}{f_y} \\ &= \frac{0,25 \times \sqrt{50} \times 1000 \times 1122,5}{410} \\ &= 4839,8 \text{ mm}^2 \end{aligned}$$

$$\begin{aligned} \text{As Perlu} &= \rho_{perlu} \times b \times d \\ &= 0,000177874 \times 1000 \times 1122,5 \\ &= 199,663 \text{ mm}^2 \end{aligned}$$

Karena As perlu < As min, maka dipilih As min.

$$\begin{aligned} \text{n tulangan} &= \frac{\text{As min}}{0,25 \times \pi \times D^2} \\ &= \frac{4839,8}{0,25 \times \pi \times 25^2} \\ &= 9,86 \approx 10 \\ \text{S tulangan} &= \frac{b}{(\text{jumlah tulangan} - 1)} \\ &= \frac{1000}{(10 - 1)} \\ &= 110 \text{ mm} < 450 \text{ mm} < 3 \times \text{tebal pelat} \\ &\quad (\text{SNI 2847 : 2013 pasal 7.6.5}) \\ &= 110 \text{ mm} < 450 < 3 \times 1200 \\ &= 110 < 450 < 3600 \text{ (OK)} \end{aligned}$$

\*Maka digunakan tulangan lentur arah Y : D 25 - 110

### 3) Penulangan Susut Longitudinal Arah X dan Y

Luas tulangan susut / atas diambil sebesar 20 % dari tulangan lentur sehingga dapat dicari kebutuhan tulangan sebagai berikut:

#### Tulangan susut arah X,

$$\text{As pakai tulangan lentur} = 4947,59 \text{ mm}^2$$

$$\begin{aligned} \text{As pakai tulangan susut} &= 0,2 \times 4947,59 \\ &= 989,51 \text{ mm}^2 \end{aligned}$$

$$\text{n tulangan} = \frac{\text{As pakai}}{0,25 \times \pi \times D^2}$$

$$\begin{aligned}
 &= \frac{989,51}{0,25 \times \pi \times 25^2} \\
 &= 2,015 \approx 3 \text{ buah} \\
 \text{S tulangan} &= \frac{1000}{(3-1)} \\
 &= 500 < 450 \text{ mm} < 3 \times \text{tebal pelat} \\
 &\quad (\text{SNI 2847 : 2013 pasal 7.6.5}) \\
 &= 500 > 450 < 3600 \text{ (NOT OK)}
 \end{aligned}$$

Dicoba tulangan dengan diameter 16 mm, sehingga :

$$\begin{aligned}
 \text{n tulangan} &= \frac{\text{As pakai}}{0,25 \times \pi \times D^2} \\
 &= \frac{989,51}{0,25 \times \pi \times 16^2} \\
 &= 4,92 \approx 5 \text{ buah} \\
 \text{S tulangan} &= \frac{1000}{(5-1)} \\
 &= 250 < 450 \text{ mm} < 3 \times \text{tebal pelat} \\
 &\quad (\text{SNI 2847 : 2013 pasal 7.6.5}) \\
 &= 250 > 450 < 3600 \text{ (OK)}
 \end{aligned}$$

\*Maka digunakan tulangan susut arah X : D16 - 250

### Tulangan susut arah Y,

$$\begin{aligned}
 \text{As pakai tulangan lentur} &= 4839,800 \text{ mm}^2 \\
 \text{As pakai tulangan susut} &= 0,2 \times 4839,800 \\
 &= 967,96 \text{ mm}^2 \\
 \text{n tulangan} &= \frac{\text{As pakai}}{0,25 \times \pi \times D^2} \\
 &= \frac{967,96}{0,25 \times \pi \times 25^2} \\
 &= 1,97 \approx 2 \text{ buah} \\
 \text{S tulangan} &= \frac{1000}{(2-1)} \\
 &= 1000 > 450 \text{ mm} < 3 \times \text{tebal pelat} \\
 &\quad (\text{SNI 2847 : 2013 pasal 7.6.5})
 \end{aligned}$$

$$= 1000 > 450 < 3600 (\text{NOT OK})$$

Dicoba tulangan dengan diameter 16 mm, sehingga :

$$\begin{aligned} n \text{ tulangan} &= \frac{As \text{ pakai}}{0,25 \times \pi \times D^2} \\ &= \frac{967,96}{0,25 \times \pi \times 16^2} \\ &= 4,81 \approx 5 \text{ buah} \end{aligned}$$

$$S \text{ tulangan} = \frac{1000}{(5-1)}$$

$$\begin{aligned} &= 250 < 450 \text{ mm} < 3 \times \text{tebal pelat} \\ &(\text{SNI 2847 : 2013 pasal 7.6.5}) \\ &= 250 > 450 < 3600 (\text{OK}) \end{aligned}$$

\*Maka digunakan tulangan susut arah Y: D16 – 250

#### 4) Penulangan Geser Arah X dan Y

Cek terlebih dahulu apakah dibutuhkan tulangan geser atau tidak. Berikut kontrol tulangan geser sebagai berikut :

$$\begin{aligned} Vu \text{ SAP} &= 54,057 \text{ t} \\ &= 540570 \text{ N} \end{aligned}$$

Geser Ultimate Rencana Poer

$$\begin{aligned} Vu \text{ max} &= 0,5 \times \varphi \times \sqrt{f'c} \times b \times d \\ &= 0,5 \times 0,6 \times \sqrt{50} \times 1000 \times 1147,5 \\ &= 2.381.183 \text{ N} \end{aligned}$$

Faktor reduksi geser ( $\varphi$ ) diambil 0,6 berdasarkan SNI 2847:2013 pasal 9.3.3)

$Vu < Vu \text{ max}$ , maka poer pondasi dalam tidak perlu tulangan geser.

## **BAB X**

### **KESIMPULAN DAN SARAN**

#### **10.1 Kesimpulan**

Dari hasil perencanaan yang dilakukan pada Tugas Akhir ini, didapatkan beberapa kesimpulan yaitu :

1. Tinggi puncak *shore protection* didapatkan elevasi setinggi +4,78 m
2. Untuk mencapai tinggi final +4,78 m diperoleh Hinisial timbunan dan batu *shore protection* untuk tiap zona adalah sebagai berikut :
  - Timbunan
    - Zona 1 :  $Hi = 7,61\text{ m}$
    - Zona 2 :  $Hi = 7,81\text{ m}$
    - Zona 3 :  $Hi = 7,73\text{ m}$
  - *Shore Protection*
    - Zona 1 :  $Hi = 6,36\text{ m}$
    - Zona 2 :  $Hi = 6,63\text{ m}$
    - Zona 3 :  $Hi = 6,69\text{ m}$
3. Dari hasil perhitungan lama waktu pemampatan natural diperolah waktu pemampatan lebih dari 100 tahun (cukup lama) sehingga direncanakan PVD dengan pola, jarak, dan kedalaman dengan tebal *sandrain* ditetapkan 1 m semua zona adalah sebagai berikut :
  - Zona 1 = Segiempat ;  $S = 0,8\text{ m}$  ;  $L = 15\text{ m}$
  - Zona 2 = Segiempat ;  $S = 0,8\text{ m}$  ;  $L = 17\text{ m}$
  - Zona 3 = Segitiga ;  $S = 0,8\text{ m}$  ;  $L = 17\text{ m}$
4. Dimensi Stuktur *Shore Protection* :
  - Kemiringan = 1:2
  - *Primary Layer*:
    - Berat = 150 kg
    - Tebal = 1 m
    - Diameter batu = 0,4 m

- *Secondary layer:*  
Berat = 15 kg  
Tebal = 0,5 m  
Diameter batu = 0,2 m
  - *Toe Protection:*  
Berat = 20 kg  
Tebal = 1 m  
Diameter batu = 0,1 m
  - *Core Layer:*  
Berat = 1 kg  
Diameter batu = 0,1 m
5. Berdasarkan hasil analisa *slope stability* dengan kondisi peningkatan daya dukung tanah oleh program bantu GEO 5 didapatkan nilai SF lebih dari 1,5 untuk setiap zona sehingga aman terhadap *sliding* / kelongsoran.
  6. Perencanaan pondasi dangkal tangki timbun tidak disarankan karena penurunan yang dapat terjadi melebihi batas izin maksimum 5,08 cm yakni sebesar 1,212 m. Oleh sebab itu direncanakan pondasi dalam dengan *spunpile* diameter 0,8 m dengan jarak antar tiang 2 m dan kedalaman pemancangan hingga tanah keras sedalam 24 m.

## 10.2 Saran

Setelah dilakukan analisis dan perhitungan, penulis memberikan saran yaitu:

1. Data parameter tanah akan lebih baik jika diperoleh dari hasil tes laboratorium sehingga didapatkan parameter tanah tanpa harus mengkorelasi data NSPT terlebih dahulu.
2. Perlu adanya permodelan lebih mendalam mengenai analisis gelombang air laut sehingga didapatkan tinggi gelombang signifikan yang lebih akurat.

## DAFTAR PUSTAKA

- Das, Braja M. 1988. **Mekanika Tanah : Prinsip - Prinsip Rekayasa Geoteknik jilid 1.** Diterjemahkan oleh Noor Endah dan Indrasurya B.M. Surabaya: Erlangga.
- Das, Braja M. 1988. **Mekanika Tanah: Prinsip-Prinsip Rekayasa Geoteknik jilid 2.** Diterjemahkan oleh Noor Endah dan Indrasurya B.M. Surabaya: Erlangga.
- Das, Braja M. dan Sobhan, K. 2010. **Principles of Foundation Engineering Sixth Edition, SI. USA:** Cengage Learning.
- CERC. 1984. **Shore Protection Manual. US Army Corps of Engineers,** Washington.
- U.S. Navy. 1982. **Soil mechanics – design manual 7.1, Department of the Navy, Naval Facilities Engineering Command, U.S. Government Printing Office,** Washington, DC
- NAVFAC DM-7.01, September 1986, **Design Manual: Soil Mechanics,** Naval Facilities Engineering Command.
- NAVFAC DM-7.02, September 1986, **Design Manual: Soil Mechanics, Foundation & Earth Structures** Naval Facilities Engineering Command.
- Mochtar, Noor E. 2012. **Modul Ajar Metode Perbaikan Tanah.** Surabaya. Jurusan Teknik Sipil FTSP ITS.
- Wahjudi, Herman. 1999. **Daya Dukung Pondasi Dalam.** Jurusan Teknik Sipil FTSP ITS.
- Wahjudi, Herman. 1999. **Daya Dukung Pondasi Dangkal.** Jurusan Teknik Sipil FTSP ITS.
- Triatmodjo, Bambang. 2012. **Teknik Pantai.** Beta Offset, Yogyakarta.
- Triatmodjo, Bambang. 2011. **Perencanaan Bangunan Pantai.** Beta Offset, Yogyakarta.

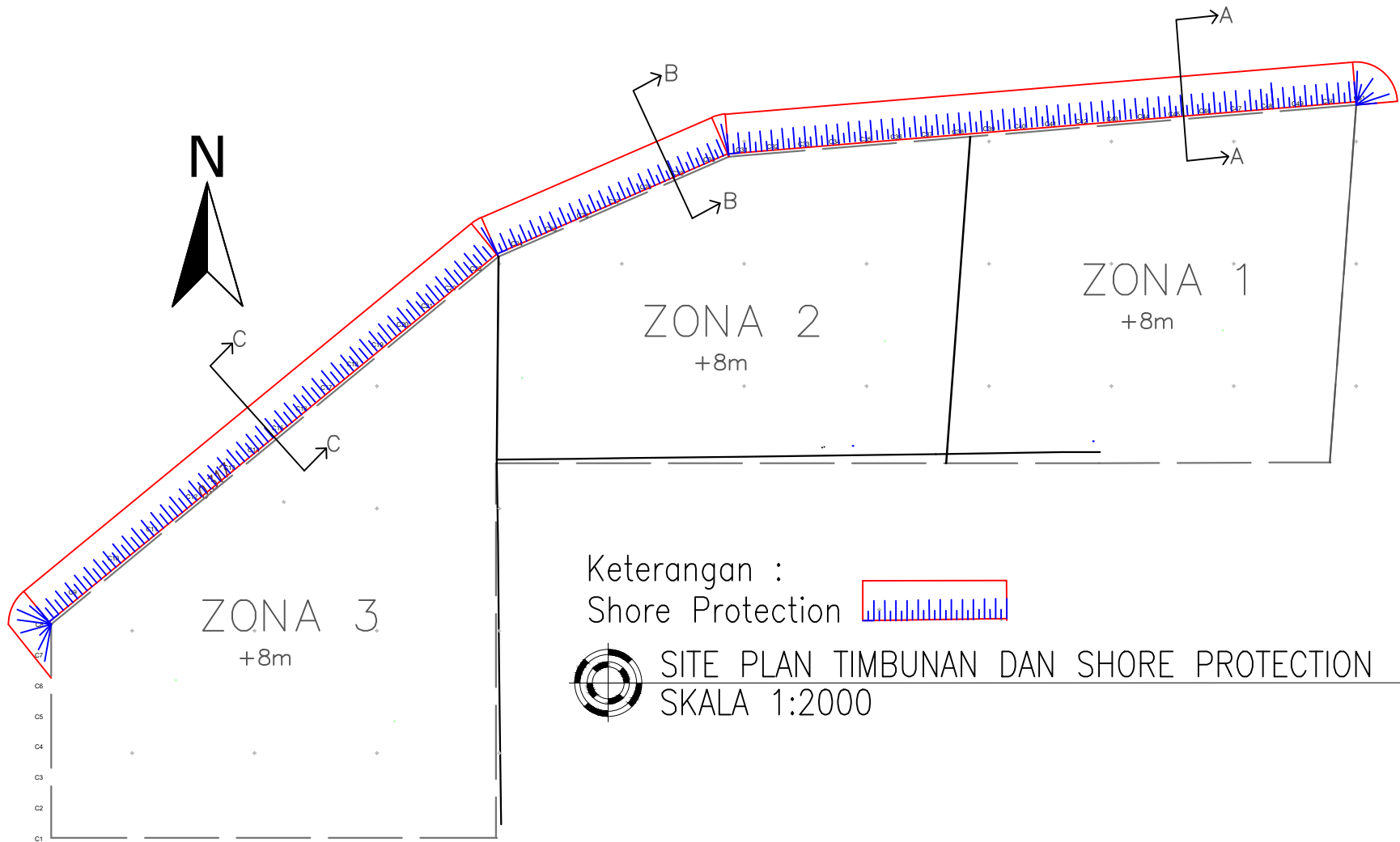
- Yuwono, Nur. 1992. **Dasar-Dasar Perencanaan Bangunan Pantai Volume VI**. Yogyakarta: Biro Penerbit Keluarga Mahasiswa Teknik Sipil Fakultas. Teknik UGM.
- Ameratunga et all. 2016. **Correlation of Soil and Rock Properties in Geotechnical Engineering**, Springer India, New Delhi.
- PUPR. 2019. **Kumpulan Korelasi Parameter Geoteknik dan Fondasi**. Jakarta.
- API 653, Appendix B. Thrid Edition, December2001, Adedum I, 2003. **Tank Inspection, Repair, Alteration, and Reconstruction**
- PPIUG 1987. **Pedoman Perencanaan Pembebanan Untuk Rumah Dan Gedung**
- SNI 1726-2012. **Tata Cara Perencanaan Ketahanan Gempa untuk Struktur Bangunan Gedung dan Non Gedung**
- SNI 2847-2013. **Tata Cara Perencanaan Struktur Beton untuk Bangunan Gedung**
- SNI 8460-2017. **Persyaratan Perancangan Geoteknik**
- Wahyu P, Kuswanda. 2016. **Perbaikan Tanah Lempung Lunak Metoda Preloading pada Pembangunan Infrastruktur Transportasi di Pulau Kalimantan**. Makalah
- Sari, I. P. 2017. **Perencanaan Perkuatan Tanah Pelabuhan Curah Cair Teluk Benoa, Bali**, p. 8. Available at: <http://repository.its.ac.id/45819/>
- Haq, M. F. 2017. **Perencanaan Timbunan Dan Konstruksi Penahan Tanah Untuk Terminal Penumpang Di Pelabuhan Bima, Nusa Tenggara Barat**, p. 8. Available at: <http://repository.its.ac.id/46227/>

## **LAMPIRAN**

“ Halaman ini sengaja dikosongkan “

**LAMPIRAN 1.1**  
Gambar Perencanaan

“ Halaman ini sengaja dikosongkan “



PROGRAM STUDI S-1 TEKNIK SIPIL  
DEPARTEMEN TEKNIK SIPIL  
FAKULTAS TEKNIK SIPIL,  
PERENCANAAN DAN KEBUMIAN  
INSTITUT TEKNOLOGI SEPULUH  
NOPEMBER  
SURABAYA  
2020

JUDUL TUGAS  
TUGAS AKHIR

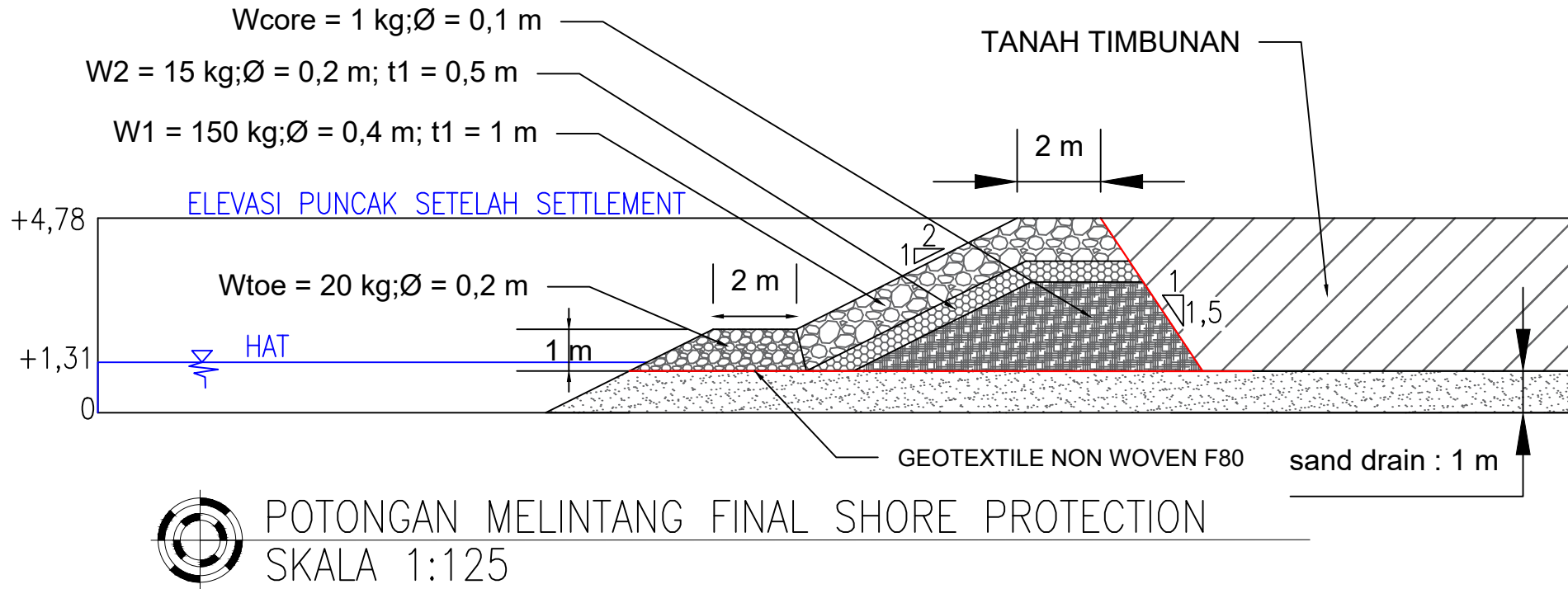
DOSEN PEMBIMBING  
Prof. Dr. Ir. Herman Wahyudi  
Musta'in Arif, ST. MT

NAMA/NRP MAHASISWA  
CANDRA OKTO RIAN DWI PUTRA  
0311164000033

JUDUL GAMBAR  
SITE PLAN TIMBUNAN DAN  
SHORE PROTECTION

SKALA  
1 : 2000

NO. GAMBAR  
1



PROGRAM STUDI S-1 TEKNIK SIPIL  
DEPARTEMEN TEKNIK SIPIL  
FAKULTAS TEKNIK SIPIL,  
PERENCANAAN DAN KEBUMIAN  
INSTITUT TEKNOLOGI SEPULUH  
NOPEMBER  
SURABAYA  
2020

JUDUL TUGAS

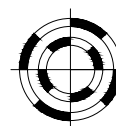
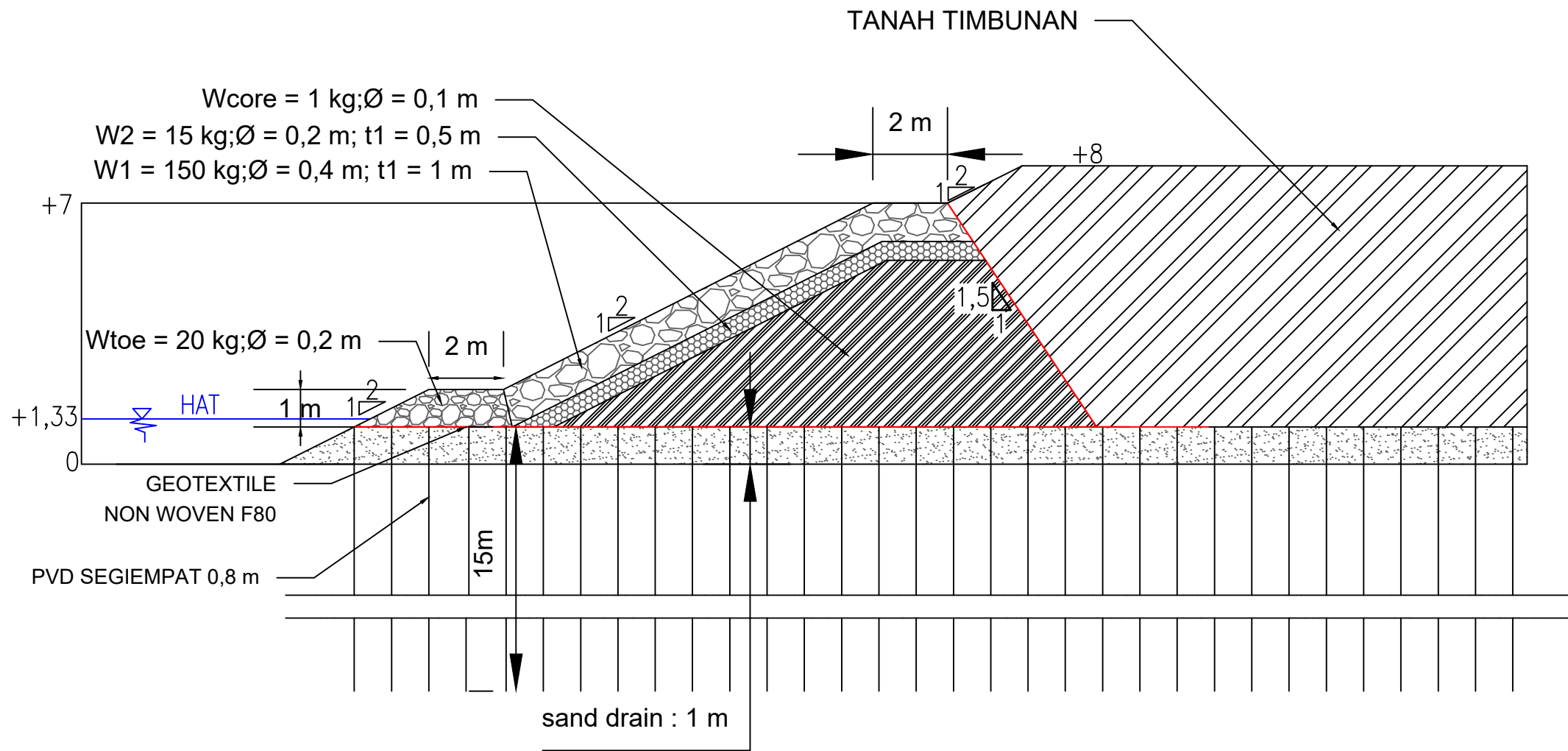
DOSEN PEMBIMBING  
Prof. Dr. Ir. Herman Wahyudi  
Musta'in Arif, ST. MT

NAMA/NRP MAHASISWA  
CANDRA OKTO RIAN DWI PUTRA  
0311164000033

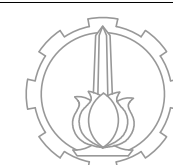
JUDUL GAMBAR  
POTONGAN TIPIKAL FINAL  
SHORE PROTECTION

SKALA  
1 : 150

NO. GAMBAR  
2



POTONGAN MELINTANG A-A  
SKALA 1:125



PROGRAM STUDI S-1 TEKNIK SIPIL  
DEPARTEMEN TEKNIK SIPIL  
FAKULTAS TEKNIK SIPIL,  
PERENCANAAN DAN KEBUMIAN  
INSTITUT TEKNOLOGI SEPULUH  
NOPEMBER  
SURABAYA  
2020

JUDUL TUGAS  
TUGAS AKHIR

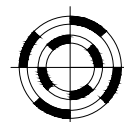
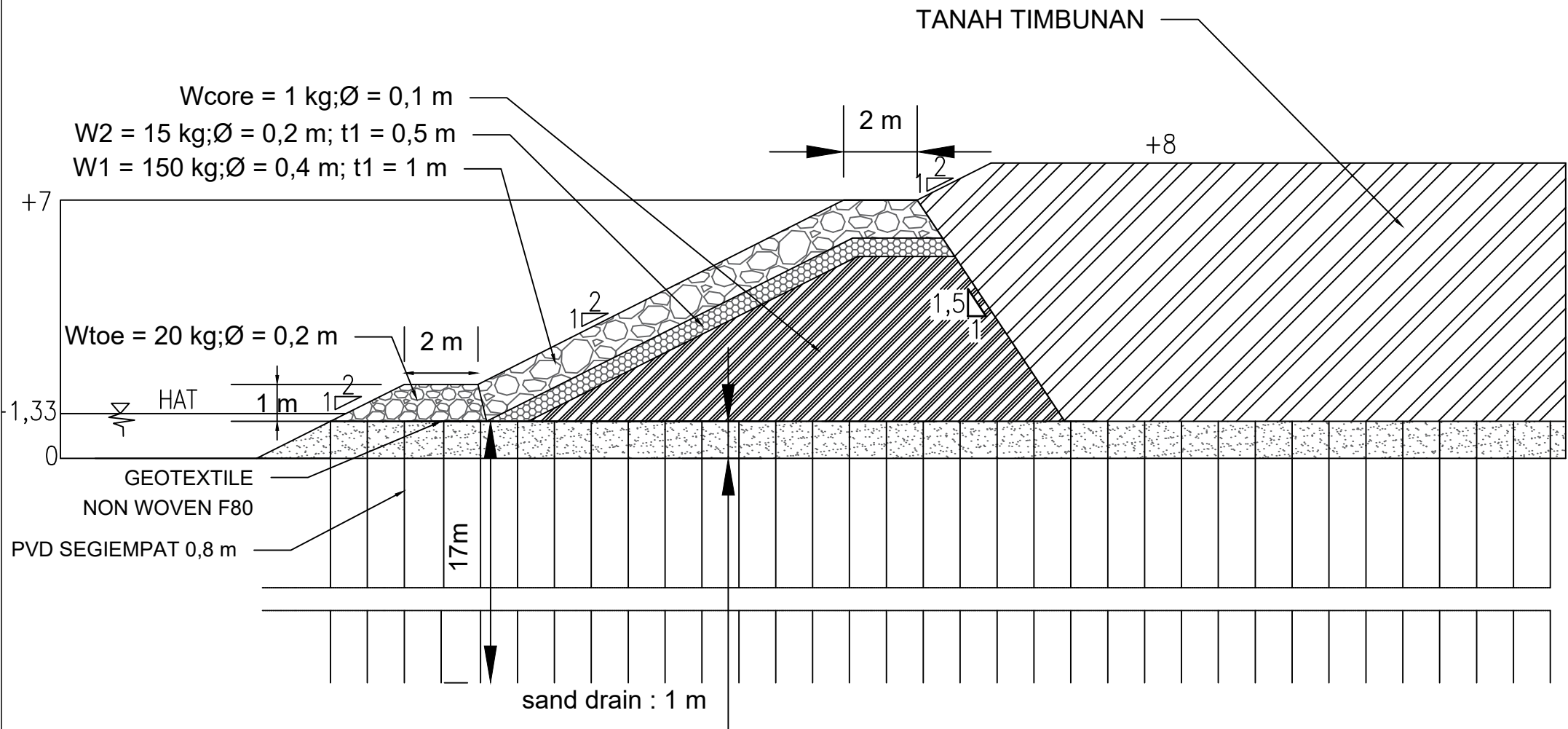
DOSEN PEMBIMBING  
Prof. Dr. Ir. Herman Wahyudi  
Musta'in Arif, ST. MT

NAMA/NRP MAHASISWA  
CANDRA OKTO RIAN DWI PUTRA  
0311164000033

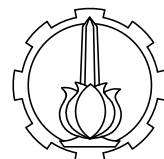
JUDUL GAMBAR  
POTONGAN TIPIKAL  
PELAKSANAAN SHORE  
PROTECION A-A  
(ZONA 1)

SKALA  
1 : 150  
3

	JUDUL TUGAS	DOSEN PEMBIMBING	NAMA/NRP MAHASISWA	JUDUL GAMBAR	SKALA	NO. GAMBAR
	TUGAS AKHIR	Prof. Dr. Ir. Herman Wahyudi Musta'in Arif, ST. MT	CANDRA OKTO RIAN DWI PUTRA 0311164000033	POTONGAN TIPIKAL PELAKSANAAN SHORE PROTECION A-A (ZONA 1)	1 : 150	3



POTONGAN MELINTANG B-B  
SKALA 1:125



PROGRAM STUDI S-1 TEKNIK SIPIL  
DEPARTEMEN TEKNIK SIPIL  
FAKULTAS TEKNIK SIPIL,  
PERENCANAAN DAN KEBUMIAN  
INSTITUT TEKNOLOGI SEPULUH  
NOPEMBER  
SURABAYA  
2020

JUDUL TUGAS  
TUGAS AKHIR

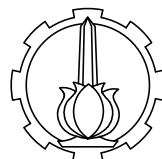
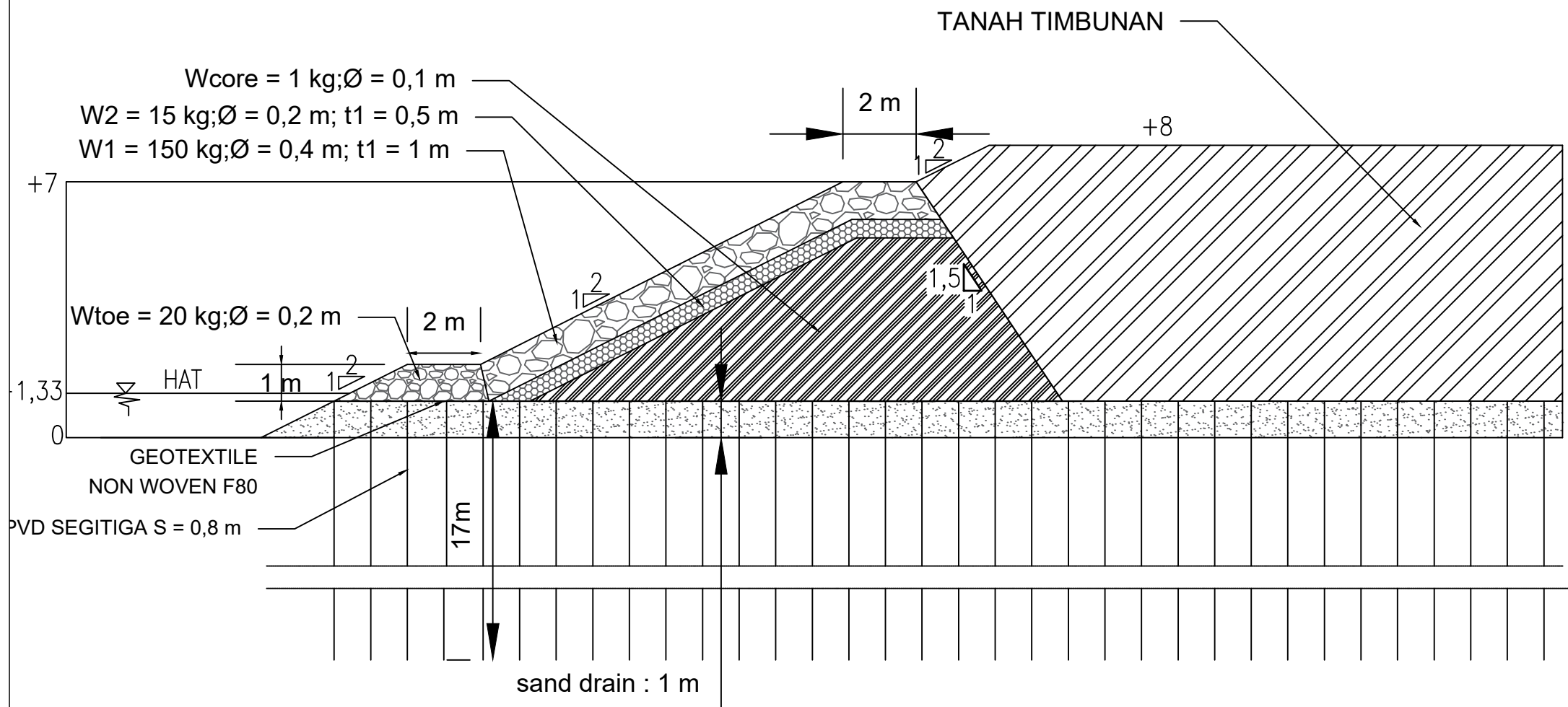
DOSEN PEMBIMBING  
Prof. Dr. Ir. Herman Wahyudi  
Musta'in Arif, ST. MT

NAMA/NRP MAHASISWA  
CANDRA OKTO RIAN DWI PUTRA  
0311164000033

JUDUL GAMBAR  
POTONGAN TIPIKAL  
PELAKSANAAN SHORE  
PROTECION B-B  
(ZONA 2)

SKALA  
1 : 150

NO. GAMBAR  
4



PROGRAM STUDI S-1 TEKNIK SIPIL  
 DEPARTEMEN TEKNIK SIPIL  
 FAKULTAS TEKNIK SIPIL,  
 PERENCANAAN DAN KEBUMIAN  
 INSTITUT TEKNOLOGI SEPULUH  
 NOPEMBER  
 SURABAYA  
 2020

JUDUL TUGAS  
 TUGAS AKHIR

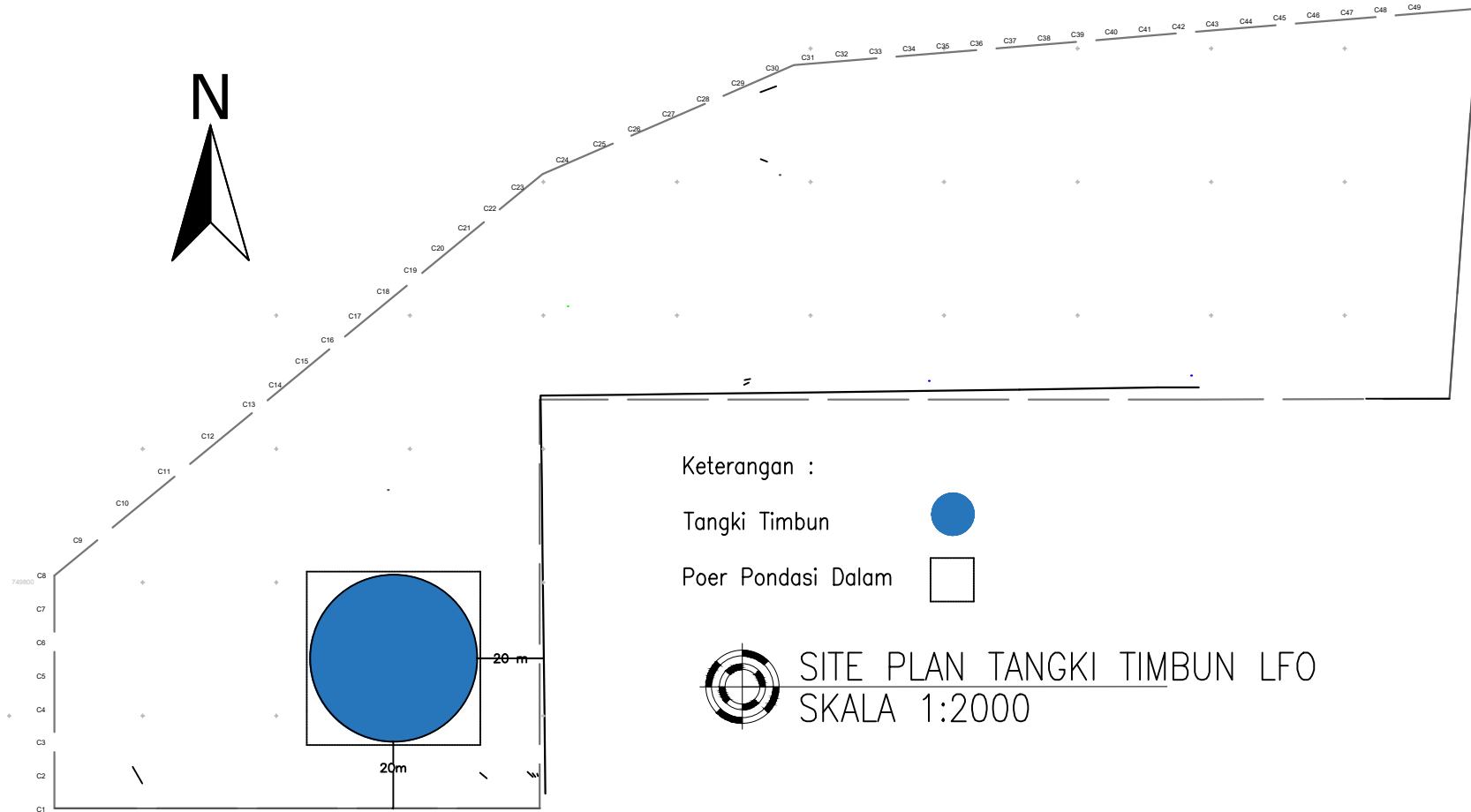
DOSEN PEMBIMBING  
 Prof. Dr. Ir. Herman Wahyudi  
 Musta'in Arif, ST. MT

NAMA/NRP MAHASISWA  
 CANDRA OKTO RIAN DWI PUTRA  
 0311164000033

JUDUL GAMBAR  
 POTONGAN TIPIKAL  
 PELAKSANAAN SHORE  
 PROTECION C-C  
 (ZONA 3)

SKALA  
 1 : 125

NO. GAMBAR  
 5



PROGRAM STUDI S-1 TEKNIK SIPIL  
DEPARTEMEN TEKNIK SIPIL  
FAKULTAS TEKNIK SIPIL,  
PERENCANAAN DAN KEBUMIAN  
INSTITUT TEKNOLOGI SEPULUH  
NOPEMBER  
SURABAYA  
2020

JUDUL TUGAS  
**TUGAS AKHIR**

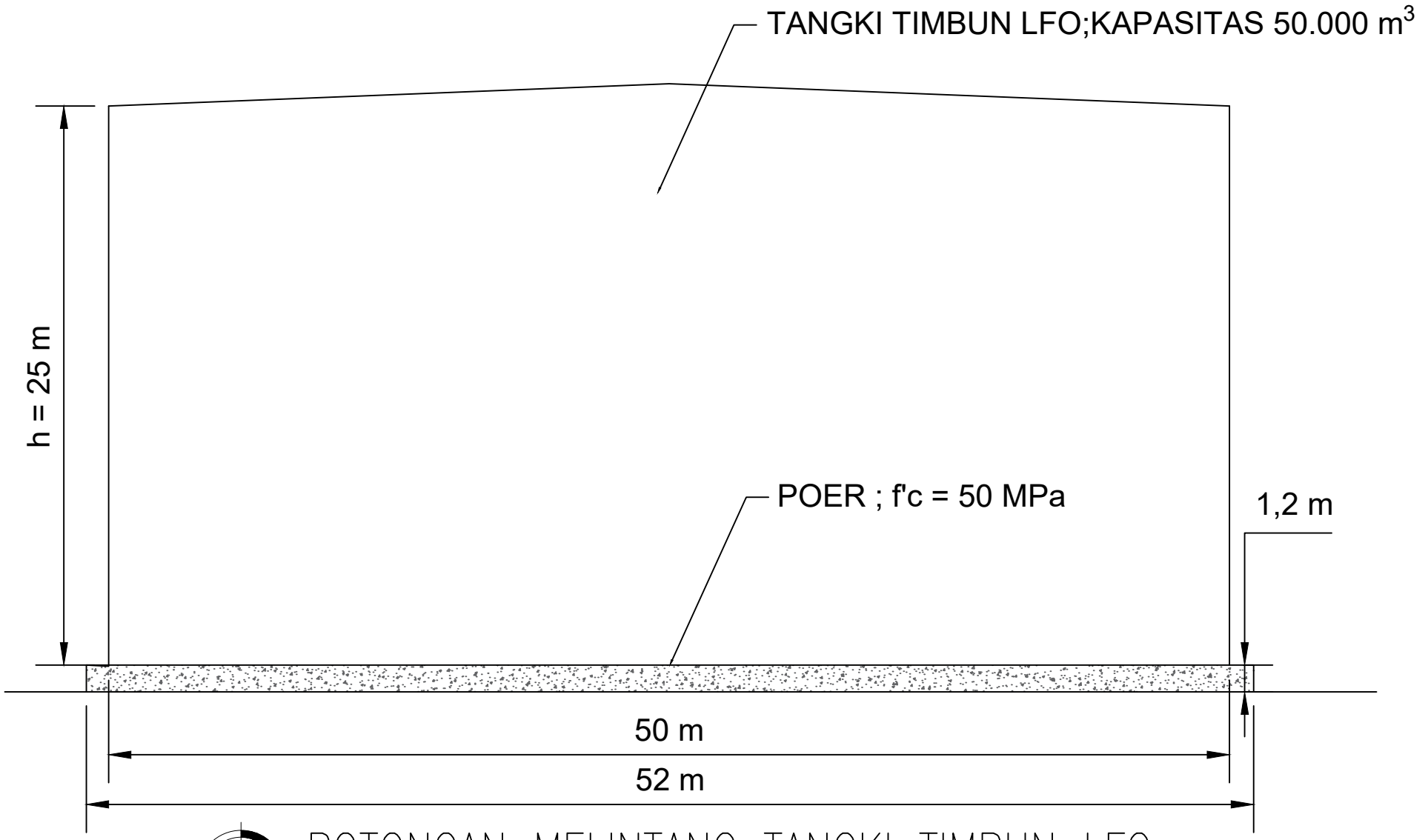
DOSEN PEMBIMBING  
Prof. Dr. Ir. Herman Wahyudi  
Musta'in Arif, ST. MT

NAMA/NRP MAHASISWA  
CANDRA OKTO RIAN DWI PUTRA  
0311164000033

JUDUL GAMBAR  
SITE PLAN TANGKI TIMBUN

SKALA  
1 : 2000

NO. GAMBAR  
6



PROGRAM STUDI S-1 TEKNIK SIPIL  
 DEPARTEMEN TEKNIK SIPIL  
 FAKULTAS TEKNIK SIPIL,  
 PERENCANAAN DAN KEBUMIAN  
 INSTITUT TEKNOLOGI SEPULUH  
 NOPEMBER  
 SURABAYA  
 2020

JUDUL TUGAS  
TUGAS AKHIR

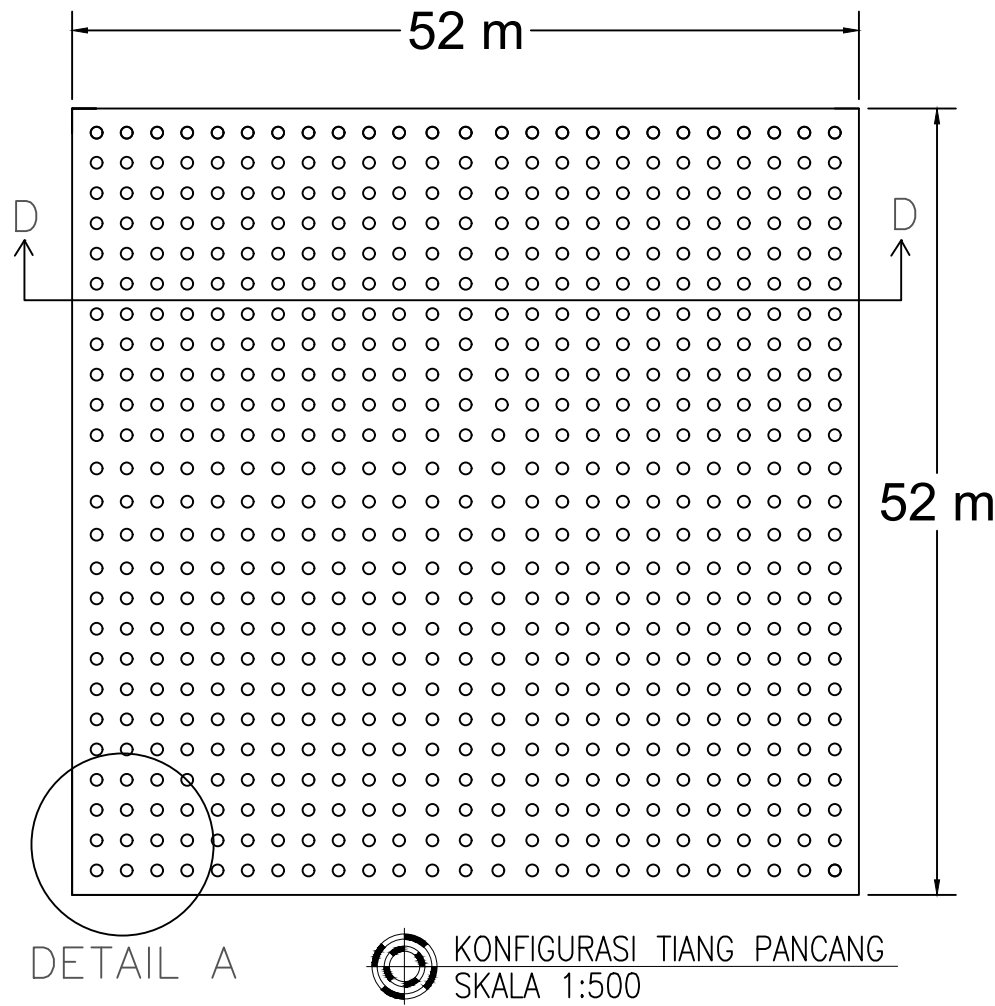
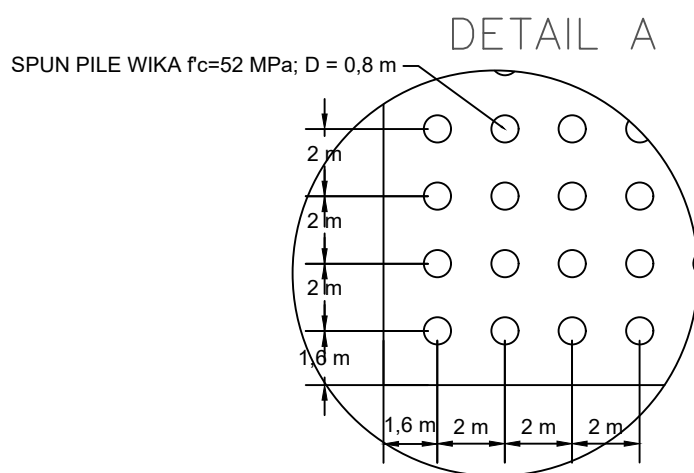
DOSEN PEMBIMBING  
Prof. Dr. Ir. Herman Wahyudi  
Musta'in Arif, ST. MT

NAMA/NRP MAHASISWA  
CANDRA OKTO RIAN DWI PUTRA  
0311164000033

JUDUL GAMBAR  
POTONGAN MELINTANG  
TANGKI TIMBUN

SKALA  
1 : 125  
7

	JUDUL TUGAS	DOSEN PEMBIMBING	NAMA/NRP MAHASISWA	JUDUL GAMBAR	SKALA	NO. GAMBAR
	TUGAS AKHIR	Prof. Dr. Ir. Herman Wahyudi Musta'in Arif, ST. MT	CANDRA OKTO RIAN DWI PUTRA 0311164000033	POTONGAN MELINTANG TANGKI TIMBUN	1 : 125	7



PROGRAM STUDI S-1 TEKNIK SIPIL  
DEPARTEMEN TEKNIK SIPIL  
FAKULTAS TEKNIK SIPIL,  
PERENCANAAN DAN KEBUMIAN  
INSTITUT TEKNOLOGI SEPULUH  
NOPEMBER  
SURABAYA  
2020

JUDUL TUGAS  
TUGAS AKHIR

DOSEN PEMBIMBING  
Prof. Dr. Ir. Herman Wahyudi  
Musta'in Arif, ST. MT

NAMA/NRP MAHASISWA  
CANDRA OKTO RIAN DWI PUTRA  
0311164000033

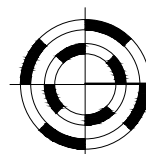
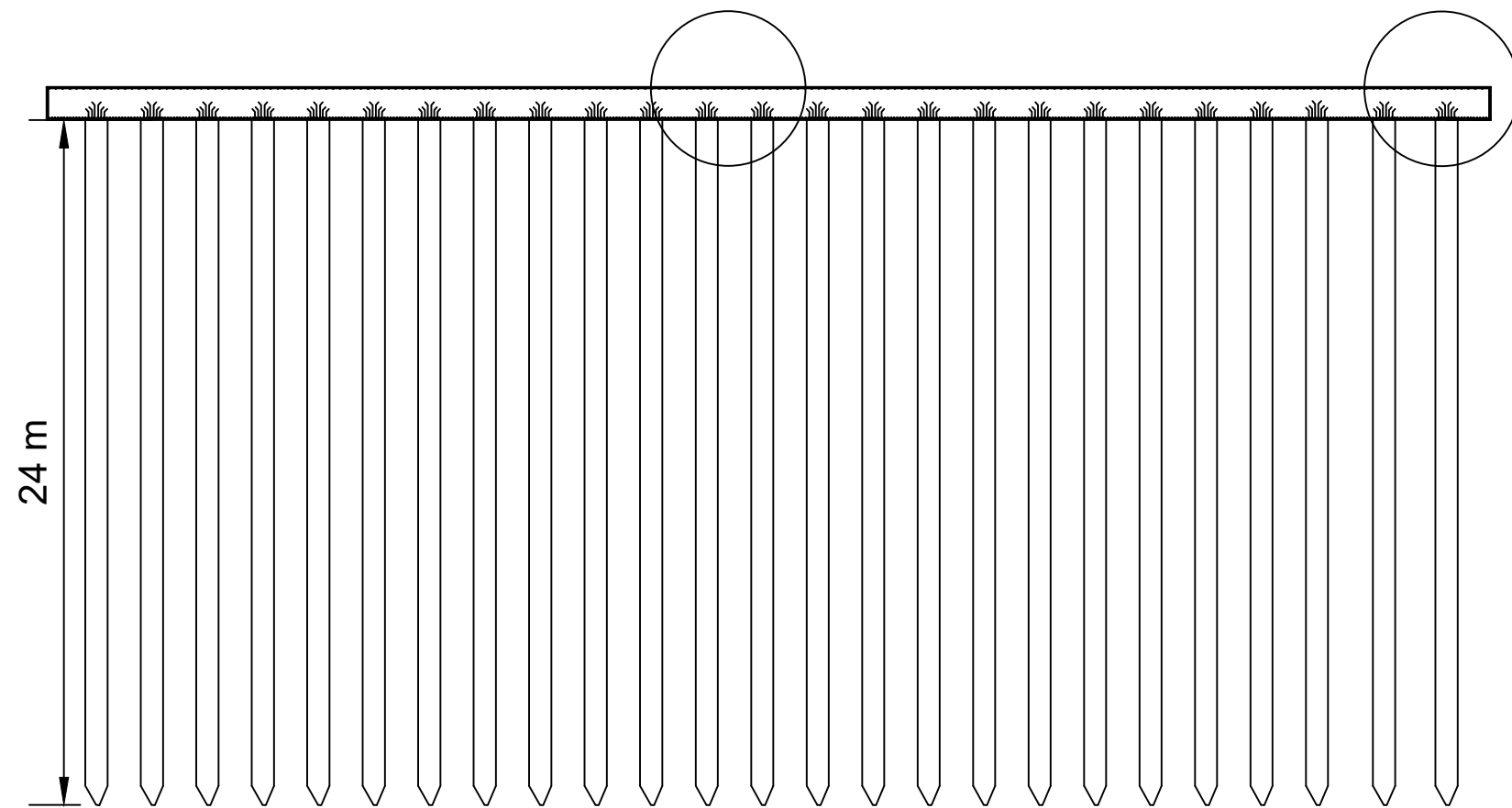
JUDUL GAMBAR  
KONFIGURASI TIANG PANCANG

SKALA  
1 : 500  
8

	JUDUL TUGAS	DOSEN PEMBIMBING	NAMA/NRP MAHASISWA	JUDUL GAMBAR	SKALA	NO. GAMBAR
	TUGAS AKHIR	Prof. Dr. Ir. Herman Wahyudi Musta'in Arif, ST. MT	CANDRA OKTO RIAN DWI PUTRA 0311164000033	KONFIGURASI TIANG PANCANG	1 : 500	8

# DETAIL B

# DETAIL C

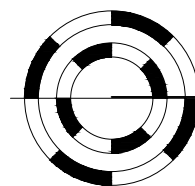
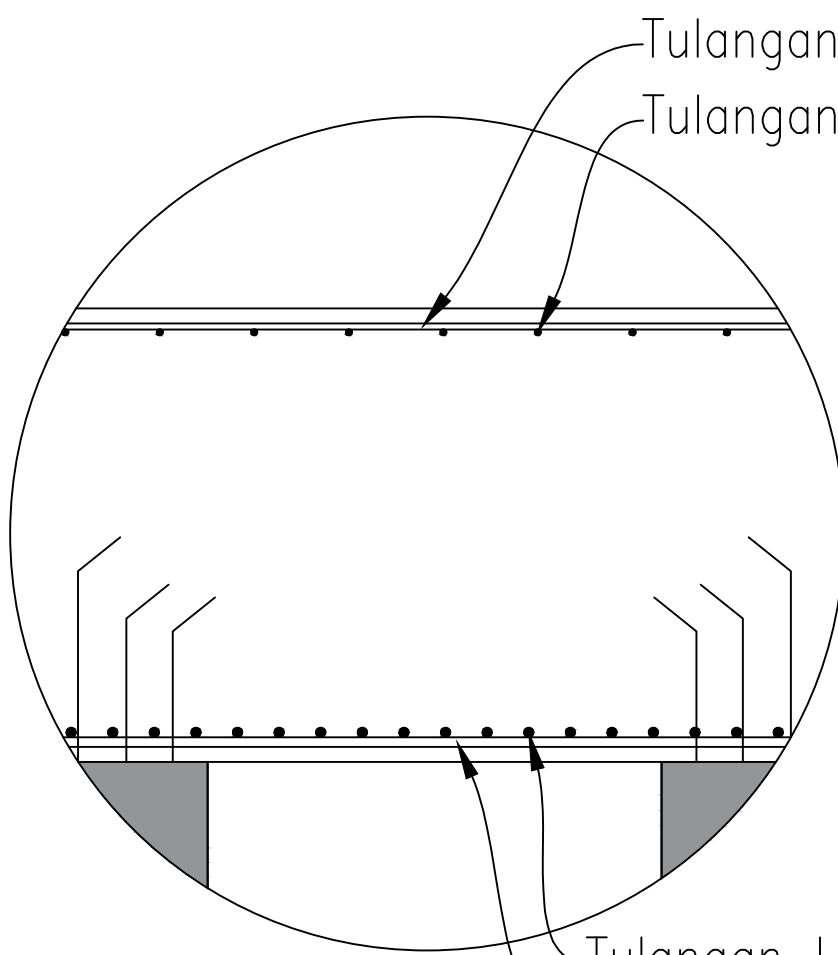


POTONGAN D-D  
SKALA 1:125



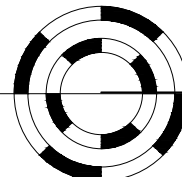
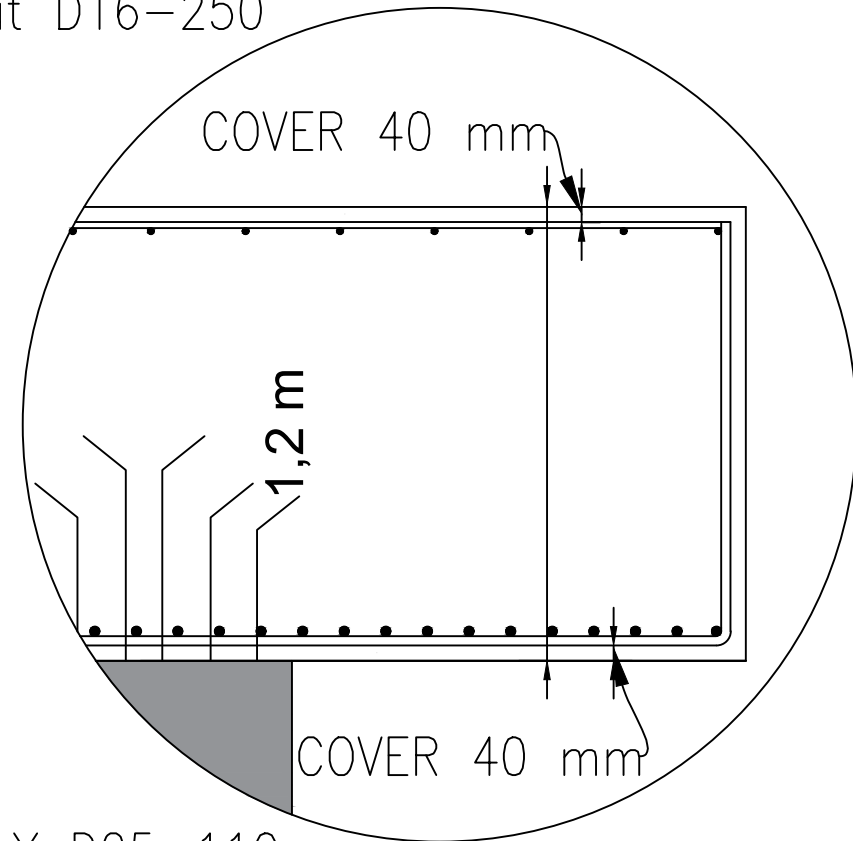
PROGRAM STUDI S-1 TEKNIK SIPIL  
DEPARTEMEN TEKNIK SIPIL  
FAKULTAS TEKNIK SIPIL,  
PERENCANAAN DAN KEBUMIAN  
INSTITUT TEKNOLOGI SEPULUH  
NOPEMBER  
SURABAYA  
2020

JUDUL TUGAS	DOSEN PEMBIMBING	NAMA/NRP MAHASISWA	JUDUL GAMBAR	SKALA	NO. GAMBAR
TUGAS AKHIR	Prof. Dr. Ir. Herman Wahyudi Musta'in Arif, ST. MT	CANDRA OKTO RIAN DWI PUTRA 0311164000033	POTONGAN D-D PONDASI DALAM	1 : 125	9



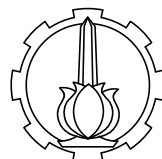
DETAIL B

SKALA 1:20



DETAIL C

SKALA 1:20



PROGRAM STUDI S-1 TEKNIK SIPIL  
DEPARTEMEN TEKNIK SIPIL  
FAKULTAS TEKNIK SIPIL,  
PERENCANAAN DAN KEBUMIAN  
INSTITUT TEKNOLOGI SEPULUH  
NOPEMBER  
SURABAYA  
2020

JUDUL TUGAS

TUGAS AKHIR

DOSEN PEMBIMBING

Prof. Dr. Ir. Herman Wahyudi  
Musta'in Arif, ST. MT

NAMA/NRP MAHASISWA

CANDRA OKTO RIAN DWI PUTRA  
0311164000033

JUDUL GAMBAR

PENULANGAN POER

SKALA

1 : 200

NO. GAMBAR

10

## LAMPIRAN 1.2

a. Data Bor Log (BH 1)



BORE LOG

Bore No. : BH - 1  
Project : Site Development Regasifikasi Sorong  
Client : PT PLN (Persero) Unit Induk Pembangunan Papua  
Location : PLTNG SORONG  
STA : -  
GWLMAT : -

GPS (UTM)	X =	750140
	Y =	9887230
Diameter of Bore	:	73 mm
Diameter of Casing	:	89 mm
Date	Start	6 Mei 2019
	Finish	7 Mei 2019

DEPTH (m)	BORE LOG	Standard Penetration Test (SPT) N / 30 cm	DESCRIPTION	COLOUR	UDS Depth SPT Depth			N1 (0-15)	N2 (15-30)	N3 (30-49)	N-SPT (Nc2-Nq)
					N1	N2	N3				
0		0 20 40 60 80	Lanau kelempungan berorganik batu karang	Coklat Abu-Abu							
1					1.50 - 2.00 m UDS						
2					2.00 - 2.45 m SPT	0 / 15	1 / 15	1 / 15	1 / 15	2	
3			Lanau kelempungan batu karang	Abu-Abu	3.50 - 4.00 m UDS						
4					4.00 - 4.45 m SPT	1 / 15	1 / 15	1 / 15	1 / 15	2	
5					5.50 - 6.00 m UDS						
6					6.00 - 6.45 m SPT	2 / 15	2 / 15	4 / 15	6 / 15	6	
7					7.50 - 8.00 m UDS						
8			Lanau kelempungan	Abu-Abu	8.00 - 8.45 m SPT	2 / 15	3 / 15	6 / 15	9 / 15	9	
9					9.50 - 10.00 m UDS						
10					10.00 - 10.45 m SPT	2 / 15	4 / 15	4 / 15	8 / 15	8	
11					11.50 - 12.00 m UDS						
12					12.00 - 12.45 m SPT	4 / 15	6 / 15	8 / 15	14 / 15	14	
13					13.50 - 14.00 m UDS						
14					14.00 - 14.45 m SPT	4 / 15	8 / 15	9 / 15	17 / 15	17	
15					15.50 - 16.00 m UDS						
16					16.00 - 16.45 m SPT	6 / 15	9 / 15	12 / 15	21 / 15	21	
17			Lanau kelempungan berpasir	Abu-Abu	17.50 - 18.00 m UDS						
18					18.00 - 18.45 m SPT	14 / 15	23 / 15	36 / 15	59 / 15	59	
19					19.50 - 20.00 m UDS						
20					20.00 - 20.45 m SPT	16 / 15	26 / 15	34 / 15	60 / 15	60	
21			Lanau kelempungan berpasir halus	Abu-Abu	21.50 - 22.00 m UDS						
22					22.00 - 22.45 m SPT	19 / 15	26 / 15	34 / 15	60 / 15	60	
23					23.50 - 24.00 m UDS						
24					24.00 - 24.45 m SPT	21 / 15	24 / 15	36 / 15	60 / 15	60	
25					25.50 - 26.00 m UDS						
26					26.00 - 26.45 m SPT	17 / 15	22 / 15	24 / 15	46 / 15	46	
27			Lanau kelempungan	Abu-Abu	27.50 - 28.00 m UDS						
28					28.00 - 28.45 m SPT	19 / 15	23 / 15	26 / 15	49 / 15	49	
29					29.50 - 30.00 m UDS						
30					30.00 - 30.45 m SPT	21 / 15	22 / 15	29 / 15	51 / 15	51	

## b. Data Bor Log (BH 2)



### BORE LOG

DEPTH (m)	BORE LOG	Standard Penetration Test (SPT) N / 30 cm	DESCRIPTION	COLOUR	UDS Depth SPT Depth		N1 (0-15) Nz (15-30)	N2 (30-45)	N-SPT (N2/N3)
					UDS	SPT			
0		0 20 40 60 80							
1			Lanau kelempungan berorganik	Coklat Abu-Abu	1.50 - 2.00 m UDS 2.00 - 2.45 m SPT		0 / 15	0 / 15	1 / 15 1
2					3.50 - 4.00 m UDS 4.00 - 4.45 m SPT		0 / 15	1 / 15	1 / 15 2
3					5.50 - 6.00 m UDS 6.00 - 6.45 m SPT		1 / 15	1 / 15	1 / 15 2
4					7.50 - 8.00 m UDS 8.00 - 8.45 m SPT		1 / 15	1 / 15	2 / 15 3
5					9.50 - 10.00 m UDS 10.00 - 10.45 m SPT		1 / 15	2 / 15	2 / 15 4
6					11.50 - 12.00 m UDS 12.00 - 12.45 m SPT		2 / 15	2 / 15	4 / 15 6
7									
8									
9									
10									
11									
12									
13									
14									
15									
16			Lanau kelempungan	Abu-Abu	13.50 - 14.00 m UDS 14.00 - 14.45 m SPT		2 / 15	4 / 15	7 / 15 11
17					15.50 - 16.00 m UDS 16.00 - 16.45 m SPT		4 / 15	6 / 15	11 / 15 17
18					17.50 - 18.00 m UDS 18.00 - 18.45 m SPT		6 / 15	10 / 15	12 / 15 22
19					19.50 - 20.00 m UDS 20.00 - 20.45 m SPT		5 / 15	11 / 15	14 / 15 25
20					21.50 - 22.00 m UDS 22.00 - 22.45 m SPT		8 / 15	13 / 15	16 / 15 29
21									
22			Lanau kelempungan berpasir halus	Abu-Abu	23.50 - 24.00 m UDS 24.00 - 24.45 m SPT		14 / 15	19 / 15	26 / 15 45
23			Lanau kelempungan berpasir kerikil	Abu-Abu					
24									
25									
26									
27									
28			Lanau kelempungan	Abu-Abu	25.50 - 26.00 m UDS 26.00 - 26.45 m SPT		16 / 15	21 / 15	26 / 15 47
29					27.50 - 28.00 m UDS 28.00 - 28.45 m SPT		18 / 15	20 / 15	27 / 15 47
30					29.50 - 30.00 m UDS 30.00 - 30.45 m SPT		19 / 15	22 / 15	27 / 15 49

### c. Data Bor Log (BH 3)



#### BORE LOG

Bore No. : BH - 3  
 Project : Site Development Regasiifikasi Sorong  
 Client : PT PLN (Persero) Unit Induk Pembangunan Papua  
 Location : PLTNG SORONG  
 STA : -  
 GWL/MAT : -

GPS (UTM) X = 749905  
 Y = 9887155  
 Diameter of Bore : 73 mm  
 Diameter of Casing : 89 mm  
 Date Start : 10 Mei 2019  
 Finish : 11 Mei 2019

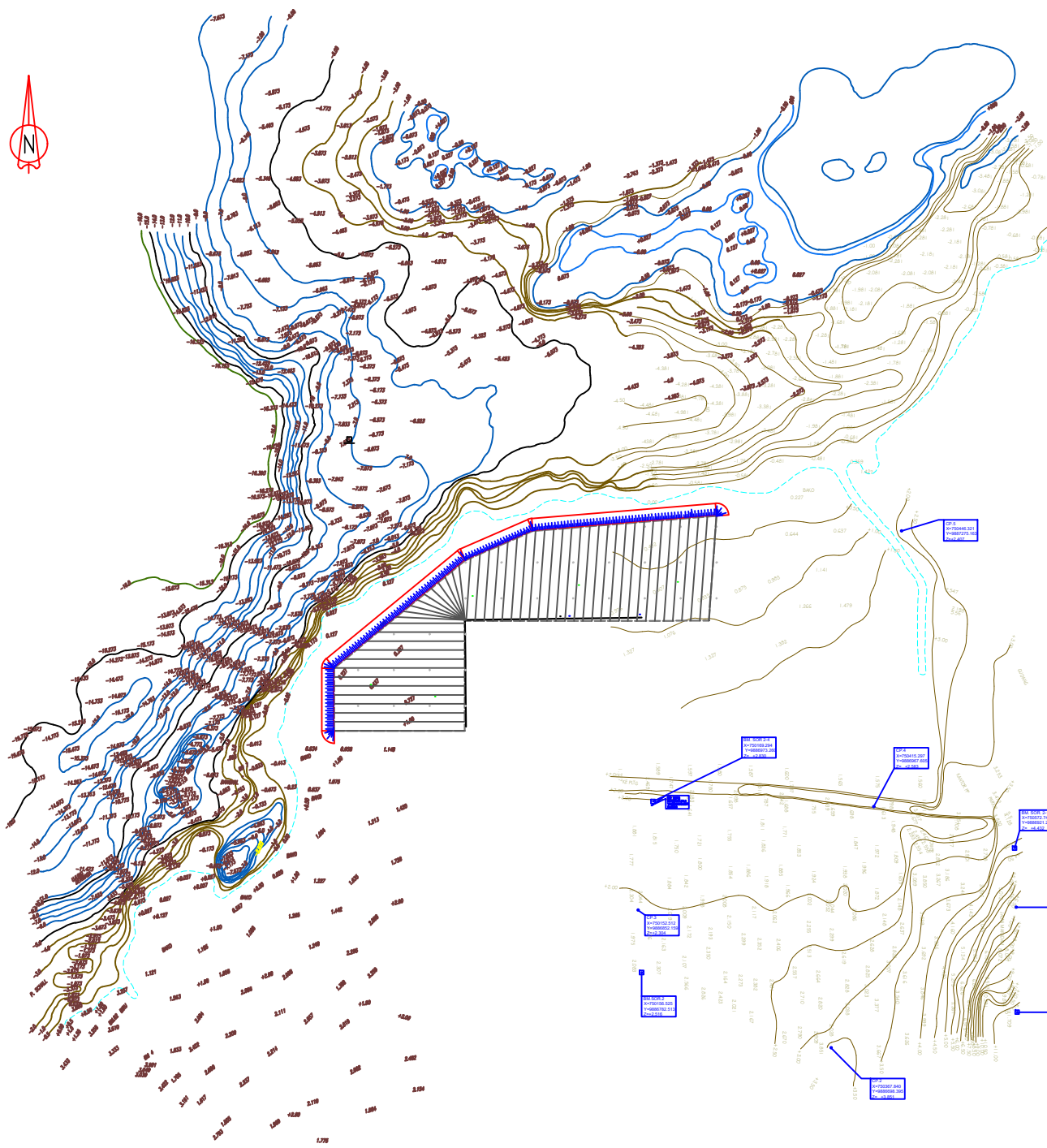
DEPTH (m)	BORE LOG	Standard Penetration Test (SPT) N / 30 cm	DESCRIPTION	COLOUR	UDS Depth			N-SPT (N2+N3)
					SPT Depth	N1 (0-15)	N2 (15-30)	
0			Lanau kelempungan berorganik	Coklat Abu-Abu				
1								
2		2			1.50 - 2.00 m UDS	1 / 15	1 / 15	1 / 15
3					2.00 - 2.45 m SPT			
4		4			3.50 - 4.00 m UDS	1 / 15	2 / 15	2 / 15
5					4.00 - 4.45 m SPT			
6		2			5.50 - 6.00 m UDS	1 / 15	1 / 15	1 / 15
7					6.00 - 6.45 m SPT			
8		3			7.50 - 8.00 m UDS	1 / 15	1 / 15	2 / 15
9					8.00 - 8.45 m SPT			
10		4			9.50 - 10.00 m UDS	2 / 15	2 / 15	2 / 15
11					10.00 - 10.45 m SPT			
12		5			11.50 - 12.00 m UDS	2 / 15	2 / 15	4 / 15
13					12.00 - 12.45 m SPT			
14					13.50 - 14.00 m UDS	2 / 15	2 / 15	3 / 15
15					14.00 - 14.45 m SPT			
16		21			15.50 - 16.00 m UDS	6 / 15	9 / 15	12 / 15
17					16.00 - 16.45 m SPT			
18			Lanau kelempungan karang sedikit berpasir	Abu-Abu	17.50 - 18.00 m UDS	6 / 15	11 / 15	13 / 15
19					18.00 - 18.45 m SPT			
20		24			19.50 - 20.00 m UDS	8 / 15	12 / 15	16 / 15
21					20.00 - 20.45 m SPT			
22					21.50 - 22.00 m UDS	10 / 15	14 / 15	18 / 15
23					22.00 - 22.45 m SPT			
24		28			23.50 - 24.00 m UDS	16 / 15	24 / 15	35 / 15
25					24.00 - 24.45 m SPT			
26		32			25.50 - 26.00 m UDS	32 / 15	60 / 15	60
27					26.00 - 26.45 m SPT			
28		35			27.50 - 28.00 m UDS	9 / 15	14 / 15	21 / 15
29					28.00 - 28.45 m SPT			
30		47	Lanau berpasir berbatu kerikil	Abu-Abu	29.50 - 30.00 m UDS	18 / 15	22 / 15	25 / 15
					30.00 - 30.45 m SPT			

“ Halaman ini sengaja dikosongkan “

### **LAMPIRAN 1.3**

Peta Topografi Perluasan Lahan PLTMG 50 MW, SORONG

“ Halaman ini sengaja dikosongkan “



REFERENCE DRAWINGS	
DRAWING NUMBER	DRAWING TITLE

NOTES :

ID	COORDINATE		
	X (mE)	Y (mS)	Z (m MSL)
BM SOR2 - 1	750572.748	9886921.299	+4.432
BM SOR2 - 2	750575.569	9886738.265	+11.709
BM SOR2 - 3	750156.525	9886782.513	+2.516
BM SOR2 - 4	750169.294	9886973.269	+2.830
CP SOR2 - 1	750574.423	9886855.377	+7.072
CP SOR2 - 2	750366.800	9886764.232	+3.851
CP SOR2 - 3	750152.512	9886852.159	+2.304
CP SOR2 - 3	750574.423	9886855.377	+7.072
CP SOR2 - 4	750446.321	9887275.163	+2.407

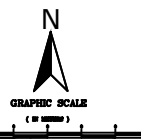
NO.	DATE	DESCRIPTION	BY	CHIEF	SENIOR SUPERV.	SENIOR SUPERV.	APPROV.
		PT. PLN ( PERSERO )					
		KANTOR PUSAT					
		PT. PLN ( PERSERO )					
		PUSAT ENGINERING KETENAGAUSTRIKAN					
PROJECT :		SITE INVESTIGATION STUDY OF					
		PLTG/MG/GU SORONG - 2 (50 MW)					
TITLE :		TOPOGRAPHY LAYOUT					
BIDANG	PEMBANDIT	DESIGNED	SCALE	DATE			
DRAWN		REVIEWED			DIM	A3	
CHECKED		APPROVED			HJM		
DRAWN NO :					REV.		

**LAMPIRAN 1.4**

Peta Layout Perluasan Lahan PLTMG 50 MW, SORONG

“ Halaman ini sengaja dikosongkan “

PETA TOPOGRAFI  
DI SORONG



GRAPHIC SCALE  
1 : 1.500

LEGENDA

- Garis Kontur
- Irigasi
- Batas Lahan
- Pagar
- Grid
- Titik Bor
- Titik Soundir
- Bench Mark (BM)

DIGAMBAR

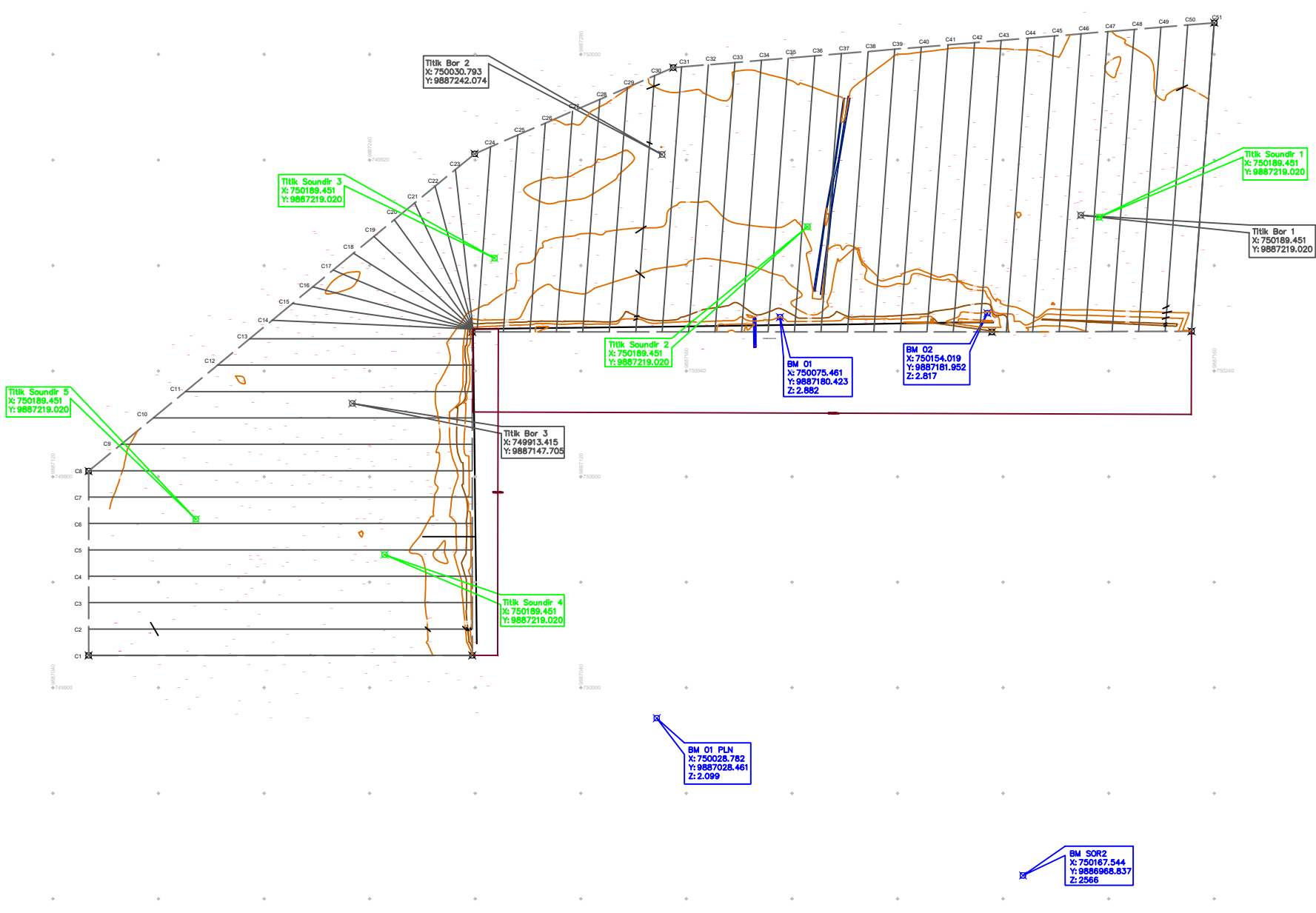
DIPERIKSA

DISETUJUI



PT. PLN (Persero)  
Unit Induk Pembangunan Papua

FOR REFERENCE ONLY



**LAMPIRAN 1.5**

Input Parameter Data Tanah Program Bantu GEO 5

“ Halaman ini sengaja dikosongkan “

## Slope stability analysis

### Input data

#### Project

Task : SLOPE STABILITY ZONA 1

Date : 28/05/2020

#### Settings

Standard - safety factors

#### Stability analysis

Earthquake analysis : Standard

Verification methodology : Safety factors (ASD)

Safety factors		
Permanent design situation		
Safety factor :	SF <sub>s</sub> =	1,50 [-]

#### Soil parameters

##### TIMBUNAN

Unit weight :  $\gamma$  = 18,00 kN/m<sup>3</sup>

Stress-state : effective

Angle of internal friction :  $\varphi_{ef}$  = 30,00 °

Cohesion of soil :  $c_{ef}$  = 6,67 kPa

Saturated unit weight :  $\gamma_{sat}$  = 18,00 kN/m<sup>3</sup>

##### SAND DRAIN

Unit weight :  $\gamma$  = 18,00 kN/m<sup>3</sup>

Stress-state : effective

Angle of internal friction :  $\varphi_{ef}$  = 31,00 °

Cohesion of soil :  $c_{ef}$  = 6,67 kPa

Saturated unit weight :  $\gamma_{sat}$  = 18,00 kN/m<sup>3</sup>

##### Shore Protection

Unit weight :  $\gamma$  = 24,00 kN/m<sup>3</sup>

Stress-state : effective

## SLOPE STABILITY ZONA 1

Angle of internal friction :  $\varphi_{ef} = 35,00^\circ$   
Cohesion of soil :  $c_{ef} = 0,00 \text{ kPa}$   
Saturated unit weight :  $\gamma_{sat} = 24,00 \text{ kN/m}^3$

### 4

Unit weight :  $\gamma = 14,91 \text{ kN/m}^3$   
Stress-state : effective  
Angle of internal friction :  $\varphi_{ef} = 2,00^\circ$   
Cohesion of soil :  $c_{ef} = 3,33 \text{ kPa}$   
Saturated unit weight :  $\gamma_{sat} = 14,91 \text{ kN/m}^3$

### 5

Unit weight :  $\gamma = 15,84 \text{ kN/m}^3$   
Stress-state : effective  
Angle of internal friction :  $\varphi_{ef} = 9,33^\circ$   
Cohesion of soil :  $c_{ef} = 9,21 \text{ kPa}$   
Saturated unit weight :  $\gamma_{sat} = 15,84 \text{ kN/m}^3$

### 6

Unit weight :  $\gamma = 15,84 \text{ kN/m}^3$   
Stress-state : effective  
Angle of internal friction :  $\varphi_{ef} = 9,33^\circ$   
Cohesion of soil :  $c_{ef} = 15,09 \text{ kPa}$   
Saturated unit weight :  $\gamma_{sat} = 15,84 \text{ kN/m}^3$

### 7

Unit weight :  $\gamma = 16,60 \text{ kN/m}^3$   
Stress-state : effective  
Angle of internal friction :  $\varphi_{ef} = 10,00^\circ$   
Cohesion of soil :  $c_{ef} = 14,98 \text{ kPa}$   
Saturated unit weight :  $\gamma_{sat} = 16,60 \text{ kN/m}^3$

### 8

Unit weight :  $\gamma = 15,76 \text{ kN/m}^3$

Stress-state : effective  
 Angle of internal friction :  $\varphi_{ef} = 2,67^\circ$   
 Cohesion of soil :  $c_{ef} = 8,33 \text{ kPa}$   
 Saturated unit weight :  $\gamma_{sat} = 15,76 \text{ kN/m}^3$

**9**

Unit weight :  $\gamma = 16,31 \text{ kN/m}^3$   
 Stress-state : effective  
 Angle of internal friction :  $\varphi_{ef} = 9,33^\circ$   
 Cohesion of soil :  $c_{ef} = 12,05 \text{ kPa}$   
 Saturated unit weight :  $\gamma_{sat} = 16,31 \text{ kN/m}^3$

**10**

Unit weight :  $\gamma = 16,31 \text{ kN/m}^3$   
 Stress-state : effective  
 Angle of internal friction :  $\varphi_{ef} = 9,33^\circ$   
 Cohesion of soil :  $c_{ef} = 15,77 \text{ kPa}$   
 Saturated unit weight :  $\gamma_{sat} = 16,31 \text{ kN/m}^3$

**11**

Unit weight :  $\gamma = 16,80 \text{ kN/m}^3$   
 Stress-state : effective  
 Angle of internal friction :  $\varphi_{ef} = 10,00^\circ$   
 Cohesion of soil :  $c_{ef} = 16,99 \text{ kPa}$   
 Saturated unit weight :  $\gamma_{sat} = 16,80 \text{ kN/m}^3$

**12**

Unit weight :  $\gamma = 16,82 \text{ kN/m}^3$   
 Stress-state : effective  
 Angle of internal friction :  $\varphi_{ef} = 6,67^\circ$   
 Cohesion of soil :  $c_{ef} = 11,33 \text{ kPa}$   
 Saturated unit weight :  $\gamma_{sat} = 16,82 \text{ kN/m}^3$

**13**

## SLOPE STABILITY ZONA 1

Unit weight :  $\gamma = 16,93 \text{ kN/m}^3$   
 Stress-state : effective  
 Angle of internal friction :  $\varphi_{\text{ef}} = 10,00^\circ$   
 Cohesion of soil :  $C_{\text{ef}} = 14,41 \text{ kPa}$   
 Saturated unit weight :  $\gamma_{\text{sat}} = 16,93 \text{ kN/m}^3$

### 14

Unit weight :  $\gamma = 16,93 \text{ kN/m}^3$   
 Stress-state : effective  
 Angle of internal friction :  $\varphi_{\text{ef}} = 10,00^\circ$   
 Cohesion of soil :  $C_{\text{ef}} = 17,49 \text{ kPa}$   
 Saturated unit weight :  $\gamma_{\text{sat}} = 16,93 \text{ kN/m}^3$

### 15

Unit weight :  $\gamma = 18,40 \text{ kN/m}^3$   
 Stress-state : effective  
 Angle of internal friction :  $\varphi_{\text{ef}} = 10,67^\circ$   
 Cohesion of soil :  $C_{\text{ef}} = 20,31 \text{ kPa}$   
 Saturated unit weight :  $\gamma_{\text{sat}} = 18,40 \text{ kN/m}^3$

### 16

Unit weight :  $\gamma = 18,73 \text{ kN/m}^3$   
 Stress-state : effective  
 Angle of internal friction :  $\varphi_{\text{ef}} = 12,67^\circ$   
 Cohesion of soil :  $C_{\text{ef}} = 31,11 \text{ kPa}$   
 Saturated unit weight :  $\gamma_{\text{sat}} = 18,73 \text{ kN/m}^3$

### Reinforcements

No.	Point to the left		Point to the right		Length L [m]	Strength $R_t$ [kN/m]	Pull out resist.	End of reinf.
	x [m]	z [m]	x [m]	z [m]				
1	10,03	1,00	34,40	1,01	24,37	35,00	$C = 1,00$	Fixed
2	25,93	7,01	29,92	1,01	7,21	35,00	$C = 1,00$	Fixed

## SLOPE STABILITY ZONA 1

### Water

Water type : Pore pressure

No.	Pore pressure interface location	Coordinates of pore pressure interface points [m]				Pore press.	
		x	z	x	z	x	z
1	.	0,0	0,00	40,00	0,00		10,000

## Results (Stage of construction 1)

### Analysis 1 (stage 1)

#### Circular slip surface

Slip surface parameters									
Center :		x = 15,92	[m]	Angles :		$\alpha_1 = -40,23$	[°]		
z = 15,01		[m]		$\alpha_2 = 69,11$		[°]			
Radius : R = 19,66 [m]									
The slip surface after optimization.									

#### Reinforcement forces

Reinforcement Force [kN/m]

1                    0,19

2                    0,00

#### Slope stability verification (Bishop)

Sum of active forces :  $F_a = 230,41$  kN/m

Sum of passive forces :  $F_p = 370,45$  kN/m

Sliding moment :  $M_a = 4529,90$  kNm/m

Resisting moment :  $M_p = 7283,00$  kNm/m

Factor of safety = 1,61 > 1,50

**Slope stability ACCEPTABLE**

## Slope stability analysis

### Input data

#### Project

Task : SLOPE STABILITY ZONA 2

Date : 28/05/2020

#### Settings

Standard - safety factors

#### Stability analysis

Earthquake analysis : Standard

Verification methodology : Safety factors (ASD)

Safety factors		
Permanent design situation		
Safety factor :	SF <sub>s</sub> =	1,50 [-]

#### Soil parameters

##### TIMBUNAN

Unit weight :  $\gamma$  = 18,00 kN/m<sup>3</sup>

Stress-state : effective

Angle of internal friction :  $\varphi_{ef}$  = 30,00 °

Cohesion of soil :  $c_{ef}$  = 6,67 kPa

Saturated unit weight :  $\gamma_{sat}$  = 18,00 kN/m<sup>3</sup>

##### SAND DRAIN

Unit weight :  $\gamma$  = 18,00 kN/m<sup>3</sup>

Stress-state : effective

Angle of internal friction :  $\varphi_{ef}$  = 31,00 °

Cohesion of soil :  $c_{ef}$  = 6,67 kPa

Saturated unit weight :  $\gamma_{sat}$  = 18,00 kN/m<sup>3</sup>

##### Shore Protection

Unit weight :  $\gamma$  = 24,00 kN/m<sup>3</sup>

Stress-state : effective

## SLOPE STABILITY ZONA 2

Angle of internal friction :  $\varphi_{ef} = 35,00^\circ$   
Cohesion of soil :  $c_{ef} = 0,00 \text{ kPa}$   
Saturated unit weight :  $\gamma_{sat} = 24,00 \text{ kN/m}^3$

### 4

Unit weight :  $\gamma = 15,10 \text{ kN/m}^3$   
Stress-state : effective  
Angle of internal friction :  $\varphi_{ef} = 2,00^\circ$   
Cohesion of soil :  $c_{ef} = 4,00 \text{ kPa}$   
Saturated unit weight :  $\gamma_{sat} = 15,10 \text{ kN/m}^3$

### 5

Unit weight :  $\gamma = 15,87 \text{ kN/m}^3$   
Stress-state : effective  
Angle of internal friction :  $\varphi_{ef} = 9,33^\circ$   
Cohesion of soil :  $c_{ef} = 9,13 \text{ kPa}$   
Saturated unit weight :  $\gamma_{sat} = 15,87 \text{ kN/m}^3$

### 6

Unit weight :  $\gamma = 15,87 \text{ kN/m}^3$   
Stress-state : effective  
Angle of internal friction :  $\varphi_{ef} = 9,33^\circ$   
Cohesion of soil :  $c_{ef} = 14,25 \text{ kPa}$   
Saturated unit weight :  $\gamma_{sat} = 15,87 \text{ kN/m}^3$

### 7

Unit weight :  $\gamma = 16,06 \text{ kN/m}^3$   
Stress-state : effective  
Angle of internal friction :  $\varphi_{ef} = 9,33^\circ$   
Cohesion of soil :  $c_{ef} = 14,97 \text{ kPa}$   
Saturated unit weight :  $\gamma_{sat} = 16,06 \text{ kN/m}^3$

### 8

Unit weight :  $\gamma = 15,80 \text{ kN/m}^3$

Stress-state : effective  
 Angle of internal friction :  $\varphi_{ef} = 2,67^\circ$   
 Cohesion of soil :  $c_{ef} = 8,33 \text{ kPa}$   
 Saturated unit weight :  $\gamma_{sat} = 15,80 \text{ kN/m}^3$

**9**

Unit weight :  $\gamma = 16,20 \text{ kN/m}^3$   
 Stress-state : effective  
 Angle of internal friction :  $\varphi_{ef} = 9,33^\circ$   
 Cohesion of soil :  $c_{ef} = 12,05 \text{ kPa}$   
 Saturated unit weight :  $\gamma_{sat} = 16,20 \text{ kN/m}^3$

**10**

Unit weight :  $\gamma = 16,20 \text{ kN/m}^3$   
 Stress-state : effective  
 Angle of internal friction :  $\varphi_{ef} = 9,33^\circ$   
 Cohesion of soil :  $c_{ef} = 15,78 \text{ kPa}$   
 Saturated unit weight :  $\gamma_{sat} = 16,20 \text{ kN/m}^3$

**11**

Unit weight :  $\gamma = 16,20 \text{ kN/m}^3$   
 Stress-state : effective  
 Angle of internal friction :  $\varphi_{ef} = 10,00^\circ$   
 Cohesion of soil :  $c_{ef} = 18,30 \text{ kPa}$   
 Saturated unit weight :  $\gamma_{sat} = 16,20 \text{ kN/m}^3$

**12**

Unit weight :  $\gamma = 17,00 \text{ kN/m}^3$   
 Stress-state : effective  
 Angle of internal friction :  $\varphi_{ef} = 7,33^\circ$   
 Cohesion of soil :  $c_{ef} = 11,83 \text{ kPa}$   
 Saturated unit weight :  $\gamma_{sat} = 17,00 \text{ kN/m}^3$

**13**

## SLOPE STABILITY ZONA 2

Unit weight :  $\gamma = 17,02 \text{ kN/m}^3$   
 Stress-state : effective  
 Angle of internal friction :  $\varphi_{\text{ef}} = 10,00^\circ$   
 Cohesion of soil :  $C_{\text{ef}} = 14,61 \text{ kPa}$   
 Saturated unit weight :  $\gamma_{\text{sat}} = 17,02 \text{ kN/m}^3$

### 14

Unit weight :  $\gamma = 17,02 \text{ kN/m}^3$   
 Stress-state : effective  
 Angle of internal friction :  $\varphi_{\text{ef}} = 10,00^\circ$   
 Cohesion of soil :  $C_{\text{ef}} = 17,37 \text{ kPa}$   
 Saturated unit weight :  $\gamma_{\text{sat}} = 17,02 \text{ kN/m}^3$

### 15

Unit weight :  $\gamma = 17,17 \text{ kN/m}^3$   
 Stress-state : effective  
 Angle of internal friction :  $\varphi_{\text{ef}} = 10,67^\circ$   
 Cohesion of soil :  $C_{\text{ef}} = 20,63 \text{ kPa}$   
 Saturated unit weight :  $\gamma_{\text{sat}} = 17,17 \text{ kN/m}^3$

### 16

Unit weight :  $\gamma = 19,36 \text{ kN/m}^3$   
 Stress-state : effective  
 Angle of internal friction :  $\varphi_{\text{ef}} = 14,67^\circ$   
 Cohesion of soil :  $C_{\text{ef}} = 48,89 \text{ kPa}$   
 Saturated unit weight :  $\gamma_{\text{sat}} = 19,36 \text{ kN/m}^3$

### Reinforcements

No.	Point to the left		Point to the right		Length L [m]	Strength $R_t$ [kN/m]	Pull out resist.	End of reinf.
	x [m]	z [m]	x [m]	z [m]				
1	10,03	1,00	34,40	1,01	24,37	35,00	$C = 1,00$	Fixed
2	25,93	7,01	29,92	1,01	7,21	35,00	$C = 1,00$	Fixed

## SLOPE STABILITY ZONA 2

### Water

Water type : Pore pressure

No.	Pore pressure interface location	Coordinates of pore pressure interface points [m]				Pore press. [kPa]
		x	z	x	z	
1		0,00	0,00	40,00	0,00	10,000

### Results (Stage of construction 1)

#### Analysis 1 (stage 1)

##### Circular slip surface

Slip surface parameters					
Center :	x = 15,50	[m]	Angles :	$\alpha_1 = -47,25$	[°]
	z = 12,32	[m]		$\alpha_2 = 76,23$	[°]
Radius :	R = 18,15 [m]				
The slip surface after optimization.					

#### Reinforcement forces

##### Reinforcement Force [kN/m]

1	0,23
2	0,00

#### Slope stability verification (Bishop)

Sum of active forces :  $F_a = 233,48$  kN/m

Sum of passive forces :  $F_p = 378,68$  kN/m

Sliding moment :  $M_a = 4237,59$  kNm/m

Resisting moment :  $M_p = 6873,05$  kNm/m

Factor of safety = 1,62 > 1,50

**Slope stability ACCEPTABLE**

## Slope stability analysis

### Input data

#### Project

Task : SLOPE STABILITY ZONA 3

Date : 28/05/2020

#### Settings

Standard - safety factors

#### Stability analysis

Earthquake analysis : Standard

Verification methodology : Safety factors (ASD)

Safety factors		
Permanent design situation		
Safety factor :	SF <sub>s</sub> =	1,50 [-]

#### Soil parameters

##### TIMBUNAN

Unit weight :  $\gamma$  = 18,00 kN/m<sup>3</sup>

Stress-state : effective

Angle of internal friction :  $\varphi_{ef}$  = 30,00 °

Cohesion of soil :  $c_{ef}$  = 6,67 kPa

Saturated unit weight :  $\gamma_{sat}$  = 18,00 kN/m<sup>3</sup>

##### SAND DRAIN

Unit weight :  $\gamma$  = 18,00 kN/m<sup>3</sup>

Stress-state : effective

Angle of internal friction :  $\varphi_{ef}$  = 31,00 °

Cohesion of soil :  $c_{ef}$  = 6,67 kPa

Saturated unit weight :  $\gamma_{sat}$  = 18,00 kN/m<sup>3</sup>

##### Shore protection

Unit weight :  $\gamma$  = 24,00 kN/m<sup>3</sup>

Stress-state : effective

## SLOPE STABILITY ZONA 3

Angle of internal friction :  $\varphi_{ef} = 35,00^\circ$   
Cohesion of soil :  $c_{ef} = 0,00 \text{ kPa}$   
Saturated unit weight :  $\gamma_{sat} = 24,00 \text{ kN/m}^3$

### 4

Unit weight :  $\gamma = 15,11 \text{ kN/m}^3$   
Stress-state : effective  
Angle of internal friction :  $\varphi_{ef} = 2,00^\circ$   
Cohesion of soil :  $c_{ef} = 4,00 \text{ kPa}$   
Saturated unit weight :  $\gamma_{sat} = 15,11 \text{ kN/m}^3$

### 5

Unit weight :  $\gamma = 15,74 \text{ kN/m}^3$   
Stress-state : effective  
Angle of internal friction :  $\varphi_{ef} = 9,33^\circ$   
Cohesion of soil :  $c_{ef} = 9,38 \text{ kPa}$   
Saturated unit weight :  $\gamma_{sat} = 15,74 \text{ kN/m}^3$

### 6

Unit weight :  $\gamma = 15,74 \text{ kN/m}^3$   
Stress-state : effective  
Angle of internal friction :  $\varphi_{ef} = 9,33^\circ$   
Cohesion of soil :  $c_{ef} = 14,76 \text{ kPa}$   
Saturated unit weight :  $\gamma_{sat} = 15,74 \text{ kN/m}^3$

### 7

Unit weight :  $\gamma = 15,61 \text{ kN/m}^3$   
Stress-state : effective  
Angle of internal friction :  $\varphi_{ef} = 9,33^\circ$   
Cohesion of soil :  $c_{ef} = 15,44 \text{ kPa}$   
Saturated unit weight :  $\gamma_{sat} = 15,61 \text{ kN/m}^3$

### 8

Unit weight :  $\gamma = 15,80 \text{ kN/m}^3$

Stress-state : effective  
 Angle of internal friction :  $\varphi_{ef} = 2,67^\circ$   
 Cohesion of soil :  $c_{ef} = 8,33 \text{ kPa}$   
 Saturated unit weight :  $\gamma_{sat} = 15,80 \text{ kN/m}^3$

**9**

Unit weight :  $\gamma = 15,98 \text{ kN/m}^3$   
 Stress-state : effective  
 Angle of internal friction :  $\varphi_{ef} = 9,33^\circ$   
 Cohesion of soil :  $c_{ef} = 12,38 \text{ kPa}$   
 Saturated unit weight :  $\gamma_{sat} = 15,98 \text{ kN/m}^3$

**10**

Unit weight :  $\gamma = 15,98 \text{ kN/m}^3$   
 Stress-state : effective  
 Angle of internal friction :  $\varphi_{ef} = 9,33^\circ$   
 Cohesion of soil :  $c_{ef} = 16,43 \text{ kPa}$   
 Saturated unit weight :  $\gamma_{sat} = 15,98 \text{ kN/m}^3$

**11**

Unit weight :  $\gamma = 15,88 \text{ kN/m}^3$   
 Stress-state : effective  
 Angle of internal friction :  $\varphi_{ef} = 10,00^\circ$   
 Cohesion of soil :  $c_{ef} = 19,11 \text{ kPa}$   
 Saturated unit weight :  $\gamma_{sat} = 15,88 \text{ kN/m}^3$

**12**

Unit weight :  $\gamma = 17,50 \text{ kN/m}^3$   
 Stress-state : effective  
 Angle of internal friction :  $\varphi_{ef} = 8,00^\circ$   
 Cohesion of soil :  $c_{ef} = 12,33 \text{ kPa}$   
 Saturated unit weight :  $\gamma_{sat} = 17,50 \text{ kN/m}^3$

**13**

## SLOPE STABILITY ZONA 3

Unit weight :  $\gamma = 17,40 \text{ kN/m}^3$   
 Stress-state : effective  
 Angle of internal friction :  $\varphi_{\text{ef}} = 10,00^\circ$   
 Cohesion of soil :  $C_{\text{ef}} = 15,19 \text{ kPa}$   
 Saturated unit weight :  $\gamma_{\text{sat}} = 17,40 \text{ kN/m}^3$

### 14

Unit weight :  $\gamma = 17,40 \text{ kN/m}^3$   
 Stress-state : effective  
 Angle of internal friction :  $\varphi_{\text{ef}} = 10,00^\circ$   
 Cohesion of soil :  $C_{\text{ef}} = 18,04 \text{ kPa}$   
 Saturated unit weight :  $\gamma_{\text{sat}} = 17,40 \text{ kN/m}^3$

### 15

Unit weight :  $\gamma = 17,46 \text{ kN/m}^3$   
 Stress-state : effective  
 Angle of internal friction :  $\varphi_{\text{ef}} = 10,67^\circ$   
 Cohesion of soil :  $C_{\text{ef}} = 21,48 \text{ kPa}$   
 Saturated unit weight :  $\gamma_{\text{sat}} = 17,46 \text{ kN/m}^3$

### 16

Unit weight :  $\gamma = 19,58 \text{ kN/m}^3$   
 Stress-state : effective  
 Angle of internal friction :  $\varphi_{\text{ef}} = 15,33^\circ$   
 Cohesion of soil :  $C_{\text{ef}} = 54,81 \text{ kPa}$   
 Saturated unit weight :  $\gamma_{\text{sat}} = 19,58 \text{ kN/m}^3$

### Reinforcements

No.	Point to the left		Point to the right		Length L [m]	Strength $R_t$ [kN/m]	Pull out resist.	End of reinf.
	x [m]	z [m]	x [m]	z [m]				
1	10,03	1,00	34,40	1,01	24,37	35,00	$C = 1,00$	Fixed
2	25,93	7,01	29,92	1,01	7,21	35,00	$C = 1,00$	Fixed

**Water**

Water type : Pore pressure

No.	Pore pressure interface location	Coordinates of pore pressure interface points [m]				Pore press. [kPa]
		x	z	x	z	
1		0,00	0,00	40,00	0,00	10,000

**Results (Stage of construction 1)****Analysis 1 (stage 1)****Circular slip surface**

Slip surface parameters					
Center :	x = 15,97 [m]		Angles :	$\alpha_1 = -54,15 [^\circ]$	
	z = 9,43 [m]			$\alpha_2 = 84,90 [^\circ]$	
Radius :	R = 16,10 [m]				

The slip surface after optimization.

**Reinforcement forces**

Reinforcement Force [kN/m]

1                    0,27

2                    0,00

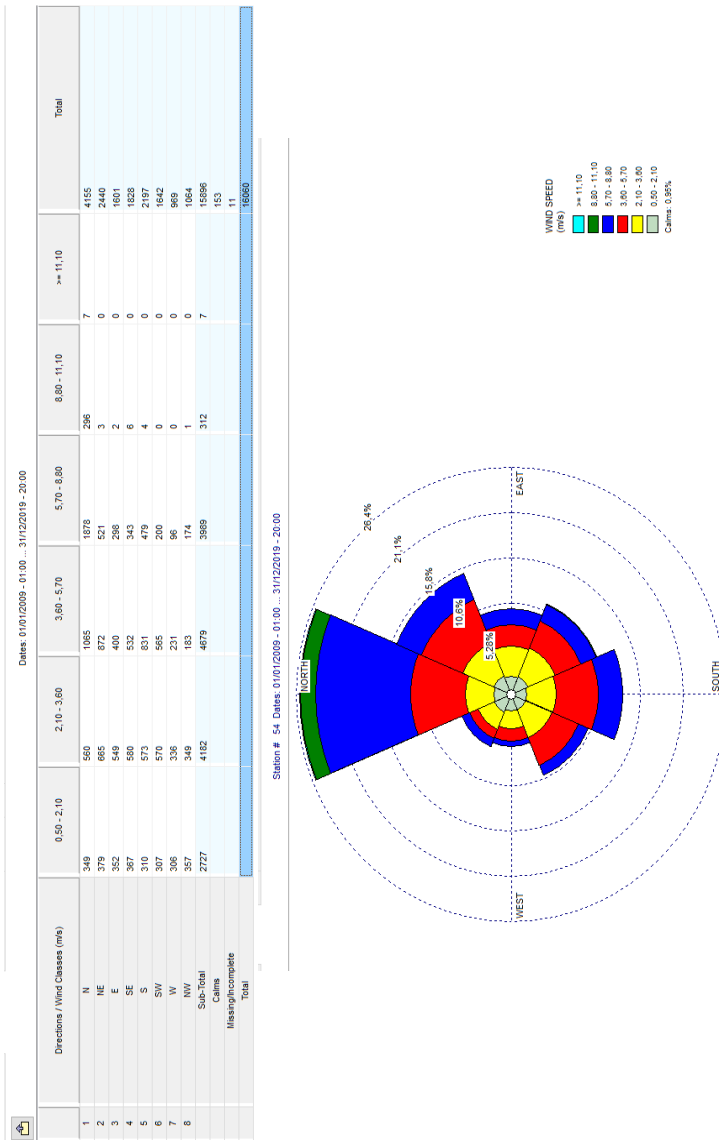
**Slope stability verification (Bishop)**Sum of active forces :  $F_a = 262,24 \text{ kN/m}$ Sum of passive forces :  $F_p = 403,10 \text{ kN/m}$ Sliding moment :  $M_a = 4222,01 \text{ kNm/m}$ Resisting moment :  $M_p = 6489,99 \text{ kNm/m}$ 

Factor of safety = 1,54 &gt; 1,50

**Slope stability ACCEPTABLE**

## LAMPIRAN 5.1

### Hasil Olah Data Angin 2009 – 2010



**LAMPIRAN 5.2**  
**Hasil Perhitungan Fetch Efektif**

alfa	UTARA				BARAT LAUT				BARAT				BARAT DAYA				ARAH ANGIN			
	cos alfa	X (km)	X.Cos alfa	cos alfa	X (km)	X.Cos alfa	cos alfa	X (km)	X.Cos alfa	cos alfa	X (km)	X.Cos alfa	cos alfa	X (km)	X.Cos alfa	cos alfa	X (km)	X.Cos alfa		
42	0,74	0,00	0,00	0,74	22,36	16,61	0,74	87,77	65,23	0,74	8,16	6,06	0,74	36,24	26,93					
36	0,81	0,00	0,00	0,81	79,50	64,31	0,81	46,00	37,22	0,81	8,38	6,78	0,81	29,11	23,55					
30	0,87	0,00	0,00	0,87	79,98	69,26	0,87	46,27	40,07	0,87	8,48	7,34	0,87	19,98	17,30					
24	0,91	6,22	5,68	0,91	81,99	73,98	0,91	23,55	21,51	0,91	9,06	8,28	0,91	20,76	18,96					
18	0,95	8,62	8,20	0,95	80,00	76,08	0,95	11,45	10,89	0,95	8,67	8,25	0,95	17,44	16,58					
12	0,98	6,42	6,28	0,98	81,17	79,40	0,98	11,07	10,83	0,98	9,31	9,11	0,98	12,13	11,86					
6	0,99	10,56	10,50	0,99	84,81	84,35	0,99	11,93	11,86	0,99	25,93	25,79	0,99	0,32	0,31					
0	1,00	17,24	17,24	1,00	89,42	89,42	1,00	12,39	12,39	1,00	22,37	22,37	1,00	6,32	6,32					
6	0,99	79,37	78,93	0,99	83,33	82,77	0,99	8,44	8,40	0,99	30,00	29,84	0,99	0,00	0,00					
12	0,98	83,05	81,24	0,98	49,38	48,31	0,98	8,60	8,41	0,98	23,52	23,01	0,98	0,00	0,00					
18	0,95	79,72	75,82	0,95	25,06	23,83	0,95	8,58	8,16	0,95	22,54	21,44	0,95	0,00	0,00					
24	0,91	82,69	75,54	0,91	20,19	18,44	0,91	8,41	7,68	0,91	8,74	7,98	0,91	0,00	0,00					
30	0,87	79,99	69,27	0,87	11,41	9,98	0,87	9,02	7,81	0,87	14,56	12,61	0,87	0,00	0,00					
36	0,81	82,00	66,34	0,81	11,17	9,04	0,81	24,95	20,19	0,81	3,53	2,85	0,81	0,00	0,00					
42	0,74	92,50	68,74	0,74	12,27	9,11	0,74	28,08	20,87	0,74	3,23	2,40	0,74	0,00	0,00					
<b>Total</b>	<b>13,51</b>	<b>563,79</b>	<b>13,51</b>		<b>754,82</b>	<b>13,51</b>		<b>291,51</b>	<b>13,51</b>		<b>194,10</b>	<b>13,51</b>		<b>121,83</b>						
	fetcheff	41,728,708	km	fetcheff	55,867,889	km	fetcheff	21,575,663	km	fetcheff	14,366,481	km	fetcheff	9,075,666	km					

### LAMPIRAN 5.3

Contoh Tabel Perhitungan Peramalan Gelombang 2009

TIME	TAHUN	BULAN	HARI	JAM	U10	R1	R2	Uw_R1_NUL	Uw_m	Direction [0]	Fetch dir/Fetch Effective [m]	gltfa	Cek	Fetch	Fpkai [m]	Time [m]	Tp [s]		
2009-04-07T000000	2009	1	1	0	0.14	1.00	2.63	0.26	8.34	E	0.00	Non Full Developed	Fetch Limited	Eff	0.000	0.00	0.00		
2009-04-07T060000	2009	1	1	1	1.19	1.00	1.71	3.40	3.20	2183.25	SW	1436544	Non Full Developed	Fetch Limited	Eff	1436438	0.20	23	
2009-04-07T120000	2009	1	1	2	0.80	1.00	1.20	1.62	1.29	1412.6	SE	0.00	Non Full Developed	Fetch Limited	Eff	0.000	0.00	0.00	
2009-04-07T180000	2009	1	1	3	2.05	1.00	1.20	3.49	3.30	1694.1	S	901.151	2388375	Non Full Developed	Fetch Limited	Eff	901.507	0.16	193
2009-04-07T000000	2009	1	2	4	0.90	1.00	1.98	1.78	1.44	3560.1	NW	5867.158	20385305	Fully Developed	Fully Developed	Eff	5867.155	0.05	122
2009-04-07T060000	2009	1	2	5	0.84	1.00	2.00	1.69	1.35	1714.4	NF	4728.17	25424201	Fully Developed	Fully Developed	Eff	4728.171	0.05	134
2009-04-07T120000	2009	1	2	6	2.35	1.00	1.65	3.88	3.77	45.31	NF	0.00	Non Full Developed	Fetch Limited	Eff	0.000	0.00	0.00	
2009-04-07T180000	2009	1	2	7	1.20	1.00	1.88	2.27	1.94	41.74	NE	0.00	Non Full Developed	Fetch Limited	Eff	0.000	0.00	0.00	
2009-04-07T000000	2009	1	3	8	0.56	1.00	2.14	1.20	0.89	47.24	NE	0.00	Non Full Developed	Fetch Limited	Eff	0.000	0.00	0.00	
2009-04-07T060000	2009	1	3	9	1.49	1.00	1.81	2.69	2.40	2336.9	SW	8100.124	Non Full Developed	Fetch Limited	Eff	1436438	0.15	203	
2009-04-07T120000	2009	1	3	10	2.39	1.00	1.68	3.94	3.84	2166.3	NW	3107.519	Non Full Developed	Fetch Limited	Eff	1436438	0.23	237	
2009-04-07T180000	2009	1	3	11	4.80	1.00	1.45	6.45	7.08	1833.6	S	10150.1	901.507	0.34	249				
2009-04-07T000000	2009	1	4	12	1.73	1.00	1.36	3.04	2.78	2073.5	SW	4783.857	Non Full Developed	Fetch Limited	Eff	1436438	0.17	213	
2009-04-07T060000	2009	1	4	13	2.68	1.00	1.62	4.24	4.20	1882.7	S	20140.634	Non Full Developed	Fetch Limited	Eff	901.507	0.20	209	
2009-04-07T120000	2009	1	4	14	2.99	1.00	1.57	4.70	4.76	1706.1	S	901.151	901.507	0.23	218				
2009-04-07T180000	2009	1	4	15	3.12	1.00	1.56	4.86	4.97	1687.4	S	16122.055	Non Full Developed	Fetch Limited	Eff	901.507	0.24	221	
2009-04-07T000000	2009	1	5	16	1.39	1.00	1.83	2.54	2.24	162.26	NE	0.00	Non Full Developed	Fetch Limited	Eff	0.000	0.00	0.00	
2009-04-07T060000	2009	1	5	17	1.66	1.00	1.77	2.38	2.67	21.11	N	4728.17	Fully Developed	Fully Developed	Eff	4728.171	0.18	236	
2009-04-07T120000	2009	1	5	18	1.36	1.00	1.79	2.80	2.53	17.73	N	10150.1	4783.857	Non Full Developed	Fetch Limited	Eff	1436438	0.17	213
2009-04-07T180000	2009	1	5	19	1.78	1.00	1.75	3.11	2.87	1827.7	SW	901.151	20140.634	Non Full Developed	Fetch Limited	Eff	901.507	0.20	209
2009-04-07T000000	2009	1	6	20	1.55	1.00	1.80	2.78	2.59	351.70	N	16173.825	Non Full Developed	Fetch Limited	Eff	1436438	0.15	203	
2009-04-07T060000	2009	1	6	21	1.45	1.00	1.82	2.64	2.34	15.64	S	901.151	16122.055	Non Full Developed	Fetch Limited	Eff	901.507	0.24	221
2009-04-07T120000	2009	1	6	22	0.61	1.00	2.11	1.29	0.97	65.90	NE	0.00	Non Full Developed	Fetch Limited	Eff	0.000	0.00	0.00	
2009-04-07T180000	2009	1	6	23	2.02	1.00	1.71	3.44	3.24	1692.25	S	901.151	10347.951	Fully Developed	Fully Developed	Eff	1436438	0.17	213
2009-04-07T000000	2009	1	7	1	0.36	1.00	2.29	0.85	0.57	21.42	W	4728.17	Fully Developed	Fully Developed	Eff	4728.171	0.16	214	
2009-04-07T060000	2009	1	7	2	1.74	1.00	2.05	1.51	1.18	259.26	N	4728.17	9294.17	Fully Developed	Fully Developed	Eff	4728.171	0.20	243
2009-04-07T120000	2009	1	7	3	3.24	1.00	1.54	5.01	5.15	16173.86	N	11673.86	Fully Developed	Fully Developed	Eff	4728.171	0.16	212	
2009-04-07T180000	2009	1	7	4	4.06	1.00	1.47	5.06	5.38	1803.9	N	12165.201	4728.17	Fully Developed	Fully Developed	Eff	4728.171	0.14	198
2009-04-07T000000	2009	1	8	5	4.70	1.00	1.42	6.66	7.31	1434.2	SE	0.00	Non Full Developed	Fetch Limited	Eff	901.507	0.16	192	
2009-04-07T060000	2009	1	8	6	5.80	1.00	1.35	7.81	8.89	165.16	S	901.151	8062.736	Non Full Developed	Fetch Limited	Eff	2175.563	0.03	100
2009-04-07T120000	2009	1	8	7	4.89	1.00	1.40	6.96	7.59	1559.0	S	0.00	Non Full Developed	Fetch Limited	Eff	901.507	0.22	214	
2009-04-07T180000	2009	1	8	8	6.64	1.00	1.30	8.63	10.06	1613.25	S	901.151	15343.845	Non Full Developed	Fetch Limited	Eff	901.507	0.25	224
2009-04-07T000000	2009	1	9	9	3.99	1.00	1.47	5.87	6.26	1712.8	S	901.151	11535.585	Non Full Developed	Fetch Limited	Eff	901.507	0.31	241
2009-04-07T060000	2009	1	9	10	5.08	1.00	1.39	7.07	7.37	165.65	SE	0.00	Non Full Developed	Fetch Limited	Eff	0.000	0.00	0.00	
2009-04-07T120000	2009	1	9	11	5.60	1.00	1.26	7.60	8.60	163.48	S	901.151	7444.629	Non Full Developed	Fetch Limited	Eff	901.507	0.43	269
2009-04-07T180000	2009	1	10	12	5.84	1.00	1.34	7.95	8.85	161.31	S	901.151	7389.337	Non Full Developed	Fetch Limited	Eff	901.507	0.41	263
2009-04-07T000000	2009	1	10	13	5.45	1.00	1.37	7.45	8.56	161.99	S	901.151	847.310	Non Full Developed	Fetch Limited	Eff	0.000	0.00	0.00
2009-04-07T060000	2009	1	10	14	5.07	1.00	1.39	7.06	7.86	152.27	SE	0.00	Non Full Developed	Fetch Limited	Eff	0.000	0.00	0.00	
2009-04-07T120000	2009	1	10	15	3.94	1.00	1.38	5.82	6.30	1402.37	SE	0.00	Non Full Developed	Fetch Limited	Eff	0.000	0.00	0.00	

## LAMPIRAN 7.1

Perhitungan Besar Pemampatan Konsolidasi Beban Timbunan

Contoh : h = 3 m zona 1

No	Tebal Lap (m)	Z (m)	$\gamma_{sat}$ ( $t/m^3$ )	$\gamma'$ ( $t/m^3$ )	B1 (m)	B2 (m)	a1	a2	$\Delta P$ ( $t/m^2$ )	TOTAL AP ( $t/m^2$ )	$\sigma'_0$ ( $t/m^2$ )	$\sigma'_c$ ( $t/m^2$ )	$\Delta P + \sigma'_0$ ( $t/m^2$ )	OCR	NC/OC	Sc timb (m)	Sc Kum (m)
1	1	0.5	1.49	0.49	52.621	6	0.06	89.46	2.70000	5.40	0.25	1.46	5.65	5.93	0.4CSOIL	0.449000198	0.1449000198
2	1	1.5	1.49	0.49	52.621	6	0.17	88.37	2.69998	5.40	0.74	1.95	6.14	2.64	0.4CSOIL	0.110576219	0.25456417
3	1	2.5	1.49	0.49	52.621	6	0.28	87.28	2.69990	5.40	1.23	2.44	6.63	1.99	0.4CSOIL	0.093632998	0.345059445
4	1	3.5	1.49	0.49	52.621	6	0.39	86.19	2.69971	5.40	1.72	2.93	7.12	1.70	0.4CSOIL	0.081884779	0.426944194
5	1	4.5	1.49	0.49	52.621	6	0.50	85.11	2.69939	5.40	2.21	3.42	7.61	1.55	0.4CSOIL	0.073022168	0.499966361
6	1	5.5	1.58	0.58	52.621	6	0.61	84.03	2.69890	5.40	2.74	3.95	8.14	1.44	0.4CSOIL	0.059313537	0.559279899
7	1	6.5	1.58	0.58	52.621	6	0.71	82.96	2.69819	5.40	3.32	4.53	8.72	1.36	0.4CSOIL	0.053443539	0.612723438
8	1	7.5	1.68	0.68	52.621	6	0.82	81.89	2.69724	5.39	3.95	5.16	9.34	1.31	0.4CSOIL	0.0412114	0.653934837
9	1	8.5	1.68	0.68	52.621	6	0.93	80.82	2.69600	5.39	4.63	5.84	10.02	1.26	0.4CSOIL	0.037339249	0.691264087
10	1	9.5	1.68	0.68	52.621	6	1.03	79.77	2.69445	5.39	5.31	6.52	10.70	1.23	0.4CSOIL	0.034128344	0.725392431
11	1	10.5	1.68	0.68	52.621	6	1.13	78.72	2.69257	5.39	6.00	7.21	11.38	1.20	0.4CSOIL	0.031438228	0.756830659
12	1	11.5	1.68	0.68	52.621	6	1.23	77.67	2.69032	5.38	6.68	7.89	12.06	1.18	0.4CSOIL	0.029141934	0.785972593
13	1	12.5	1.68	0.68	52.621	6	1.33	76.64	2.68768	5.38	7.36	8.57	12.73	1.16	0.4CSOIL	0.0271562	0.813128793
14	1	13.5	1.68	0.68	52.621	6	1.42	75.61	2.68462	5.37	8.04	9.25	13.41	1.15	0.4CSOIL	0.025419981	0.838548773

**Perhitungan Besar Pemampatan Konsolidasi Beban Timbunan**  
**Contoh : h = 3 m zona 2**

No	Tebal Lap (m)	$Y_{sat}$ ( $t/m^3$ )	$Y'$ ( $t/m^3$ )	B1 (m)	B2 (m)	a1 ( $t/m^2$ )	a2 ( $t/m^2$ )	$\Delta P$ (TRAP) ( $t/m^2$ )	TOTAL $\Delta P$ ( $t/m^2$ )	$\sigma'_0$ ( $t/m^2$ )	$\sigma'_c$ ( $t/m^2$ )	$\Delta P + \sigma'_0$ ( $t/m^2$ )	OCR	NC/OC	Scimb (m)	Sc Kum (m)	
1	1	0,5	1,51	0,51	28,5875	6	0,17	89,00	2,700	5,40	0,26	1,47	5,66	5,72	OC SOIL	0,136493761	0,136493761
2	1	1,5	1,51	0,51	28,5875	6	0,52	87,00	2,700	5,40	0,77	1,98	6,17	2,57	OC SOIL	0,106542225	0,243035986
3	1	2,5	1,51	0,51	28,5875	6	0,86	85,00	2,699	5,40	1,28	2,49	6,68	1,94	OC SOIL	0,089933197	0,332969183
4	1	3,5	1,51	0,51	28,5875	6	1,20	83,02	2,698	5,40	1,79	3,00	7,19	1,67	OC SOIL	0,078419821	0,41139004
5	1	4,5	1,51	0,51	28,5875	6	1,53	81,05	2,697	5,39	2,31	3,52	7,70	1,52	OC SOIL	0,06975196	0,481140964
6	1	5,5	1,51	0,51	28,5875	6	1,85	79,11	2,694	5,39	2,82	4,03	8,21	1,43	OC SOIL	0,062907908	0,544048873
7	1	6,5	1,51	0,51	28,5875	6	2,17	77,19	2,690	5,38	3,33	4,54	8,71	1,36	OC SOIL	0,057335212	0,601374085
8	1	7,5	1,51	0,51	28,5875	6	2,47	75,30	2,685	5,37	3,84	5,05	9,21	1,31	OC SOIL	0,052659577	0,654033361
9	1	8,5	1,51	0,51	28,5875	6	2,75	73,44	2,679	5,36	4,36	5,57	9,71	1,28	OC SOIL	0,04866825	0,702718912
10	1	9,5	1,51	0,51	28,5875	6	3,02	71,62	2,671	5,34	4,87	6,08	10,21	1,25	OC SOIL	0,045246807	0,747965719
11	1	10,5	1,58	0,58	28,5875	6	3,28	69,33	2,662	5,32	5,41	6,62	10,74	1,22	OC SOIL	0,039049684	0,787015403
12	1	11,5	1,58	0,58	28,5875	6	3,52	68,09	2,652	5,30	5,99	7,20	11,29	1,20	OC SOIL	0,036320446	0,823337449
13	1	12,5	1,58	0,58	28,5875	6	3,75	66,38	2,640	5,28	6,56	7,77	11,84	1,18	OC SOIL	0,033917156	0,857254606
14	1	13,5	1,70	0,70	28,5875	6	3,96	64,72	2,626	5,25	7,20	8,41	12,46	1,17	OC SOIL	0,026119626	0,883374232
15	1	14,5	1,70	0,70	28,5875	6	4,15	63,11	2,611	5,22	7,91	9,12	13,13	1,15	OC SOIL	0,02425591	0,907629523
16	1	15,5	1,70	0,70	28,5875	6	4,33	61,53	2,594	5,19	8,61	9,82	13,80	1,14	OC SOIL	0,022606832	0,92028055

**Perhitungan Besar Pemampatan Konsolidasi Beban Timbunan**  
**Contoh : h = 3 m zona 3**

No	Tebal Lap (m)	Z	$\gamma_{sat}$ ( $t/m^3$ )	$\gamma'$ ( $t/m^3$ )	B1 (m)	B2 (m)	a1	a2	$\Delta P$ ( TRAP ) ( $t/m^3$ )	TOTAL $\Delta P$ ( $t/m^3$ )	$\sigma'_0$ ( $t/m^2$ )	$\sigma'_c$ ( $t/m^2$ )	$\Delta P + \sigma'_0$ ( $t/m^2$ )	OCR	NCOC	Sc timb (m)	Sc Kum (m)
1	1	0,5	1,512	0,51	19,6725	6	0,34	88,54	2,700	5,40	0,26	1,47	5,66	5,72	0CSOIL	0,136493331	0,136493531
2	1	1,5	1,512	0,51	19,6725	6	1,02	85,64	2,700	5,40	0,77	1,98	6,17	2,57	0CSOIL	0,106536665	0,243030096
3	1	2,5	1,512	0,51	19,6725	6	1,68	82,76	2,698	5,40	1,28	2,49	6,68	1,94	0CSOIL	0,089909299	0,332939395
4	1	3,5	1,512	0,51	19,6725	6	2,32	79,91	2,696	5,39	1,79	3,00	7,18	1,67	0CSOIL	0,078360013	0,411299408
5	1	4,5	1,512	0,51	19,6725	6	2,94	77,12	2,691	5,38	2,31	3,52	7,69	1,52	0CSOIL	0,069636088	0,480955496
6	1	5,5	1,512	0,51	19,6725	6	3,53	74,38	2,684	5,37	2,82	4,03	8,19	1,43	0CSOIL	0,062715237	0,543650734
7	1	6,5	1,512	0,51	19,6725	6	4,08	71,72	2,675	5,35	3,33	4,54	8,68	1,36	0CSOIL	0,057035913	0,600666647
8	1	7,5	1,512	0,51	19,6725	6	4,58	69,13	2,662	5,32	3,84	5,05	9,17	1,31	0CSOIL	0,052255831	0,652942478
9	1	8,5	1,512	0,51	19,6725	6	5,05	66,63	2,647	5,29	4,36	5,57	9,65	1,28	0CSOIL	0,048152017	0,701094495
10	1	9,5	1,512	0,51	19,6725	6	5,47	64,22	2,629	5,26	4,87	6,08	10,13	1,25	0CSOIL	0,044572283	0,745666778
11	1	10,5	1,512	0,51	19,6725	6	5,88	61,91	2,608	5,22	5,41	6,62	10,63	1,22	0CSOIL	0,038286901	0,783953679
12	1	11,5	1,512	0,51	19,6725	6	6,18	59,69	2,584	5,17	5,99	7,20	11,16	1,20	0CSOIL	0,035421193	0,819374871
13	1	12,5	1,512	0,51	19,6725	6	6,47	57,57	2,558	5,12	6,56	7,77	11,68	1,18	0CSOIL	0,032877729	0,8532252601
14	1	13,5	1,512	0,51	19,6725	6	6,72	55,54	2,529	5,06	7,14	8,35	12,20	1,17	0CSOIL	0,030600092	0,882832693
15	1	14,5	1,512	0,51	19,6725	6	6,93	53,61	2,498	5,00	7,72	8,93	12,71	1,16	0CSOIL	0,028545524	0,911398218
16	1	15,5	1,512	0,51	19,6725	6	7,11	51,77	2,466	4,93	8,38	9,59	13,31	1,14	0CSOIL	0,026615385	0,932013603

**LAMPIRAN 7.2**  
**Perhitungan Besar Pemampatan Segera Timbunan**  
**Contoh : h = 3 m zona 1**

			q timb	5,4	t/m <sup>2</sup>			
TEGANGAN DIATAS PERMUKAAN			q oper	2	t/m <sup>2</sup>			
Kedalaman			h	E	E'	μ	Si	Si <sub>kum</sub>
m			m	t/m <sup>2</sup>	t/m <sup>2</sup>		m	m
0	-	1	1	305,914864	323,015695	0,15	0,022909	0,022909
1	-	2	1	305,914864	323,015695	0,15	0,022909	0,045818
2	-	3	1	305,914864	323,015695	0,15	0,022909	0,068727
3	-	4	1	305,914864	323,015695	0,15	0,022909	0,091636
4	-	5	1	305,914864	323,015695	0,15	0,022909	0,114546
5	-	6	1	509,858106	566,509007	0,20	0,013062	0,127608
6	-	7	1	509,858106	566,509007	0,20	0,013062	0,14067
7	-	8	1	2039,43243	2447,31891	0,25	0,003024	0,143694
8	-	9	1	2039,43243	2447,31891	0,25	0,003024	0,146718
9	-	10	1	2039,43243	2447,31891	0,25	0,003024	0,149742
10	-	11	1	2039,43243	2447,31891	0,25	0,003024	0,152765
11	-	12	1	2039,43243	2447,31891	0,25	0,003024	0,155789
12	-	13	1	2039,43243	2447,31891	0,25	0,003024	0,158813
13	-	14	1	2039,43243	2447,31891	0,25	0,003024	0,161836

**Perhitungan Besar Pemampatan Segera**  
**Contoh : h = 3 m zona 2**

			q timb	5,4	t/m <sup>2</sup>			
TEGANGAN DIATAS PERMUKAAN			q oper	2	t/m <sup>2</sup>			
Kedalaman			h	E	E'	μ	Si	Si <sub>kum</sub>
m			m	t/m <sup>2</sup>	t/m <sup>2</sup>		m	m
0	-	1	1	407,886485	430,687593	0,15	0,017182	0,017182
1	-	2	1	407,886485	430,687593	0,15	0,017182	0,034364
2	-	3	1	407,886485	430,687593	0,15	0,017182	0,051545
3	-	4	1	407,886485	430,687593	0,15	0,017182	0,068727
4	-	5	1	407,886485	430,687593	0,15	0,017182	0,085909
5	-	6	1	407,886485	430,687593	0,15	0,017182	0,103091
6	-	7	1	407,886485	430,687593	0,15	0,017182	0,120273
7	-	8	1	407,886485	430,687593	0,15	0,017182	0,137455
8	-	9	1	407,886485	430,687593	0,15	0,017182	0,154636
9	-	10	1	407,886485	430,687593	0,15	0,017182	0,171818
10	-	11	1	407,886485	430,687593	0,15	0,017182	0,189
11	-	12	1	509,858106	566,509007	0,20	0,013062	0,202063
12	-	13	1	509,858106	566,509007	0,20	0,013062	0,215125
13	-	14	1	2039,43243	2447,31891	0,25	0,003024	0,218149
14	-	15	1	2039,43243	2447,31891	0,25	0,003024	0,221172
15	-	16	1	2039,43243	2447,31891	0,25	0,003024	0,224196

**Perhitungan Besar Pemampatan Segera Timbunan**  
**Contoh : h = 3 m zona 3**

			q timb	5,4	t/m <sup>2</sup>			
TEGANGAN DIATAS PERMUKAAN			q oper	2	t/m <sup>2</sup>			
Kedalaman			h	E	E'	$\mu$	Si	Si <sub>kum</sub>
m			m	t/m <sup>2</sup>	t/m <sup>2</sup>		m	m
0	-	1	1	407,886	430,688	0,15	0,017	0,017
1	-	2	1	407,886	430,688	0,15	0,017	0,034
2	-	3	1	407,886	430,688	0,15	0,017	0,052
3	-	4	1	407,886	430,688	0,15	0,017	0,069
4	-	5	1	407,886	430,688	0,15	0,017	0,086
5	-	6	1	407,886	430,688	0,15	0,017	0,103
6	-	7	1	407,886	430,688	0,15	0,017	0,120
7	-	8	1	407,886	430,688	0,15	0,017	0,137
8	-	9	1	407,886	430,688	0,15	0,017	0,155
9	-	10	1	407,886	430,688	0,15	0,017	0,172
10	-	11	1	509,858	566,509	0,20	0,013	0,185
11	-	12	1	509,858	566,509	0,20	0,013	0,198
12	-	13	1	509,858	566,509	0,20	0,013	0,211
13	-	14	1	509,858	566,509	0,20	0,013	0,224
14	-	15	1	509,858	566,509	0,20	0,013	0,237
15	-	16	1	2039,432	4370,212	0,40	0,002	0,239

### LAMPIRAN 7.3

Perhitungan Derajat Konsolidasi

Contoh :  $S = 0,8 \text{ m}$  pola segitiga zona 1

$$S= 0,8 \text{ m}$$

$$D= 0,84 \text{ m}$$

$$F(n)= 1,800225$$

$$t= 1 \text{ minggu}$$

$$Cv \text{ gabung} = 0,000398 \text{ cm}^2/\text{dt} \quad 240,5838 \text{ cm}^2/\text{minggu}$$

$$0,024058 \text{ m}^2/\text{minggu}$$

$$Ch= 0,001193 \text{ cm}^2/\text{dt} \quad 721,7513 \text{ cm}^2/\text{minggu}$$

$$Hd= 14 \text{ m}$$

t (minggu)	Tv	Uv (%)	Uh (%)	U total (%)
0	0	0	0	0
1	0,000123	1,250%	20,330%	21,326%
2	0,000245	1,768%	36,527%	37,650%
3	0,000368	2,165%	49,432%	50,526%
4	0,000491	2,500%	59,712%	60,720%
5	0,000614	2,795%	67,903%	68,800%
6	0,000736	3,062%	74,428%	75,211%
7	0,000859	3,308%	79,627%	80,301%
8	0,000982	3,536%	83,769%	84,343%
9	0,001105	3,750%	87,069%	87,554%
10	0,001227	3,953%	89,698%	90,105%
11	0,00135	4,146%	91,792%	92,133%
12	0,001473	4,331%	93,461%	93,744%
13	0,001596	4,507%	94,790%	95,025%
14	0,001718	4,678%	95,849%	96,044%
15	0,001841	4,842%	96,693%	96,853%
16	0,001964	5,001%	97,366%	97,497%
17	0,002087	5,154%	97,901%	98,009%
18	0,002209	5,304%	98,328%	98,417%
19	0,002332	5,449%	98,668%	98,740%
20	0,002455	5,591%	98,939%	98,998%
21	0,002578	5,729%	99,154%	99,203%
22	0,0027	5,864%	99,326%	99,366%
23	0,002823	5,995%	99,463%	99,495%
24	0,002946	6,124%	99,572%	99,599%
25	0,003069	6,251%	99,659%	99,681%

**Perhitungan Derajat Konsolidasi**  
**Contoh : S = 0,8 m pola segitiga zona 2**

S=	0,8 m
D=	0,84 m
F (n)=	1,800225
t=	1 minggu
Cv gabungan=	0,000292 cm <sup>2</sup> /dt      176,7661 cm <sup>2</sup> /minggu 0,017677 m <sup>2</sup> /minggu
Ch=	0,000877 cm <sup>2</sup> /dt      530,2982 cm <sup>2</sup> /minggu
Hdr=	16 m

t (minggu)	Tv	Uv (%)	Uh (%)	U total (%)
0	0	0	0	0
1	6,9E-05	0,938%	15,379%	16,173%
2	0,000138	1,326%	28,393%	29,343%
3	0,000207	1,624%	39,406%	40,390%
4	0,000276	1,875%	48,725%	49,687%
5	0,000345	2,097%	56,611%	57,520%
6	0,000414	2,297%	63,284%	64,127%
7	0,000483	2,481%	68,930%	69,701%
8	0,000552	2,652%	73,709%	74,406%
9	0,000621	2,813%	77,752%	78,378%
10	0,00069	2,965%	81,174%	81,732%
11	0,00076	3,110%	84,069%	84,565%
12	0,000829	3,248%	86,519%	86,957%
13	0,000898	3,381%	88,592%	88,978%
14	0,000967	3,508%	90,347%	90,685%
15	0,001036	3,631%	91,831%	92,128%
16	0,001105	3,751%	93,088%	93,347%
17	0,001174	3,866%	94,151%	94,377%
18	0,001243	3,978%	95,050%	95,247%
19	0,001312	4,087%	95,812%	95,983%
20	0,001381	4,193%	96,456%	96,604%
21	0,00145	4,297%	97,001%	97,130%
22	0,001519	4,398%	97,462%	97,574%
23	0,001588	4,497%	97,852%	97,949%
24	0,001657	4,593%	98,183%	98,266%
25	0,001726	4,688%	98,462%	98,534%

## Perhitungan Derajat Konsolidasi

Contoh : S = 0,8 m pola segitiga zona 3

S= 0,8 m  
 D= 0,84 m  
 F (n)= 1,800225  
 t= 1 minggu  
 Cv gabungan= 0,000277 cm<sup>2</sup>/dt 167,3278 cm<sup>2</sup>/minggu  
                   0,016733 m<sup>2</sup>/minggu  
 Ch= 0,00083 cm<sup>2</sup>/dt 501,9833 cm<sup>2</sup>/minggu  
 Hdr= 16 m

t (minggu)	Tv	Uv (%)	Uh (%)	U total (%)
0	0	0	0	0
1	6,54E-05	0,912%	14,621%	15,400%
2	0,000131	1,290%	27,105%	28,045%
3	0,000196	1,580%	37,763%	38,747%
4	0,000261	1,825%	46,863%	47,833%
5	0,000327	2,040%	54,633%	55,558%
6	0,000392	2,235%	61,266%	62,132%
7	0,000458	2,414%	66,929%	67,728%
8	0,000523	2,580%	71,765%	72,493%
9	0,000588	2,737%	75,893%	76,553%
10	0,000654	2,885%	79,418%	80,012%
11	0,000719	3,026%	82,427%	82,959%
12	0,000784	3,160%	84,997%	85,471%
13	0,00085	3,289%	87,190%	87,612%
14	0,000915	3,413%	89,063%	89,437%
15	0,00098	3,533%	90,662%	90,992%
16	0,001046	3,649%	92,028%	92,319%
17	0,001111	3,761%	93,193%	93,449%
18	0,001177	3,870%	94,189%	94,414%
19	0,001242	3,976%	95,038%	95,236%
20	0,001307	4,080%	95,764%	95,937%
21	0,001373	4,181%	96,383%	96,534%
22	0,001438	4,279%	96,912%	97,044%
23	0,001503	4,375%	97,364%	97,479%
24	0,001569	4,469%	97,749%	97,850%
25	0,001634	4,561%	98,078%	98,166%

## LAMPIRAN 7.4

### Brosur PVD

# CeTeau-Drain CT-D822

#### Drain Body

Extrusion profile of 100% polypropylene with the following important properties:

- environmental safe
- large water flow capacity
- flexible
- high tensile strength and toughness
- inert to natural occurring acids alkalis and salt
- workable and easy to handle at low temperatures
- no wet shrinkage or growth.

#### Filter Jacket

Nonwoven fabric of 100% polyester without any binders, with the following important properties:

- balanced strength in both directions
- high tensile strength and toughness
- no wet shrinkage or growth
- good resistance to rot, moisture and insects
- high water permeability
- inert to natural occurring acids, alkalis and salt
- excellent filtration characteristics
- tear, burst and puncture resistant
- environmental safe

Physical properties		Unit	CT-D822
Drain Body	Configuration	m	
	Material	~	PP
	Colour	~	white
Filter Jacket	Material	~	PET
	Colour	~	grey
Assembled Drain	Weight	g/m	75
	Width	mm	100
	Thickness	mm	4
Mechanical properties		Unit	CT-D822
Filter Jacket	Symbol	Test	
Grip Tensile Strength	F	ASTM D4632	N 480
Elongation	E	ASTM D4632	% 32
Tear Strength		ASTM D4533	N 120
Pore Size	Q <sub>u</sub>	ASTM D4751	μm < 75
Permeability	R	ASTM D4491	m/s > 1.0 x 10 <sup>-6</sup>
Assembled Drain			
Tensile Strength	F	ASTM D4595	kN 2.75
Elongation at break	E	ASTM D4595	% 40
Strength at 10% elongation	F	ASTM D4595	kN 2.2
Elongation at 1 kN tensile strength	E	ASTM D4595	% 1.5
Discharge capacity at 100 kPa	Q <sub>u</sub>	ASTM D4716	m <sup>3</sup> /s 158 x 10 <sup>-6</sup>
Discharge capacity at 150 kPa	Q <sub>u</sub>	ASTM D4716	m <sup>3</sup> /s 157 x 10 <sup>-6</sup>
Discharge capacity at 200 kPa	Q <sub>u</sub>	ASTM D4716	m <sup>3</sup> /s 155 x 10 <sup>-6</sup>
Discharge capacity at 250 kPa	Q <sub>u</sub>	ASTM D4716	m <sup>3</sup> /s 150 x 10 <sup>-6</sup>
Discharge capacity at 300 kPa	Q <sub>u</sub>	ASTM D4716	m <sup>3</sup> /s 141 x 10 <sup>-6</sup>
Discharge capacity at 350 kPa	Q <sub>u</sub>	ASTM D4716	m <sup>3</sup> /s 135 x 10 <sup>-6</sup>
Transport details		Unit	CT-D822
Roll length		m	250
Outside diameter roll		m	1.10
Inside diameter roll		m	0.15
Weight roll		kg	20
40ft container		m	125,000

All dimensions, illustrations and specifications are based on the latest product information available at the time of printing. The right is reserved to make changes at any time without notice.  
All mechanical properties are average values. Standard variations in mechanical strength of 10% and in hydraulic flow and porosity of 20% have to be allowed for.

Agent & Distributor in Indonesia Area :

**PT. TEKINDO GEOSISTEM UNGGUL**

Wana SER Building, 7<sup>th</sup> Floor  
Jl. Rangkul Industri Raya No. 13 Suntergaya 93283  
Tel. 62-31-8475062 Fax. 62-31-8475063  
Email: info@geosistem.co.id Website : www.geosistem.co.id



## LAMPIRAN 7.5

### Brosur *Geotextile Non Woven*



#### F – Filtration Geotextiles Technical Data

TenCate Polyfelt® F is a two-layer continuous filament nonwoven, one layer designed as filter, the other layer as protection against damage of the filter. This construction allows an optimum number of constrictions in the filter layer, resulting in an extremely low clogging risk and high soil retention security.



TenCate Polyfelt® F

Properties [standard]	Unit	F 60	F 70	F 80
Type of product	–	Two-layer mechanically bonded PP continuous filament nonwoven		
Raw material	–		100 % UV stabilized polypropylene	
<b>Hydrological Properties</b>				
Number of Constrictions – [ASTM D 21/8-08; XFG 3/1000 see overview]	–	25-40	25-40	25-40
Opening size One [EN ISO 12654]	µm	100	90	80
Permeability normal to the plane [EN ISO 11096]	l/m <sup>2</sup> (mm/s)	60	45	30
Flow rate in the plane [DIN 50 1286]	20/100 kPa 10 <sup>-6</sup> m <sup>2</sup> /s	4,0/1,1	8/3	12/4,5
<b>Mechanical Properties</b>				
Elongation at max. load [EN ISO 10318]	MD/CD %	85/70	90/75	85/80
Absorbed energy* [EN ISO 10319]	kJ/m	11,6	13,2	14,4
Tensile strength [EN ISO 10319]	MD/CD kN/m	30/30	32/32	35/35
Cone drop test [EN ISO 11433]	mm	11	8,5	7
CBR puncture resistance [EN ISO 12236]	N	4600	4800	6500
<b>Durability Properties</b>				
UV resistance – strength retained [EN 12234]	%	> 80	> 80	> 80
Chemical / biological resistance	–		resistant against all chemical agents and microorganisms usually occurring in seas or rivers	
<b>Identification Properties</b>				
Thickness [EN ISO 9883-1]	2 kPa mm	3,7	4,7	6,5
Mass per unit area [EN ISO 9884]	g/m <sup>2</sup>	400	600	800

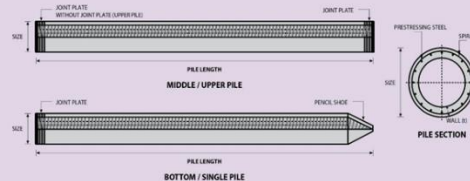
\* Area of the triangle beneath the stress-strain curve

The values given are average values obtained in our laboratories and in testing institutes. The right is reserved to make changes without notice at any time.

## LAMPIRAN 7.6

### Brosur Spun Pile Wika Beton

#### PILE SHAPE & SPECIFICATION | PRESTRESSED CONCRETE SPUN PILES



#### PRESTRESSED CONCRETE SPUN PILES SPECIFICATION

Concrete Compressive Strength  $f'_c = 52 \text{ MPa}$  (Cube 600 kg/cm<sup>3</sup>)

Size (mm)	Thickness Wall (t) (mm)	Cross Section Area (cm <sup>2</sup> )	Section Inertia (cm <sup>4</sup> )	Unit Weight (kg/m)	Class	Bending Moment		Allowable Compression (ton)	Decompression Tension (ton)	Length of Pile** (m)					
						Crack <sup>a</sup>	Break								
300	60	452.39	34,607.78	113	A2	2.50	3.75	72.60	23.11	6-12					
						A3	3.00	4.50	70.75	29.86	6-13				
						B	3.50	6.30	67.50	41.96	6-14				
350	65	581.98	62,162.74	145	A1	3.50	5.25	93.10	30.74	6-13					
						A3	4.20	6.30	89.50	30.50	6-14				
						B	5.00	9.65	86.40	49.93	6-15				
400	75	765.76	106,488.95	191	A2	6.00	12.00	85.00	60.87	6-16					
						A3	5.50	8.25	121.10	38.63	6-14				
						B	7.50	13.50	114.40	70.27	6-16				
450	80	929.91	166,570.38	232	A1	9.00	18.00	111.50	80.94	6-17					
						A2	7.50	11.25	149.50	39.28	6-14				
						A3	8.50	12.75	145.80	53.39	6-15				
500	90	1,159.25	255,324.30	290	A1	10.00	15.00	143.80	66.57	6-16					
						A3	11.00	19.80	139.10	78.84	6-17				
						C	12.50	25.00	134.90	100.45	6-18				
500	90	1,159.25	255,324.30	290	A1	10.50	15.75	185.30	54.56	6-15					
						A2	12.50	18.75	181.70	68.49	6-16				
						A3	14.00	21.00	178.20	88.00	6-17				
500	90	1,159.25	255,324.30	290	A1	15.00	27.00	174.90	94.13	6-18					
						B	17.00	34.00	169.00	122.04	6-19				
						C	17.00	34.00	169.00	122.04	6-19				
600	100	1,570.80	510,508.81	393	A1	17.00	25.50	252.70	70.52	6-16					
						A2	19.00	28.50	249.00	77.68	6-17				
						A3	22.00	33.00	243.20	104.94	6-18				
600	100	1,570.80	510,508.81	393	A1	25.00	45.00	238.30	131.10	6-19					
						C	29.00	58.00	229.50	163.67	6-20				
						A2	40.00	60.00	415.00	119.34	6-20				
600	100	1,570.80	510,508.81	393	A1	42.00	69.00	460.10	151.03	6-21					
						A3	51.00	76.50	399.17	171.18	6-22				
						B	55.00	99.00	388.61	215.80	6-23				
600	100	1,570.80	510,508.81	393	A1	65.00	130.00	368.17	290.82	6-24					
						A2	82.00	123.00	601.27	215.16	6-23				
						A3	93.00	139.50	589.66	258.19	6-24				
600	100	1,570.80	510,508.81	393	A1	105.00	189.00	575.33	311.26	6-24					
						C	120.00	240.00	555.23	385.70	6-24				
						A2	200.00	400.00	721.50	522.20	6-24				
<i>Note : * ) Crack Moment Based on JIS A 5235-1987 (Prestressed Spun Concrete Piles)</i>															
<i>**) Length of pile may exceed usual standard whenever lifted in certain position</i>															
<i>***) Type of Shoe for Bottom Pile is Mamira Shoe</i>															

Unit Conversion : 1 ton = 9.8060 kN

## LAMPIRAN 8.1

Perubahan Tegangan di Tiap Lapisan Tanah pada Derajat Konsolidasi ( $U = 100\%$ ) Akibat Timbunan contoh Zona 3

$U = 100\%$																		
TEGANGAN	$\delta^0$ ( $t/m^2$ )	$\delta^1$ ( $t/m^2$ )	$\delta^2$ ( $t/m^2$ )	$\delta^3$ ( $t/m^2$ )	$\delta^4$ ( $t/m^2$ )	$\delta^5$ ( $t/m^2$ )	$\delta^6$ ( $t/m^2$ )	$\delta^7$ ( $t/m^2$ )	$\delta^8$ ( $t/m^2$ )	$\delta^9$ ( $t/m^2$ )	$\delta^{10}$ ( $t/m^2$ )	$\delta^{11}$ ( $t/m^2$ )	$\delta^{12}$ ( $t/m^2$ )	$\delta^{13}$ ( $t/m^2$ )	$\delta^{14}$ ( $t/m^2$ )	$\delta^{15}$ ( $t/m^2$ )		
<b>KEDALAMAN (m)</b>																		
	<b><math>H = 0 \text{ m}</math></b>	<b><math>H = 0.5 \text{ m}</math></b>	<b><math>H = 1 \text{ m}</math></b>	<b><math>H = 1.5 \text{ m}</math></b>	<b><math>H = 2 \text{ m}</math></b>	<b><math>H = 2.5 \text{ m}</math></b>	<b><math>H = 3 \text{ m}</math></b>	<b><math>H = 3.5 \text{ m}</math></b>	<b><math>H = 4 \text{ m}</math></b>	<b><math>H = 4.5 \text{ m}</math></b>	<b><math>H = 5 \text{ m}</math></b>	<b><math>H = 5.5 \text{ m}</math></b>	<b><math>H = 6 \text{ m}</math></b>	<b><math>H = 6.5 \text{ m}</math></b>	<b><math>H = 7 \text{ m}</math></b>	<b><math>H = 7.5 \text{ m}</math></b>		
0,0	0,0	0,2562	1,1562	2,0562	2,9562	3,8562	4,7562	5,6562	6,5562	7,4562	8,3562	9,2562	10,1562	11,0562	11,9562	12,8562	13,7562	14,6562
1,0	2,0	0,6866	2,6685	4,2564	5,4684	6,6883	7,5262	8,2662	9,0161	9,7680	10,5080	11,2480	11,9879	12,7278	13,4677	14,2076	14,9476	15,6764
2,0	3,0	1,2810	2,1806	3,0883	3,9799	4,6595	5,7791	6,6688	7,5784	8,4780	9,3777	10,2773	11,1769	12,0766	12,9762	13,8758	14,7754	15,6754
3,0	4,0	1,7934	2,6924	3,5914	4,4904	5,3894	6,2884	7,1874	8,0864	8,9854	9,8844	10,7834	11,6824	12,5814	13,4806	14,3796	15,2786	16,1783
4,0	5,0	2,2058	3,2057	4,1016	4,9995	5,8974	6,7953	7,6932	8,5911	9,4890	10,3869	11,2848	12,1827	13,0806	13,9785	14,8764	15,7743	16,6743
5,0	6,0	2,8182	3,7144	4,6107	5,5169	6,4031	7,3994	8,1956	9,0918	9,9880	10,8843	11,7805	12,6767	13,5740	14,4692	15,3654	16,2617	17,1616
6,0	7,0	3,3306	4,2245	5,1184	6,0123	6,9062	7,8002	8,6941	9,5880	10,4819	11,3758	12,2697	13,1636	14,0675	14,9514	15,8453	16,7393	17,6393
7,0	8,0	3,8430	4,7339	5,6247	6,5156	7,4065	8,2974	9,1882	10,0879	10,9791	11,8699	12,7517	13,6426	14,5335	15,4244	16,3152	17,2061	18,1061
8,0	9,0	4,3554	5,2425	6,1296	7,0166	7,9087	8,7988	9,6779	10,5649	11,4520	12,3391	13,2262	14,1133	15,0003	15,8874	16,7745	17,6616	18,5616
9,0	10,0	4,8678	5,7516	6,6328	7,5153	8,3978	9,2883	10,1628	11,0453	11,9278	12,8108	13,6928	14,5753	15,4578	16,3408	17,2228	18,1053	19,0063
10,0	11,0	5,4170	6,2891	7,1663	8,0454	8,9016	9,7977	10,6748	11,5520	12,4291	13,3063	14,1834	15,0605	15,9377	16,8148	17,6919	18,5691	19,4691
11,0	12,0	5,9880	6,6590	7,7390	8,6010	9,4720	10,3450	11,2141	12,0851	12,9561	13,8271	14,6981	15,5691	16,4401	17,3111	18,1821	19,0651	19,9551
12,0	13,0	6,5640	7,2881	8,2923	9,1564	10,0206	10,8847	11,7488	12,6130	13,4771	14,3413	15,2054	16,0695	16,9337	17,7978	18,6619	19,5261	20,4261
13,0	14,0	7,1400	7,9966	8,8851	9,7097	10,5663	11,4229	12,2794	13,1360	13,9926	14,8491	15,7057	16,5623	17,4189	18,2754	19,1320	19,9886	20,8886
14,0	15,0	7,7160	8,5726	9,4291	10,2857	11,1423	11,9989	12,8554	13,7120	14,5866	15,4251	16,2817	17,1383	17,9949	18,8514	19,7080	20,5646	21,4646
15,0	16,0	8,3768	9,2334	10,0899	10,9465	11,8031	12,6597	13,5162	14,3728	15,2294	16,9225	17,7991	18,6557	19,5122	20,3688	21,2254	22,1254	

## LAMPIRAN 8.2

Perubahan Tegangan di Tiap Lapisan Tanah pada Derajat Konsolidasi (U=100%) akibat Batu SP contoh Zona 3

TEGANGAN KEDALAMAN (m)	U = 100 %								
	$\delta^0$ (t/m <sup>2</sup> )	$\delta^1$ (t/m <sup>2</sup> )	$\delta^2$ (t/m <sup>2</sup> )	$\delta^3$ (t/m <sup>2</sup> )	$\delta^4$ (t/m <sup>2</sup> )	$\delta^5$ (t/m <sup>2</sup> )	$\delta^6$ (t/m <sup>2</sup> )	$\delta^7$ (t/m <sup>2</sup> )	
H = 0 m	H = 1 m	H = 2 m	H = 3 m	H = 4 m	H = 5 m	H = 6 m	H = 7 m		
0,0	1,0	0,2562	2,6003	4,9444	7,2885	9,6326	11,9767	14,3208	16,6649
1,0	2,0	0,7686	3,0282	5,2877	7,5473	9,8068	12,0664	14,3259	16,5855
2,0	3,0	1,2810	3,4468	5,6126	7,7784	9,9442	12,1100	14,2758	16,4416
3,0	4,0	1,7934	3,8638	5,9343	8,0047	10,0752	12,1456	14,2161	16,2865
4,0	5,0	2,3058	4,2823	6,2588	8,2352	10,2117	12,1882	14,1647	16,1411
5,0	6,0	2,8182	4,7036	6,5890	8,4743	10,3597	12,2451	14,1305	16,0158
6,0	7,0	3,3306	5,1286	6,9265	8,7245	10,5224	12,3204	14,1184	15,9163
7,0	8,0	3,8430	5,5577	7,2724	8,9870	10,7017	12,4164	14,1311	15,8458
8,0	9,0	4,3554	5,9912	7,6269	9,2627	10,8985	12,5343	14,1700	15,8058
9,0	10,0	4,8678	6,4291	7,9904	9,5517	11,1130	12,6743	14,2356	15,7969
10,0	11,0	5,4120	6,9032	8,3944	9,8856	11,3769	12,8681	14,3593	15,8505
11,0	12,0	5,9880	7,4134	8,8388	10,2642	11,6897	13,1151	14,5405	15,9659
12,0	13,0	6,5640	7,9277	9,2914	10,6552	12,0189	13,3826	14,7463	16,1101
13,0	14,0	7,1400	8,4459	9,7519	11,0578	12,3638	13,6697	14,9757	16,2816
14,0	15,0	7,7160	8,9678	10,2197	11,4715	12,7234	13,9752	15,2271	16,4789
15,0	16,0	8,3768	9,5780	10,7792	11,9804	13,1817	14,3829	15,5841	16,7853

### LAMPIRAN 8.3

Perubahan Tegangan di Tiap Lapisan Tanah pada Derajat Konsolidasi ( $U < 100\%$ ) akibat Timbunan contoh Zona 3

Pembulatan Tegangan Kedalaman (m) \ U (%)	$P'_e$ ( $\text{t/m}^2$ )	$U < 100\%$																	
		$\Delta P1'$ ( $\text{t/m}^2$ )	$\Delta P2'$ ( $\text{t/m}^2$ )	$\Delta P3'$ ( $\text{t/m}^2$ )	$\Delta P4'$ ( $\text{t/m}^2$ )	$\Delta P5'$ ( $\text{t/m}^2$ )	$\Delta P6'$ ( $\text{t/m}^2$ )	$\Delta P7'$ ( $\text{t/m}^2$ )	$\Delta P8'$ ( $\text{t/m}^2$ )	$\Delta P9'$ ( $\text{t/m}^2$ )	$\Delta P10'$ ( $\text{t/m}^2$ )	$\Delta P11'$ ( $\text{t/m}^2$ )	$\Delta P12'$ ( $\text{t/m}^2$ )	$\Delta P13'$ ( $\text{t/m}^2$ )	$\Delta P14'$ ( $\text{t/m}^2$ )	$\Delta P15'$ ( $\text{t/m}^2$ )	$\Sigma \sigma'$ $\text{kN/cm}^2$		
Tinggi penimbunan Untuk (tinggi)	-	16	15	14	13	12	11	10	9	8	7	6	5	4	3	2	1		
Kedalaman (m) \ U (%)	100(0%)	92,39%	90,92%	89,43%	87,61%	85,47%	83,02%	80,012%	82,95%	80,02%	76,55%	72,93%	67,72%	62,32%	55,55%	47,83%	38,74%	28,04%	
0,0	1,0	0,2562	0,736	0,766	0,7988	0,7751	0,7572	0,7354	0,7093	0,6785	0,6421	0,5994	0,5493	0,4906	0,4217	0,3410	0,2466	0,1349	0,6956
1,0	2,0	0,7686	0,8885	0,8020	0,7916	0,7768	0,7585	0,7364	0,7101	0,6791	0,6427	0,5999	0,5498	0,4910	0,4220	0,3413	0,2466	0,1350	1,02549
2,0	3,0	1,2810	0,8123	0,8053	0,7933	0,7780	0,7593	0,7370	0,706	0,6795	0,6431	0,6002	0,5500	0,4912	0,4223	0,3414	0,2466	0,1352	1,07864
3,0	4,0	1,7934	0,8163	0,8070	0,7945	0,7785	0,7596	0,7372	0,707	0,6796	0,6431	0,6003	0,5501	0,4912	0,4223	0,3415	0,2467	0,1353	1,1369
4,0	5,0	2,3058	0,8180	0,8076	0,7944	0,7785	0,7594	0,7369	0,704	0,6793	0,6428	0,6099	0,5598	0,4910	0,4221	0,3413	0,2466	0,1354	1,18190
5,0	6,0	2,8182	0,8183	0,8073	0,7939	0,7777	0,7586	0,7361	0,706	0,6785	0,6430	0,6092	0,5591	0,4904	0,4215	0,3409	0,2462	0,1355	1,23229
6,0	7,0	3,3306	0,8175	0,8062	0,7925	0,7763	0,7572	0,7346	0,702	0,6771	0,6407	0,5980	0,5480	0,4894	0,4207	0,3402	0,2458	0,1356	1,28185
7,0	8,0	3,8430	0,8187	0,8042	0,7945	0,7742	0,7551	0,7326	0,702	0,6752	0,6388	0,5963	0,5464	0,4880	0,4195	0,3393	0,2451	0,1345	1,33055
8,0	9,0	4,3554	0,8130	0,8014	0,7876	0,7714	0,7523	0,7298	0,705	0,6726	0,6364	0,5940	0,5444	0,4862	0,4180	0,3380	0,2442	0,1357	1,37388
9,0	10,0	4,8678	0,8094	0,7977	0,7840	0,7678	0,7487	0,7264	0,7002	0,6695	0,6334	0,5912	0,5418	0,4839	0,4160	0,3364	0,2431	0,1358	1,42531
10,0	11,0	5,4120	0,8050	0,7954	0,7796	0,7635	0,7445	0,7223	0,6962	0,6657	0,6299	0,5879	0,5388	0,4812	0,4137	0,3346	0,2417	0,1358	1,47458
11,0	12,0	5,9860	0,7998	0,7882	0,7745	0,7585	0,7397	0,7176	0,6917	0,6613	0,6257	0,5841	0,5353	0,4781	0,4110	0,3324	0,2402	0,1359	1,52619
12,0	13,0	6,5640	0,7999	0,7823	0,7688	0,7528	0,7341	0,7122	0,6865	0,6564	0,6211	0,5797	0,5313	0,4745	0,4080	0,3300	0,2384	0,1360	1,57698
13,0	14,0	7,1400	0,8073	0,7758	0,7623	0,7465	0,7279	0,7062	0,6807	0,6508	0,6159	0,5749	0,5268	0,4706	0,4046	0,3272	0,2366	0,1361	1,62700
14,0	15,0	7,7160	0,8075	0,7760	0,7625	0,7467	0,7281	0,7064	0,6809	0,6510	0,6161	0,5751	0,5270	0,4707	0,4048	0,3274	0,2366	0,1361	1,68490
15,0	16,0	8,3768	0,8078	0,7763	0,7628	0,7469	0,7284	0,7066	0,6801	0,6513	0,6163	0,5753	0,5272	0,4709	0,4049	0,3275	0,2367	0,1362	1,75129

## LAMPIRAN 8.4

Perubahan Tegangan di Tiap Lapisan Tanah pada Derajat Konsolidasi ( $U<100\%$ ) akibat Batu SP contoh Zona 3

Perubahan Tegangan		U < 100%								
	P <sup>0</sup> (t/m <sup>2</sup> )	ΔP <sup>1</sup> (t/m <sup>2</sup> )	ΔP <sup>2</sup> (t/m <sup>2</sup> )	ΔP <sup>3</sup> (t/m <sup>2</sup> )	ΔP <sup>4</sup> (t/m <sup>2</sup> )	ΔP <sup>5</sup> (t/m <sup>2</sup> )	ΔP <sup>6</sup> (t/m <sup>2</sup> )	ΔP <sup>7</sup> (t/m <sup>2</sup> )	Σσ' t/m <sup>2</sup>	Σσ' kg/cm <sup>2</sup>
Tinggi penimbunan	H = 0 m	H = 1 m	H = 2 m	H = 3 m	H = 4 m	H = 5 m	H = 6 m	H = 7 m		
Umur (minggu)	-	14	12	10	8	6	4	2		
Kedalaman (m) \ U (%)	100(00%)	89,437%	85,471%	80,012%	72,493%	62,132%	47,833%	28,045%		
0,0	1,0	0,2562	1,7795	1,9033	1,8001	1,6329	1,3959	1,0691	0,6220	10,4590
1,0	2,0	0,7686	1,8512	1,8482	1,7414	1,5779	1,3484	1,0325	0,6007	10,7690
2,0	3,0	1,2810	1,8236	1,7820	1,6746	1,5161	1,2951	0,9916	0,5769	10,9408
3,0	4,0	1,7934	1,7695	1,7118	1,6056	1,4527	1,2406	0,9498	0,5526	11,0759
4,0	5,0	2,3058	1,7054	1,6407	1,5369	1,3898	1,1866	0,9084	0,5285	11,2021
5,0	6,0	2,8182	1,6376	1,5705	1,4697	1,3285	1,1341	0,8682	0,5052	11,3319
6,0	7,0	3,3306	1,5694	1,5020	1,4047	1,2694	1,0835	0,8295	0,4827	11,4717
7,0	8,0	3,8430	1,5023	1,4360	1,3423	1,2128	1,0352	0,7925	0,4612	11,6254
8,0	9,0	4,3554	1,4373	1,3729	1,2829	1,1590	0,9893	0,7574	0,4409	11,7951
9,0	10,0	4,8678	1,3751	1,3128	1,2265	1,1080	0,9458	0,7242	0,4216	11,9819
10,0	11,0	5,4120	1,3160	1,2560	1,1733	1,0599	0,9048	0,6929	0,4035	12,2185
11,0	12,0	5,9880	1,2601	1,2024	1,1232	1,0147	0,8663	0,6635	0,3864	12,5045
12,0	13,0	6,5640	1,2072	1,1519	1,0760	0,9721	0,8300	0,6358	0,3704	12,8074
13,0	14,0	7,1400	1,1574	1,1043	1,0316	0,9321	0,7959	0,6098	0,3553	13,1265
14,0	15,0	7,7160	1,1105	1,0597	0,9899	0,8945	0,7639	0,5854	0,3412	13,4611
15,0	16,0	8,3768	1,0666	1,0178	0,9509	0,8593	0,7340	0,5626	0,3279	13,8957

**LAMPIRAN 9.1**  
 Perhitungann Settlement Pondasi Dangakal  
 Akibat Beban Poer

No	Tebal Lap (m)	Z	$\gamma_{sat\ barn}$ ( $t/m^3$ )	$\gamma'$ ( $t/m^3$ )	B1 (m)	B2 (m)	a1	a2	$\Delta P$ ( $t/m^2$ )	TOTAL $\Delta P$ ( $t/m^2$ )	$\sigma'_0$ ( $t/m^2$ )	$\sigma'_e$ ( $t/m^2$ )	$\Delta P + \sigma'_e$ ( $t/m^2$ )	OCR	NC/OC	Sc limb (m)	Sc Kum (m)
1	1	0,5	1,590	0,59	26	0,0	0,00	75,96	1,43112	2,86	0,30	1,51	3,16	5,10	0C SOIL	0,098852	0,098852
2	1	1,5	1,590	0,59	26	0,0	0,00	73,91	1,42668	2,85	0,89	2,10	3,74	2,37	0C SOIL	0,069628	0,16848
3	1	2,5	1,590	0,59	26	0,0	0,00	71,90	1,42110	2,84	1,48	2,69	4,32	1,82	0C SOIL	0,055108	0,223588
4	1	3,5	1,590	0,59	26	0,0	0,00	69,93	1,41436	2,83	2,07	3,28	4,89	1,59	0C SOIL	0,045762	0,26935
5	1	4,5	1,590	0,59	26	0,0	0,00	68,01	1,40645	2,81	2,66	3,87	5,47	1,46	0C SOIL	0,039106	0,308456
6	1	5,5	1,590	0,59	26	0,0	0,00	66,14	1,39737	2,79	3,25	4,46	6,04	1,37	0C SOIL	0,034073	0,342539
7	1	6,5	1,590	0,59	26	0,0	0,00	64,32	1,38716	2,77	3,84	5,05	6,61	1,32	0C SOIL	0,030108	0,372637
8	1	7,5	1,590	0,59	26	0,0	0,00	62,56	1,37589	2,75	4,43	5,64	7,18	1,27	0C SOIL	0,02689	0,399527
9	1	8,5	1,590	0,59	26	0,0	0,00	60,85	1,36360	2,73	5,02	6,23	7,74	1,24	0C SOIL	0,024216	0,423743
10	1	9,5	1,590	0,59	26	0,0	0,00	59,20	1,35039	2,70	5,61	6,82	8,31	1,22	0C SOIL	0,021953	0,44596
11	1	10,5	1,620	0,62	26	0,0	0,00	57,60	1,33635	2,67	6,21	7,42	8,88	1,19	0C SOIL	0,017272	0,462968
12	1	11,5	1,620	0,62	26	0,0	0,00	56,06	1,32156	2,64	6,83	8,04	9,47	1,18	0C SOIL	0,015759	0,478726
13	1	12,5	1,620	0,62	26	0,0	0,00	54,57	1,30612	2,61	7,45	8,66	10,06	1,16	0C SOIL	0,014438	0,493165
14	1	13,5	1,620	0,62	26	0,0	0,00	53,13	1,29012	2,58	8,07	9,28	10,65	1,15	0C SOIL	0,013276	0,50644
15	1	14,5	1,620	0,62	26	0,0	0,00	51,75	1,27365	2,55	8,69	9,90	11,24	1,14	0C SOIL	0,012243	0,518683
16	1	15,5	1,780	0,78	26	0,0	0,00	50,41	1,25681	2,51	9,39	10,60	11,90	1,13	0C SOIL	0,008821	0,527215

**LAMPIRAN 9.2**  
 Perhitungan Settlement Pondasi Dangkal  
 Akibat Beban Tangki dan Isinya

No	Tebal Lap (m)	Z BARU (tm)	$\gamma_{sat}$ (tm <sup>3</sup> )	$\gamma'$ (tm <sup>3</sup> )	I	MP Slinder (tm <sup>2</sup> )	$\sigma'_0$ (tm <sup>2</sup> )	$\sigma'_e$ (tm <sup>2</sup> )	$\Delta P + \sigma'_0$ (tm <sup>2</sup> )	OCR	NC/OC	Sc limb (m)	Sc Kum (m)
1	1	7,7	1,590	0,59	0,87	5,277	4,54	5,75	9,82	1,27	OC SOIL	0,053919	0,053919
2	1	8,7	1,590	0,59	0,84	5,082	5,13	6,34	10,22	1,24	OC SOIL	0,048078	0,101997
3	1	9,7	1,590	0,59	0,80	4,875	5,72	6,93	10,60	1,21	OC SOIL	0,042874	0,144871
4	1	10,7	1,590	0,59	0,77	4,656	6,31	7,52	10,97	1,19	OC SOIL	0,038197	0,183067
5	1	11,7	1,590	0,59	0,73	4,430	6,90	8,11	11,33	1,18	OC SOIL	0,033968	0,217036
6	1	12,7	1,590	0,59	0,69	4,199	7,49	8,70	11,69	1,16	OC SOIL	0,03013	0,247166
7	1	13,7	1,590	0,59	0,65	3,964	8,08	9,29	12,05	1,15	OC SOIL	0,026635	0,273801
8	1	14,7	1,590	0,59	0,61	3,728	8,67	9,88	12,40	1,14	OC SOIL	0,023448	0,297249
9	1	15,7	1,590	0,59	0,58	3,492	9,26	10,47	12,75	1,13	OC SOIL	0,02054	0,317789
10	1	16,7	1,590	0,59	0,54	3,258	9,85	11,06	13,11	1,12	OC SOIL	0,017885	0,335674
11	1	17,7	1,620	0,62	0,50	3,027	10,46	11,67	13,49	1,12	OC SOIL	0,013355	0,349029
12	1	18,7	1,620	0,62	0,46	2,801	11,08	12,29	13,88	1,11	OC SOIL	0,011419	0,360447
13	1	19,7	1,620	0,62	0,43	2,580	11,70	12,91	14,28	1,10	OC SOIL	0,009661	0,370108
14	1	20,7	1,620	0,62	0,39	2,365	12,32	13,53	14,68	1,10	OC SOIL	0,008066	0,378174
15	1	21,7	1,620	0,62	0,36	2,156	12,94	14,15	15,09	1,09	OC SOIL	0,006619	0,384793
16	1	22,7	1,780	0,78	0,32	1,954	13,64	14,85	15,59	1,09	OC SOIL	0,004004	0,388797

## LAMPIRAN 9.3

### Perhitungan Daya Dukung Luciano Decourt Koreksi Muka Air Tanah Diamter 80 cm

Kedalaman (m)	N Blow	Jenis Tanah	Ysat	po	Koreksi terhadap MAT	N rata - rata (p)	N rata - rata (s)	N1 (Terzaghi)		Qp	Qs	QL	Qjln = Qul/SF
								t/m <sup>3</sup>	t/m <sup>2</sup>	ton	ton	ton	ton
0	0	Lempung	1,512	0,00	0,00	0,86	0,00	8,62	0,00	8,62	0,00	8,62	2,87
0,5	0	Lempung	1,512	0,26	0,00	1,00	0,00	10,05	1,26	11,31	3,77		
1	0	Lempung	1,512	0,51	0,00	1,11	0,00	11,17	2,51	13,68	4,56		
1,5	0	Lempung	1,512	0,77	0,00	1,20	0,00	12,06	3,77	15,83	5,28		
2	2	Lempung	1,512	1,02	2,00	1,27	0,40	12,79	5,70	18,49	6,16		
2,5	2	Lempung	1,512	1,28	2,00	1,33	0,67	13,40	7,68	21,08	7,03		
3	2	Lempung	1,512	1,54	2,00	1,38	0,86	13,92	9,69	23,61	7,87		
3,5	2	Lempung	1,512	1,79	2,00	1,54	1,00	15,47	11,73	27,19	9,06		
4	2	Lempung	1,512	2,05	2,00	1,69	1,11	17,01	13,78	30,79	10,26		
4,5	2	Lempung	1,512	2,30	2,00	1,85	1,20	18,56	15,83	34,39	11,46		
5	2	Lempung	1,512	2,56	2,00	2,08	1,27	20,88	17,90	38,78	12,93		
5,5	2	Lempung	1,512	2,82	2,00	2,15	1,33	21,65	19,97	41,62	13,87		
6	2	Lempung	1,512	3,07	2,00	2,23	1,38	22,43	22,04	44,47	14,82		
6,5	2	Lempung	1,512	3,33	2,00	2,31	1,43	23,20	24,12	47,31	15,77		
7	2	Lempung	1,512	3,58	2,00	2,46	1,47	24,75	26,19	50,94	16,98		
7,5	2	Lempung	1,512	3,84	2,00	2,62	1,50	26,29	28,27	54,57	18,19		
8	3	Lempung	1,512	4,10	3,00	2,85	1,59	28,61	30,75	59,36	19,79		
8,5	3	Lempung	1,512	4,35	3,00	3,08	1,67	30,93	33,23	64,16	21,39		
9	3	Lempung	1,512	4,61	3,00	3,28	1,74	34,03	35,71	69,74	23,25		
9,5	3	Lempung	1,512	4,86	3,00	3,69	1,80	37,12	38,20	75,32	25,11		
10	4	Lempung	1,576	5,15	4,00	3,92	1,90	39,44	41,09	80,53	26,84		
10,5	4	Lempung	1,576	5,44	4,00	4,15	2,00	41,76	43,98	85,74	28,58		
11	5	Lempung	1,576	5,73	5,00	4,38	2,13	44,08	47,28	91,36	30,45		
11,5	5	Lempung	1,576	6,02	5,00	4,54	2,25	45,63	50,58	96,21	32,07		
12	6	Lempung	1,576	6,30	6,00	5,31	2,40	53,36	54,29	107,65	35,88		
12,5	6	Lempung	1,576	6,59	6,00	6,08	2,54	61,09	58,00	119,09	39,70		
13	5	Lempung	1,576	6,88	5,00	7,23	2,63	72,69	61,31	134,00	44,67		
13,5	5	Lempung	1,576	7,17	5,00	8,31	2,71	83,52	64,63	148,15	49,38		
14	5	Lempung	1,576	7,46	5,00	9,42	2,79	94,73	67,95	162,68	54,23		
14,5	5	Lempung	1,576	7,74	5,00	10,46	2,87	105,17	71,27	176,44	58,81		
15	13	Lempung	1,746	8,12	13,00	11,58	3,19	116,38	77,83	194,21	64,74		
15,5	13	Lempung	1,746	8,49	13,00	12,62	3,50	126,82	84,40	211,23	70,41		
16	21	Lempung	1,958	8,97	18,00	13,73	3,94	138,04	93,02	231,05	77,02		
16,5	21	Lempung	1,958	9,45	18,00	14,92	4,35	150,02	101,64	251,86	83,89		
17	22	Lempung	1,958	9,93	18,50	16,19	4,76	162,78	110,48	273,26	91,09		
17,5	22	Lempung	1,958	10,41	18,50	17,50	5,14	175,93	119,32	295,25	98,42		
18	24	Lempung	1,958	10,89	19,50	18,85	5,53	189,46	128,58	318,05	106,02		
18,5	24	Lempung	1,958	11,36	19,50	19,62	5,89	197,20	137,86	335,05	111,68		
19	26	Lempung	2,000	11,86	20,50	20,42	6,27	205,32	147,54	352,86	117,62		
19,5	26	Lempung	2,000	12,36	20,50	20,81	6,63	209,18	157,24	366,42	122,14		
20	28	Lempung	2,000	12,86	21,50	21,15	6,99	212,66	167,35	388,01	126,67		
20,5	29	Lempung	2,000	13,36	22,00	22,04	7,35	221,55	177,67	399,22	133,07		
21	30	Lempung	2,000	13,86	22,50	23,46	7,70	235,86	188,20	424,06	141,35		
21,5	31	Lempung	2,000	14,36	23,00	24,81	8,05	249,39	198,95	448,34	149,45		
22	32	Lempung	2,000	14,86	23,50	26,15	8,39	262,93	209,90	472,83	157,61		
22,5	31	Lempung	2,000	15,36	23,00	27,42	8,71	275,69	220,66	496,35	165,45		
23	30	Lempung	2,000	15,86	22,50	28,73	9,00	288,83	231,22	520,05	173,35		
23,5	45	Lempung	2,000	16,36	30,00	29,69	9,44	295,50	244,86	543,36	181,12		
24	59	Lempung	2,000	16,86	37,00	30,38	10,00	305,46	261,38	566,84	188,95		
24,5	59	Lempung	2,000	17,36	37,00	30,81	10,54	309,71	277,91	587,62	195,87		
25	59	Lempung	2,000	17,86	37,00	30,96	11,06	311,26	294,45	605,71	201,90		
25,5	59	Lempung	2,000	18,36	37,00	31,19	11,56	313,58	310,99	624,57	208,19		
26	60	Lempung	2,000	18,86	37,50	31,58	12,05	317,45	327,75	645,20	215,07		
26,5	53	Lempung	2,000	19,36	34,00	32,12	12,45	322,86	343,08	665,94	221,98		
27	47	Lempung	2,000	19,86	31,00	32,19	12,79	323,63	357,18	680,81	226,94		
27,5	41	Lempung	2,000	20,36	28,00	31,79	13,06	319,60	370,05	689,66	229,89		
28	35	Lempung	2,000	20,86	25,00	31,32	13,27	314,84	381,69	696,54	232,18		
28,5	38	Lempung	2,000	21,36	26,50	30,75	13,50	309,13	393,96	703,09	234,36		
29	41	Lempung	2,000	21,86	28,00	30,06	13,75	302,15	406,84	708,99	236,33		
29,5	44	Lempung	2,000	22,36	29,50	30,06	14,01	302,15	420,34	722,49	240,83		
30	47	Lempung	2,000	22,86	31,00	28,43	14,29	285,80	434,47	720,26	240,09		

## LAMPIRAN 9.4

a. Perhitungan Settlement Konsolidasi Tiang dalam Group kondisi *floating* (Contoh : D = 60 cm; S = 2,5 D)

No	Tebal Lap (m)	Z (m)	$\gamma'_{sat}$ ( $t/m^3$ )	$\gamma''$ ( $t/m^3$ )	$e_0$	Cc	Cs	TOTAL AP ( $t/m^2$ )	$\sigma'_0$ ( $t/m^2$ )	$\sigma'_c$ ( $t/m^2$ )	$\Delta P + \sigma'_0$ ( $t/m^2$ )	OCR	NC/OC	cek rumus	Sc tumb (m)	Sc kum (m)
1	1		1,512	0,51	1,87	0,61	0,12	0,26	1,47	0,26	5,72	0C SOIL	pendek		0	0
2	1		1,512	0,51	1,87	0,61	0,12		0,77	1,98	0,77	2,57	0C SOIL	pendek	0	0
3	1		1,512	0,51	1,87	0,61	0,12		1,28	2,49	1,28	1,94	0C SOIL	pendek	0	0
4	1		1,512	0,51	1,87	0,61	0,12		1,79	3,00	1,79	1,67	0C SOIL	pendek	0	0
5	1		1,512	0,51	1,87	0,61	0,12		2,31	3,52	2,31	1,52	0C SOIL	pendek	0	0
6	1		1,512	0,51	1,87	0,61	0,12		2,82	4,03	2,82	1,43	0C SOIL	pendek	0	0
7	1		1,512	0,51	1,87	0,61	0,12		3,33	4,54	3,33	1,36	0C SOIL	pendek	0	0
8	1		1,512	0,51	1,87	0,61	0,12		3,84	5,05	3,84	1,31	0C SOIL	pendek	0	0
9	1		1,512	0,51	1,87	0,61	0,12		4,36	5,57	4,36	1,28	0C SOIL	pendek	0	0
10	1		1,512	0,51	1,87	0,61	0,12		4,87	6,08	4,87	1,25	0C SOIL	pendek	0	0
11	1	0,5	1,576	0,58	1,76	0,51	0,10	1,24	5,41	6,62	1,25	1,22	0C SOIL	pantang	0,055127467	0,055127467
12	1	1,5	1,576	0,58	1,76	0,51	0,10	1,67	5,99	7,20	1,296	1,20	0C SOIL	pantang	0,050085421	0,050212888
13	1	2,5	1,576	0,58	1,76	0,51	0,10	1,72	6,56	7,77	1,328	1,18	0C SOIL	pantang	0,045647291	0,150860179
14	1	3,5	1,703	0,70	1,76	0,51	0,10	1,48	7,20	8,41	1,368	1,17	0C SOIL	pantang	0,041463443	0,192323623
15	1	4,5	1,703	0,70	1,76	0,51	0,10	1,25	7,91	9,12	1,416	1,15	0C SOIL	pantang	0,037563979	0,229887602
16	1	5,5	1,703	0,70	1,19	0,31	0,06	1,04	8,61	9,82	1,465	1,14	0C SOIL	pantang	0,025894368	0,25578197

b. Perhitungan Settlement Konsolidasi Tiang dalam Group kondisi *floating* (Contoh : D = 60 cm; S = 3 D)

No	Tebal Lap (m)	Z (m)	$\gamma_{sat}$ ( $t/m^3$ )	$\gamma'$ ( $t/m^3$ )	$e_0$	Cc	Cs	TOTAL AP ( $t/m^2$ )	$\sigma'_0$ ( $t/m^2$ )	$\sigma'_c$ ( $t/m^2$ )	$\Delta P + \sigma'_0$ ( $t/m^2$ )	OCR	NC/OC	cek rumus	Sc tinggi (m)	Sc Kum (m)
1	1	1,512	0,51	1,87	0,61	0,12		0,26	1,47	0,26	5,72	OC SOIL	pendek	0	0	0
2	1	1,512	0,51	1,87	0,61	0,12		0,77	1,98	0,77	2,57	OC SOIL	pendek	0	0	0
3	1	1,512	0,51	1,87	0,61	0,12		1,28	2,49	1,28	1,94	OC SOIL	pendek	0	0	0
4	1	1,512	0,51	1,87	0,61	0,12		1,79	3,00	1,79	1,67	OC SOIL	pendek	0	0	0
5	1	1,512	0,51	1,87	0,61	0,12		2,31	3,52	2,31	1,52	OC SOIL	pendek	0	0	0
6	1	1,512	0,51	1,87	0,61	0,12		2,82	4,03	2,82	1,43	OC SOIL	pendek	0	0	0
7	1	1,512	0,51	1,87	0,61	0,12		3,33	4,54	3,33	1,36	OC SOIL	pendek	0	0	0
8	1	1,512	0,51	1,87	0,61	0,12		3,84	5,05	3,84	1,31	OC SOIL	pendek	0	0	0
9	1	1,512	0,51	1,87	0,61	0,12		4,36	5,57	4,36	1,28	OC SOIL	pendek	0	0	0
10	1	1,512	0,51	1,87	0,61	0,12		4,87	6,08	4,87	1,25	OC SOIL	pendek	0	0	0
11	1	0,5	1,576	0,58	1,76	0,51	0,10	7,24	5,41	6,62	12,65	1,22	OC SOIL	panjang	0,055127467	0,055127467
12	1	1,5	1,576	0,58	1,76	0,51	0,10	6,97	5,99	7,20	12,96	1,20	OC SOIL	panjang	0,050088421	0,105212888
13	1	2,5	1,576	0,58	1,76	0,51	0,10	6,72	6,56	7,77	13,28	1,18	OC SOIL	panjang	0,045647291	0,150860179
14	1	3,5	1,703	0,70	1,76	0,51	0,10	6,48	7,20	8,41	13,68	1,17	OC SOIL	panjang	0,041463443	0,192323623
15	1	4,5	1,703	0,70	1,76	0,51	0,10	6,25	7,91	9,12	14,16	1,15	OC SOIL	panjang	0,037563979	0,229887602
16	1	5,5	1,703	0,70	1,19	0,31	0,06	6,04	8,61	9,82	14,65	1,14	OC SOIL	panjang	0,025894368	0,25578197

“ Halaman ini sengaja dikosongkan “

## **BIODATA PENULIS**



Candra Okto Rian Dwi Putra dilahirkan di Sentani, 20 Oktober 1997. Penulis telah menempuh pendidikan formal di SDN 03 Maospati dan lulus pada tahun 2010, SMPN 1 Maospati dan lulus pada tahun 2013, dan SMAN 2 Madiun dan lulus pada tahun 2016. Pada tahun 2016 penulis mengikuti Seleksi Nasional Masuk Perguruan Tinggi Negeri (SNMPTN) dan diterima di Institut Teknologi Sepuluh Nopember Surabaya dengan Jurusan Teknik Sipil FTSPK, terdaftar dengan NRP 03111640000033.

Di jurusan Teknik Sipil Fakultas Teknik Sipil, Perencanaan dan Kebumian ITS, pada semester tujuh penulis mengambil bidang peminatan Geoteknik. Penulis sempat aktif di organisasi Himpunan Mahasiswa Sipil ITS sebagai Staff ahli dan ketua divisi CECC (*Civil Engineering Computer Club*) selama 2 periode yakni 2018 – 2019 dan juga aktif pada beberapa kegiatan seminar maupun pelatihan yang diselenggarakan oleh jurusan maupun Himpunan Mahasiswa Sipil ITS.

Apabila ingin berdiskusi dengan penulis perihal kritik dan saran mengenai tugas akhir ini dapat menghubungi penulis melalui email : [candraoktorian@gmail.com](mailto:candraoktorian@gmail.com)